



การสังเคราะห์ซิลิกาที่มีรูพรุนขนาดมีโซโดยใช้บล็อกโคโพลิเมอร์ของเอททิลีน
ออกไซด์และโพรพิลีโนกไซด์: P123 ร่วมกับ F127 เป็นแม่แบบ

**Synthesis of Mesoporous Silica using Ethylene Oxide/Propylene Oxide
Block copolymer: P123 combined with F127 as Templates**

ศศินันท์ ทองมาก

Sasinan Thongmark

วิทยานิพนธ์ที่เป็นส่วนหนึ่งของการศึกษาตามหลักสูตรปริญญา
วิทยาศาสตรมหาบัณฑิต สาขาวิชาวิทยาศาสตร์และเทคโนโลยีพอลิเมอร์
มหาวิทยาลัยสงขลานครินทร์

**A Thesis Submitted in Partial Fulfillment of the Requirements
for the Degree of Master of Science in Polymer Science and Technology
Prince of Songkla University**

2551

ลิขสิทธิ์ของมหาวิทยาลัยสงขลานครินทร์

(1)

ชื่อวิทยานิพนธ์	การสังเคราะห์ซิลิกาที่มีรูพรุนขนาดมีໂზໂດຍใช้บล็อกໂຄພອລີເມອົງຂອງ ເອທິລີນອອກໄໃຈດົ່ວແລະໂພຣພິລີນອອກໄໃຈດົ່ວ: P123 ຮ່ວມກັບ F127 ເປັນ ແມ່ແບບ
ผู้เขียน	นางสาวศศินันห์ ຖອນມາກ
สาขาวิชา	วิทยาศาสตร์และเทคโนโลยีພອລີເມອົງ

อาจารย์ที่ปรึกษาวิทยานิพนธ์หลัก	คณะกรรมการสอบ
..... (ผู้ช่วยศาสตราจารย์ ดร.จิราภรณ์ ไชยบัญดิษฐ์) ประธานกรรมการ (ดร.วัชนิดา ชินพา)
 กรรมการ (ผู้ช่วยศาสตราจารย์ ดร.จิราภรณ์ ไชยบัญดิษฐ์)
 กรรมการ (ดร.สอาด ริยะจันทร์)
 กรรมการ (ดร.ผลพัฒน์ รวมเจริญ)

บัณฑิตวิทยาลัย มหาวิทยาลัยสงขลานครินทร์ อนุมัติให้นับวิทยานิพนธ์ฉบับนี้
เป็นส่วนหนึ่งของการศึกษา ตามหลักสูตรปริญญาวิทยาศาสตร์มหาบัณฑิต สาขาวิชาวิทยาศาสตร์
และเทคโนโลยีພອລີເມອົງ

.....
(รองศาสตราจารย์ ดร.เกริกชัย ทองหนู)
คณบดีบัณฑิตวิทยาลัย

ชื่อวิทยานิพนธ์	การสังเคราะห์ซิลิกาที่มีรูพรุนขนาดมีໂზโดยใช้บล็อกโคโพลิเมอร์ของเอทธิลีนออกไซด์และโพรพิลีนออกไซด์: P123 ร่วมกับ F127 เป็นแม่แบบ
ผู้เขียน	นางสาวศศินันท์ ทองมาก
สาขาวิชา	วิทยาศาสตร์และเทคโนโลยีโพลิเมอร์
ปีการศึกษา	2550

บทคัดย่อ

ซิลิกาที่มีรูพรุนขนาดมีໂზ (mesoporous silica) ถูกสังเคราะห์ขึ้นโดยใช้สารลดแรงตึงผิวนิดไม่มีประจุ เอทธิลีนออกไซด์/โพรพิลีนออกไซด์ บล็อกโคโพลิเมอร์ คือ EO₂₀PO₇₀ EO₂₀ (P123) และ EO₁₀₆PO₇₀EO₁₀₆ (F127) เป็นแม่แบบและใช้ tetraethyl orthosilicate(TEOS) เป็นแหล่งให้ซิลิกา โดยทำการศึกษาถึงปัจจัยต่างๆที่มีผลต่อลักษณะของซิลิกา เช่น อัตราส่วนโดยโมลของ P123/F127 ความเข้มข้นของกรด ชนิดและความเข้มข้นของเกลืออนินทรีย์ ชนิดและความเข้มข้นของสารลดแรงตึงผิวร่วม ความเข้มข้นของตัวทำละลายร่วม เวลาที่ใช้ในการอบสารตัวอย่างที่อุณหภูมิ 100°C ซึ่งทำการวิเคราะห์ลักษณะของซิลิกาที่สังเคราะห์ได้โดยใช้เครื่องเลี้ยวเบนรังสีเอกซ์ เครื่องวิเคราะห์พื้นที่ผิวและกล้องจุลทรรศน์อิเล็กตรอนแบบส่อง粒ด พบร้า เมื่ออัตราส่วนโดยโมลของ P123/F127 เพิ่มขึ้นจาก 1/9 เป็น 3/7 มีผลให้ค่ารัศมีรูพรุนของซิลิกาเพิ่มขึ้น แต่เมื่ออัตราส่วนโดยโมลของ P123/F127 เพิ่มขึ้นอีกจาก 3/7 เป็น 7/3 รัศมีรูพรุนของซิลิกามีค่าลดลง ซิลิกาที่สังเคราะห์โดยใช้ 0.3M HCl มีค่ารัศมีของรูพรุนที่มากกว่าซิลิกาที่สังเคราะห์โดยใช้ 0.5M HCl แต่ซิลิกาที่สังเคราะห์โดยใช้ 0.3M HCl มีรูปร่างที่ไม่เป็นทรงกลมมากกว่าที่ 0.5M HCl ซิลิกาที่ไม่เติมเกลืออนินทรีย์มีค่ารัศมีของรูพรุนที่มากกว่าซิลิกาที่เติมเกลืออนินทรีย์ ส่วนซิลิกาที่เติม KCl มีค่ารัศมีของรูพรุนที่มากกว่าซิลิกาที่เติมเกลือ Na₂SO₄ และเมื่อความเข้มข้นของเกลือเพิ่มขึ้นทำให้รัศมีรูพรุนของซิลิกาลดลง ซิลิกาที่สังเคราะห์โดยมีการเติมเกลือ Na₂SO₄ มีรูพรุนที่มีการจัดเรียงตัวที่สม่ำเสมอกว่าซิลิกาที่สังเคราะห์โดยมีการเติม KCl และซิลิกาที่ไม่มีการเติมเกลืออนินทรีย์ ซิลิกาที่มีการเติม sodium dodecyl sulfate (SDS) หรือ cetyltrimethylammonium bromide (CTAB) มีรัศมีของรูพรุนที่น้อยกว่าซิลิกาที่ไม่มีการเติมสารลดแรงตึงผิวร่วม เมื่ออัตราส่วนโดยโมลของ SDS (หรือ CTAB)/(P123+F127) เพิ่มขึ้น ค่ารัศมีรูพรุนของซิลิกาลดลง แต่ปริมาตรรูพรุนขนาดไมโครมีแนวโน้มเพิ่มขึ้น นอกจากนี้เมื่ออัตราส่วนโดยโมลของ SDS (หรือ CTAB)/(P123+F127) เพิ่มขึ้นการจัดเรียงตัวที่สม่ำเสมอของรูพรุนของซิลิกาลดลงด้วย ซิลิกาที่มีการเติม ethanol (EtOH) เมื่ออัตราส่วนของ EtOH/H₂O เพิ่มขึ้น ค่ารัศมีรูพรุนของซิลิกาลดลงและการ

จัดเรียงตัวที่สม่ำเสมอของรูพรุนของซิลิกาลดลงด้วย เมื่อเวลาในการอบเพิ่มขึ้นค่ารัศมีรูพรุนของซิลิกาเพิ่มขึ้นแต่ไม่มีผลต่อการจัดเรียงตัวที่สม่ำเสมอของรูพรุนของซิลิกา นอกจากนี้ยังพบว่าซิลิกาที่สังเคราะห์โดยมีการเติม EtOH ทุกอัตราส่วนรวมทั้งซิลิกาที่ใช้เวลาในการอบที่อุณหภูมิ 100°C ต่างๆ กันมีรูปร่างเป็นทรงกลม

Thesis Title	Synthesis of Mesoporous Silica using Ethylene Oxide/Propylene Oxide Block Copolymers: P123 combined with F127 as Templates
Author	Miss Sasinan Thongmark
Major Program	Polymer Science and Technology
Academic Year	2007

ABSTRACT

Mesoporous silica was synthesized using nonionic surfactant ethylene oxide/propylene oxide block copolymers P123 ($\text{EO}_{20}\text{PO}_{70}\text{EO}_{20}$) and F127 ($\text{EO}_{106}\text{PO}_{70}\text{EO}_{106}$) as templates. Tetraethyl orthosilicate (TEOS) was used as silica source. Various factors affect the silica morphologies and silica mesostructures such as molar ratios of P123/F127, concentration of hydrochloric acid, kind and concentration of inorganic salts, cosurfactant, cosolvent ethanol and hydrothermal treatment time. Silica structures and silica morphologies were characterized by x-ray diffraction (XRD), nitrogen adsorption analysis and scanning electron microscopy (SEM). The results show that the mesoporous radius increased when the molar ratios of P123/F127 increased from 1/9 to 3/7 but the mesoporous radius decreased when the molar ratios of P123/F127 increased from 3/7 to 7/3. The mesoporous radius of mesoporous silica synthesized using 0.3M HCl were higher than that synthesized using 0.5M HCl but amorphous silica were increased when concentration of HCl decreased from 0.5M to 0.3M. The radius of mesoporous silica synthesized by addition of inorganic salts was higher than that synthesized without inorganic salts. The radius of mesoporous silica synthesized by addition of KCl was higher than that synthesized by addition of Na_2SO_4 . The mesoporous radius decreased when the concentration of inorganic salts increased. The structural ordering of mesoporous silica synthesized by addition of Na_2SO_4 was higher than that synthesized by addition of KCl and without inorganic salts. The radius of mesoporous silica synthesized by addition of sodium dodecyl sulfate (SDS) or cetyltrimethyl ammonium bromide (CTAB) were lower than that synthesized without cosurfactant. The mesoporous radius, pore volume, mesopore volume and structural ordering of mesoporous silica decreased when the molar ratios of SDS (or CTAB)/

(P123+F127) increased but micropore volume increased. The radius and structural ordering of mesoporous silica decreased when the molar ratios of EtOH/H₂O increased. The mesoporous radius increased when the hydrothermal treatment time increased but no effect on the structural ordering. The spherical particles of mesoporous silicates were obtained using all molar ratios of EtOH/H₂O and all hydrothermal treatment times.

กิตติกรรมประกาศ

วิทยานิพนธ์เล่มนี้สำเร็จลุล่วงได้ขอขอบพระคุณ ผศ.ดร.จิราภรณ์ ไชยบัญดิษฐ์ อาจารย์ที่ปรึกษาวิทยานิพนธ์ เป็นอย่างสูงที่ได้กรุณาให้ความรู้ คำแนะนำ แนวทางการทำวิจัย การเขียนและการตรวจทานแก่ไขวิทยานิพนธ์ เป็นอย่างดีตลอดมา ขอขอบพระคุณ ดร.วันนิดา ชินพา ประธานกรรมการสอบวิทยานิพนธ์ ที่ให้คำแนะนำและตรวจทานแก่ไขวิทยานิพนธ์จนสำเร็จลุล่วงไปได้ด้วยดี ขอขอบพระคุณ ดร.สอาด ริยะจันทร์ กรรมการสอบวิทยานิพนธ์ ที่กรุณาให้ความช่วยเหลือในการทำวิจัยและตรวจทานแก่ไขวิทยานิพนธ์ ขอขอบพระคุณ ดร. พลพัฒน์ รวมเจริญ กรรมการสอบวิทยานิพนธ์จากมหาวิทยาลัยราชภัฏสงขลา ซึ่งให้คำแนะนำและตรวจทานแก่ไขวิทยานิพนธ์ให้ถูกต้องและสมบูรณ์ยิ่งขึ้น

ขอขอบคุณ บัณฑิตวิทยาลัย มหาวิทยาลัยสงขลานครินทร์ ที่ให้ทุนอุดหนุนในการทำวิจัยครั้งนี้

ขอขอบคุณ สาขาวิชาวัสดุศาสตร์ คณะวิทยาศาสตร์ มหาวิทยาลัยสงขลานครินทร์ ที่ให้ความอนุเคราะห์ใช้เตาเผาอุณหภูมิสูง และภาควิชาวิศวกรรมเคมี คณะวิศวกรรมศาสตร์ มหาวิทยาลัยสงขลานครินทร์ ที่ให้ความอนุเคราะห์ใช้เครื่องวัดพื้นที่ผิว Counter SA 3100

ขอขอบคุณ คุณจารยา อินหมณี คุณพรพจน์ หนูทอง และ คุณแก้วตา แก้วตาทิพย์ ที่ให้ความช่วยเหลือ คำปรึกษาและกำลังใจตลอดระยะเวลาในการทำวิจัย

ขอขอบคุณ คณาจารย์ และเจ้าหน้าที่ทุกๆ ท่าน ในสาขาวิชาวิทยาศาสตร์และเทคโนโลยีพอลิเมอร์ และขอขอบคุณ เพื่อนๆ ทุกคนที่ให้ความช่วยเหลือรวมทั้งเคยให้กำลังใจตลอดมา

ขอขอบพระคุณ คุณพ่อ คุณแม่ ที่ให้ทุนการศึกษา และเป็นกำลังใจที่สำคัญที่สุดในการทำวิทยานิพนธ์ในครั้งนี้

ศศินันท์ ทองมาก

สารบัญ

	หน้า
สารบัญ	(8)
รายการตาราง	(11)
รายการภาพประกอบ	(15)
รายการตารางภาคผนวก	(22)
รายการภาพประกอบภาคผนวก	(23)
สัญลักษณ์คำย่อและตัวย่อ	(25)
บทที่	
1.บทนำ	1
1.1 บทนำต้นเรื่อง	1
1.2 ตรวจสอบสาร	7
1.2.1 โคโพลิเมอร์และไตรบล็อกโคโพลิเมอร์ $\text{EO}_n\text{PO}_m\text{EO}_n$	7
1.2.2 สารลดแรงตึงผิว (surfactant)	11
1.2.3 ชนิดของการดูดซับ	15
1.2.4 ไอโซเทอร์มการดูดซับ	16
1.2.5 ขนาดของรูพรุน	21
1.2.6 การคำนวณรัศมีของรูพรุน (mesoporous radius)	21
1.2.7 สมการแบร์ก์ (The Bragg equation)	22
1.3 งานวิจัยที่เกี่ยวข้อง	24
1.4 วัสดุประสงค์การทำวิจัย	29
1.5 ขอบเขตงานวิจัย	30
2.วัสดุ อุปกรณ์ และวิธีการทดลอง	31
2.1 สารเคมี	31
2.2 อุปกรณ์และเครื่องมือ	32
2.3 วิธีการทดลอง	32
2.4 ตรวจสอบคุณลักษณะของชิลิกาที่มีรูพรุน	33

สารบัญ (ต่อ)

	หน้า
2.4.1 กล้องจุลทรรศน์อิเล็กตรอนแบบส่องกราด (scanning electron microscopy; SEM)	33
2.4.2 เครื่องวิเคราะห์พื้นที่ผิว (N_2 adsorption analysis)	33
2.4.3 เครื่องเลี้ยงเบนรังสีเอกซ์ (x-ray diffraction; XRD)	33
2.5 ส่วนผสมสารเคมีสำหรับการสังเคราะห์ชิลิกา	34
2.5.1 การสังเคราะห์ชิลิกาเพื่อศึกษาอิทธิพลของอัตราส่วนโดยโมล ของ P123/F127 และความเข้มข้นของกรดไฮโดรคลอริก	34
2.5.2 การสังเคราะห์ชิลิกาเพื่อศึกษาอิทธิพลของชนิดและความเข้มข้น ของเกลืออนินทรีย์	34
2.5.3 การสังเคราะห์ชิลิกาเพื่อศึกษาอิทธิพลของชนิดและความเข้มข้น ของสารลดแรงตึงผิวร่วม	35
2.5.4 การสังเคราะห์ชิลิกาเพื่อศึกษาอิทธิพลของความเข้มข้น ของตัวทำละลายร่วม	36
2.5.5 การสังเคราะห์ชิลิกาเพื่อศึกษาอิทธิพลของเวลาในการอบสาร ตัวอย่างที่อุณหภูมิ 100°C	37
3.ผลและวิจารณ์ผลการทดลอง	38
3.1 ศึกษาอิทธิพลของอัตราส่วนโดยโมลของ P123/F127 และความเข้มข้น ของกรด HCl	38
3.2 ศึกษาอิทธิพลของความเข้มข้นและชนิดของเกลืออนินทรีย์	52
3.3 ศึกษาอิทธิพลของสารลดแรงตึงผิวร่วม (cosurfactant)	62
3.4 ศึกษาอิทธิพลของตัวทำละลายร่วม (cosolvent)	80
3.5 ศึกษาอิทธิพลของเวลาในการอบสารตัวอย่างที่อุณหภูมิ 100°C	88
4.สรุปผลการทดลอง	95
4.1 ศึกษาอิทธิพลของอัตราส่วนโดยโมลของ P123/F127 และความเข้มข้น ของกรด HCl	95

สารบัญ (ต่อ)

	หน้า
4.2 ศึกษาอิทธิพลของความเข้มข้นและชนิดของเกลืออนินทรี [์]	95
4.3 ศึกษาอิทธิพลของสารลดแรงตึงผิวรวม	96
4.4 ศึกษาอิทธิพลของตัวทำละลายร่วม	97
4.5 ศึกษาอิทธิพลของเวลาในการอบสารตัวอย่างที่อุณหภูมิ 100°C	98
บรรณานุกรม	99
ภาคผนวก	103
ก รายงานผลของเครื่องวิเคราะห์พื้นที่ผิว Coulter™ SA3100 Software Version 2.13 ของซิลิกาที่สังเคราะห์โดยใช้อัตราส่วนโดยไมลของ $P123/F127 = 3/7$ ใช้ 0.5M HCl และไม่เติมเกลืออนินทรี [์]	104
ข การใช้เครื่อง Surface area analyzer	113
ค การนำเสนอผลงานที่การประชุมเสนอผลงานวิจัยบัณฑิตศึกษาแห่งชาติ ครั้งที่ 8 วันที่ 7-8 กันยายน 2550 ณ มหาวิทยาลัยมหิดล (ศาลายา)	124
จ.นครปฐม	135
ประวัติผู้เขียน	135

รายการตาราง

ตารางที่	หน้า
1.1 สมบัติของ Pluronic EO _n PO _m EO _n โคลพอลิเมอร์ (Alexandridis <i>et al.</i> , 1995)	11
1.2 ความแตกต่างระหว่างการดูดซับทางเคมีและการดูดซับทางกายภาพ (Bond., 1987)	15
2.1 ส่วนผสมสารเคมีสำหรับการสังเคราะห์ซิลิกาเพื่อศึกษาอิทธิพลของ อัตราส่วนโดยมอลของ P123/F127 และความเข้มข้นของกรด HCl	34
2.2 ส่วนผสมสารเคมีสำหรับการสังเคราะห์ซิลิกาเพื่อศึกษาอิทธิพลของ ความเข้มข้นและชนิดของเกลืออนินทรีย์	35
2.3 ส่วนผสมสารเคมีสำหรับการสังเคราะห์ซิลิกาเพื่อศึกษาอิทธิพลของ สารลดแรงตึงผิวร่วม SDS	35
2.4 ส่วนผสมสารเคมีสำหรับการสังเคราะห์ซิลิกาเพื่อศึกษาอิทธิพลของ สารลดแรงตึงผิวร่วม CTAB	36
2.5 ส่วนผสมสารเคมีสำหรับการสังเคราะห์ซิลิกาเพื่อศึกษาอิทธิพลของ ตัวทำละลายร่วม EtOH	36
2.6 ส่วนผสมสารเคมีสำหรับการสังเคราะห์ซิลิกาเพื่อศึกษาอิทธิพลของ เวลาที่ใช้ในการอบสารตัวอย่างที่อุณหภูมิ 100°C	37
3.1 พื้นที่ผิว รัศมีรูรุนและปริมาตรรูรุนต่าง ๆ ของซิลิกาที่สังเคราะห์โดยใช้ อัตราส่วนโดยมอลของ P123/F127 ที่แตกต่างกันเป็นแม่แบบ ใช้ 0.3M HCl (ตัวอย่างที่ 1-4) และ 0.5M HCl (ตัวอย่างที่ 5-8)	39
3.2 ค่า volume adsorped (แกน y) ที่มีการบวกเพิ่มขึ้นของซิลิกาที่สังเคราะห์ โดยใช้ 0.3M HCl (ตัวอย่างที่ 1-4) และมีการแบรอัตราส่วนโดยมอลของ P123/F127	41
3.3 ค่า volume adsorped (แกน y) ที่มีการบวกเพิ่มขึ้นของซิลิกาที่สังเคราะห์ โดยใช้ 0.3M HCl (ตัวอย่างที่ 5-8) และมีการแบรอัตราส่วนโดยมอลของ P123/F127	42

รายการตาราง (ต่อ)

ตารางที่	หน้า
3.4 พื้นที่ผิว รัศมีรูพ魯นและปริมาตรรูพ魯นต่างๆของซิลิกาที่สังเคราะห์เพื่อศึกษา อิทธิพลของความเข้มข้นและชนิดของเกลืออนินทรีย์ อัตราส่วนโดยโมลของ $P123/F127 = 3/7$ ใช้ 0.5M HCl ใช้ชนิดและความเข้มข้นของเกลืออนินทรีย์ ที่แตกต่างกัน	52
3.5 ค่า volume adsorped (แกน y) ที่มีการบวกเพิ่มขึ้นของซิลิกาที่สังเคราะห์ เพื่อศึกษาอิทธิพลของความเข้มข้นและชนิดของเกลืออนินทรีย์	54
3.6 ค่า intensity (แกน y) ที่มีการบวกเพิ่มขึ้นของซิลิกาที่สังเคราะห์เพื่อศึกษา อิทธิพลของความเข้มข้นและชนิดของเกลืออนินทรีย์	56
3.7 ความสัมพันธ์ระหว่างค่า d_{100} และค่า r_p ของซิลิกาที่สังเคราะห์เพื่อศึกษา อิทธิพลของความเข้มข้นและชนิดของเกลืออนินทรีย์	56
3.8 พื้นที่ผิว รัศมีรูพ魯นและปริมาตรรูพ魯นต่างๆของซิลิกาที่สังเคราะห์เพื่อศึกษา อิทธิพลของการเติม SDS เป็นสารลดแรงตึงผิวร่วมที่อัตราส่วนโดยโมลของ $(P123+F127)/SDS$ ต่างๆกัน ซึ่งใช้อัตราส่วนโดยโมลของ $P123/F127 =$ $3/7$ ใช้ 0.5M HCl และ 0.1M Na_2SO_4	62
3.9 พื้นที่ผิว รัศมีรูพ魯นและปริมาตรรูพ魯นต่างๆของซิลิกาที่สังเคราะห์เพื่อศึกษา อิทธิพลของการเติม CTAB เป็นสารลดแรงตึงผิวร่วมที่อัตราส่วนโดยโมล ของ $(P123+F127)/CTAB$ ต่างๆกัน ซึ่งใช้อัตราส่วนโดยโมลของ $P123/F127 = 3/7$ ใช้ 0.5M HCl และใช้ 0.1M Na_2SO_4	63
3.10 ค่า volume adsorped (แกน y) ที่มีการบวกเพิ่มขึ้นของซิลิกาที่สังเคราะห์ โดยมีการเติม SDS เป็นสารลดแรงตึงผิวร่วมที่อัตราส่วนโดยโมลของ $(P123+F127)/SDS$ ต่างๆกัน	65
3.11 ค่า volume adsorped (แกน y) ที่มีการบวกเพิ่มขึ้นของซิลิกาที่สังเคราะห์ โดยมีการเติม CTAB เป็นสารลดแรงตึงผิวร่วมที่อัตราส่วนโดยโมลของ $(P123+F127)/CTAB$ ต่างๆกัน	65

รายการตาราง (ต่อ)

ตารางที่	หน้า
3.12 ค่า intensity (แกน y) ที่มีการบวกเพิ่มขึ้นของชิลิกาที่สั่งเคราะห์โดยมีการเติม SDS เป็นสารลดแรงตึงผิวร่วมที่อัตราส่วนโดยโมลของ (P123+F127)/SDS ต่างๆกัน	67
3.13 ค่า intensity (แกน y) ที่มีการบวกเพิ่มขึ้นของชิลิกาที่สั่งเคราะห์โดยมีการเติม CTAB เป็นสารลดแรงตึงผิวร่วมที่อัตราส่วนโดยโมลของ (P123+F127)/CTAB ต่างๆกัน	68
3.14 ความสัมพันธ์ระหว่างค่า d_{100} และค่า r_p ของชิลิกาที่สั่งเคราะห์โดยใช้อัตราส่วนโดยโมลของ P123/F127 = 3/7 ใช้ 0.5M HCl ใช้ 0.1M Na_2SO_4 และเติม SDS โดยใช้อัตราส่วนโดยโมลของ (P123+F127)/SDS ต่างๆกัน	68
3.15 ความสัมพันธ์ระหว่างค่า d_{100} และค่า r_p ของชิลิกาที่สั่งเคราะห์โดยใช้อัตราส่วนโดยโมลของ P123/F127 = 3/7 ใช้ 0.5M HCl ใช้ 0.1M Na_2SO_4 และเติม CTAB โดยใช้อัตราส่วนโดยโมลของ (P123+F127)/CTAB ต่างๆกัน	69
3.16 พื้นที่ผิว รัศมีรูพรุนและปริมาตรรูพรุนต่างๆของชิลิกาที่สั่งเคราะห์โดยมีการเติม EtOH เป็นตัวทำละลายร่วมที่อัตราส่วนโดยโมลของ $\text{H}_2\text{O}/\text{EtOH}$ ต่างๆกัน ใช้อัตราส่วนโดยโมลของ P123 /F127 = 3/7 ใช้ 0.5M HCl และใช้ 0.1M Na_2SO_4	80
3.17 ค่า volume adsorped (แกน y) ที่มีการบวกเพิ่มขึ้นของชิลิกาที่สั่งเคราะห์โดยมีการเติม EtOH เป็นตัวทำละลายร่วมที่อัตราส่วนโดยโมลของ $\text{H}_2\text{O}/\text{EtOH}$ ต่างๆ	81
3.18 ค่า intensity (แกน y) ที่มีการบวกเพิ่มขึ้นของชิลิกาที่สั่งเคราะห์โดยมีการเติม EtOH เป็นตัวทำละลายร่วมที่อัตราส่วนโดยโมลของ $\text{H}_2\text{O}/\text{EtOH}$ ต่างๆกัน	82
3.19 ความสัมพันธ์ระหว่างค่า d_{100} และค่า r_p ของชิลิกาที่สั่งเคราะห์โดยใช้อัตราส่วนโดยโมลของ P123/F127 = 3/7 ใช้ 0.5 M HCl ใช้ 0.1M Na_2SO_4 และเติม EtOH โดยใช้อัตราส่วนโดยโมลของ $\text{H}_2\text{O}/\text{EtOH}$ ต่างๆกัน	83

รายการตาราง (ต่อ)

ตารางที่	หน้า
3.20 พื้นที่ผิว รัศมีรูพรุนและปริมาตรรูพรุนต่างๆของชิลิกาที่สังเคราะห์โดยใช้อัตราส่วนโดยโมล ของ P123/F127 = 3/7 ใช้ 0.5M HCl ใช้ 0.1M Na ₂ SO ₄ และใช้เวลาในการอบสารตัวอย่างที่อุณหภูมิ 100°C ต่างๆ กัน	88
3.21 ค่า volume adsorped (แแกน y) ที่มีการบวกเพิ่มขึ้นของชิลิกาที่สังเคราะห์โดยมีการอบสารตัวอย่างที่อุณหภูมิ 100°C เป็นเวลาต่างๆกัน	89
3.22 ค่า intensity (แแกน y) ที่มีการบวกเพิ่มขึ้นของชิลิกาที่สังเคราะห์โดยมีการอบสารตัวอย่างที่อุณหภูมิ 100°C เป็นเวลาต่างๆกัน	90
3.23 ความสัมพันธ์ระหว่างค่า d_{100} และค่า r_p ของชิลิกาที่สังเคราะห์โดยใช้อัตราส่วนโดยโมลของ P123/F127 = 3/7 ใช้ 0.5 M HCl ใช้ 0.1M Na ₂ SO ₄ โดยใช้เวลาในการอบสาร ตัวอย่างที่อุณหภูมิ 100°C ต่างๆกัน	91

รายการภาพประกอบ

รายการภาพประกอบที่	หน้า
1.1 โครงสร้างโมเลกุลของบล็อกโโคพอลิเมอร์ชนิด $\text{EO}_n\text{PO}_m\text{EO}_n$ (<i>Soler-Illia et al.</i> , 2003)	2
1.2 โครงสร้างของไมเซลล์ทรงกลม	3
1.3 ขั้นตอนการสังเคราะห์ซิลิกาโดยเริ่มตั้งแต่เมื่อเดิมແหล่งให้ซิลิกาจนกระทั้งได้ซิลิกาที่เป็นของแข็ง (<i>Guth et al.</i> , 2007)	4
1.4 โครงสร้างแบบต่างๆ ของไมเซลล์ (a) body-centered cubic (bcc), (b) hexagonal, (c) lamellar และ (d) bicontinuous cubic (<i>Hamley.</i> , 2000)	5
1.5 การสังเคราะห์ซิลิกาโดยใช้ P123 ($\text{EO}_{20}\text{PO}_{70}\text{EO}_{20}$) เป็นแม่แบบ (<i>Kresge et al.</i> , 1992)	6
1.6 โโคพอลิเมอร์ชนิดต่างๆ (a) โโคพอลิเมอร์แบบสลับ (b) โโคพอลิเมอร์แบบสูม (c) โโคพอลิเมอร์แบบบล็อก	8
1.7 การสังเคราะห์ $\text{EO}_n\text{PO}_m\text{EO}_n$ บล็อกโโคพอลิเมอร์	9
1.8 ตารางการเรียกชื่อ Pluronic $\text{EO}_n\text{PO}_m\text{EO}_n$ บล็อกโโคพอลิเมอร์ (<i>Alexandridis et al.</i> , 1995)	10
1.9 โมเลกุลของสารลดแรงตึงผิว	12
1.10 แรงระหว่างโมเลกุลของไมเซลล์	13
1.11 การเกิดไมเซลล์ของสารลดแรงตึงผิว	14
1.12 สมบัติทางฟิสิกส์ของสารละลายของสารลดแรงตึงผิว	14
1.13 กราฟที-พล็อต	18
1.14 การหาค่า $V_{0.95}$	19
1.15 ชนิดไอโซเทอร์มของการดูดซับทั้ง 5 ชนิดของ Brunauer-Emmett Teller (BET) (<i>Brunauer et al.</i> , 1945)	20
1.16 รูปรุนของซิลิกา (<i>Tattershall et al.</i> , 2002)	21
1.17 การหาค่า (P/P_0) step isotherm	23
1.18 แบบจำลองกฎของแบร์ก์ (www.kmitl.ac.th/sisc/XRD)	23

รายการภาพประกอบ (ต่อ)

รายการภาพประกอบที่	หน้า
1.19 ค่า d (d -spacing), ค่า unit cell parameter และค่ารัศมีของส่วน core ของไมเซลล์ ของชิลิกาที่มีโครงสร้างแบบ hexagonal (Soni <i>et al.</i> , 2006)	24
3.1 ความสัมพันธ์ระหว่างค่ารัศมีพรุนของชิลิกากับอัตราส่วนโดยโมลของ P123 เมื่อใช้ความเข้มข้น 0.3 และ 0.5M HCl	39
3.2 กราฟผลของอัตราส่วนโดยนำหักของ P123 ที่มีผลต่อรัศมีของไมเซลล์ที่อุณหภูมิ 40°C (ดัดแปลงมาจาก Chaibundit <i>et al.</i> , 2007)	40
3.3 Adsorption isotherms ของชิลิกาที่สังเคราะห์เพื่อศึกษาอิทธิพลของความเข้มข้นกรด HCl และอัตราส่วนโดยโมลของ P123/F127 โดยใช้ 0.3M HCl	41
3.4 Adsorption isotherms ของชิลิกาที่สังเคราะห์เพื่อศึกษาอิทธิพลของความเข้มข้นกรด HCl และอัตราส่วนโดยโมลของ P123/F127 โดยใช้ 0.5M HCl	42
3.5 ภาพจากเทคนิค SEM ของชิลิกาที่สังเคราะห์โดยใช้แม่แบบเพียงชนิดเดียว (A) ชิลิกาที่สังเคราะห์โดยใช้ P123 (B) ชิลิกาที่สังเคราะห์โดยใช้ F127 (Chandrasekar <i>et al.</i> , 2007)	43
3.6 ภาพจากเทคนิค SEM ของชิลิกาที่สังเคราะห์โดยใช้อัตราส่วนโดยโมลของ P123/F127 = 1/9 และใช้ 0.3 M HCl (a) ใช้กำลังขยาย 2000 (b) ใช้กำลังขยาย 3000 (c) ใช้กำลังขยาย 4500	44
3.7 ภาพจากเทคนิค SEM ของชิลิกาที่สังเคราะห์โดยใช้อัตราส่วนโดยโมลของ P123/F127 = 3/7 และใช้ 0.3M HCl (a) ใช้กำลังขยาย 2000 (b) ใช้กำลังขยาย 3000 (c) ใช้กำลังขยาย 4500	45
3.8 ภาพจากเทคนิค SEM ของชิลิกาที่สังเคราะห์โดยใช้อัตราส่วนโดยโมลของ P123/F127 = 5/5 และใช้ 0.3M HCl (a) ใช้กำลังขยาย 2000 (b) ใช้กำลังขยาย 3000 (c) ใช้กำลังขยาย 4500	46
3.9 ภาพจากเทคนิค SEM ของชิลิกาที่สังเคราะห์โดยใช้อัตราส่วนโดยโมลของ P123/F127 = 7/3 และใช้ 0.3M HCl (a) ใช้กำลังขยาย 2000 (b) ใช้กำลังขยาย 3000 (c) ใช้กำลังขยาย 4500	47

รายการภาพประกอบ (ต่อ)

รายการภาพประกอบที่	หน้า
3.10 ภาพจากเทคนิค SEM ของชิลิกาที่สังเคราะห์โดยใช้อัตราส่วนโดยโมลของ P123/F127 = 1/9 และใช้ 0.5M HCl (a) ใช้กำลังขยาย 2000 (b) ใช้กำลังขยาย 3000 (c) ใช้กำลังขยาย 4500	48
3.11 ภาพจากเทคนิค SEM ของชิลิกาที่สังเคราะห์โดยใช้อัตราส่วนโดยโมลของ P123/F127 = 3/7 และใช้ 0.5M HCl (a) ใช้กำลังขยาย 2000 (b) ใช้กำลังขยาย 3000 (c) ใช้กำลังขยาย 4500	49
3.12 ภาพจากเทคนิค SEM ของชิลิกาที่สังเคราะห์โดยใช้อัตราส่วนโดยโมลของ P123/F127 = 5/5 และใช้ 0.5M HCl (a) ใช้กำลังขยาย 2000 (b) ใช้กำลังขยาย 3000 (c) ใช้กำลังขยาย 4500	50
3.13 ภาพจากเทคนิค SEM ของชิลิกาที่สังเคราะห์โดยใช้อัตราส่วนโดยโมลของ P123/F127 = 7/3 และใช้ 0.5M HCl (a) ใช้กำลังขยาย 2000 (b) ใช้กำลังขยาย 3000 (c) ใช้กำลังขยาย 4500	51
3.14 (a) ไมเซลล์ที่เกิดขึ้นในสารละลายที่ไม่มีการเติมเกลืออนินทรีย์ (b) ไมเซลล์ที่เกิดขึ้นในสารละลายที่มีการเติมเกลืออนินทรีย์	53
3.15 Adsorption isotherms ของชิลิกาที่สังเคราะห์เพื่อศึกษาอิทธิพลของความเข้มข้นและชนิดของเกลืออนินทรีย์	54
3.16 ผล XRD ของชิลิกาที่สังเคราะห์เพื่อศึกษาอิทธิพลของความเข้มข้นและชนิดของเกลืออนินทรีย์	55
3.17 ภาพจากเทคนิค SEM ของชิลิกาที่สังเคราะห์โดยใช้อัตราส่วนโดยโมลของ P123/F127 = 3/7 ใช้ 0.5M HCl และไม่เติมเกลืออนินทรีย์ (a) ใช้กำลังขยาย 2000 (b) ใช้กำลังขยาย 3000 (c) ใช้กำลังขยาย 4500	57
3.18 ภาพจากเทคนิค SEM ของชิลิกาที่สังเคราะห์โดยใช้อัตราส่วนโดยโมลของ P123/F127 = 3/7 ใช้ 0.5M HCl และเติม 0.1M Na ₂ SO ₄ (a) ใช้กำลังขยาย 2000 (b) ใช้กำลังขยาย 3000 (c) ใช้กำลังขยาย 4500	58

รายการภาพประกอบ (ต่อ)

รายการภาพประกอบที่	หน้า
3.19 ภาพจากเทคนิค SEM ของซิลิกาที่สั้งเคราะห์โดยใช้อัตราส่วนโดยโมลของ P123/F127 = 3/7 ใช้ 0.5M HCl และเติม 0.5M Na ₂ SO ₄ (a) ใช้กำลังขยาย 2000 (b) ใช้กำลังขยาย 3000 (c) ใช้กำลังขยาย 4500	59
3.20 ภาพจากเทคนิค SEM ของซิลิกาที่สั้งเคราะห์โดยใช้อัตราส่วนโดยโมลของ P123/F127 = 3/7 ใช้ 0.5M HCl และเติม 0.1M KCl (a) ใช้กำลังขยาย 2000 (b) ใช้กำลังขยาย 3000 (c) ใช้กำลังขยาย 4500	60
3.21 ภาพจากเทคนิค SEM ของซิลิกาที่สั้งเคราะห์โดยใช้อัตราส่วนโดยโมลของ P123/F127 = 3/7 ใช้ 0.5M HCl และเติม 0.5M KCl (a) ใช้กำลังขยาย 2000 (b) ใช้กำลังขยาย 3000 (c) ใช้กำลังขยาย 4500	61
3.22 Adsorption isotherms ของซิลิกาที่สั้งเคราะห์โดยมีการเติม SDS ที่อัตราส่วนโดยโมลของ (P123/F127)/SDS ต่างๆ กัน	63
3.23 Adsorption isotherms ของซิลิกาที่สั้งเคราะห์โดยมีการเติม CTAB ที่อัตราส่วนโดยโมลของ (P123/F127)/CTAB ต่างๆ กัน	64
3.24 ผล XRD ของซิลิกาที่สั้งเคราะห์โดยมีการเติม SDS	66
3.25 ผล XRD ของซิลิกาที่สั้งเคราะห์โดยมีการเติม CTAB	67
3.26 ภาพจากเทคนิค SEM ของซิลิกาที่สั้งเคราะห์โดยใช้อัตราส่วนโดยโมลของ P123/F127=3/7 ใช้ 0.5M HCl เติม 0.1M Na ₂ SO ₄ และเติม SDS ที่อัตราส่วนโดยโมลของ (P123+F127)/SDS = 1/1.7 (a) ใช้กำลังขยาย 3000 (b) ใช้กำลังขยาย 4500 (c) ใช้กำลังขยาย 9000	70
3.27 ภาพจากเทคนิค SEM ของซิลิกาที่สั้งเคราะห์โดยใช้อัตราส่วนโดยโมลของ P123/F127=3/7 ใช้ 0.5M HCl เติม 0.1M Na ₂ SO ₄ และเติม SDS ที่อัตราส่วนโดยโมลของ (P123+F127)/SDS = 1/2.0 (a) ใช้กำลังขยาย 3000 (b) ใช้กำลังขยาย 4500 ครั้งที่ 1 (c) ใช้กำลังขยาย 4500 ครั้งที่ 2	71

รายการภาพประกอบ (ต่อ)

รายการภาพประกอบที่	หน้า
3.28 ภาพจากเทคนิค SEM ของซิลิกาที่สังเคราะห์โดยใช้อัตราส่วนโดยโมลของ P123/F127=3/7 ใช้ 0.5M HCl เติม 0.1M Na ₂ SO ₄ และเติม SDS ที่อัตราส่วนโดยโมลของ (P123+F127)/SDS = 1/2.3 (a) ใช้กำลังขยาย 2000 ครั้งที่ 1 (b) ใช้กำลังขยาย 2000 ครั้งที่ 2 (c) ใช้กำลังขยาย 2000 ครั้งที่ 3	72
3.29 ภาพจากเทคนิค SEM ของซิลิกาที่สังเคราะห์โดยใช้อัตราส่วนโดยโมลของ P123/F127=3/7 ใช้ 0.5M HCl เติม 0.1M Na ₂ SO ₄ และเติม SDS ที่อัตราส่วนโดยโมลของ (P123+F127)/SDS = 1/2.6 (a) ใช้กำลังขยาย 2000 (b) ใช้กำลังขยาย 3000 (c) ใช้กำลังขยาย 4500	73
3.30 ภาพจากเทคนิค SEM ของซิลิกาที่สังเคราะห์โดยใช้อัตราส่วนโดยโมลของ P123/F127=3/7 ใช้ 0.5M HCl เติม 0.1M Na ₂ SO ₄ และเติม SDS ที่อัตราส่วนโดยโมลของ (P123+F127)/SDS = 1/2.9 (a) ใช้กำลังขยาย 2000 (b) ใช้กำลังขยาย 3000 (c) ใช้กำลังขยาย 4500	74
3.31 ภาพจากเทคนิค SEM ของซิลิกาที่สังเคราะห์โดยใช้อัตราส่วนโดยโมลของ P123/F127=3/7 ใช้ 0.5M HCl เติม 0.1M Na ₂ SO ₄ และเติม CTAB ที่อัตราส่วนโดยโมลของ (P123+F127)/CTAB = 1/1.7 (a) ใช้กำลังขยาย 2000 (b) ใช้กำลังขยาย 3000 (c) ใช้กำลังขยาย 4500	75
3.32 ภาพจากเทคนิค SEM ของซิลิกาที่สังเคราะห์โดยใช้อัตราส่วนโดยโมลของ P123/F127=3/7 ใช้ 0.5M HCl เติม 0.1M Na ₂ SO ₄ และเติม CTAB ที่อัตราส่วนโดยโมลของ (P123+F127)/CTAB = 1/2.0 (a) ใช้กำลังขยาย 2000 (b) ใช้กำลังขยาย 3000 (c) ใช้กำลังขยาย 4500	76
3.33 ภาพจากเทคนิค SEM ของซิลิกาที่สังเคราะห์โดยใช้อัตราส่วนโดยโมลของ P123/F127=3/7 ใช้ 0.5M HCl เติม 0.1M Na ₂ SO ₄ และเติม CTAB ที่อัตราส่วนโดยโมลของ (P123+F127)/CTAB = 1/2.3 (a) ใช้กำลังขยาย 2000 (b) ใช้กำลังขยาย 3000 (c) ใช้กำลังขยาย 4500	77

รายการภาพประกอบ (ต่อ)

รายการภาพประกอบที่	หน้า
3.34 ภาพจากเทคนิค SEM ของซิลิกาที่สังเคราะห์โดยใช้อัตราส่วนโดยโมลของ P123/F127=3/7 ใช้ 0.5M HCl เติม 0.1M Na ₂ SO ₄ และเติม CTAB ที่อัตราส่วนโดยโมลของ (P123+F127)/CTAB = 1/2.6 (a) ใช้กำลังขยาย 2000 (b) ใช้กำลังขยาย 3000 (c) ใช้กำลังขยาย 4500	78
3.35 ภาพจากเทคนิค SEM ของซิลิกาที่สังเคราะห์โดยใช้อัตราส่วนโดยโมลของ P123/F127=3/7 ใช้ 0.5M HCl เติม 0.1M Na ₂ SO ₄ และเติม CTAB ที่อัตราส่วนโดยโมลของ (P123+F127)/CTAB = 1/2.9 (a) ใช้กำลังขยาย 2000 (b) ใช้กำลังขยาย 3000 (c) ใช้กำลังขยาย 4500	79
3.36 Adsorption isotherms ของซิลิกาที่สังเคราะห์ในตอนที่ 3.4 โดยมีการเติม EtOH ที่อัตราส่วนโดยโมลของ H ₂ O/EtOH ต่างๆ กัน	81
3.37 ผล XRD ของซิลิกาที่สังเคราะห์ในตอนที่ 3.4 โดยมีการเติม EtOH ที่ อัตราส่วนโดยโมลของ H ₂ O/EtOH ต่างๆ กัน	82
3.38 ภาพจากเทคนิค SEM ของซิลิกาที่สังเคราะห์โดยใช้อัตราส่วนโดยโมลของ P123/F127 = 3/7 ใช้ 0.5M HCl เติม 0.1M Na ₂ SO ₄ และเติม EtOH ที่ อัตราส่วนโดยโมลของ H ₂ O/EtOH = 1/1.9 (a) ใช้กำลังขยาย 2000 (b) ใช้กำลังขยาย 3000 (c) ใช้กำลังขยาย 4500	84
3.39 ภาพจากเทคนิค SEM ของซิลิกาที่สังเคราะห์โดยใช้อัตราส่วนโดยโมลของ P123/F127 = 3/7 ใช้ 0.5M HCl เติม 0.1M Na ₂ SO ₄ และเติม EtOH ที่ อัตราส่วนโดยโมลของ H ₂ O/EtOH = 1/2.2 (a) ใช้กำลังขยาย 2000 (b) ใช้กำลังขยาย 3000 (c) ใช้กำลังขยาย 4500	85
3.40 ภาพจากเทคนิค SEM ของซิลิกาที่สังเคราะห์โดยใช้อัตราส่วนโดยโมลของ P123/F127 = 3/7 ใช้ 0.5M HCl เติม 0.1M Na ₂ SO ₄ และเติม EtOH ที่ อัตราส่วนโดยโมลของ H ₂ O/EtOH = 1/5.5(a) ใช้กำลังขยาย 2000 (b) ใช้กำลังขยาย 3000 (c) ใช้กำลังขยาย 4500	86

รายการภาพประกอบ (ต่อ)

รายการภาพประกอบที่	หน้า
3.41 ภาพจากเทคนิค SEM ของชิลิกาที่สังเคราะห์โดยใช้อัตราส่วนโดยโมลของ P123/F127 = 3/7 ใช้ 0.5M HCl เติม 0.1M Na ₂ SO ₄ และเติม EtOH ที่อัตราส่วนโดยโมลของ H ₂ O/EtOH = 1/7.3 (a) ใช้กำลังขยาย 2000 (b) ใช้กำลังขยาย 3000 (c) ใช้กำลังขยาย 4500	87
3.42 Adsorption isotherms ของชิลิกาที่สังเคราะห์โดยใช้เวลาในการอบสารตัวอย่างที่อุณหภูมิ 100°C ต่างๆ กัน	89
3.43 ผล XRD ของชิลิกาที่สังเคราะห์โดยใช้เวลาในการอบสารตัวอย่างที่อุณหภูมิ 100°C ต่างๆ กัน	90
3.44 ภาพจากเทคนิค SEM ของชิลิกาที่สังเคราะห์โดยใช้อัตราส่วนโดยโมลของ P123/F127 = 3/7 ใช้ 0.5M HCl เติม 0.1M Na ₂ SO ₄ และใช้เวลา 3 วัน ใน การอบสารตัวอย่างที่อุณหภูมิ 100°C (a) ใช้กำลังขยาย 2000 (b) ใช้ กำลังขยาย 3000 (c) ใช้กำลังขยาย 4500	92
3.45 ภาพจากเทคนิค SEM ของชิลิกาที่สังเคราะห์โดยใช้อัตราส่วนโดยโมลของ P123/F127 = 3/7 ใช้ 0.5M HCl เติม 0.1M Na ₂ SO ₄ และใช้เวลา 5 วัน ใน การอบสารตัวอย่างที่อุณหภูมิ 100°C (a) ใช้กำลังขยาย 2000 (b) ใช้ กำลังขยาย 3000 (c) ใช้กำลังขยาย 4500	93
3.46 ภาพจากเทคนิค SEM ของชิลิกาที่สังเคราะห์โดยใช้อัตราส่วนโดยโมลของ P123/F127 = 3/7 ใช้ 0.5M HCl เติม 0.1M Na ₂ SO ₄ และใช้เวลา 7 วันใน การอบสารตัวอย่างที่อุณหภูมิ 100°C (a) ใช้กำลังขยาย 2000 (b) ใช้ กำลังขยาย 3000 (c) ใช้กำลังขยาย 4500	94

รายการตารางภาคผนวก

ตารางที่	หน้า
ค1 สมบัติพื้นที่ผิวและรัศมีรูพรุนของชิลิกาที่สังเคราะห์เพื่อศึกษาอิทธิพลของความเข้มข้นกรด HCl และอัตราส่วนโดยโมลของ P123:F127 โดยใช้อัตราส่วนโดยโมลของ P123:F127 ที่แตกต่างกันเป็นแม่แบบ ใช้ 0.3M HCl (ตัวอย่างที่1-4) และ 0.5M HCl (ตัวอย่างที่5-8)	127
ค2 สมบัติพื้นที่ผิว รัศมีรูพรุนและค่า d-spacing ของชิลิกาที่สังเคราะห์เพื่อศึกษาอิทธิพลของความเข้มข้น และ ชนิดของเกลืออนินทรีย์ ซึ่งใช้อัตราส่วนโดยโมลของ P123:F127 = 3:7 ใช้ 0.5 M HCl ใช้ชนิดและความเข้มข้นของเกลืออนินทรีย์ที่แตกต่างกัน	128
ค3 สมบัติพื้นที่ผิว รัศมีรูพรุนและค่า d-spacing ของชิลิกาที่สังเคราะห์เพื่อศึกษาอิทธิพลของความเข้มข้นของสารลดแรงตึงผิวร่วม โดยใช้อัตราส่วนโดยโมลของ P123:F127 = 3:7 ใช้ 0.5 M HCl ใช้ 0.1M Na ₂ SO ₄ และเติม CTAB ที่อัตราส่วนโดยโมลของ(P123+F127):CTAB ต่างๆกัน	130
ค4 สมบัติพื้นที่ผิว รัศมีรูพรุนและค่า d-spacing ของชิลิกาที่สังเคราะห์เพื่อศึกษาอิทธิพลความเข้มข้นของ ethanol ซึ่งใช้อัตราส่วนโดยโมลของ P123:F127 = 3:7 ใช้ 0.5 M HCl ใช้ 0.1M Na ₂ SO ₄ และเติม EtOH ที่อัตราส่วนโดยโมลของ H ₂ O:EtOH ต่างๆกัน	130
ค5 สมบัติพื้นที่ผิว รัศมีรูพรุนและค่าd-spacingของชิลิกาที่สังเคราะห์โดยใช้อัตราส่วนโดยโมลของ P123:F127 = 30:70 ใช้ 0.5 M HCl ใช้ 0.1M Na ₂ SO ₄ และใช้เวลาในการอบสารตัวอย่างที่อุณหภูมิ100°C ต่างๆกัน	131

รายการภาพประกอบภาคผนวก

ภาพประกอบภาคผนวก	หน้า
ข.1 ภาพด้านหน้าของเครื่อง surface area analyzer	113
ข.2 ภาพด้านหลังของเครื่อง surface area analyzer	113
ข.3 การใส่แผ่นดิสก์ลงในเครื่อง	114
ข.4 ภาพหน้าจอเมนูเมื่อเครื่องเริ่มทำงาน	114
ข.5 ภาพหน้าจอ New Profile เมื่อต้องการสร้างโปรไฟล์ใหม่	115
ข.6 ภาพหน้าจอ Profile เมื่อต้องการแก้ไขโปรไฟล์ใหม่	116
ข.7 หลอดใส่สารตัวอย่างชนิดต่างๆ และส่วนประกอบของหลอด	117
ข.8 การซึ่งนำหักหลอดใส่สารตัวอย่างพร้อมแท่งแก้ว	118
ข.9 การเทสารตัวอย่างใส่ในหลอดใส่สารตัวอย่าง	118
ข.10 การนำหลอดใส่สารตัวอย่างตอกับชุดอุปกรณ์สำหรับ outgas	119
ข.11 ภาพหน้าจอ outgas	119
ข.12 ภาพหน้าจากการตั้งชื่อตัวอย่าง	120
ข.13 ภาพหน้าจากการตั้งอุณหภูมิในการ Outgas	121
ข.14 ภาพหน้าจอเมนูก่อนการวิเคราะห์	122
ข.15 ภาพหน้าจอข้อมูลของตัวอย่างที่ทำการ Outgas แล้ว	122
ข.16 การเทในโตรเจนเหลวลงในกระติก	123
ค.1 Adsorption isotherms ของชิลิกาที่สั้นเคราะห์เพื่อศึกษาอิทธิพลของความเข้มข้นกรด HCl และอัตราส่วนโดยโมลของ P123:F127 (ก)ใช้ 0.3M HCl (ข)ใช้ 0.5M HCl	127
ค.2 ภาพ SEM ของชิลิกาที่สั้นเคราะห์โดยใช้อัตราส่วนโดยโมลของ P123:F12 = 10:90 (ก)ใช้ 0.3M HCl (ข)ใช้ 0.5M HCl	128

รายการภาพประกอบภาคผนวก (ต่อ)

ภาพประกอบภาคผนวก	หน้า
ค.3 ผล XRD ของ (ก) ซิลิกาที่สังเคราะห์เพื่อศึกษาอิทธิพลของความเข้มข้น และชนิดของเกลืออนินทรีย์ (ข) ซิลิกาที่สังเคราะห์เพื่อศึกษาอิทธิพลความเข้มข้นของ CTAB (ค) ซิลิกาที่สังเคราะห์เพื่อศึกษาอิทธิพลความเข้มข้นของ ethanol (ง) ซิลิกาที่สังเคราะห์เพื่อศึกษาอิทธิพลของเวลาในการอบสารตัวอย่างที่อุณหภูมิ 100°C	129
ค.4 ภาพ SEM ของซิลิกาที่สังเคราะห์เพื่อศึกษาอิทธิพลของความเข้มข้นและชนิดของเกลืออนินทรีย์ (ก) ตัวอย่างที่ 9 ซึ่งไม่มีการเติมเกลืออนินทรีย์ (ข) ตัวอย่างที่ 11 เติม 0.5M Na ₂ SO ₄ (ค) ตัวอย่างที่ 13 เติม 0.5M KCl	130

สัญลักษณ์คำย่อและตัวย่อ

สัญลักษณ์และ ตัวย่อ	ชื่อภาษาอังกฤษ	ชื่อภาษาไทย
APEO	alkylphenol polyethylene glycol ether	อัลคิลฟีโนลโพลีเอทิลีนไกล-คอลอีเทอร์
AS	sodium alkyl sulphate	โซเดียมอัลคิลซัลเฟต
bcc	body-centered cubic	โครงสร้างที่เป็นสีเหลี่ยมทรงลูกบาศก์และมีอนุภาคทรงกลมอยู่ใจกลางของลูกบาศก์ 1 อนุภาค
BET	Brunauer-Emmett-Teller	ไอโซเทอมการดูดซับชนิดหนึ่ง
cgc	critical gel concentration	ค่าความเข้มข้นวิกฤตของการเกิดเจล
cmc	critical micelle concentration	ค่าความเข้มข้นวิกฤตของการเกิดไมเซลล์
CTAB	cetyltrimethylammonium bromide	เซทิลไตรเมทิลแอมโมเนียมบอร์มีต์
CuK α	copper K alpha	คอปเปอร์เคแอลfa
EO	ethylene oxide	เอทิลีโนอกไซด์
EtOH	ethanol	เอทเทานอล
fcc	face-centered cubic	โครงสร้างที่เป็นสีเหลี่ยมทรงลูกบาศก์และมีอนุภาคทรงกลม 1 อนุภาคอยู่ตรงกลางแต่ละหน้าของสีเหลี่ยม
HCl	hydrochloric acid	กรดไฮโดรคลอริก
HPLC	high performance liquid chromatography	เครื่องแยกของเหลวสมรรถนะสูง
KCl	potassium chloride	โพแทสเซียมคลอไรด์
LAS	Alkylbenzenesulphonate	อัลคิลเบนเซนซัลโซโนเนต

สัญลักษณ์คำย่อและตัวย่อ (ต่อ)

สัญลักษณ์และ ตัวย่อ	ชื่อภาษาอังกฤษ	ชื่อภาษาไทย
Na_2SO_4	sodium sulphate	โซเดียมซัลเฟต
n, m	number of repeating unit	จำนวนของหน่วยที่ซ้ำกัน
Pluronic F127	$\text{EO}_{106}\text{PO}_{70}\text{EO}_{106}$	ไตรบล็อกโโคโพลิเมอร์ของเอทิลีโนกไซด์กับโพรพิลีโนกไซด์ชนิดหนึ่ง
Pluronic P123	$\text{EO}_{20}\text{PO}_{70}\text{EO}_{20}$	ไตรบล็อกโโคโพลิเมอร์ของเอทิลีโนกไซด์กับโพรพิลีโนกไซด์ชนิดหนึ่ง
SAS	alkanesulphonate	อัลเคนซัลฟอนेट
SBA	Santa Barbara Amorphous	ชีอตระกูลหนึ่งของซิลิกา
SDS	sodium dodecyl sulfate	โซเดียมไดเดซิลซัลเฟต
SEM	scanning electron microscopy	กล้องจุลทรรศน์อิเล็กตรอนแบบส่องกระดิ้ง
TMOS	tetramethyl orthosilicate	เตตራเมทธิลออกไซด์ซิลิกา
TEOS	tetraethyl orthosilicate	เตตตราเอทิลออกไซด์ซิลิกา
TPOS	tetrapropyl orthosilicate	เตตตราโปรพิลออกไซด์ซิลิกา
TBOS	tetrabutyl orthosilicate	เตตตราบิวทิลออกไซด์ซิลิกา
XRD	X-ray diffraction	เครื่องเลี้ยวเบนรังสีเอกซ์
$^{\circ}\text{C}$	degree Celsius	องศาเซลเซียส
cm^3/g	centimeter cubic per gram	ลูกบาศก์เซนติเมตรต่อกิโลกรัม
nm	nanometer	นาโนเมตร
m^2/g	meter square per gram	ตารางเมตรต่อกิโลกรัม

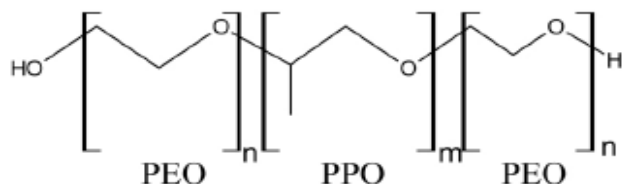
บทที่ 1

บทนำ

1.1 บทนำต้นเรื่อง

ซิลิกาที่มีรูพรุนขนาดมีโซ่ คือ ซิลิกาที่มีขนาดเส้นผ่านศูนย์กลางของรูพรุนอยู่ในช่วง 2-50 nm (ระบบ IUPAC) สังเคราะห์ขึ้นครั้งแรกในปี 192 โดยบริษัท Mobile Oil (Kresge et al., 192) ซึ่งได้ใช้สารลดแรงตึงผิวนิดที่มีประจุบวก (cationic surfactant) คือ cetyltrimethyl ammonium bromide ($[C_{16}H_{33}N^+(CH_3)_3]Br^-$, CTAB) เป็นแม่แบบ ซิลิกาที่สังเคราะห์ได้ นี้จดอยู่ในตระกูลของซิลิกาที่มีรูพรุนซึ่งมีชื่อเรียกว่า M41S หลังจากที่มีการค้นพบในครั้งนี้ทำให้ ซิลิกาที่มีรูพรุนขนาดมีโซ่ได้รับความสนใจมากขึ้นเนื่องจากสามารถนำมาใช้ประโยชน์ในด้านต่างๆ เช่น ในด้านการแยก (separation) ใช้เป็นเฟสอยู่กับที่ (stationary phase) ในเครื่องแยกของเหลวสมรรถนะสูง (high performance liquid chromatography, HPLC) (Ma et al., 2003) ด้านตัวเร่งปฏิกิริยา (catalysts) ใช้เป็นสารสำหรับให้ตัวเร่งปฏิกิริยา yeld เกาะเพื่อให้ปฏิกิริยาเกิดได้ดีขึ้น (James, 2003) ใช้เป็นสารแม่แบบในการสังเคราะห์คาร์บอนนาโนทิวบ์ (Shin et al., 2001) ด้านการแพทย์ใช้เป็นวัสดุควบคุมการปล่อยยาเข้าสู่ร่างกายผู้ป่วย (Xue et al., 2004) งานด้านตรวจจับแก๊สพิษหรือความชื้น (Bearzotti et al., 2004) และงานด้านไฟฟ้าเนื่องจากซิลิกาที่มีรูพรุนขนาดมีโซ่มีค่า dielectric constant ต่ำ (Yu et al., 2004) เป็นต้น จากประโยชน์ที่มีมากมายนี้ทำให้มีการสังเคราะห์ซิลิกาที่มีรูพรุนขนาดมีโซ่กันอย่างแพร่หลายโดยมีการใช้สารลดแรงตึงผิวนิดอื่นมาเป็นแม่แบบ เช่น สารลดแรงตึงผิวนิดที่ส่วนหัวมีประจุลบ (anionic surfactant) เช่น sodium dodecyl (lauryl) sulfate ($CH_3(CH_2)_{11}OSO_3^- Na^+$, SDS) สารลดแรงตึงผิวประเภทเอมินที่เป็นกลาง สารลดแรงตึงผิวโพลิเอทธิลีนออกไซด์ที่ไม่มีข้าว และสารลดแรงตึงผิวที่เป็นบล็อกโคโพลิเมอร์ ซึ่งทำให้ได้ซิลิกาที่มีรูพรุนขนาดมีโซ่ที่มีคุณลักษณะที่แตกต่างกันมากมายและเกิดเป็นตระกูลของซิลิกาขึ้นอีกหลายตระกูล เช่น MSU, FDU, JLU, FSM และ KIT ซึ่ง SBA (Santa Barbara Amorphous) เป็นชื่อตระกูลของซิลิกาที่มีรูพรุนขนาดมีโซ่ตระกูลหนึ่งที่ได้รับความสนใจเป็นอย่างมาก โดย SBA จะมีขนาดของรูพรุนอยู่ในช่วง 2-30 nm ความหนาของผนังรูพรุนอยู่ในช่วง 1.5-8 nm ซิลิกาในตระกูล SBA สามารถใช้ไตรบล็อกโคโพลิเมอร์ชนิดที่ไม่มีประจุ (nonionic surfactant) poly(ethylene oxide-b-propylene oxide-b-ethylene oxide) ($EO_nPO_mEO_n$) เป็นแม่แบบในการสังเคราะห์ได้ ภายใต้สภาวะการสังเคราะห์ที่เป็นกรดบล็อกโคโพลิเมอร์นี้ถูกสังเคราะห์ขึ้นโดยบริษัท Wyandotte Chemicals ในปี 1951 และรู้จักกันในชื่อ Pluronic บล็อกโคโพลิเมอร์ชนิด $EO_nPO_mEO_n$ นี้มีสมบัติเป็นสารลดแรงตึงผิวนิดไม่มี

ประจุ เป็นการรวมตัวกันของส่วนที่ละลายน้ำได้ (hydrophilic part) คือ poly(ethylene oxide) ($\text{OCH}_2\text{CH}_2)_n$ ซึ่งสามารถเขียนแทนด้วย EO_n กับส่วนที่ไม่ละลายน้ำ (hydrophobic part) คือ poly(propylene oxide) ($\text{OCH}_2\text{CH}(\text{CH}_3)_m$) เขียนแทนด้วย PO_m เมื่อ m และ n คือ หน่วยที่ซ้ำกัน (repeating unit) โดยโครงสร้างโมเลกุลของบล็อกโคโพลิเมอร์ชนิด $\text{EO}_n\text{PO}_m\text{EO}_n$ แสดงในภาพประกอบที่ 1.1 ซึ่งในภาพ PEO คือ poly(ethylene oxide) และ PPO คือ poly(propylene oxide)

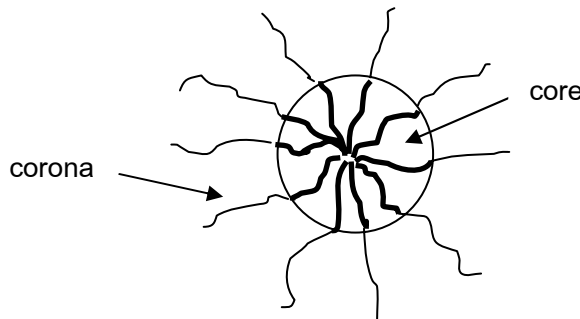


ภาพประกอบที่ 1.1 โครงสร้างโมเลกุลของบล็อกโคโพลิเมอร์ชนิด $\text{EO}_n\text{PO}_m\text{EO}_n$
(Soler-llia et al., 2003)

SBA-15 และ SBA-16 เป็นชิลิกาที่ในตรรกะ SBA โดย SBA-15 มีโครงสร้างภายในเป็นแบบ hexagonal ส่วน SBA-16 มีโครงสร้างภายในเป็นแบบ cubic ซึ่ง SBA-15 สามารถใช้ไตรบล็อกโคโพลิเมอร์ $\text{EO}_{20}\text{PO}_{70}\text{EO}_{20}$ (P123) เป็นแม่แบบ ส่วน SBA-16 สามารถใช้ไตรบล็อกโคโพลิเมอร์ $\text{EO}_{106}\text{PO}_{70}\text{EO}_{106}$ (F127) เป็นแม่แบบ

ในการสังเคราะห์ชิลิกาที่มีรูพรุนขนาดมีโซนิยมนำสารลดแรงตึงผิวมาเป็นแม่แบบในการสังเคราะห์ เนื่องจากมีผลต่อโครงสร้างและขนาดรูพรุนของชิลิกา ในช่วงแรกเมื่อสารลดแรงตึงผิวละลายทั่วไป แต่เมื่อความเข้มข้นของสารละลายมากขึ้นจะกระตุ้นให้เกิดฟองฟ้า ค่าความเข้มข้นวิกฤตของไมเซลล์ (Critical micelle concentration, cmc) โมเลกุลของสารลดแรงตึงผิวจะรวมตัวกันเกิดเป็นไมเซลล์ ซึ่งไมเซลล์จะประกอบด้วย 2 ส่วน คือ ส่วนใจกลาง (core) ของไมเซลล์ เป็นส่วนที่ไม่ละลายน้ำ และส่วนรอบนอก (corona) ของไมเซลล์ เป็นส่วนที่ละลายน้ำได้ ดังแสดงในภาพประกอบที่ 1.2

นอกจากนี้ในการสังเคราะห์ชิลิกาที่มีรูพรุนขนาดมีโซนิยมที่เป็นแหล่งให้ชิลิกาซึ่งมีอยู่หลายชนิด เช่น tetramethyl orthosilicate (TMOS) tetraethyl orthosilicate (TEOS) tetrapropyl orthosilicate (TPOS) tetrabutyl orthosilicate (TBOS) และ sodium meta silicate ($\text{Na}_2\text{SiO}_3 \cdot \text{H}_2\text{O}$) เป็นต้น สำหรับในงานวิจัยนี้ได้ใช้ TEOS เป็นแหล่งให้ชิลิกา ซึ่งสูตรโมเลกุลของ TEOS คือ $\text{Si-(OCH}_2\text{CH}_3)_4$



ภาพประกอบที่ 1.2 โครงสร้างของไนเซลล์ทรงกลม

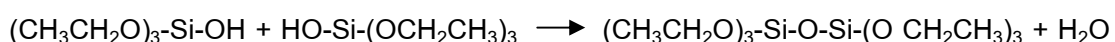
ภาพประกอบที่ 1.3 แสดงขั้นตอนในการสังเคราะห์ซิลิกาโดยเริ่มตั้งแต่เมื่อทำการเติมแหล่งให้ซิลิกาลงไปจนกระทั่งได้ซิลิกาที่เป็นของแข็ง ในขั้นตอนที่ 1 เมื่อเติม TEOS ซึ่งเป็นแหล่งให้ซิลิกาลงไปในสารละลายที่มีสารลดแรงตึงผิวที่เกิดการรวมตัวเป็นไนเซลล์อยู่ TEOS จะถูกดูดซับเข้าไปในไนเซลล์ และเกิดการไฮโดรไลซิส ดังแสดงในปฏิกิริยาต่อไปนี้

ปฏิกิริยาไฮโดรไลซิส

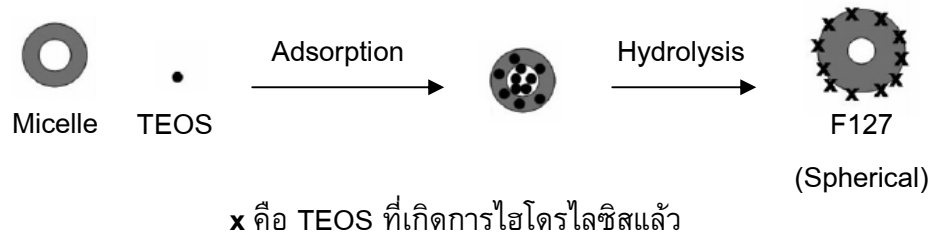


เมื่อ TEOS เกิดการไฮโดรไลซิสแล้วจะอยู่ที่ส่วนของ corona ของไนเซลล์ ต่อมาในขั้นตอนที่ 2 เมื่อทำการให้ความร้อนแก่สารละลายน้ำเกิดการระเหยทำให้ความเข้มข้นของสารลดแรงตึงผิวเพิ่มขึ้น และเมื่อความเข้มข้นเพิ่มขึ้นจนถึงค่าความเข้มข้นวิกฤตของการเกิดเจล (Critical gel concentration, cgc) ไนเซลล์ที่อยู่เดียวๆ อย่างไม่เป็นระเบียบจะรวมกลุ่มกันอย่างเป็นระเบียบ ทำให้เกิดเป็นโครงสร้างของไนเซลล์แบบต่างๆ ขึ้นอยู่กับค่า m และ n เช่น P123 มีสูตรโมเลกุลเป็น $\text{EO}_{20}\text{PO}_{70}\text{EO}_{20}$ มีค่า n=20 และ m=70 ไนเซลล์ที่เกิดขึ้นมีโครงสร้างเป็นแบบ hexagonal ส่วน F127 มีสูตรโมเลกุลเป็น $\text{EO}_{106}\text{PO}_{70}\text{EO}_{106}$ มีค่า n=106 และ m=70 ไนเซลล์ที่เกิดขึ้นมีโครงสร้างเป็นแบบ face-centered cubic (fcc) นอกจากนี้ยังมีโครงสร้างของไนเซลล์แบบอื่นๆ เช่น body-centered cubic(bcc), bicontinuous cubic และ lamellar ดังแสดงในภาพประกอบที่ 1.4 และในขั้นตอนที่ 3 เมื่อไนเซลล์เกิดการรวมกลุ่มกันส่วนของ corona จะเข้ามาอยู่ติดกันทำให้เกิดการควบแน่นของซิลิกาและเกิดเป็นซิลิกาที่เป็นของแข็ง ดังแสดงในปฏิกิริยาต่อไปนี้

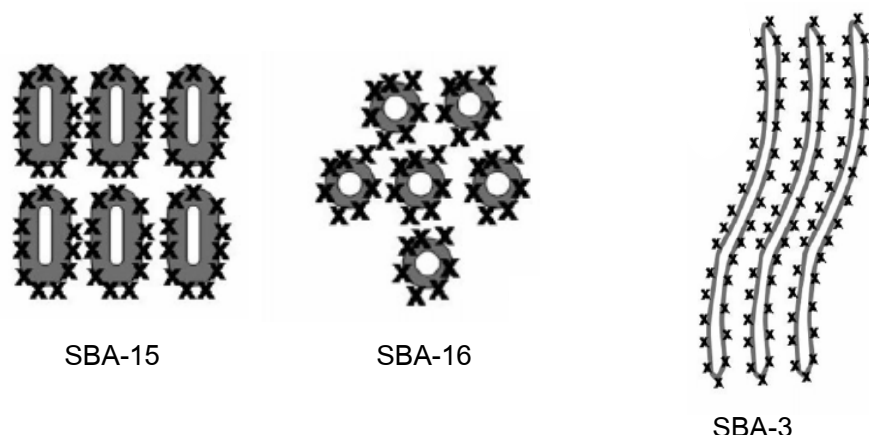
ปฏิกิริยาควบแน่น



ขั้นตอนที่ 1 TEOS ถูกดูดซับเข้าไปในไมเซลล์และเกิดการไฮโดรไลซิส แล้วอยู่ที่ส่วนของ corona ของไมเซลล์



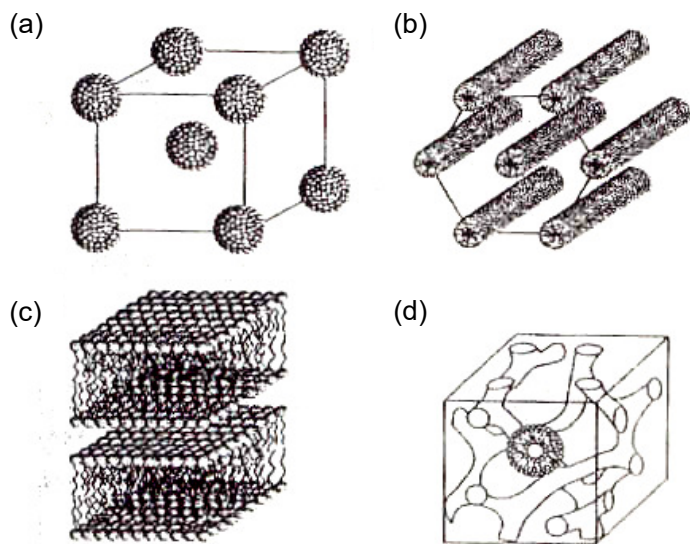
ขั้นตอนที่ 2 ไมเซลล์เกิดการรวมกลุ่มกัน



ขั้นตอนที่ 3 ไมเซลล์เกิดการรวมกลุ่มกันส่วนของ corona จะเข้ามาอยู่ติดกันทำให้เกิดการควบแน่นของชิลิกาและเกิดเป็นชิลิกาที่เป็นของแข็ง



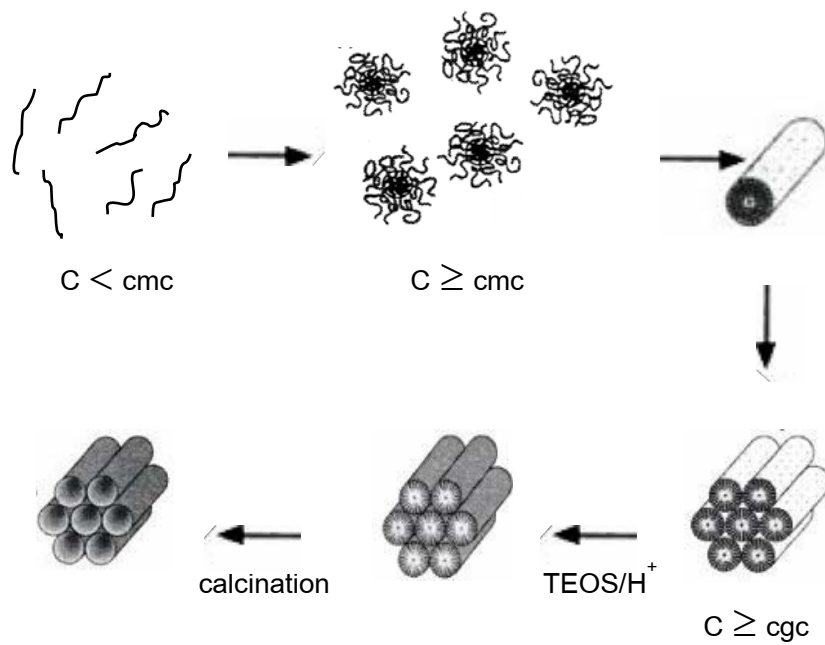
ภาพประกอบที่ 1.3 ขั้นตอนการสังเคราะห์ชิลิกาโดยเริ่มตั้งแต่เมื่อเติมแหล่งให้ชิลิกาจนกระทั่งได้ชิลิกาที่เป็นของแข็ง (Guth et al., 2007)



ภาพประกอบที่ 1.4 โครงสร้างแบบต่างๆ ของไมเซลล์ (a) body-centered cubic (bcc), (b) hexagonal, (c) lamellar และ (d) bicontinuous cubic
(Hamley., 2000)

เมื่อซิลิกาเกิดเป็นของแข็งแล้ว นำสารที่ได้ไปเผาที่อุณหภูมิสูง (Calcinations) สารลดแรงตึงผิวจะถูกเผาไหม้ไปเหลือเพียงซิลิกาที่มีรูพรุนเกิดขึ้น โดยซิลิกาที่ได้จะมีลักษณะโครงสร้างคล้ายกับโครงสร้างของไมเซลล์

ภาพประกอบที่ 1.5 เป็นตัวอย่างการสังเคราะห์ซิลิกาที่มีรูพรุนขนาดมีໂไซโดยใช้ P123 เป็นแม่แบบ เริ่มแรกสารละลายประกอบด้วยโมเลกุลของ P123 ที่มีความเข้มข้นน้อยกว่าค่า cmc โมเลกุลของ P123 อยู่เป็นโมเลกุลเดี่ยวๆ โดยมีลักษณะเป็นชุด (coil) แต่เมื่อความเข้มข้นเพิ่มสูงขึ้นจนกระทั่งมีค่ามากกว่าหรือเท่ากับค่า cmc โมเลกุลของ P123 เกิดการรวมตัวกันเป็นไมเซลล์ทรงกลมและในขั้นตอนนี้ TEOS ถูกดูดซับเข้าไปในไมเซลล์และเกิดการไฮโดรไลซิส เมื่อความเข้มข้นของสารละลายสูงขึ้น ไมเซลล์เกิดการเปลี่ยนแปลงรูปร่างเป็นแบบแท่งและเมื่อความเข้มข้นเพิ่มขึ้นอีกจนกระทั่งถึงความเข้มข้นวิกฤตของการเกิดเจล (cgc) ไมเซลล์ที่มีรูปร่างเป็นแบบแท่งเกิดการรวมตัวกันเป็นโครงสร้างแบบ hexagonal ในขั้นตอนนี้ส่วนของ corona เข้ามาอยู่ชิดกันทำให้เกิดการควบแน่นของซิลิกาและเกิดเป็นซิลิกาที่เป็นของแข็งโครงสร้างของซิลิกาที่ได้เป็นแบบ hexagonal คล้ายกับโครงสร้างของไมเซลล์ จากนั้นนำไปเผาที่อุณหภูมิสูงเพื่อกำจัดอา P123 ออก ทำให้ได้ซิลิกาที่มีรูพรุนซึ่งมีโครงสร้างเป็นแบบ hexagonal เกิดขึ้น



C คือ ค่าความเข้มข้นของสารลดแรงตึงผิว

ภาพประกอบที่ 1.5 การสังเคราะห์ซิลิกาโดยใช้ P123 ($EO_{20}PO_{70}EO_{20}$) เป็นแม่แบบ (Kresge et al., 1992)

นอกจากชนิดของสารลดแรงตึงผิวแล้วยังมีปัจจัยอื่นๆ อีกที่มีผลต่อโครงสร้าง และขนาดรูพรุนของซิลิกา เช่น อัตราส่วนของสารลดแรงตึงผิวที่ใช้เป็นแม่แบบ ความเข้มข้น ของกรดที่ใช้ในการสังเคราะห์ ชนิดและความเข้มข้นของเกลือของเกลืออนิทรรศ์ ชนิดและความ เข้มข้นของตัวทำละลายร่วม การสังเคราะห์ในสภาวะที่มีการกวนกับไม่กวนสารละลาย เวลาในการ กวนสารละลาย อุณหภูมิและเวลาในการให้ความร้อนแก่สารละลายและชนิดของเหลวที่ ชิลิกา เป็นต้น

Kim และคณะ (Kim et al., 2004) ทำการสังเคราะห์วัสดุ SBA-16 โดยใช้ F127 เป็นแม่แบบร่วมกับ P123 ที่อัตราส่วนโดยโมลของ $F127/P123 = 1/0, 1/0.2, 1/0.4$ และ $1/0.7$ ภายใต้สภาวะที่เป็นกรดและใช้ TEOS เป็นแหล่งให้ซิลิกา โดยทำการศึกษาอิทธิพลที่มีผล ทำให้วัสดุ SBA-16 มีรูพรุนที่มีขนาดใหญ่ขึ้น ในการสังเคราะห์มีการให้ความร้อน 2 ขั้นตอน คือ ขั้นตอนที่ 1 ทำการสังเคราะห์ที่อุณหภูมิ 35°C เป็นเวลา 24 h สารละลายที่ได้นำมาให้ความ ร้อนในขั้นตอนที่ 2 ที่อุณหภูมิ 333, 353, 373 หรือ 403 K ซึ่งทำให้รูพรุนของซิลิกามีขนาดใหญ่ ขึ้น เนื่องจากเมื่ออุณหภูมิสูงขึ้นส่วน EO_n บล็อกของพอลิเมอร์เกิดพันธะไฮโดรเจนได้น้อยลง

ซึ่งเป็นการเพิ่มส่วนไม่ชอบน้ำในไมเซลล์ ทำให้ core ของไมเซลล์มีขนาดใหญ่ขึ้น (Voort *et al.*, 2002)

(แก้วตา, 2005) ทำการสังเคราะห์ซิลิกาที่มีรูพรุนขนาดมีໂโซโดยใช้ P123 ร่วมกับ F127 เป็นแม่แบบและใช้เกลือในการสังเคราะห์ เนื่องจากเกลือทำให้ค่า cmc ลดลง ดังนั้น พอลิเมอร์จึงสามารถรวมตัวกันเกิดเป็นไมเซลล์ได้ดีขึ้นและทำให้โครงสร้างรูพรุนที่ได้มีความเป็นระเบียบมากขึ้นแต่อย่างไรก็ตามยังไม่มีการสังเคราะห์ซิลิกาที่มีรูพรุนขนาดมีໂโซโดยใช้ P123 ร่วมกับ F127 เป็นแม่แบบ และศึกษาถึงอิทธิพลของความเข้มข้นของเกลืออนินทรีย์ การเติมสารลดแรงตึงผิวร่วมและการเติมตัวทำละลายร่วม

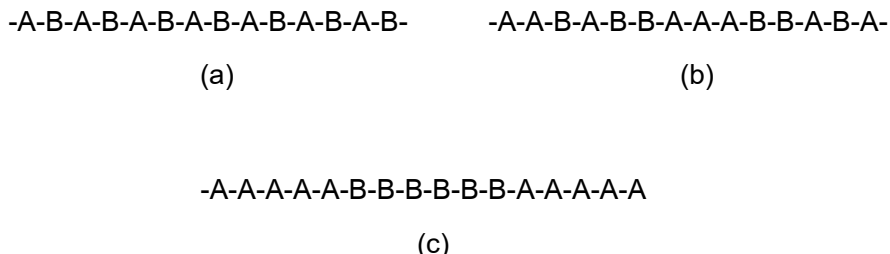
ดังนั้นในงานวิจัยนี้จึงได้ทำการสังเคราะห์ซิลิกาที่มีรูพรุนขนาดมีໂโซโดยใช้ poly(ethylene oxide-b-propylene oxide-b-ethylene oxide) ($\text{EO}_n\text{PO}_m\text{EO}_n$) เป็นแม่แบบในการสังเคราะห์ซึ่งบล็อกโโคพอลิเมอร์ของเอทธิลีโนอกไซด์และโพรพิลีโนอกไซด์ที่ใช้ คือ Pluronic P123 และ Pluronic F127 โดยในงานวิจัยนี้ทำการศึกษาถึงอิทธิพลของอัตราส่วนโดยไมลของ P123/F127 ที่มีผลต่อลักษณะต่างๆ ของซิลิกาที่สังเคราะห์ได้ นอกจากนี้ยังศึกษาถึงผลของการเติมเกลืออนินทรีย์ คือ Na_2SO_4 และ KCl ที่ความเข้มข้นต่างๆ กัน ศึกษาผลของการเติมสารลดแรงตึงผิวร่วม (cosurfactant) คือ CTAB และ SDS ที่อัตราส่วนต่างๆ กัน ผลของการเติมตัวทำละลายร่วม (cosolvent) คือ ethanol (EtOH) ที่อัตราส่วนต่างๆ กันและผลของเวลาที่ใช้ในการอบสารตัวอย่างที่อุณหภูมิ 100°C ต่างๆ กัน จากนั้นนำซิลิกาที่สังเคราะห์ได้ไปตรวจสอบลักษณะโดยใช้กล้องจุลทรรศน์อิเล็กตรอนแบบส่องกราด (scanning electron microscopy, SEM) เครื่องวิเคราะห์พื้นที่ผิว (surface area analyzer) และเครื่องเลี้ยวเบนรังสีเอกซ์ (X-ray diffraction)

1.2 ตรวจเอกสาร

1.2.1 โโคพอลิเมอร์และไตรบล็อกโโคพอลิเมอร์ $\text{EO}_n\text{PO}_m\text{EO}_n$

โโคพอลิเมอร์ คือ พอลิเมอร์ที่ในสายโซ่โมเลกุลประกอบด้วยหน่วยที่ซ้ำกัน (repeating unit) ตั้งแต่สองชนิดขึ้นไป โดยสามารถแบ่งเป็นแบบต่างๆ ได้อีก เช่น โโคพอลิเมอร์แบบสลับ (alternating copolymer) ซึ่งในสายโซ่โมเลกุลจะประกอบด้วยหน่วยที่ซ้ำกันสองชนิดเรียงสลับกันไปมาอย่างเป็นระเบียบ ดังแสดงในภาพประกอบที่ 1.6(a) โโคพอลิเมอร์แบบสุ่ม (random copolymer) ในสายโซ่โมเลกุลจะมีหน่วยที่ซ้ำกันสองชนิดปะปนกันไปอย่างไม่เป็นระเบียบดังแสดงในภาพประกอบที่ 1.6(b) และโโคพอลิเมอร์แบบบล็อก (block copolymer) ในสายโซ่โมเลกุลจะมีหน่วยที่ซ้ำกันสองชนิดแต่ละชนิดจะอยู่กันเป็นกลุ่มๆ และเรียงสลับกันเป็นบล็อกๆ ดังแสดงในภาพประกอบที่ 1.6(c) โดยแต่ละบล็อกมีส่วนที่ซ้ำกันแตกต่างกันนั้นจึงมี

สมบัติที่แตกต่างกัน ในกรณีของบล็อกโภคพอลิเมอร์ที่มีห้องส่วนที่มีข้าวและไม่มีข้าว เมื่อนำไปละลายน้ำจะน้ำดึงความเข้มข้นค่าหนึ่งจะสามารถเกิดเป็นไนเซลล์ได้



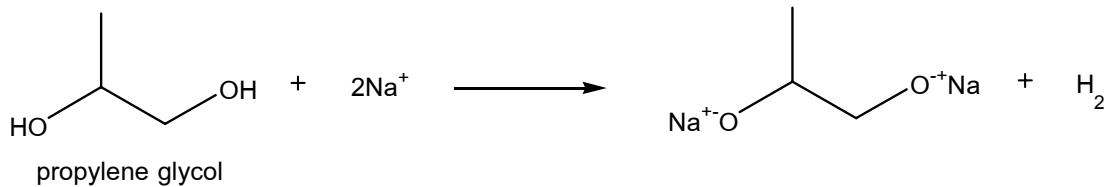
**ภาพประกอบที่ 1.6 โภคพอลิเมอร์ชนิดต่างๆ (a) โภคพอลิเมอร์แบบสลับ
(b) โภคพอลิเมอร์แบบสูง (c) โภคพอลิเมอร์แบบบล็อก**

“ตระบล็อกโภคพอลิเมอร์”ของ poly(ethylene oxide) (EO_n) และ poly(propylene oxide) (PO_m) เป็นสารลดแรงตึงผิวโดยมีสูตรโมเลกุลคือ $\text{EO}_n\text{PO}_m\text{EO}_n$ เมื่อมีการแปรอัตราส่วนและนำหัวนักโมเลกุลของ PO/EO ในการสังเคราะห์จะเป็นการทำให้บล็อกโภคพอลิเมอร์มีสมบัติที่แตกต่างกันออกไป เพื่อให้เหมาะสมกับการนำไปใช้งานในด้านต่างๆ เช่น ใช้เป็นสารซักล้าง ใช้ในด้านการทำให้เกิดฟอง ใช้ในด้านอุตสาหกรรมเครื่องสำอาง ในด้านเภสัชกรรม ช่วยในการลามเลียงยาเพิ่มการละลายของยาให้มากขึ้น เป็นต้น

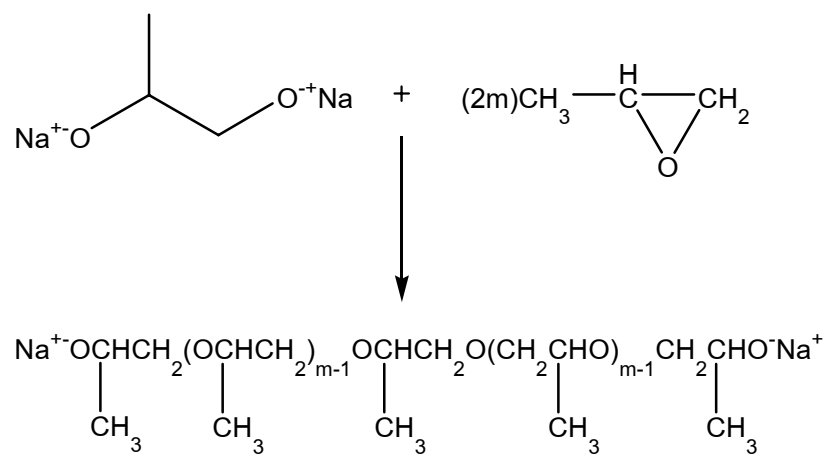
$\text{EO}_n\text{PO}_m\text{EO}_n$ “ตระบล็อกโภคพอลิเมอร์”สามารถสังเคราะห์ได้โดยการเกิดปฏิกิริยาแบบ anionic polymerization โดยใช้ propylene glycol เป็น initiator และใช้ sodium หรือ potassium hydroxide เป็น catalyst และเติม propylene oxide (PO) มองเอมอร์ลงไป ทำให้เกิดเป็น poly(propylene oxide) หลังจากนั้นเติม ethylene oxide (EO) มองเอมอร์ลงไปต่อ กับ poly(propylene oxide) การสังเคราะห์ $\text{EO}_n\text{PO}_m\text{EO}_n$ “ตระบล็อกโภคพอลิเมอร์”แสดงดังภาพประกอบที่ 1.7

C

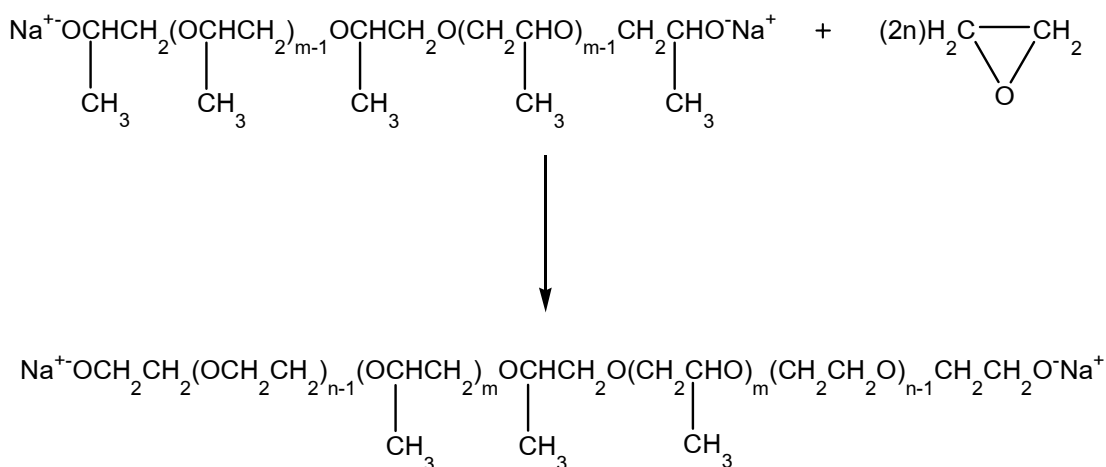
ขั้นที่ 1 ใช้ propylene glycol เป็น initiator และโลหะโซเดียมเป็น catalyst



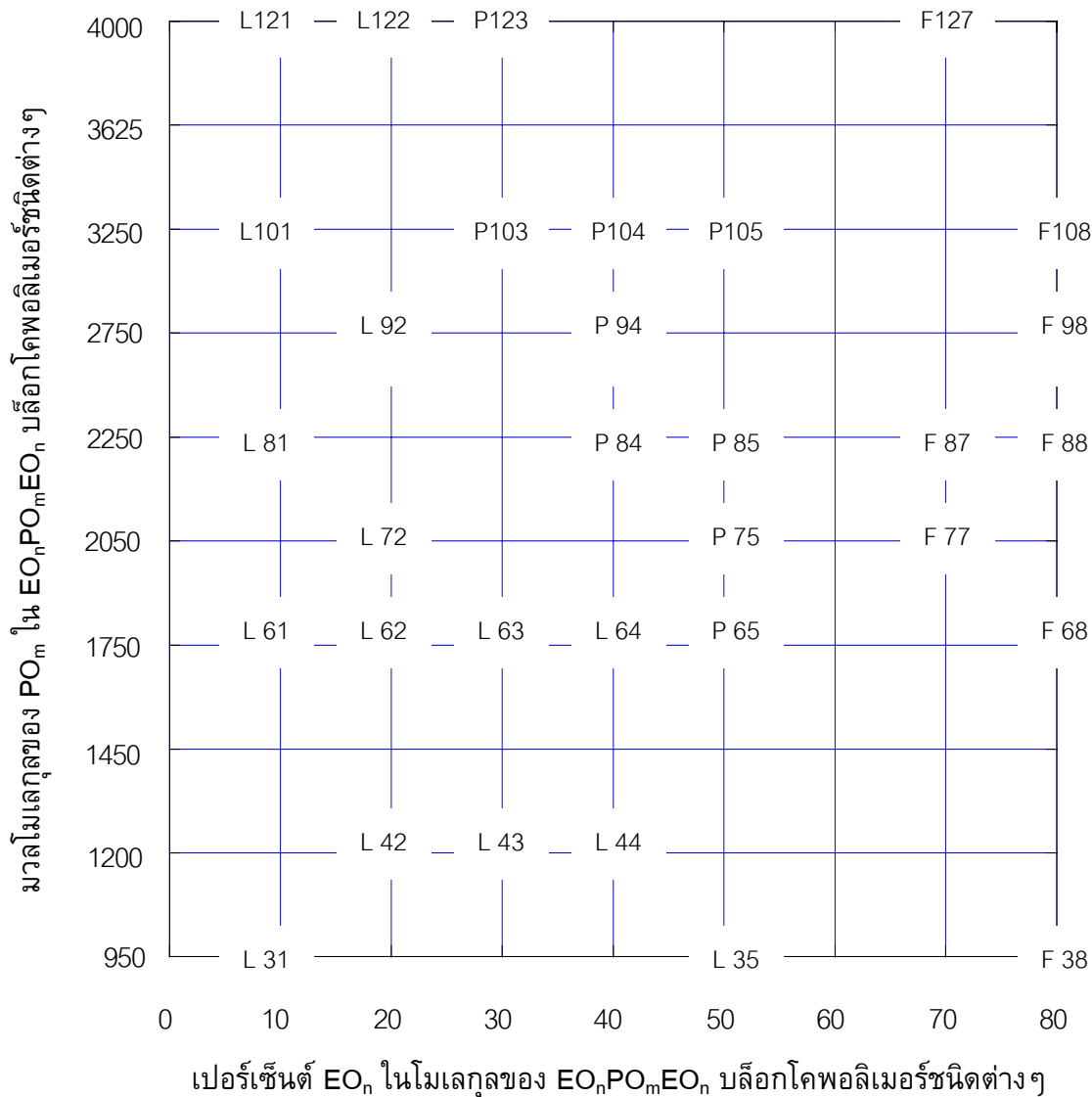
ขั้นที่ 2 เติม propylene oxide (PO) มองอเมอร์เพื่อให้เกิดเป็น poly(propylene oxide)



ขั้นที่ 3 เติม ethylene oxide (EO) มองอเมอร์ลงไปต่อ กับ poly(propylene oxide)



ก้าวประกอบที่ 1.7 การสังเคราะห์ $\text{EO}_n\text{PO}_m\text{EO}_n$ บล็อกโคโพลิเมอร์



Pluronic $\text{EO}_n\text{PO}_m\text{EO}_n$ บล็อกโคโพลิเมอร์มีการเรียกชื่อตามน้ำหนักโมเลกุล และอัตราส่วนของ PO_m/EO_n ซึ่งแสดงในภาพประกอบที่ 1.8 โดยโคโพลิเมอร์ที่อยู่บนเส้นแนวโน้มเดียวกันมีมวลโมเลกุลของ PO_m ใน $\text{EO}_n\text{PO}_m\text{EO}_n$ บล็อกโคโพลิเมอร์เท่ากัน ส่วนบล็อกโคโพลิเมอร์ที่อยู่บนเส้นแนวตั้งเดียวกันมีเปอร์เซ็นต์ของ EO_n ในโมเลกุลของ $\text{EO}_n\text{PO}_m\text{EO}_n$ ที่เท่ากัน สำหรับชื่อของบล็อกโคโพลิเมอร์นั้นถ้าเริ่มต้นด้วยตัว L แทนบล็อกโคโพลิเมอร์ที่มีลักษณะเป็น liquid เริ่มต้นด้วยตัว P สำหรับบล็อกโคโพลิเมอร์ที่มีลักษณะเป็น paste หรือเริ่มต้นด้วยตัว F สำหรับบล็อกโคโพลิเมอร์ที่มีลักษณะเป็น flakes ส่วนตัวเลขตัวแรกหรือตัวที่

สองที่ตามมาคือ ลำดับของบล็อกโโคพอลิเมอร์ในตารางซึ่งเรียกว่า Pluronic grid (ภาพประกอบที่ 1.8) โดยบล็อกถึงน้ำหนักโมเลกุลของ PO_m บล็อกในบล็อกโโคพอลิเมอร์ และตัวเลขตัวสุดท้ายบล็อกถึงเปอร์เซ็นต์โดยน้ำหนักของ EO_n บล็อก ในบล็อกโโคพอลิเมอร์ เช่น P123 ตัวแรกขึ้นต้นด้วยตัว P เนื่องจากเป็นสารที่มีลักษณะเป็น paste ตัวเลข 12 นั้นบอกร้อยว่า P123 อยู่ในลำดับที่ 12 ในแนวตั้งของตารางซึ่งมีน้ำหนักโมเลกุลของ PO_m บล็อก = 4000 ส่วนเลข 3 นั้นบอกร้อยว่า P123 มีเปอร์เซ็นต์โดยน้ำหนักของ EO_n บล็อก = 30%

สมบัติทางกายภาพ เช่น น้ำหนักโมเลกุลเฉลี่ย จุดหลอมเหลว ความหนืด ความตึงผิว เป็นต้น ของ Pluronic $\text{EO}_n\text{PO}_m\text{EO}_n$ บล็อกโโคพอลิเมอร์ แสดงดังตารางที่ 1.1

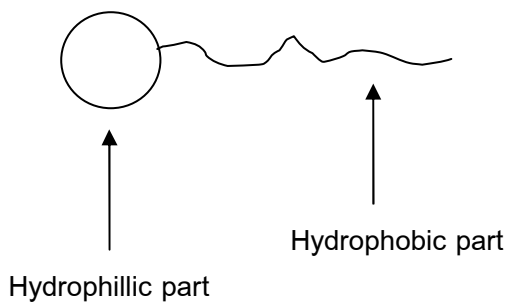
ตารางที่ 1.1 สมบัติของ Pluronic $\text{EO}_n\text{PO}_m\text{EO}_n$ โโคพอลิเมอร์ (Alexandridis *et al.*, 1995)

copolymer	average molecular weight	EO_n wt. %	melting pour point (°C)	viscosity ^a	surface tension at 0.1%, 25°C (dyn cm ⁻¹).
L35	100	50	7	375	40
F38	4700	80	48	260	52
L43	1850	30	-1	310	47
L44	2200	40	16	440	45
P65	3400	50	27	180	46
F68	8400	80	52	1000	50
P105	6500	50	35	750	30
F108	14600	80	57	2800	41
L122	5000	20	20	1750	33
P123	5750	30	31	350	34
F127	12600	70	56	3100	41

^a viscosity (Brookfield) (cps; liquids at 25°C, pastes at 60°C, solids at 77°C).

1.2.2 สารลดแรงตึงผิว (surfactant)

สารลดแรงตึงผิวหรือที่เรียกว่า surfactant หรือ surface active agent หรือ amphiphile ซึ่งโดยนิยามหมายถึง สารใดๆ ที่มักจะไปรวมตัวที่รอยต่อระหว่างผิว(interface) แล้วทำให้สมบัติเชิงผิวของสารนั้นเปลี่ยนไป ในทางเคมีโมเลกุลของสารลดแรงตึงผิวประกอบด้วย 2 ส่วน คือ ส่วนหัว(hydrophilic part) ซึ่งเป็นส่วนที่มีข้าว สามารถรวมตัวได้กับน้ำ และส่วนหาง (hydrophobic part) เป็นส่วนที่ไม่มีข้าว ดังแสดงในภาพประกอบที่ 1.1



ภาพประกอบที่ 1.9 โมเลกุลของสารลดแรงตึงผิว

ด้วยโครงสร้างนี้จึงทำให้สารลดแรงตึงผิวมีสมบัติที่สำคัญคือ สารลดแรงตึงผิวสามารถจัดเรียงตัวอยู่ที่บริเวณรอยต่อระหว่างผิว โดยหันส่วนหัวเข้าสู่ส่วนของเฟสที่มีข้าวและหันส่วนหางเข้าสู่เฟสที่ไม่มีข้าว และเมื่อโมเลกุลของสารลดแรงตึงผิวจัดเรียงตัวอยู่บริเวณรอยต่อระหว่างผิวนั้นก็จะมีผลต่อการจัดเรียงของโมเลกุลที่เหลืออยู่ในบริเวณนั้น ทำให้ส่วนที่เหลือจัดรวมตัวกันเป็นไมเชลล์ (Micelle) โดยหันส่วนของโมเลกุลที่เหมือนกันเข้าหากัน เช่น เมื่อละลายอยู่ในน้ำก็จะหันส่วนหางที่ไม่มีข้าวเข้าหากันและหันส่วนที่มีข้าวออกสู่น้ำ สำหรับส่วนที่ไม่ซอนหน้าน้ำอาจเป็นสายไฮดราริกอนที่อิ่มตัวหรือไม่อิ่มตัว เช่น วงศ์ห่วงชนิด heterocyclic หรือ aromatic ในขณะที่ส่วนที่ซอนหน้าน้ำอาจมีประจุบวกประจุลบหรือไม่มีประจุ ซึ่งสามารถจัดแบ่งประเภทของสารลดแรงตึงผิวตามโครงสร้างของส่วนที่ซอนน้ำ ได้เป็น 4 ประเภท คือ

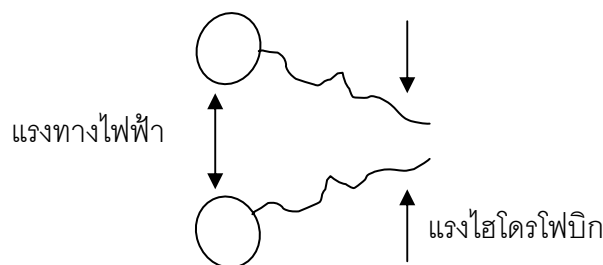
1.2.2.1 สารลดแรงตึงผิวชนิดที่ส่วนหัวมีประจุลบ (Anionic surfactant) เป็นสารลดแรงตึงผิวที่ประจุไฟฟ้าบก hydrophilic มีประจุลบ ส่วนมากอยู่ในรูป carboxylate, sulfate, sulfonate หรือ phosphate เช่น อัลกิลเบนเซนซัลโฟเนต (Alkylbenzenesulphonate, LAS) อัลเคนซัลโฟเนต (Alkanesulphonate,SAS) โซเดียมลอริลซัลเฟต (Sodium lauryl sulphate,SLS) และโซเดียมอัลกิลซัลเฟต (Sodium alkyl sulphate,AS) เป็นต้น

1.2.2.2 สารลดแรงตึงผิวชนิดที่ส่วนหัวมีประจุบวก (Cationic surfactant) เป็นสารลดแรงตึงผิวที่ประจุไฟฟ้าบก hydrophilic มีประจุบวก ส่วนใหญ่เป็นสารประกอบของ ควอเทอร์นารีแอมโมเนียม (Quaternary ammonium) หรือไพริดินียม (Pyridinium) เช่น Hexadecyl trimethyl ammonium bromide, Dodecyl pyridinium iodide และ Cetyltrimethylammonium bromide เป็นต้น

1.2.2.3 สารลดแรงตึงผิวชนิดไม่มีประจุ (Nonionic surfactant) สารลดแรงตึงผิวประเภทนี้ต่างจากสารลดแรงตึงผิวประเภท anionic และ cationic คือเป็นโมเลกุลที่ไม่มีประจุแต่สามารถละลายน้ำได้เนื่องจากมีส่วนที่มีความเป็นข้าวสูง ซึ่งอาจเป็นพวง polyhydroxyl หรือ polyether ตัวอย่างของสารลดแรงตึงผิวประเภทนี้ เช่น อัลกิลฟีนอลโพลีเอทิลีนไกลคอลอีเทอร์ (Alkylphenol polyethylene glycol ether, APEO) อัลกิลแอลกอฮอล์ โพลีเอทิลีนไกลคอลอีเทอร์

(Alkyl alcohol polyethyleneglycol ether) และ ethylene oxide-propylene oxide-ethylene oxide triblock copolymer เป็นต้น

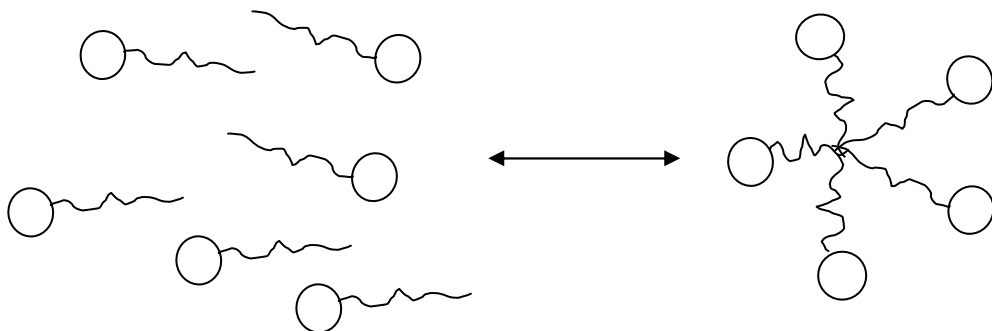
1.2.2.4 สารลดแรงตึงผิวที่เป็นทั้งประจุลบและประจุบวก (switterionic surfactant) เป็นสารลดแรงตึงผิวที่ประจุไฟฟ้าบัน hydrophilic สามารถเป็นได้ทั้งประจุบวกและลบ ขึ้นอยู่กับสภาพความเป็นกรด-ด่างของสภาวะแวดล้อม ถ้าเป็นด่าง ($\text{pH} > 7$) ประจุไฟฟ้าบัน hydrophilic เป็นประจุลบ ถ้าสภาวะแวดล้อมเป็นกรด ($\text{pH} < 7$) ประจุไฟฟ้าบัน hydrophilic เป็นประจุบวก และในสภาวะที่เป็นกลางจะไม่มีประจุบัน hydrophilic สารลดแรงตึงผิวนิดนี้มีโครงสร้างทางเคมีที่มีทั้งขั้วบวกและลบในโมเลกุลอย่างน้อยอย่างละ 1 กลุ่ม ตัวอย่างของสารลดแรงตึงผิวนิดนี้ เช่น อัลคลิบีเทน (Alkylbetaines) และอัลคลิซัลโฟบีเทน (Alkylsulphobetaines) เป็นต้น



ภาพประกอบที่ 1.10 แรงระหว่างโมเลกุลของไมเซลล์

ดังที่กล่าวมาแล้วเมื่อสารละลายของสารลดแรงตึงผิวมีความเข้มข้นสูงถึงค่าความเข้มข้นวิกฤตของไมเซลล์ (cmc) โมเลกุลของสารลดแรงตึงผิวจะเกิดการรวมตัวกันเป็นกลุ่ม เรียกว่าไมเซลล์ (micelle) จำนวนของสารลดแรงตึงผิวที่รวมตัวกันในแต่ละไมเซลล์ เรียกว่า aggregation number ปัจจัยที่มีผลทำให้สารลดแรงตึงผิวเกิดการรวมตัวกันเป็นไมเซลล์ ได้แก่ แรงทางไฟฟ้า (electrostatic force) และแรงไฮdroไฟบิก (hydrophobic force) แรงทางไฟฟ้านี้จะเกิดขึ้นที่ส่วนหัวของสารลดแรงตึงผิว ซึ่งจะเกิดแรงผลัก (repulsion) เนื่องจากส่วนหัวของสารลดแรงตึงผิวมีประจุเหมือนกัน ถ้าส่วนหัวมีความเป็นขั้วมากทำให้เกิดไมเซลล์ยาก ขึ้นด้วย ดังแสดงในภาพประกอบที่ 1.10 ดังนั้นสารลดแรงตึงผิวนิดนี้ไม่มีประจุจึงเกิดไมเซลล์ได้ง่ายกว่าเมื่อเปรียบเทียบกับสารลดแรงตึงผิวนิดมีประจุ ส่วนแรงไฮdroไฟบิกเกิดขึ้นที่ส่วนหางของสารลดแรงตึงผิวเป็นแรงดึงดูดกัน (attractive force) การเกิดการดึงส่วนหางเข้าหากันนั้นชับช้อนมาก เกิดจากเอนโทรปีและเอนทัลปีที่เปลี่ยนแปลงไป เมื่อสารลดแรงตึงผิวละลายนำ

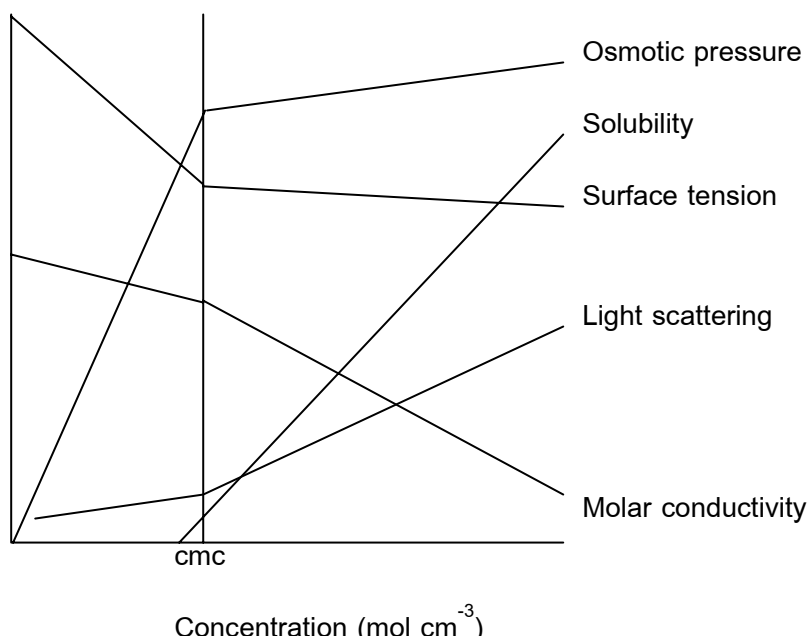
ส่วนหางซึ่งไม่ชอบน้ำจึงพยายามที่มารวมกันโดยหันส่วนไม่ชอบน้ำเข้าหากัน ส่วนหัวซึ่งชอบน้ำจะอยู่ด้านนอก ดังแสดงในภาพประกอบที่ 1.11



ภาพประกอบที่ 1.11 การเกิดไมเซลล์ของสารลดแรงตึงผิว

เมื่อสารละลายของสารลดแรงตึงผิวมีความเข้มข้นสูงถึงค่าความเข้มข้นวิกฤตของไมเซลล์และโมเลกุลของสารลดแรงตึงผิวจะเกิดการรวมตัวกันเป็นไมเซลล์แล้ว มีการเปลี่ยนแปลงสมบัติทางฟิสิกส์ของสารละลาย เช่น ความดันออสโมติก (osmotic pressure) ความขุ่น (turbidity) และความตึงผิว (surface tension) เป็นต้น ดังแสดงในภาพประกอบที่ 1.12

Physical property



ภาพประกอบที่ 1.12 สมบัติทางฟิสิกส์ของสารละลายของสารลดแรงตึงผิว

1.2.3 ชนิดของการดูดซับ

การวิเคราะห์พื้นที่ผิวและขนาดของรูพรุน สามารถวิเคราะห์ได้หลายวิธี การใช้การดูดซับด้วยแก๊สเป็นวิธีที่ใช้กันอย่างแพร่หลาย โดยใช้แก๊สในไตรเจนหรือแก๊สเนื้อยื่นๆ ที่ทราบสมบัติทางกายภาพ เช่น โครงสร้างและขนาดของโมเลกุล

ในกระบวนการดูดซับเป็นกระบวนการที่โมเลกุลของแก๊สสูญดูดซับเข้าไปบนพื้นที่ผิวของตัวอย่างที่เป็นของแข็ง โดยพบว่าแรงที่ทำให้เกิดการดูดซับไม่เหมือนกันทุกกรณี ดังนั้นการดูดซับจึงแบ่งได้เป็น 2 แบบ คือ

1.2.3.1 การดูดซับทางกายภาพ (physical adsorption) มีแรงดึงดูดระหว่างโมเลกุลที่ถูกดูดซับเป็นแบบวนเดอร์瓦ลส์และมีค่าความร้อนของการดูดซับ (heat of adsorption) ต่ำ และไม่เกิดปฏิกิริยาใดๆระหว่างแก๊สกับสารตัวอย่าง เช่น การดูดซับแก๊สต่างๆ บนผงถ่าน

1.2.3.2 การดูดซับทางเคมี (chemical adsorption) โมเลกุลที่ถูกดูดซับจะทำปฏิกิริยากับผิวของตัวอย่างโดยมีการสร้างและทำลายพันธะและมีค่าความร้อนของการดูดซับสูง เช่น การดูดซับออกซิเจนบนหงส์เตน

ตารางที่ 1.2 ความแตกต่างระหว่างการดูดซับทางเคมีและทางกายภาพ (Bond., 1[87])

ค่าการเปลี่ยนแปลง	การดูดซับทางเคมี	การดูดซับทางกายภาพ
エネอร์กีการดูดซับ ($-\Delta H_{ads}$)	40-800 kJmol^{-1}	8-20 kJmol^{-1}
พลังงานgradeตุน (E_a)	ปกติจะมีค่าน้อย	ศูนย์
จำนวนชั้นที่เกิดการดูดซับ	ไม่มากกว่า 1 ชั้น	มากกว่า 1 ชั้นเป็นไปได้
กระบวนการดูดซับ	ไม่ผันกลับ	ผันกลับได้

การวิเคราะห์พื้นที่ผิวและขนาดของรูพรุน โดยใช้หลักการวิเคราะห์แบบใช้กําชในไตรเจนเป็นสารดูดซับ (absorbate) ควบคุมอุณหภูมิจนถึงจุดที่แก๊สในไตรเจนเปลี่ยนสถานะเป็นของเหลว เรียกว่า ตัวถูกดูดซับ ส่วนสารที่แก๊สในไตรเจนเข้าไปดูดซับบนผิวเรียกว่า ตัวดูดซับ (adsorbent) ทำการวัดความดันของแก๊สในไตรเจนในหลอดอ้างอิง (Reference tube, P_0) และวัดความดันของแก๊สในไตรเจนในหลอดตัวอย่าง (Sample tube, P) และบันทึกค่าความดันดังกล่าวจากปริมาตรที่ดูดซับหน่วยเป็น cm^3/g ที่ STP จะนำมาสร้างตารางไอโซเทอร์มและวัดกราฟระหว่างปริมาตรที่ดูดซับกับความดันสัมพัทธ์ (relative pressure, P/P_0) โดยจากตารางไอโซเทอร์มสามารถคำนวณค่าพื้นที่ผิวและขนาดของรูพรุนได้ ซึ่งผลที่ได้จากการวิเคราะห์ด้วยเทคนิคนี้แสดงในภาคผนวก ก

1.2.4 ไอโซเทอร์มการดูดซับ

การวิเคราะห์ระบบการดูดซับได้ถูกวิเคราะห์โดยใช้สมการทางคณิตศาสตร์เพื่อให้ได้รูปแบบของสมการอย่างง่ายแล้วนำสมการมาเขียนกราฟเพื่อสามารถวิเคราะห์หาค่าคงที่ต่างๆ ได้ ซึ่งเป็นแนวทางที่นำมาใช้ในการคำนวณออกแบบระบบดูดซับ การวิเคราะห์ระบบดูดซับได้มีผู้วิเคราะห์ไว้อยู่ 3 กลุ่มคือ Freundlich, Langmuir และ Brunauer-Emmett-Teller (BET)

1.2.4.1 ไอโซเทอร์มการดูดซับของฟรอนลิช (Freundlich) สมการนี้เป็นสมการการดูดซับสมการแรกที่ถูกเสนอขึ้นมา อย่างไรก็ตาม ไอโซเทอร์มของ Freundlich นี้นิยมใช้กันมาก โดยเฉพาะอย่างยิ่งใช้กับสารละลายที่ค่อนข้างเจือจากและมีความเข้มข้นค่อนข้างต่ำ แต่ไม่ประสบความสำเร็จถ้าความเข้มข้น (หรือความดัน) ของตัวถูกดูดซับมีค่าสูงมากๆ (Adamson and Gast, 1[17])

1.2.4.2 ไอโซเทอร์มการดูดซับของแลงเมียร์ (Langmuir) พิจารณาการดูดซับก้าชโดยผิวของของแข็ง (สามารถประยุกต์ใช้กับการดูดซับสารละลาย) โดยมีเงื่อนไขดังนี้

1. เกิดการดูดซับแบบชั้นเดียวเท่านั้น (monolayer adsorption)
2. ของแข็งมีผิวสนิม่ำเสมอเหมือนกันตลอด นั่นคือไม่มีการเปลี่ยนแปลงของความร้อนของการดูดซับบนผิวที่ถูกปกคลุม
3. ไม่มีอันตรกิริยา (interaction) ระหว่างโมเลกุลที่ถูกดูดซับ (ข้อ 2 และ 3 ไม่เกิดขึ้นในสภาพที่เป็นจริง) (Adamson and Gast, 1[17])

1.2.4.3 ไอโซเทอร์มการดูดซับของ Brunauer-Emmett-Teller (BET) (Brunauer et al., 1[38]) ไอโซเทอร์มการดูดซับของ BET นิยมใช้กันอย่างกว้างขวางในการหาค่าพื้นที่ผิวของวัสดุที่เป็นของแข็ง สมการของ BET เป็นดังนี้

$$\frac{1}{W((P_0/P) - 1)} = \frac{1}{W_m C} + \frac{C - 1}{W_m C} \left(\frac{P}{P_0} \right) \quad (1.1)$$

เมื่อ W_m = ปริมาตรของแก๊สที่ถูกดูดซับเมื่อผิวของของแข็งทึบหมดถูกปิดลุมด้วยชั้นของแก๊สที่เกิดการดูดซับแบบชั้นเดียว

W = ปริมาตรของแก๊สที่ถูกดูดซับที่ความดัน P

P = ความดันในหลอดตัวอย่าง

P_0 = ความดันในหลอดอ้างอิง

C = ค่าคงที่

จากสมการที่ 1.1 ในการคำนวณจะให้ค่า P/P_0 อยู่ในช่วง 0.05-0.35 และหาด
กราฟระหว่าง $\frac{1}{W((P_0 - P) - 1)}$ กับ P/P_0 ได้กราฟเส้นตรงที่มีค่าความชันเท่ากับ $\frac{C-1}{W_m C}$ และ
จุดตัดแกน y เท่ากับ $\frac{1}{W_m C}$ สามารถหาค่าปริมาตรของกรดูดซับแบบชั้นเดียวได้ดังนี้

$$W_m = \frac{1}{s+i} \quad (1.2)$$

สามารถคำนวณค่าพื้นที่ผิวรวม (total surface area) ได้จากสมการที่ 1.3

$$S_t = \frac{W_m \times N \times A_{cs}}{M} \quad (1.3)$$

เมื่อ S_t คือ ค่าพื้นที่ผิวรวม

N คือ เลขอะโว加โด (มีค่าเท่ากับ 6.023×10^{-23})

A_{cs} คือ เส้นผ่านศูนย์กลางของโมเลกุลของแก๊สที่เป็นตัวถูกดูดซับ

M คือ ปริมาตร gramm โมเลกุลของแก๊สที่เป็นตัวถูกดูดซับ

สามารถคำนวณค่าพื้นที่ผิวเฉพาะ (specific surface area) ได้จากสมการที่ 1.4

$$S = \frac{S_t}{G} \quad (1.4)$$

เมื่อ S คือ ค่าพื้นที่ผิวเฉพาะ

G คือ ค่าน้ำหนักของตัวอย่างที่ใช้ในการวิเคราะห์

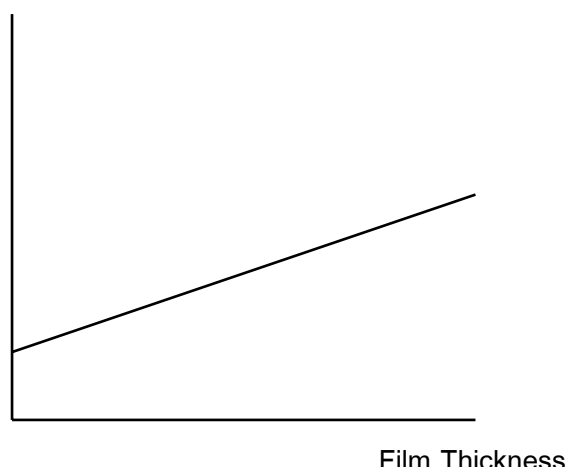
และจากค่าปริมาตรของแก๊สที่ถูกดูดซับสามารถนำมาหาดกราฟกับความหนา
ของฟิล์มของแก๊สนั้น เรียกกราฟดังกล่าวว่า ที-พล็อต (t-plot) ดังแสดงในภาพประกอบที่ 1.13
ค่าความหนาของฟิล์มสามารถคำนวณได้จากสมการที่ 1.5

$$t = \left[\frac{13.99}{\log \frac{P}{P_0} + 0.034} \right]^{\frac{1}{2}} \quad (1.5)$$

จุดตัดแกน y ที่ได้จากการฟ์ ที-พล็อต สามารถใช้ในการคำนวณค่าปริมาตรรูพรุนขนาดไมโครได้จากสมการที่ 1.6

$$V_{micro} = 0.001547 \times \text{จุดตัดแกน y} \quad (1.6)$$

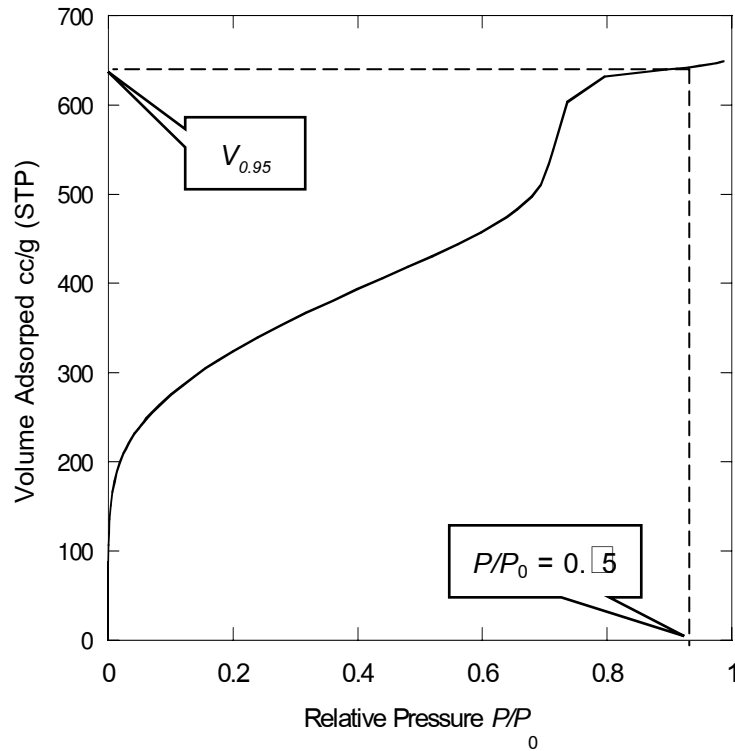
Volume Adsorbed



ภาพประกอบที่ 1.13 กราฟที-พล็อต

ค่าเปอร์เซ็นต์ปริมาตรรูพรุนขนาดไมโคร ($\%V_{micro}$) สามารถคำนวณได้จากสมการที่ 1.7

$$\%V_{micro} = \frac{V_{micro}}{V_{pore}} \times 100 \quad (1.7)$$



ภาพประกอบที่ 1.14 การหาค่า $V_{0.95}$

ค่าปริมาตรรูพรุนรวม (total pore volume, V_{pore}) สามารถคำนวณได้จากการที่ 1.8

$$V_{pore} = V_{0.15} \times 0.001547 \quad (1.8)$$

เมื่อ V_{pore} คือ ปริมาตรรูพรุนรวม

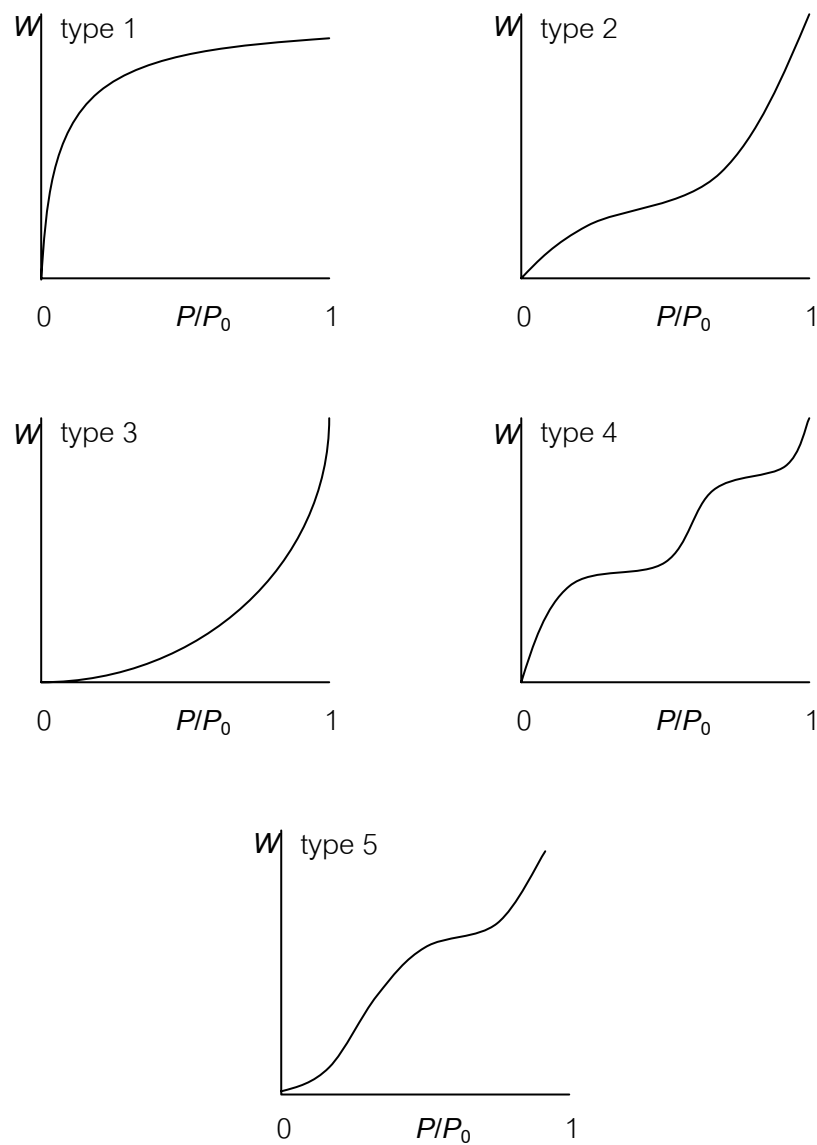
$V_{0.15}$ คือ ปริมาตรที่ $P/P_0 = 0.15$

ค่า $V_{0.15}$ หาได้จากการที่ 1.14 โดยลากเส้นตรงตั้งฉากกับแกน x ตรงจุดที่ค่า $P/P_0 = 0.15$ ไปตัดกับกราฟ adsorption isotherms และลากเส้นตรงจากจุดตัดไปตัดกับแกน y ที่จุดนั้นก็คือ ค่า $V_{0.15}$

ค่าปริมาตรรูพรุนขนาดมีโซ (mesopore volume, V_{meso}) คำนวณได้จากการที่ 1.1

$$V_{pore} = V_{meso} + V_{micro} \quad (1.1)$$

รูปแบบการดูดซึบแบบ Brunauer-Emmett-Teller (BET) สามารถจำแนกรูปแบบของกราฟไฮโซเทอร์มได้ 5 ชนิด ดังแสดงในภาพประกอบที่ 1.15
เมื่อ W คือ Volume Adsorbed cc/g (STP)



ภาพประกอบที่ 1.15 ชนิดไฮโซเทอร์มของการดูดซึบทั้ง 5 ชนิดของ Brunauer-Emmett Teller (BET) (Brunauer et al., 1 45)

การดูดซับทางเคมีเกิดขึ้นในไอโซเทอร์มชนิดที่ 1 เท่านั้นส่วนการดูดซับทางพิสิกส์เกิดขึ้นทั้ง 5 แบบ ไอโซเทอร์มชนิดที่ 1 เป็นลักษณะของวัสดุที่มีรูพรุนขนาดไม่ครอน เช่น ชีโอลิต เป็นต้น ไอโซเทอร์มชนิดที่ 2 เป็นลักษณะของตัวอย่างที่ไม่มีรูพรุน ไอโซเทอร์มชนิดที่ 3 เป็นไอโซเทอร์มที่ไม่พบบ่อย ซึ่งเป็นลักษณะของการดูดซับไอนำของคาร์บอนที่ไม่มีรูพรุน ไอโซเทอร์มชนิดที่ 4 เป็นของวัสดุที่มีรูพรุนขนาดมีโซ ส่วนไอโซเทอร์มชนิดที่ 5 เป็นลักษณะของไอโซเทอร์มที่ไม่ปกติและไม่พบบ่อยเหมือนชนิดที่ 3 แต่รูพรุนที่ได้มีขนาดอยู่ในช่วงมีโซ

1.2.5 ขนาดของรูพรุน

รูพรุนสามารถแบ่งตามขนาดได้เป็น 3 กลุ่มตามระบบ IUPAC คือ

1. รูพรุนขนาดไมโคร (micropore) มีขนาดเล็กกว่า 2 nm
2. รูพรุนขนาดมีโซ (mesopore) มีขนาด 2-50 nm
3. รูพรุนขนาดแมกโกร (macropore) มีขนาดใหญ่กว่า 50 nm

1.2.6 การคำนวณรัศมีของรูพรุน (mesoporous radius)

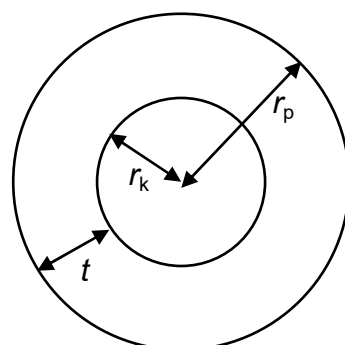
รัศมีรูพรุนของซิลิกาสามารถคำนวณได้จากสมการที่ 1.10

$$r_p = r_k + t \quad (1.10)$$

เมื่อ r_p คือ ค่ารัศมีรูพรุนของซิลิกา (mesoporous radius)

t คือ ความหนาของผนังของรูพรุน (wall thickness) คำนวณได้จากสมการที่ 1.11

r_k คือ รัศมีส่วนใจกลาง (core) ของรูพรุน คำนวณได้จากการเคลวิน (Kelvin equation) ดังแสดงในสมการที่ 1.12



ภาพประกอบที่ 1.16 รูพรุนของซิลิกา (Tattershall et al., 2002)

$$t = 0.1 \left[\frac{60.65}{0.03071 - \log\left(\frac{P}{P_0}\right)} \right]^{0.3968} \quad (1.11)$$

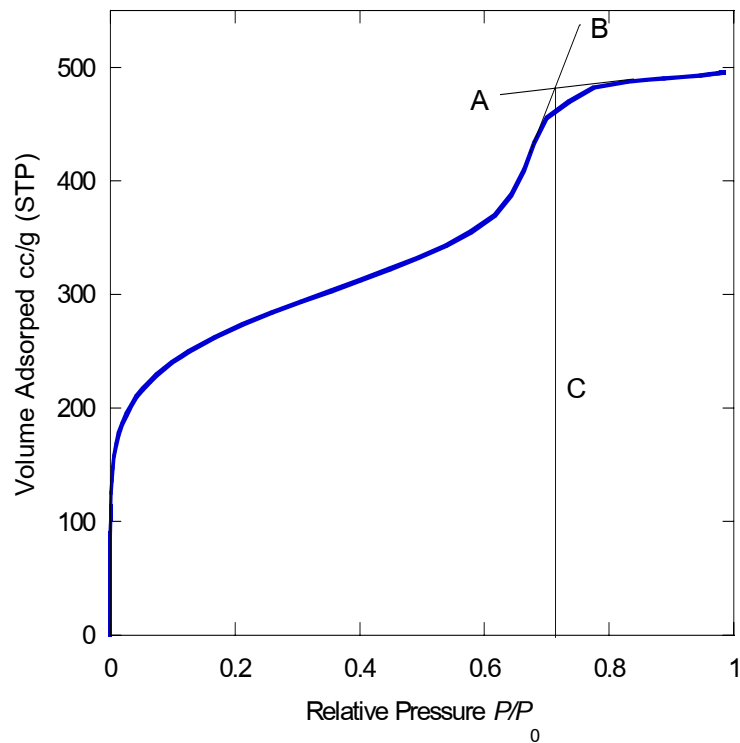
$$r_k = - \left[\frac{2\gamma V_L}{RT \ln\left(\frac{P}{P_0}\right)} \right] \quad (1.12)$$

เมื่อ γ คือ ค่าแรงตึงผิวของไนโตรเจน (surface tension of nitrogen) = 8.855 mN m^{-1}
 V_L คือ ค่าปริมาตรต่อมอล (molar volume) = $34.6 \text{ cm}^3 \text{ mol}^{-1}$
 R คือ ค่าคงที่ของแก๊ส (gas constant) = $8.31 \text{ Nm K}^{-1} \text{ mol}^{-1}$
 T คือ จุดเดือดของแก๊สไนโตรเจน (boiling point of N_2) = 77.3 K
 P/P_0 คือ จุดหักที่เกิดการเปลี่ยนแปลงความชันในกราฟไอโซเทอร์ม (step isotherm)

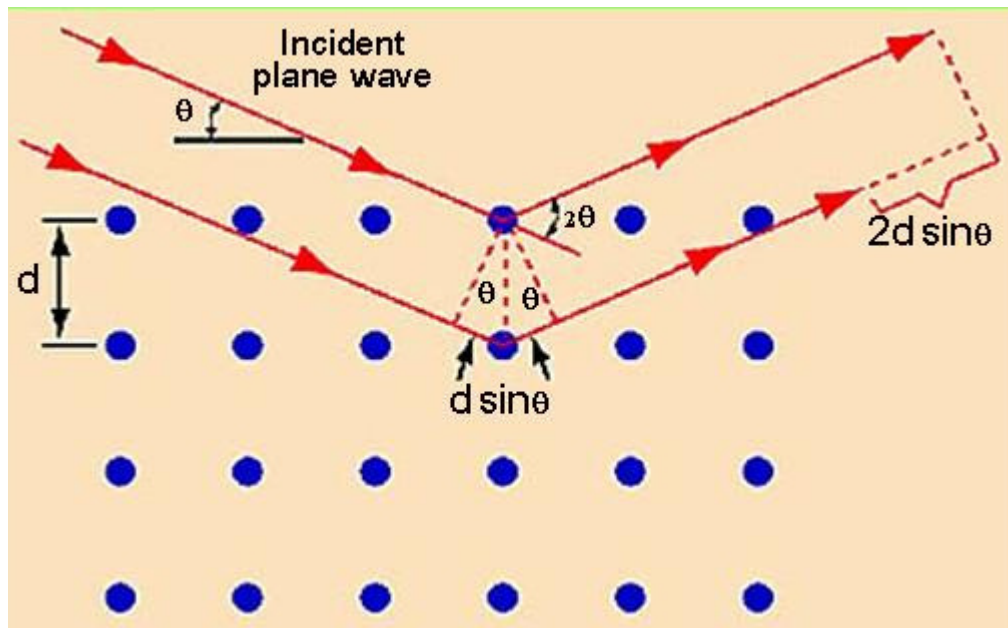
ค่า $(P/P_0)_{\text{step}}$ หาได้จากการ adsorption isotherms แสดงในภาพประกอบที่ 1.17 เริ่มจากการหาจุดเปลี่ยนความชันของกราฟโดยลากเส้น A และ B มาตัดกัน จากจุดตัดของเส้น A และ B ทำการลากเส้น C ลงมาตั้งจากกับแกน x ที่จุดนั้นคือค่า $(P/P_0)_{\text{step}}$ ซึ่งใช้แทนค่า P/P_0 ในสมการที่ 1.11 และ 1.12

1.2.7 สมการแบรగค์ (The Bragg equation)

W.H.Bragg และ W.L.Bragg ได้เสนอแนวคิดในการมองผลีกว่าประกอบด้วย “ชั้น (layer)” หรือ “ระนาบ (plane)” ของอะตอมซึ่งสะท้อนคลื่นที่ตกกระทบ โดยมุ่งผลกระทบเท่ากับมุ่งสะท้อน ทั้งนี้สำคัญที่ “สะท้อน” ออกไปจากระนาบต่างๆ ดังกล่าวมีความเข้มสูง ถ้าหากความแตกต่างระหว่างระยะเดินทาง (path difference) ของคลื่นที่สะท้อนจากระนาบที่อยู่ข้างเดียวกันมีค่าเป็นจำนวนเท่า ของความยาวคลื่นที่ตกกระทบ ดังภาพประกอบที่ 1.18



ภาพประกอบที่ 1.17 การหาค่า (P/P_0) step isotherm

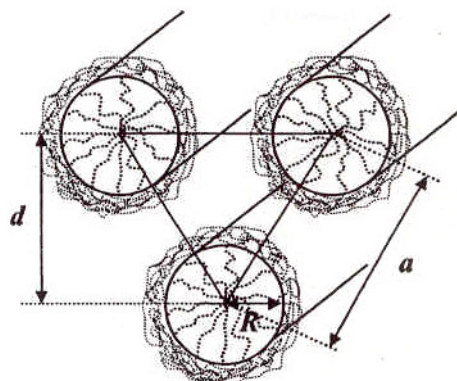


ภาพประกอบที่ 1.18 แบบจำลองกฎของเบรกเก้ (www.kmitl.ac.th/sisc/XRD)

แม้ว่า แบบจำลองที่กล่าวมานี้จะไม่ถูกต้องในทางกายภาพ เนื่องจากแท้จริง แล้วระนาบของอะตอนไม่ได้สะท้อนคลื่น แต่วิธีคิดแบบนี้ก็ใช้ได้ในทางเรขาคณิตและทำให้ได้สมการที่ดูง่ายและถูกต้องในการศึกษาผลลัพธ์ดังนี้

$$n\lambda = 2ds\sin\theta \quad (1.13)$$

เมื่อ λ เป็นความยาวคลื่น, n เป็นลำดับของการสะท้อน, θ เป็นมุมตกร่างทบ และมุมสะท้อนเมื่อวัดจากแนวที่กำลังพิจารณา, d (d-spacing) เป็นระยะห่างระหว่างระนาบดังแสดงในภาพประกอบที่ 1.1 นอกจากค่า d (d-spacing) และในภาพยังประกอบไปด้วยค่า a ซึ่งคือค่า unit cell parameter และค่า R คือค่ารัศมีของส่วน core ของไมเซลล์ โดยชิลิกาในภาพประกอบนี้มีโครงสร้างแบบ hexagonal



ภาพประกอบที่ 1.19 ค่า d (d-spacing), ค่า unit cell parameter และค่ารัศมีของส่วน core ของไมเซลล์ ของชิลิกาที่มีโครงสร้างแบบ hexagonal (Soni et al., 2006)

1.3 งานวิจัยที่เกี่ยวข้อง

Li และคณะ (2000) ศึกษาขนาดของไมเซลล์ในสารละลายของ F127 โดยมีการเติม SDS ที่อัตราส่วนโดยโมลต่างๆ กัน จากการวิเคราะห์ด้วยเทคนิค Light Scattering พบว่า ในช่วงแรกที่อัตราส่วนโดยโมลของ SDS/F127 ยังอยู่ในช่วง 0/1-0.125/1 ขนาดของไมเซลล์ลดลงอย่างช้าๆ จนกระทั่งเมื่ออัตราส่วนโดยโมลของ SDS/F127 เพิ่มขึ้นในช่วง 0.125/1-2.5/1 ขนาดของไมเซลล์จะลดลงอย่างรวดเร็ว

Zhao และคณะ (2000) รายงานการสังเคราะห์ซิลิกาที่มีรูพรุนที่มีความเป็นระเบียบสูง โดยใช้ P123 เป็นแม่แบบและการควบคุมรูปร่างโดยการเปลี่ยนแปลงสภาพะในการสังเคราะห์ เช่น ใช้สารลดแรงตึงผิวร่วม (cosurfactant) เช่น CTAB ตัวทำละลายร่วม (cosolvent) เช่น N,N-dimethyl formamide (DMF) หรือเติมเกลือ เช่น Na₂SO₄ และ MgSO₄ เป็นตันโดยรูปร่างที่ได้คือ รูปร่างแบบทรงกลมขนาดไมโครเมตร (micrometer-sized hard sphere-like) รูปร่างแบบเส้นใย (fiber-like) และรูปร่างแบบโดนัท (doughnut-like) เป็นตัน รูปร่างแบบเส้นใย เตรียมได้โดยใช้ tetramethoxysilane (TMOS) เป็นแหล่งให้ซิลิกา ภายใต้สภาวะที่เป็นกรดซึ่งรูปร่างแบบเส้นใยมีความยาวประมาณ 100 μm และมีเส้นผ่านศูนย์กลางประมาณ 1 μm รูปร่างแบบโดนัทเตรียมโดยใช้ DMF เป็นตัวทำละลายร่วม ซึ่งได้ซิลิกาที่มีรูพรุนที่มีขนาดใหญ่คือ □□ nm และมีปริมาตรรูพรุนมากคือ 1.45 cm³/g รูปร่างแบบทรงกลมขนาดไมโครเมตร เตรียมโดยใช้ CTAB เป็นสารลดแรงตึงผิวร่วมดังนั้นสรุปได้ว่าการควบคุมรูปร่างของซิลิกาที่มีรูพรุนขึ้นอยู่กับสภาวะในการสังเคราะห์

Yamada และคณะ (2002) ทำการสังเคราะห์ SBA-15 และ SBA-16 โดยใช้ P123 และ F127 เป็นแม่แบบตามลำดับ ในสภาวะที่เป็นกรดซึ่งสังเคราะห์โดยใช้อุณหภูมิของสารละลาย (Ts) ต่างๆ กันตั้งแต่ 30-60°C และใช้ TEOS เป็นแหล่งให้ซิลิกา อัตราส่วนโดยโมลของสารเคมีต่างๆ คือ 1TEOS/0.017P123(หรือ 0.0034F127)/5.7HCl/1 H₂O และวิเคราะห์สารตัวอย่างที่ได้โดยใช้เครื่อง XRD, TEM และ nitrogen adsorption-desorption isotherm พบว่าเมื่อเพิ่มอุณหภูมิของสารละลายขนาดของรูพรุนก็เพิ่มขึ้นด้วย ตาม $Rc \sim (Ts-Tc)^{0.2}$ เมื่อ Rc คือรัศมีของไนเซลล์ในส่วนของ core ซึ่งเป็นส่วนที่ไม่ซ่อนน้ำ Ts คือ อุณหภูมิของสารละลายและ Tc คือ อุณหภูมิวิกฤตของการเกิดเป็นไนเซลล์ ซึ่งขึ้นกับจำนวนหน่วยซ้าของส่วนที่ซ่อนน้ำ (g) และจำนวนหน่วยซ้าของส่วนที่ไม่ซ่อนน้ำ (m) ในบล็อกโคลอฟอลิเมอร์ที่ใช้ EO_nPO_mEO_n และ Tc ยังขึ้นกับความเข้มข้นของบล็อกโคลอฟอลิเมอร์ด้วย ซึ่งค่า Tc ของ P123 นั้นอยู่ที่ 13.75°C เมื่อความเข้มข้นของ P123 เป็น 4.1 mM และค่า Tc ของ F127 นั้นอยู่ที่ 23.55°C เมื่อความเข้มข้นของ F127 เป็น 0.8 mM ซึ่งเมื่ออุณหภูมิเพิ่มขึ้นจำนวนบล็อกโคลอฟอลิเมอร์ในไนเซลล์เพิ่มขึ้น ความไม่ซ่อนน้ำของ EO-block เพิ่มขึ้นซึ่งเป็นการเพิ่มส่วนที่ไม่ซ่อนน้ำในไนเซลล์ให้มากขึ้น ทำให้ส่วน core ของไนเซลล์มีขนาดเพิ่มขึ้น เพราะขนาด core ของไนเซลล์ขึ้นกับจำนวนของส่วนที่ไม่ซ่อนน้ำและเมื่อขนาดของ core เพิ่มขึ้นทำให้ขนาดของรูพรุนเพิ่มขึ้นด้วย ในการถ่องของ SBA-15 นั้น เป็นไปตาม $Rc \sim (Ts-Tc)^{0.2}$ มากกว่า SBA-16 คือเมื่ออุณหภูมิของสารละลายเพิ่มขึ้น ขนาดรูพรุนของ SBA-15 เพิ่มขึ้นมากกว่าขนาดรูพรุนของ SBA-16 เพราะ SBA-16 มีโครงสร้างเป็นแบบ cubic ที่ซับซ้อนและเป็น three dimension และนอกจากนี้ยังเกิดขึ้นในช่วงอุณหภูมิที่แคบจะเห็นได้ว่าการเพิ่มขนาดของไนเซลล์ถูกจำกัดโดยโครงสร้างที่เกิดขึ้นด้วย

Mesa และคณะ (2003) ศึกษาสภาวะในการสังเคราะห์ซิลิกาที่มีรูพรุนเพื่อให้ได้อนุภาคที่มีลักษณะกลมมีเส้นผ่านศูนย์กลางมากกว่า 3 μm และมีขนาดรูพรุนอยู่ระหว่าง 5-10 nm เพื่อใช้เป็นเฟล索ยู่กับที่ใน HPLC ใช้ P123 เป็นแม่แบบ CTAB เป็นสารลดแรงตึงผิวรวม และใช้ TEOS เป็นสารตั้งต้น ทำการสังเคราะห์ 2 วิธี คือ ขั้นตอนที่ 1 จะให้ความร้อนที่ 40°C และ 0°C เป็นเวลา 3-5 วัน และขั้นตอนที่ 2 จะให้ความร้อนที่ 40°C เป็นเวลา 2 วัน และขั้นที่ 2 ให้ความร้อนที่ 0°C เป็นเวลา 4 วัน และนอกจากนี้ยังทำการเปลี่ยนแปลงสภาวะในการสังเคราะห์ เช่น ความเข้มข้นของสารละลาย อุณหภูมิและความเป็นกรด จากการศึกษาพบว่า สภาวะที่ดีที่สุดจะได้อนุภาคที่มีลักษณะกลมมีเส้นผ่านศูนย์กลางมากกว่า 3 μm และมีขนาดรูพรุนระหว่าง 5-10 nm คือ (1) สารละลายมีความเข้มข้นสูงโดยใช้อัตราส่วน H₂O/TEOS มากกว่า 245 (2) ความเป็นกรดต่ำโดยใช้อัตราส่วน HCl/H₂O เท่ากับ 0.014 (3) อุณหภูมิสูง (5°C) (4) วิธีการให้ความร้อน 1 ขั้นตอน

Kim และคณะ (2004) ทำการศึกษาโครงสร้างของซิลิกาที่มีรูพรุนขนาดมีโซนิด SBA-16 โดยใช้ P123 ผสมกับ F127 เพื่อเป็นแม่แบบ และทำการควบคุมอัตราส่วนโดยนำหนักของ P123/F127 ให้แตกต่างกัน 4 อัตราส่วนคือ 0g/0.0040g, 0.00084g/0.0038g, 0.0016g/0.0037g และ 0.0025g/0.0034 g ใช้ TEOS เป็นแหล่งให้ซิลิกา สังเคราะห์ในสภาวะที่เป็นกรดใช้ 2M HCl ให้ความร้อนในขั้นตอนแรก 35°C เป็นเวลา 24 h และให้ความร้อนในขั้นที่สอง 100°C เป็นเวลา 24 h ผลการตรวจสอบโครงสร้างของซิลิกาที่ได้พบว่าในทุกอัตราส่วนจะมีโครงสร้างเป็นแบบ body-centered cubic (bcc) แต่เส้นผ่านศูนย์กลางของรูพรุนมีขนาดเพิ่มขึ้น เมื่ออัตราส่วนของ P123 เพิ่มขึ้นและความหนาของผังรูพรุนลดลงด้วย นอกจากนี้ในงานวิจัยนี้ยังทำการศึกษาเกี่ยวกับอุณหภูมิและเวลาในการสังเคราะห์ที่จะมีผลต่อลักษณะโครงสร้างของซิลิกาด้วย โดยเลือกอัตราส่วนที่ 3 คือ P123/F127 = 0.0016 g/0.0037 g มาใช้ในการทดสอบ และใช้สภาวะในการทดลองอื่นๆ คงที่เว้นแต่ทำการเปลี่ยนอุณหภูมิในการให้ความร้อนในขั้นตอนที่ 2 เป็น 60, 80 และ 130°C ตามลำดับ ผลการศึกษาโครงสร้างพบว่าเมื่ออุณหภูมิเพิ่มขึ้นขนาดเส้นผ่านศูนย์กลางของรูพรุนเพิ่มขึ้นด้วย และทำการศึกษาเกี่ยวกับเวลาโดยควบคุมให้สภาวะการสังเคราะห์เช่นเดียวกับการทดลองเกี่ยวกับอุณหภูมิแต่ อุณหภูมิในการให้ความร้อนในขั้นที่ 2 เป็น 100°C เพียงค่าเดียวและทำการควบคุมเวลาที่วางทึ้งไว้ให้แตกต่างกัน คือ 1, 3, 12, 72 และ 168 h พบร่วมกันเส้นผ่านศูนย์กลางของรูพรุนก็จะเพิ่มขึ้นเมื่อใช้เวลามากขึ้น ดังนั้นจึงสรุปได้ว่าอัตราส่วนของ P123/F127 อุณหภูมิและเวลาในการทดลองมีผลต่อขนาดเส้นผ่านศูนย์กลางของรูพรุนของซิลิกาที่ได้

Yn และคณะ (2004) ศึกษาสภาวะในการสังเคราะห์ที่มีผลต่อรูปร่างของซิลิกา เช่น อุณหภูมิ การกวน ความเป็นกรดและอัตราส่วนของสารตั้งต้นพบว่าซิลิกาที่สังเคราะห์โดยใช้ P123 เป็นแม่แบบที่อุณหภูมิ 38°C โดยใช้อัตราส่วนดังนี้ P123/KCl/2.0M HCl/H₂O/TEOS = 0.02/1.5/6/166/1 ในสภาวะที่มีการกวนสารละลายตลอดเวลาจะได้รูปร่างที่เป็นเส้นใย (fiber-

like) แต่เมื่อทำการสังเคราะห์ในสภาพะคงที่โดยไม่มีการกวนสารละลาย รูปร่างที่ได้เป็นแบบแท่ง (rod-like) ที่อัตราส่วนดังกล่าวและสภาพะคงที่ ได้ทำการสังเคราะห์ที่อุณหภูมิต่างๆ ดังนี้คือ 20, 30, 38 และ 40°C พบว่าอุณหภูมิที่เหมาะสมในการสังเคราะห์อุณหภูมิที่ไม่สูง โดยอยู่ระหว่าง 20-38°C เนื่องจากที่อุณหภูมิสูงรูปร่างที่ได้จะไม่เสถียร นอกจากนี้ยังทำการสังเคราะห์ซิลิกาโดยใช้อัตราส่วน P123/KCl/2 M HCl/TEOS = 2/2.2/60/4.2 รูปร่างที่ได้เป็นแบบแท่งแต่เมื่อเปลี่ยนอัตราส่วนโดยนำหนักของ silica/P123 = 4.2/2 เป็น 6.3/2 โครงสร้างเปลี่ยนจากแบบแท่งเป็นทรงกลม (spherical) ที่อัตราส่วนเดียวกันศึกษาผลของความเป็นกรดโดยเปลี่ยนความเข้มข้นของ 2M HCl เป็น 0.5M HCl พบว่ารูปร่างที่ได้เป็นแบบแท่งที่มีลักษณะโค้งเล็กน้อยและศึกษาผลของ ionic strength โดยเปลี่ยนชนิดของเกลือจาก KCl เป็นเกลือชนิดอื่น เช่น Na₂SO₄ และ K₂SO₄ พบว่ารูปร่างที่ได้มีลักษณะตรงและยาวขึ้น ดังนั้นจึงสรุปได้ว่าตัวแปรที่ทำให้เวลาการรวมตัว (induction time) ของไมเซลล์สั่นลง เช่น อุณหภูมิ ความเข้มข้นของกรด และ ionic strength ที่สูง ส่งผลให้ซิลิกาที่ได้มีรูปร่างที่ตรงและยาวขึ้น จากผลดังกล่าวจึงศึกษาผลของเวลาการรวมตัวของไมเซลล์โดยใช้อัตราส่วน P123/KCl/2M HCl/H₂O/TEOS = 0.02/1.5 /6/166/1 อุณหภูมิที่ใช้คือ 45, 38, 30 และ 20°C เวลาที่ใช้ คือ □ 15, 24 และ 35 min ตามลำดับ จากสภาพะดังกล่าวทำให้รูปร่างเปลี่ยนจากแท่งตรงค่ายู่กลมขึ้นและโครงสร้างสุดท้ายที่ได้มีลักษณะกลม ดังนั้นสามารถสรุปได้ว่าสภาพะในการสังเคราะห์ เช่น อุณหภูมิ การกวน ionic strength ความเป็นกรดและอัตราส่วนของสารตั้งต้น มีผลต่อโครงสร้างของซิลิกาที่สังเคราะห์ได้โดยใช้ล็อกโคลพอลิเมอร์ชนิดไม่มีข้าวเป็นแม่แบบ

แก้วตา แก้วตาพิพย์ (2005) ทำการสังเคราะห์ซิลิกาที่มีรูพรุนขนาดมีโซโดยใช้ P123 ร่วมกับ F127 เป็นแม่แบบและมีการแปรอัตราส่วนโดยโมลของ P123/F127 เป็น 1/□, 3/7, 5/5, 7/3 และ □/1 ใช้ TEOS เป็นแหล่งให้ซิลิกา ทำการศึกษาผลของเกลือ 2 ชนิด คือ KCl และ Na₂SO₄ โดยความเข้มข้นของเกลือ 2 ชนิดที่ใช้คือ 0.15M พบว่าซิลิกาที่สังเคราะห์โดยใช้ Na₂SO₄ มีค่าปริมาตรรูพรุนขนาดไมโครและเปอร์เซ็นต์ปริมาตรรูพรุนขนาดไมโครลดลง แต่ปริมาตรรูพรุนขนาดมีโซเพิ่มขึ้น เมื่ออัตราส่วนของ P123 มากขึ้น นอกจากนี้ยังได้ศึกษาผลของความเข้มข้นของกรด HCl ที่ใช้ในการสังเคราะห์ พบว่าเมื่อความเข้มข้นของกรด HCl ลดลงจาก 2M เป็น 0.6M รูปร่างของซิลิกาที่ได้มีลักษณะที่ดีขึ้น

Fulvio และคณะ (2005) สังเคราะห์ซิลิกาที่มีรูพรุนชนิด SBA-15 โดยใช้ P123 เป็นแม่แบบและใช้แหล่งให้ซิลิกาที่แตกต่างกันคือ Na₂SiO₃.H₂O และ TEOS โดยลักษณะของ SBA-15 ที่สังเคราะห์ได้จากสารตั้งต้นทั้ง 2 มีความเป็นระเบียบสูงและมีค่าพื้นที่ผิวไกล์เดียงกันแต่ค่าปริมาตรของรูพรุนที่ใช้ TEOS เป็นแหล่งให้ซิลิกาจะมีค่ามากกว่าใช้ sodium metasilicate เล็กน้อย แต่อย่างไรก็ตามเมื่อใช้ Na₂SiO₃.H₂O มีปริมาตรรูพรุนขนาดไมโครและความหนาของผนังรูพรุน (pore wall) มากกว่าของจากนี้ได้ทำการเปลี่ยนแปลงเวลาในการสังเคราะห์ให้น้อย

ลงจาก 24 h เป็น 2 h โดยพบว่าวัสดุ SBA-15 ที่สังเคราะห์ได้ ยังคงมีโครงสร้างที่เป็นระเบียบสูงไม่แตกต่างจากการสังเคราะห์ที่ 24 h

Kang และคณะ (2005) สังเคราะห์ซิลิกาที่มีรูพรุนชนิด SBA-15 โดยใช้ P123 เป็นแม่แบบและใช้แหล่งให้ซิลิกาที่แตกต่างกัน 4 ชนิด คือ TMOS, TEOS, TPOS และ TBOS เพื่อศึกษาอิทธิพลของแหล่งให้ซิลิกาที่มีผลต่อโครงสร้างของซิลิกาที่ทำการสังเคราะห์ได้ซิลิกาทั้ง 4 ชนิดมีส่วนของ alkoxide ที่แตกต่างกันและใช้อัตราส่วนในการสังเคราะห์ TMOS/P123/H₂O=0.07/1 [7.2/6.1 และสำหรับ TEOS, TPOS และ TBOS ใช้อัตราส่วนเดียวกัน สำหรับตัวอย่างที่ใช้ TMOS เป็นแหล่งให้ซิลิกาเขียนแทนด้วย TM-SBA-15 ส่วน TEOS, TPOS และ TBOS คือ TE-SBA-15, TP-SBA-15 และ TB-SBA-15 ตามลำดับ ผลการทดลองที่ได้จาก XRD, SEM และ TEM พบว่า TM-SBA-15, TE-SBA-15 และ TP-SBA-15 มีโครงสร้างแบบ hexagonal ที่มีความเป็นระเบียบสูงแต่ TB-SBA-15 มีรูปร่างแบบตัวหนอง นอกจากนี้พบว่า TB-SBA-15 มีรูพรุนที่มีขนาดใหญ่กว่า TM-SBA-15, TE-SBA-15 และ TP-SBA-15 เนื่องจากในการเกิดปฏิกิริยาไฮโดรไลซิสของน้ำกับ TBOS ได้บิวทานอลเกิดขึ้น ซึ่งบิวทานอลที่เกิดขึ้นนี้ไม่มีขั้วจึงไม่รวมตัวกับน้ำแต่ไปแทรกอยู่ภายในเมเซลล์ทำให้ TB-SBA-15 มีขนาดของรูพรุนที่ใหญ่กว่า TM-SBA-15, TE-SBA-15 และ TP-SBA-15 ดังนั้นชนิดของแหล่งให้ซิลิกามีอิทธิพลอย่างมากต่อโครงสร้างและขนาดรูพรุนของซิลิกาที่สังเคราะห์ได้

Chen และคณะ (2005) ทำการสังเคราะห์ซิลิกาที่มีรูพรุนขนาดมีໂไซโดยใช้ nonionic block copolymer P123 (EO₂₀PO₇₀EO₂₀) และ anionic sodium dodecyl sulfate SDS เป็นแม่แบบและสังเคราะห์ในสภาวะที่เป็นกรด และทำการวิเคราะห์โครงสร้างของสารตัวอย่างโดยใช้เทคนิค XRD, TEM และ N₂sorption ซึ่งพบว่าสารตัวอย่างมีโครงสร้างภายในเป็น bicontinuous cubic ที่มีความเป็นระเบียบสูง มีพื้นที่ผิวมาก (ประมาณ 770 m²/g) มีปริมาตรของรูพรุนที่ใหญ่ (ประมาณ 1.5 cm³/g) และมีขนาดของรูพรุนที่สม่ำเสมอ (ประมาณ 10 nm) ซึ่งในการทดลองนี้พบว่าเมื่อใช้อัตราส่วนของ SDS/P123 ระหว่าง 2.1-2.5 และใช้อัตราส่วนของซิลิกาต่อ P123 ในช่วง 40-75 ทำให้ได้ซิลิกาที่มีความเป็นระเบียบสูง การเพิ่มเวลาในการให้ความร้อนในการสังเคราะห์แบบไม่ทำให้เกิดการเปลี่ยนแปลง cell parameter ถึงแม้ว่าขนาดของรูพรุนและปริมาตรของรูพรุนเพิ่มขึ้นก็ตาม แสดงให้เห็นว่าสารตัวอย่างที่ได้มีความเสถียรทางความร้อนและมีความเสถียรในสภาวะในโตรเจนมากกว่าในอากาศ นอกจากนี้ในการสังเคราะห์ยังได้มีการเติมเกลือ Na₂SO₄ ลงไปด้วย ซึ่งทำให้ได้ซิลิกาที่มีลักษณะเป็นเหมือนหินปะการังและกลืนดอกไม้

Ganguly และคณะ (2006) ศึกษาไมเมเซลล์ที่เกิดจากการผสมกันของบล็อกโคพอลิเมอร์ P123 กับ SDS ซึ่งทำการวิเคราะห์โดยใช้เทคนิค small-angle neutron scattering (SANS) และการหาค่าความหนืด พบว่าจำนวนของ P123 ในไมเมเซลล์ลดลงเมื่ออัตราส่วนของ SDS เพิ่มขึ้นและพร้อมกันนั้นความชอบน้ำของไมเมเซลล์ก็เพิ่มขึ้นด้วยและเมื่อความชอบน้ำของ

ไมเซลล์เพิ่มขึ้นทำให้สภาวะของสารละลายที่เป็นเจลมีความเสถียรเพิ่มขึ้นและถูกทำลายลงเมื่อความเข้มข้นของ SDS เพิ่มขึ้นมากๆ ไมเซลล์ที่เกิดจากการผสมของบล็อกโโคพอลิเมอร์กับ SDS ที่ความเข้มข้นของ SDS น้อยๆ มีความเสถียรมาก จึงทำให้สภาวะที่เป็นเจลสามารถอยู่ได้ในช่วงอุณหภูมิที่กว้างกว่าไมเซลล์ที่เกิดจากบล็อกโโคพอลิเมอร์เพียงอย่างเดียว

Zhang และคณะ (2006) ศึกษาปัจจัยที่มีอิทธิพลต่อขนาดของรูพรุนของ SBA-15 โดยใช้ P123 ($\text{EO}_{20} \text{PO}_{70} \text{EO}_{20}$) เป็นแม่แบบในสภาวะที่เป็นกรดโดยมีการเติมสารลดแรงตึงผิวรวมคือ cetyltrimethyl ammonium bromide, CTAB ในอัตราส่วนโดยโมลของ P123/CTAB เป็น 1/0, 1/1, 1/2, 1/3 และ 1/4 เติม NH_4F ในอัตราส่วนโดยโมลของ NH_4F ต่อแหล่งให้ซิลิกาเป็น 0.00 และ 0.03 เติม KCl ความเข้มข้น 1M, 2M และ 3M ซึ่งทำการวิเคราะห์ตัวอย่างโดยใช้เทคนิค XRD, N_2 sorption และ TEM พบว่าเมื่ออัตราส่วนของ CTAB เพิ่มขึ้น ขนาดรูพรุนของ SBA-15 ลดลงจาก 8.4 nm ไปเป็น 4.78 nm และความเป็นระเบียบของโครงสร้างก็ลดลงด้วยสำหรับ NH_4F นั้นทำให้โครงสร้างมีความเป็นระเบียบมากขึ้นและรูพรุนมีขนาดใหญ่ขึ้น ส่วน KCl ทำให้โครงสร้างมีความเป็นระเบียบมากขึ้นแต่ไม่มีผลต่อขนาดของรูพรุน

Chaibundit และคณะ (2007) ได้ทำการศึกษาค่ารัศมีของไมเซลล์ที่เกิดจากสารละลายผสมของ P123 และ F127 ที่อุณหภูมิ 40°C โดยมีการแปรเศษส่วนโดยโมลของ P123 เป็น 0, 0.48, 0.68, 0.83 และ 1 ทำการวิเคราะห์ด้วยเทคนิค Light Scattering พบว่าเมื่อเศษส่วนของ P123 เพิ่มขึ้นจาก 0 เป็น 0.48 ค่ารัศมีของไมเซลล์จะมีค่าเพิ่มขึ้นจาก 12.5 nm เป็น 14.6 nm แต่เมื่อเศษส่วนของ P123 เพิ่มขึ้นอีกจาก 0.48-1 ค่ารัศมีของไมเซลล์มีค่าลดลงจาก 14.6 nm เป็น 8.6 nm

1.4 วัตถุประสงค์การทำวิจัย

1. ศึกษาวิธีการสังเคราะห์และทำการสังเคราะห์ซิลิกาที่มีรูพรุนขนาดมีໂზโดยใช้บล็อกโโคพอลิเมอร์ของเอทธิลีนออกไซด์และโพร์พลีนออกไซด์ เช่น P123 ผสมกับ F127 เป็นแม่แบบ
2. ศึกษาอิทธิพลของปัจจัยต่างๆ ที่มีผลต่อลักษณะของซิลิกา เช่น สารลดแรงตึงผิวรวม (cosurfactant) สารอนินทรีย์พวงเกลือชนิดต่างๆ ตัวทำละลายร่วม (cosolvent) และความเข้มข้นของกรดในการสังเคราะห์
3. ศึกษาลักษณะของซิลิกาที่มีรูพรุนที่สังเคราะห์ได้โดยใช้กล้องจุลทรรศน์อิเล็กตรอนแบบส่องกราด (scanning electron microscopy, SEM) เครื่องวิเคราะห์พื้นที่ผิว (surface area analyzer) และเครื่องเลี้ยวเบนรังสีเอกซ์ (X-ray diffraction, XRD)

1.5 ขอบเขตงานวิจัย

1. สังเคราะห์ซิลิกาที่มีรูพรุนขนาดมีโซโดยใช้บล็อกโคโพลิเมอร์ของเอทิลีนออกไซด์ และโพรพิลีนออกไซด์ เช่น P123 ผสมกับ F127 เป็นแม่แบบ และเติมปัจจัยต่างๆ ที่มีผลต่อลักษณะของซิลิกา เช่น สารลดแรงตึงผิวร่วม (cosurfactant) สารอนินทรีย์พวงเกลือชนิดต่างๆ ตัวทำละลายร่วม (cosolvent) และความเข้มข้นกรดในการสังเคราะห์
2. วิเคราะห์ซิลิกาที่มีรูพรุนที่สังเคราะห์ได้โดยใช้กล้องจุลทรรศน์อิเล็กตรอนแบบส่องกราด (scanning electron microscopy, SEM) และเครื่องวิเคราะห์พื้นที่ผิว (surface area analyzer)

บทที่ 2

วัสดุ อุปกรณ์ และวิธี การทดลอง

2.1 สารเคมี

2.1.1 สารลดแรงตึงผิวที่ใช้ในงานวิจัยมี 3 ชนิด คือ

- สารลดแรงตึงผิวนิดไม่มีประจุ คือ ไตรบลอกอโคโพลิเมอร์ของออกซิเอทธิลีน และออกซิโพร พลีน ได้แก่ Pluronics P123 ($M_w=5750$) ของบริษัท **LDRICH** และ Pluronics F127 ($M_w=12600$) ของบริษัท **SIGM**
- สารลดแรงตึงผิวนิดมีประจุบวก คือ cetyltrimethylammonium bromide ($C_{16}B$, assay > 98%) ของบริษัท **Fluka**
- สารลดแรงตึงผิวนิดมีประจุลบ คือ sodium dodecyl sulfate (SDS, assay > 98%) ของบริษัท **Fluka**

2.1.2 แหล่งให้ซิลิกา (silica source)

- Tetraethyl orthosilicate (TEOS, assay $\geq 99.0\%$) จำหน่ายโดยบริษัท **Fluka**

2.1.3 เกลือ

- โพแทสเซียมคลอไรด์ (Potassium chloride; KCl, **MR.**) จำหน่ายโดยบริษัท **Univar**
- โซเดียมซัลเฟต (Sodium sulphate; Na_2SO_4 , **MR.**) จำหน่ายโดยบริษัท **Univar**

2.1.4 สารเคมีอื่นๆ

- กรดไฮโดรคลอริก (Hydrochloric acid; HCl, **MR.**, 37%) ของบริษัท **Lab-Scan**
- เอทานอล (Ethanol; EtOH, **MR.**, 99.7-100%) ของบริษัท **BDH Laboratory**
- น้ำกลั่น

2.2 อุปกรณ์และเครื่องมือ

- เครื่องแก้ว
- Hot plate
- ตู้อบ (MemmertTM)
- ชุดแยกสารกรวยบุชเนอร์
- ถ้วยเซรามิกทนความร้อน (crucible)
- ขวดเทฟลอน
- เครื่องซึ่งแบบดิจิตอล 4 ตำแหน่ง (Mettler ToledoTM B204)
- เตาเผาอุณหภูมิสูง (Mater Sci 1,250°C)
- เครื่องเลี้ยวเบนรังสีเอกซ์ (X-ray diffraction/XRD) (BrukerTM D8discover)
- กล้องจุลทรรศน์อิเล็กตรอนแบบส่องgranat (Scanning electron microscopy;SEM) (JEOLTM JSM-5800LV)
- เครื่องวิเคราะห์พื้นที่ผิว (Surface area analyzer) (CoulterTM S[□]3100 Software Version 2.13)

2.3 วิธี การทดลอง

2.3.1 ชั้งสารลดแรงตึงผิว (P123 และ F127) เกลืออนินทรีย์ (Na_2SO_4 หรือ KCl) และสารลดแรงตึงผิวร่วม (SDS หรือ C[□]B) ตามปริมาณที่แสดงไว้ในตารางที่ 2.1-2.6 แล้วนำไปละลายในน้ำกลั่น 13 g และกรด 0.3M HCl (ตัวอย่างที่ 1-4) หรือ 0.5M HCl (ตัวอย่างที่ 5-30) 30 g ส่วนในการศึกษาอิทธิพลของตัวทำละลายร่วม (ตัวอย่างที่ 24-27) มีการเติม EtOH ลงไปด้วยตามปริมาณที่แสดงไว้ในตารางที่ 2.5 จากนั้นทำการกวนสารละลายจนเป็นเนื้อเดียวกัน

2.3.2 เติม EOS โดยใช้อัตราส่วนโดยนำหนักของ EOS/(P123+F127) = 4/1 แล้วกวนสารละลายเป็นเวลา 15 min

2.3.3 นำสารละลายไปอบที่อุณหภูมิ 35°C เป็นเวลา 24 h จากนั้นนำสารละลายที่ได้ใส่ในขวดเทฟลอนแล้วนำไปอบที่อุณหภูมิ 100°C เป็นเวลา 24 h ส่วนในการศึกษาอิทธิพลของเวลาที่ใช้ในการอบสาร (ตัวอย่างที่ 28-30) ได้ทำการอบสารไว้ที่อุณหภูมิ 100°C เป็นเวลาต่างๆ กันดังแสดงในตารางที่ 2.6

2.3.4 นำขวดเทฟลอนมาวางไว้ให้เย็นลงที่อุณหภูมิห้องแล้วรองตะกอนที่ได้และเก็บตะกอนไว้ที่อุณหภูมิห้องเป็นเวลา 24 h

2.3.5 นำตะกอนไปอบแห้งที่อุณหภูมิ 40°C เป็นเวลา 24 h ทำการเผาตะกอนที่อุณหภูมิ 550°C เป็นเวลา 6 h โดยใช้อัตราการเพิ่มของอุณหภูมิเป็น 2°C/min และให้อากาศผ่านตลอดเวลา จากนั้นนำซิลิกาที่ได้ไปตรวจสอบลักษณะด้วยเครื่องมือวิเคราะห์ต่างๆ ต่อไป

2.4 การตรวจสอบลักษณะของชิลิกา

2.4.1 กล้องจุลทรรศน์อิเล็กตรอนแบบส่องการดู (scanning electron microscopy; SEM)

กล้องจุลทรรศน์อิเล็กตรอนแบบส่องการดู รุ่น JSM-5800LV ของ JEOL ในการวิเคราะห์โครงสร้างภายในของชิลิกาที่มีรูพรุน โดยตัวอย่างที่ต้องการทดสอบจะถูกติดบนสตั๊บทองเหลืองและเคลือบตัวอย่างด้วยชั้นทองบางๆ เพื่อให้ตัวอย่างสามารถนำไปไฟฟ้าได้ จากนั้นนำตัวอย่างที่เคลือบด้วยชั้นทองแล้วไปดูโครงสร้างภายในโดยใช้กระแสไฟฟ้า 10 kV

2.4.2 เครื่องวิเคราะห์พื้นที่อัตโนมัติ (Nanoparticle analysis)

เครื่องวิเคราะห์พื้นที่ผิวและขนาดของรูพรุน รุ่น S3100 ของ Coulter ในการวิเคราะห์ค่าพื้นที่ผิวและขนาดรูพรุนของชิลิกา โดยทำการซั่งน้ำหนักชิลิกาใส่ในหลอดใส่สารตัวอย่างประมาณ 0.04 g และทำการไอลแก๊ส (degas) ที่ 150°C เป็นเวลา 1 h จากนั้นซั่งน้ำหนักของชิลิกาหลังไอลแก๊ส (น้ำหนักของหลอดทดสอบที่มีสารอยู่ – น้ำหนักหลอดทดสอบเปล่า) เพื่อหาขนาดที่แท้จริงของสารตัวอย่างซึ่งใช้ในการคำนวณหาค่าพื้นที่ผิว จากนั้นนำหลอดใส่สารตัวอย่างมาใส่สปริงสแตนเลสหุ้มไว้แล้วเสียบเข้าไปในเครื่องโดยมีการเบรี่ยบเทียบกับหลอดอ้างอิงซึ่งเป็นหลอดตัวอย่างเปล่าที่หุ้มสปริงสแตนเลสไว้แล้วจากนั้นเติมไนโตรเจนเหลวเข้าไปในกราดติก(dewar)แล้วทำการวิเคราะห์สารตัวอย่างโดยใช้แก๊สไนโตรเจนในการวิเคราะห์ เมื่อวิเคราะห์เสร็จแล้วเครื่องจะทำการอ่านค่าต่างๆ ของสารตัวอย่าง เช่น ค่าพื้นที่ผิวและปริมาตรรูพรุนขนาดมีโซ โดยในภาคผนวก ๑ แสดงวิธีการใช้เครื่องวิเคราะห์พื้นที่ผิว

2.4.3 เครื่องเลือดยาเบนรังสีเอ็กซ์ (x-ray diffraction; XRD)

เครื่องเลือดยาเบนรังสีเอ็กซ์ รุ่น D8discover ของ Bruker ในการวิเคราะห์โครงสร้างของชิลิกาที่มีรูพรุน โดยใช้ CuK α เป็นแหล่งกำเนิดรังสีเอ็กซ์ซึ่งมีค่าความยาวคลื่น (λ) = 0.154 nm ตัวอย่างจะถูกอัดในเบ้าทรงกระบอก ใช้แผ่นสไลด์กดบนตัวอย่างเพื่อให้ผิวน้ำตัวอย่างเรียบแล้ววางเบ้าที่บรรจุตัวอย่างตรงตำแหน่งวางตัวอย่างในเครื่องเลือดยาเบนรังสีเอ็กซ์และใช้ค่า 2θ อุปในช่วงระหว่าง 0.3° ถึง 5°

2.5 ส วนผสมสารเคมี สำหรับการสังเคราะห์ซิลิกา

2.5.1 การสังเคราะห์ซิลิกาเพี่ยง อคี กษาอิทธิพลของอัตราส่วนโดยโมลของ P123/F127 และความเข้มข้นของกรดไฮโดรคลอริก

การศึกษาอิทธิพลของอัตราส่วนโดยโมลของ P123/F127 และความเข้มข้นของกรด HCl นี้ได้ทำการสังเคราะห์ซิลิกาโดยใช้ P123 และ F127 เป็นแม่แบบ ที่อัตราส่วนโดยโมลของ P123/F127 = 1/9, 3/7, 5/5 และ 7/3 ใช้ 0.3M HCl (ตัวอย่างที่ 1-4) และ 0.5M HCl (ตัวอย่างที่ 5-8) ใช้ 0.3M Na₂SO₄ และอัตราส่วนโดยหน้างักของ EOS/(P123+F127) = 4/1

ตารางที่ 2. ส่วนผสมสารเคมีสำหรับการสังเคราะห์ซิลิกาเพื่อศึกษาอิทธิพลของอัตราส่วนโดยโมลของ P123/F127 และความเข้มข้นของกรด HCl

Sample No.	Molar ratio P123/F127	P123 (g)	F127 (g)	Na ₂ SO ₄ (g)	H ₂ O (g)	0.3M HCl (g)	0.5M HCl (g)	EOS (g)
1	1/9	0.058	1.134	1.818	13	30	-	4.769
2	3/7	0.174	0.882	1.818	13	30	-	4.224
3	5/5	0.290	0.630	1.818	13	30	-	3.680
4	7/3	0.406	0.378	1.818	13	30	-	3.136
5	1/9	0.058	1.134	1.818	13	-	30	4.769
6	3/7	0.174	0.882	1.818	13	-	30	4.224
7	5/5	0.290	0.630	1.818	13	-	30	3.680
8	7/3	0.406	0.378	1.818	13	-	30	3.136

2.5.2 การสังเคราะห์ซิลิกาเพียง อคี กษาอิทธิพลของชนิดและความเข้มข้นของเกลืออนินทรีย์

การศึกษาอิทธิพลของความเข้มข้นและชนิดของเกลืออนินทรีย์นี้ได้ทำการสังเคราะห์ซิลิกาโดยใช้ P123 และ F127 เป็นแม่แบบ ที่อัตราส่วนโดยโมลของ P123/F127 = 3/7 ใช้ 0.5M HCl ใช้ 0.1M Na₂SO₄ (ตัวอย่างที่ 10) 0.5M Na₂SO₄ (ตัวอย่างที่ 11) 0.1M KCl (ตัวอย่างที่ 12) และ 0.5M KCl (ตัวอย่างที่ 13) ใช้อัตราส่วนโดยหน้างักของ EOS/(P123+F127) = 4/1

ตารางที่ 2 จำนวนผสมสารเคมีสำหรับการสังเคราะห์ซิลิกาเพื่อศึกษาอิทธิพลของความเข้มข้นและชนิดของเกลืออนินทรีย์

Sample No.	Kind and concentration of inorganic salts	P123 (g)	F127 (g)	KCl (g)	Na ₂ SO ₄ (g)	0.5M HCl (g)	<input type="checkbox"/> EOS (g)
9	-	0.174	0.882	-	-	30	4.224
10	0.1M Na ₂ SO ₄	0.174	0.882	-	0.602	30	4.224
11	0.5M Na ₂ SO ₄	0.174	0.882	-	3.014	30	4.224
12	0.1M KCl	0.174	0.882	0.316	-	30	4.224
13	0.5M KCl	0.174	0.882	1.582	-	30	4.224

2.5.3 การสังเคราะห์ซิลิกาเพื่อศึกษาอิทธิพลของชั้นดินและความเข้มข้นของสารลดแรงตึงผิวรวม

การศึกษาอิทธิพลของสารลดแรงตึงผิวรวม (cosurfactant) นี้ได้ทำการสังเคราะห์ซิลิกา โดยใช้ P123 และ F127 เป็นแม่แบบ ที่อัตราส่วนโดยโมลของ P123/F127 = 3/7 ใช้ 0.5M HCl, 0.1M Na₂SO₄ และเติมสารลดแรงตึงผิวรวม SDS (ตัวอย่างที่ 14-18) หรือ C₁₂H₂₂O₁₁ (ตัวอย่างที่ 19-23) โดยใช้อัตราส่วนโดยโมลของ (P123+F127)/cosurfactant ต่างๆ กันดังแสดงในตารางที่ 2.3-2.4 และใช้อัตราส่วนโดยน้ำหนักของ EOS/(P123+F127) = 4/1

ตารางที่ 2 จำนวนผสมสารเคมีสำหรับการสังเคราะห์ซิลิกาเพื่อศึกษาอิทธิพลของสารลดแรงตึงผิวรวม SDS

Sample No.	Molar ratio (P123+F127) / SDS	P123 (g)	F127 (g)	SDS (g)	Na ₂ SO ₄ (g)	H ₂ O (g)	0.5M HCl (g)	<input type="checkbox"/> EOS (g)
14	1/1.7	0.174	0.882	0.0489	0.6029	13	30	4.224
15	1/2.0	0.174	0.882	0.0576	0.6029	13	30	4.224
16	1/2.3	0.174	0.882	0.0662	0.6029	13	30	4.224
17	1/2.6	0.174	0.882	0.0748	0.6029	13	30	4.224
18	1/2.9	0.174	0.882	0.0835	0.6029	13	30	4.224

ตารางที่ 2.4 จำนวนผสมสารเคมีสำหรับการสังเคราะห์ซิลิกาเพื่อศึกษาอิทธิพลของสารลดแรงตึงผิวรวม C_xB

Sample No.	Molar ratio (P123+F127) / C _x B	P123 (g)	F127 (g)	C _x B (g)	Na ₂ SO ₄ (g)	H ₂ O (g)	0.5M HCl (g)	EOS (g)
19	1/1.7	0.174	0.882	0.0618	0.6029	13	30	4.224
20	1/2.0	0.174	0.882	0.0728	0.6029	13	30	4.224
21	1/2.3	0.174	0.882	0.0837	0.6029	13	30	4.224
22	1/2.6	0.174	0.882	0.0946	0.6029	13	30	4.224
23	1/2.9	0.174	0.882	0.1055	0.6029	13	30	4.224

2.5.4 การสังเคราะห์ซิลิกาเพื่อศึกษาอิทธิพลของความเข้มข้นของตัวทำละลายร่วม

การศึกษาอิทธิพลของตัวทำละลายร่วม (cosolvent) นี้ได้ทำการสังเคราะห์ซิลิกาโดยใช้ P123 และ F127 เป็นแม่แบบ ท่ออัตราส่วนโดยโมลของ P123/F127 = 3/7 ใช้ 0.5M HCl, 0.1M Na₂SO₄ เติม cosolvent คือ ethanol ซึ่งจะใช้อัตราส่วนโดยโมลของ H₂O/EtOH ต่างๆ กันดังแสดงในตารางที่ 2.5 และใช้อัตราส่วนโดยน้ำหนักของ EOS/(P123+F127) = 4/1

ตารางที่ 2.5 จำนวนผสมสารเคมีสำหรับการสังเคราะห์ซิลิกาเพื่อศึกษาอิทธิพลของตัวทำละลายร่วม EtOH

Sample No.	Molar ratio H ₂ O/EtOH	P123 (g)	F127 (g)	EtOH (g)	Na ₂ SO ₄ (g)	H ₂ O (g)	0.5M HCl (g)	EOS (g)
24	1/1.9	0.174	0.882	2.105	0.6029	13	30	4.224
25	1/2.2	0.174	0.882	4.092	0.6029	13	30	4.224
26	1/5.5	0.174	0.882	6.072	0.6029	13	30	4.224
27	1/7.3	0.174	0.882	8.066	0.6029	13	30	4.224

2.5.5 การสังเคราะห์ซิลิกาเพ็คติคี กษาอิทธิพลของเวลาในการอบตัวอย่างที่อุณหภูมิ 100°C

การศึกษาอิทธิพลของเวลาที่ใช้ในการอบสารตัวอย่างที่อุณหภูมิ 100°C นี้ได้ทำการสังเคราะห์ซิลิกาโดยใช้ P123 และ F127 เป็นแม่แบบ ที่อัตราส่วนโดยมวลของ P123/F127 = 3/7 ใช้ 0.5M HCl, 0.1M Na₂SO₄ ใช้อัตราส่วนโดยน้ำหนักของ EOS/(P123+F127) = 4/1 และใช้เวลาในการอบสารตัวอย่างที่อุณหภูมิ 100°C ต่างๆ กัน ดังแสดงในตารางที่ 2.6

ตารางที่ 2.6 จำนวนผสมสารเคมีสำหรับการสังเคราะห์ซิลิกาเพื่อศึกษาอิทธิพลของเวลาที่ใช้ในการอบสารตัวอย่างที่อุณหภูมิ 100°C

Sample No.	Time for heat (days)	P123 (g)	F127 (g)	Na ₂ SO ₄ (g)	H ₂ O (g)	0.5M HCl (g)	EOS (g)
28	3	0.174	0.882	0.6029	13	30	4.224
29	5	0.174	0.882	0.6029	13	30	4.224
30	7	0.174	0.882	0.6029	13	30	4.224

บทที่ 3

ผลและวิจารณ์ผลการทดลอง

3.1 ศึกษาอิทธิพลของอัตราส่วนโดยโมลของ P123/F127 และความเข้มข้นของกรด HCl

ผลการทดลองตอนที่ 3.1 เป็นผลการทดลองของตัวอย่างที่ 1-8 ซึ่งทำการสังเคราะห์ซิลิกาโดยใช้ P123 และ F127 เป็นแม่แบบ ที่อัตราส่วนโดยโมลของ P123/F127 = 1/9, 3/7, 5/5 และ 7/3 ใช้ 0.3M HCl (ตัวอย่างที่ 1-4) และ 0.5M HCl (ตัวอย่างที่ 5-8) ใช้ 0.3M Na₂SO₄ และอัตราส่วนโดยน้ำหนักของ TEOS/(P123+F127) = 4/1 ได้ผลการวิเคราะห์สารตัวอย่างด้วยเครื่องวิเคราะห์พื้นที่ผิวดังแสดงในตารางที่ 3.1 โดยสามารถคำนวณค่าต่างๆได้ดังนี้ ปริมาตรรูพรุนขนาดไมโคร (V_{micro}) คำนวณได้จากสมการที่ 1.6 เปรอร์เซ็นต์ปริมาตรรูพรุนขนาดไมโคร (% V_{micro}) คำนวณได้จากสมการที่ 1.7 ปริมาตรรูพรุนขนาดมีโซ (V_{meso}) คำนวณได้จากสมการที่ 1.9 ปริมาตรรูพรุนรวม (V_{pore}) คำนวณได้จากการแก๊สในไตรเจนที่ถูกดูดซับที่ $P/P_0 = 0.95$ ดังสมการที่ 1.8 ค่ารัศมีรูพรุนของซิลิกา (r_p) คำนวณได้จากการบวกของความหนาผังรูพรุนของซิลิกากับรัศมีส่วนใจกลาง (core) ของรูพรุนดังสมการที่ 1.10 ค่าพื้นที่ผิวได้มีการคำนวณออกจากเครื่องวิเคราะห์พื้นที่ผิว

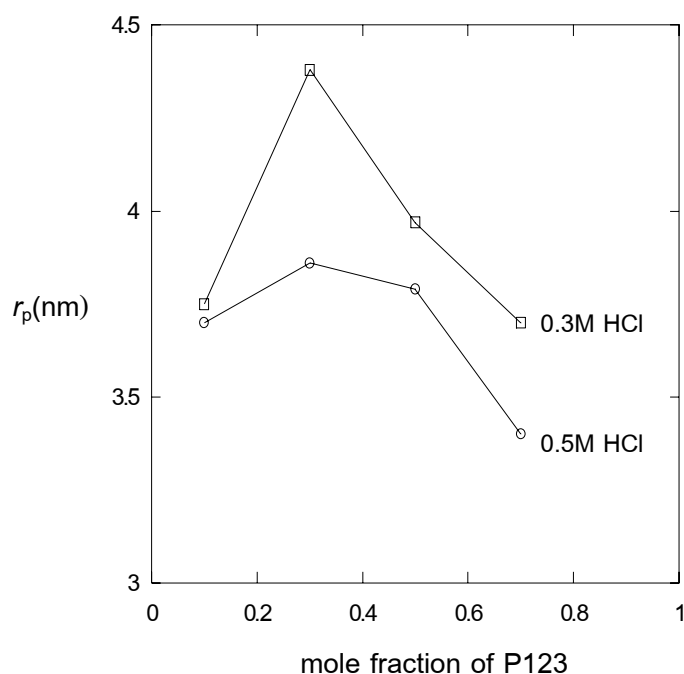
จากการวิเคราะห์ซิลิกาที่มีการสังเคราะห์โดยแปรอัตราส่วนโดยโมล (molar ratio) ของ P123/F127 เป็น 1/9, 3/7, 5/5 และ 7/3 หรือคิดเป็นเศษส่วนโดยโมล (mole fraction) ของ P123 ได้เป็น 0.1, 0.3, 0.5 และ 0.7 ตามลำดับ ด้วยเครื่องวิเคราะห์พื้นที่ผิวพบว่าทั้งซิลิกาที่สังเคราะห์โดยใช้ 0.3M HCl และ 0.5M HCl เมื่อเศษส่วนโดยโมลของ P123 เพิ่มขึ้นจาก 0.1 เป็น 0.3 มีผลให้ค่ารัศมีรูพรุนของซิลิกาเพิ่มขึ้นแต่เมื่อสัดส่วนโดยโมลของ P123 เพิ่มขึ้นอีกจาก 0.3 เป็น 0.7 พบร่วมค่ารัศมีรูพรุนของซิลิกาจะมีค่าลดลง นอกจากนี้เมื่อเปรียบเทียบรัศมีรูพรุนของซิลิกาที่สังเคราะห์โดยใช้เศษส่วนโดยโมลของ P123 เท่ากันแต่ใช้ความเข้มข้นของกรด HCl ต่างกัน พบร่วมค่ารัศมีรูพรุนของซิลิกาที่สังเคราะห์โดยใช้ 0.3M HCl มีขนาดของรูพรุนที่ใหญ่กว่าซิลิกาที่สังเคราะห์โดยใช้ 0.5M HCl (ภาพประกอบที่ 3.1) เนื่องจากกรดทำหน้าที่เร่งการเกิดปฏิกิริยาไฮโดรไลซิสของซิลิกา เมื่อความเข้มข้นกรดลดลงปฏิกิริยาไฮโดรไลซิสของซิลิกาเกิดช้าลง ซิลิกาที่เปลี่ยนกับสารลดแรงตึงผิวเกิดขึ้นช้าลงทำให้สารลดแรงตึงผิวมีเวลาในการรวมตัวเกิดเป็นไมเซลล์มากขึ้น ทำให้ได้ไมเซลล์ที่มีขนาดเพิ่มขึ้นรูพรุนของซิลิกาจึงมีขนาดเพิ่มขึ้นด้วย

ตารางที่ 3.1 พื้นที่ผิว รัศมีรูพรุนและปริมาตรรูพรุนต่างๆของซิลิกาที่สังเคราะห์โดยใช้อัตราส่วนโดยโมลของ P123/F127 ที่แตกต่างกันเป็นแม่แบบ ใช้ 0.3M HCl (ตัวอย่างที่ 1-4) และ 0.5M HCl (ตัวอย่างที่ 5-8)

Sample No.	Molar ratio P123/F127	A^a (m^2/g)	V_{micro}^b (cm^3/g)	V_{meso}^c (cm^3/g)	V_{pore}^d (cm^3/g)	$(P/P_0)_{\text{step}}^e$	r_p^f (nm)
1	1/9	604	0.11	0.33	0.45	0.67	3.75
2	3/7	758	0.13	0.49	0.63	0.75	4.38
3	5/5	958	0.13	0.62	0.75	0.71	3.97
4	7/3	539	0.11	0.31	0.43	0.70	3.70
5	1/9	778	0.16	0.44	0.61	0.70	3.70
6	3/7	861	0.15	0.46	0.61	0.71	3.86
7	5/5	651	0.10	0.40	0.50	0.70	3.79
8	7/3	626	0.09	0.36	0.46	0.67	3.40

^a พื้นที่ผิว บ) ปริมาตรรูพรุนขนาดไมโคร ค) ปริมาตรรูพรุนขนาดเมโซ ด) ปริมาตรรูพรุนรวม

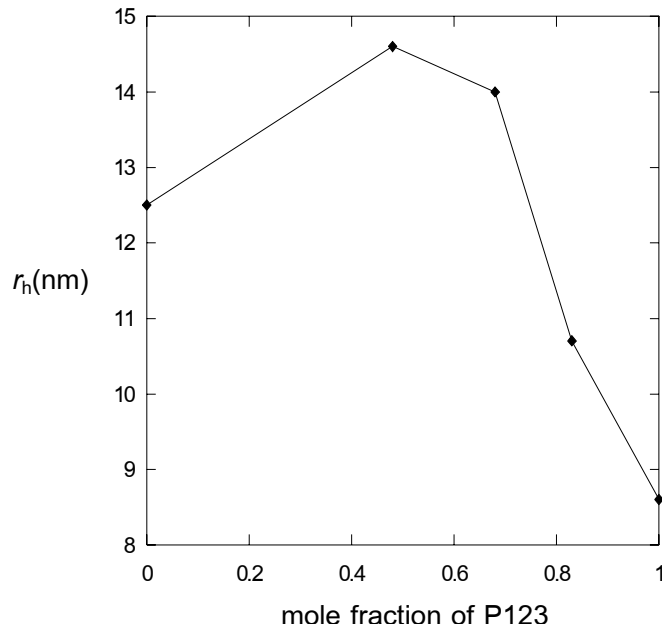
^e จุดหักเหที่เกิดการเปลี่ยนแปลงความชันในрафไอโซเทอร์ม ^f ค่ารัศมีรูพรุนของซิลิกา



ภาพประกอบที่ 3.1 ความสัมพันธ์ระหว่างค่ารัศมีรูพรุนของซิลิกากับอัตราส่วนโดยโมลของ P123 เมื่อใช้ความเข้มข้น 0.3 และ 0.5M HCl

ปี 2004 งานวิจัยของ Kim และคณะ (Kim *et al.*, 2004) ได้สังเคราะห์ซิลิกาที่มีรูพรุนขนาดมีโซเซนิต SBA-16 โดยใช้ P123 ผสมกับ F127 เป็นแม่แบบในการสังเคราะห์ โดยมีการปรอตตราส่วนโดยโมลของ P123 เป็น 0, 1/4, 3/6 และ 4/7 หรือคิดเป็นเศษส่วนโมลของ P123 ได้เป็น 0, 0.25, 0.5 และ 0.57 ตามลำดับ และใช้ TEOS เป็นแหล่งให้ซิลิกาทำการสังเคราะห์ในสภาวะที่เป็นกรดโดยใช้ 2M HCl ให้ความร้อนในขันตอนแรก 35°C เป็นเวลา 24 h และให้ความร้อนในขันที่สอง 100°C เป็นเวลา 24 h พบว่าเมื่อเศษส่วนโดยโมลของ P123 เพิ่มขึ้น รูพรุนของซิลิกาจะมีขนาดเพิ่มขึ้นด้วย ซึ่งสอดคล้องกับงานวิจัยที่ทำในครั้งนี้ในช่วงที่เศษส่วนโดยโมลของ P123 อยู่ในช่วง 0.1-0.3 คือ เมื่อสัดส่วนโดยโมลของ P123 เพิ่มขึ้นค่ารัศมีรูพรุนของซิลิกาเพิ่มขึ้น

นอกจากงานวิจัยของ Chaiundit และคณะ (Chaiundit *et al.*, 2007) ได้ทำการศึกษาค่ารัศมีของไมเซลล์ที่เกิดจากสารละลายผสมของ P123 และ F127 ที่อุณหภูมิ 40°C โดยมีการperse เศษส่วนโดยโมลของ P123 เป็น 0, 0.48, 0.68, 0.83 และ 1 พบว่าเมื่อเศษส่วนโมลของ P123 เพิ่มขึ้นจาก 0 เป็น 0.48 ค่ารัศมีของไมเซลล์มีค่าเพิ่มขึ้นจาก 12.5 nm เป็น 14.6 nm แต่เมื่อเศษส่วนโมลของ P123 เพิ่มขึ้นอีกจาก 0.48-1 ค่ารัศมีของไมเซลล์มีค่าลดลงจาก 14.6 nm เป็น 8.6 nm ดังแสดงในภาพประกอบที่ 3.2 ซึ่งจากการพื้นที่ได้ว่ากราฟที่ได้จากการวิจัยของ Chaiundit และคณะนี้มีลักษณะคล้ายคลึงกับกราฟความสัมพันธ์ระหว่างค่ารัศมีรูพรุนของซิลิกากับอัตราส่วนโดยโมลของ P123 ที่ได้จากการวิจัยในครั้งนี้ (ภาพประกอบที่ 3.1)

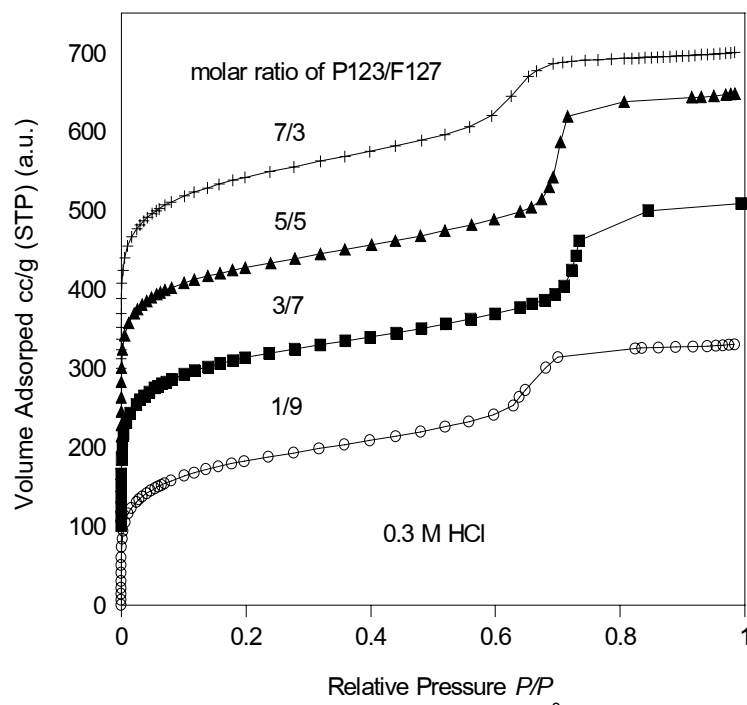


ภาพประกอบที่ 3.2 กราฟผลของอัตราส่วนโดยน้ำหนักของ P123 ที่มีผลต่อรัศมีของไมเซลล์ที่ อุณหภูมิ 40°C (ดัดแปลงมาจาก Chaiundit *et al.*, 2007)

กราฟ adsorption isotherms ของซิลิกาที่สังเคราะห์ได้ในตอนที่ 3.1 เป็นกราฟไอโซเทอร์มชนิดที่ 4 ซึ่งเป็นลักษณะของวัสดุที่มีรูพรุนขนาดเม็ด โดยในภาพประกอบที่ 3.3 เป็นการนำกราฟ adsorption isotherms ของตัวอย่างที่ 1-4 ซึ่งทำการสังเคราะห์โดยใช้ 0.3M HCl และมีการปรับอัตราส่วนโดยโมลของ P123/F127 เป็น 1/9, 3/7, 5/5 และ 7/3 ตามลำดับ มาเปรียบเทียบในกราฟเดียวกัน โดยตัวอย่างที่ 2-4 ต้องมีการบวกค่า volume adsorped (แกน y) เพิ่มขึ้นดังแสดงในตารางที่ 3.2 เพื่อไม่ให้กราฟซ้อนกัน ส่วนค่า relative pressure P/P_0 (แกน x) ยังคงเหมือนเดิม

ตารางที่ 3.2 ค่า volume adsorped (แกน y) ที่มีการบวกเพิ่มขึ้นของซิลิกาที่สังเคราะห์โดยใช้ 0.3M HCl (ตัวอย่างที่ 1-4) และมีการปรับอัตราส่วนโดยโมลของ P123/F127

Sample No.	Molar ratio of P123/F127	+volume adsorped (cc/g)
1	1/9	0
2	3/7	150
3	5/5	250
4	7/3	420

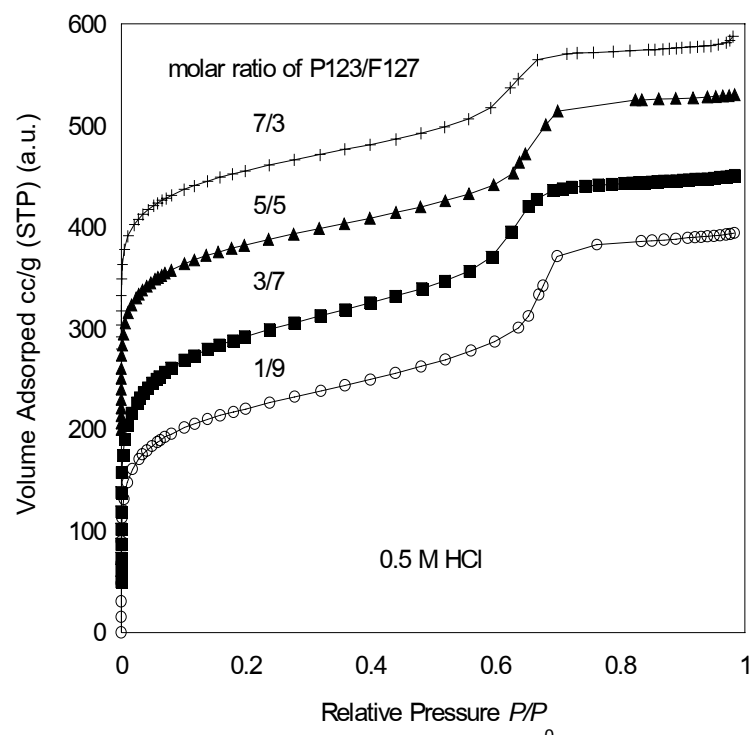


ภาพประกอบที่ 3.3 Adsorption isotherms ของซิลิกาที่สังเคราะห์เพื่อศึกษาอิทธิพลของความเข้มข้นกรด HCl และอัตราส่วนโดยโมลของ P123/F127 โดยใช้ 0.3M HCl

ภาพประกอบที่ 3.4 เป็นการนำกราฟ adsorption isotherms ของตัวอย่างที่ 5-8 ซึ่งทำการสังเคราะห์โดยใช้ 0.5M HCl และมีการแปรอัตราส่วนโดยโมลของ P123/F127 เป็น 1/9, 3/7, 5/5 และ 7/3 ตามลำดับ มาเปรียบเทียบในกราฟเดียวกัน โดยตัวอย่างที่ 6-8 ต้องมีการบวกค่า volume adsorped (แกน y) เพิ่มขึ้นดังแสดงในตารางที่ 3.3 เพื่อไม่ให้กราฟซ้อนทับกัน ส่วนค่า relative pressure P/P_0 (แกน x) ยังคงเหมือนเดิม

ตารางที่ 3.3 ค่า volume adsorped (แกน y) ที่มีการบวกเพิ่มขึ้นของซิลิกาที่สังเคราะห์โดยใช้ 0.3M HCl (ตัวอย่างที่ 5-8) และมีการแปรอัตราส่วนโดยโมลของ P123/F127

Sample No.	Molar ratio of P123/F127	+volume adsorped (cc/g)
5	1/9	0
6	3/7	100
7	5/5	300
8	7/3	500

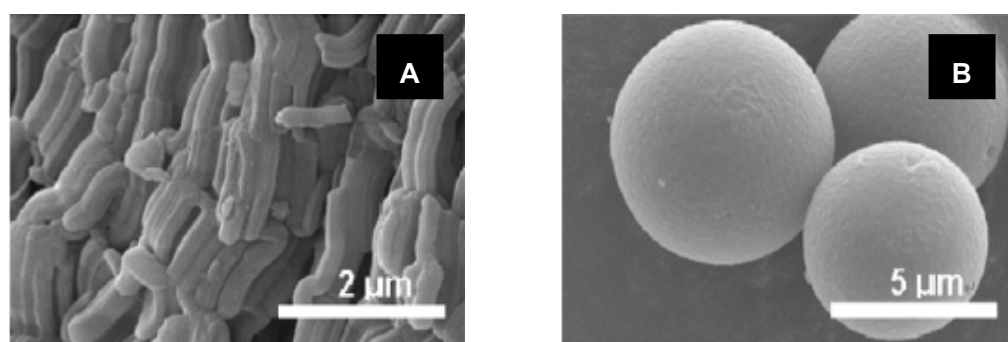


ภาพประกอบที่ 3.4 Adsorption isotherms ของซิลิกาที่สังเคราะห์เพื่อศึกษาอิทธิพลของความเข้มข้นกรด HCl และอัตราส่วนโดยโมลของ P123/F127 โดยใช้ 0.5M HCl

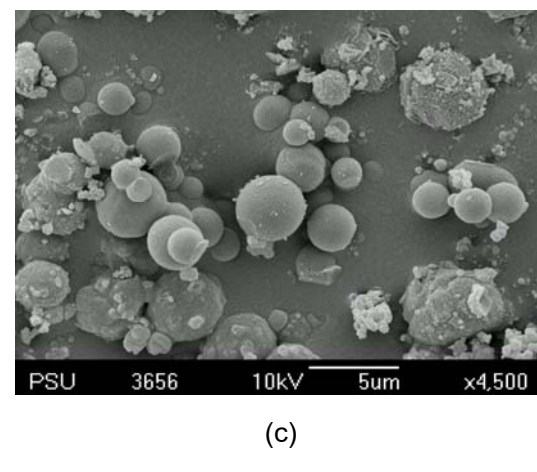
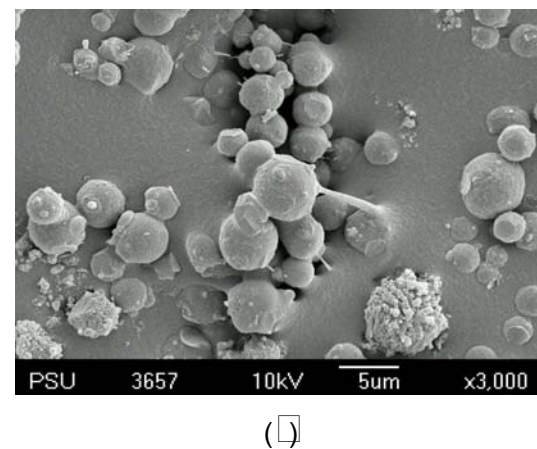
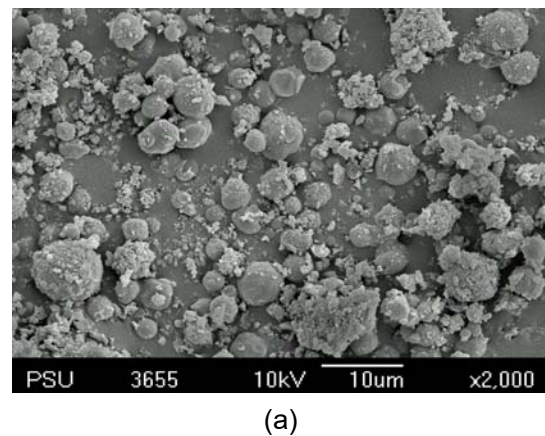
ภาพประกอบที่ 3.5 แสดงภาพของชิลิก้า SBA-15 ที่สังเคราะห์โดยใช้ P123 เพียงอย่างเดียวได้รูปร่างเป็นแบบเส้นและ SBA-16 ที่สังเคราะห์โดยใช้ F127 เพียงอย่างเดียวได้รูปร่างเป็นแบบผลึก (Voort et al., 2002)

ภาพประกอบที่ 3.6-3.9 แสดงภาพที่ได้จากเทคนิค SEM ของชิลิก้าที่สังเคราะห์โดยใช้ 0.3M HCl และใช้อัตราส่วนโดยโมลของ P123/F127 ต่างๆกัน พบว่าเมื่อใช้อัตราส่วนโดยโมลของ P123/F127 = 1/9, 3/7 และ 5/5 (ภาพประกอบที่ 3.6-3.8) ชิลิก้าที่ได้มีรูปร่างเป็นทรงกลม เนื่องจากการดัดที่ใช้ในการสังเคราะห์มีความเข้มข้นต่ำ ซึ่งการดัดทำหน้าเป็นตัวเร่งปฏิกิริยาไฮโดรไลซิสของชิลิก้า เมื่อความเข้มข้นของกรดต่ำ ชิลิก้าเกิดการไฮโดรไลซิสชา ทำให้พลอยเมอร์ที่ใช้เป็นแม่แบบมีเวลาในการรวมตัวเกิดเป็นไมเซลล์มากขึ้นเป็นการเพิ่มความโคงให้กับพื้นผิวทำให้เกิดเป็นรูปร่างแบบทรงกลม แต่เมื่อใช้อัตราส่วนโดยโมลของ P123/F127 = 7/3 (ภาพประกอบที่ 3.9) พบว่าชิลิก้าที่ได้มีลักษณะเป็นทรงกลมที่เชื่อมต่อกันมากกว่าที่อัตราส่วนอื่นเนื่องจากได้รับอิทธิพลจาก P123 ซึ่งมีอัตราส่วนโดยโมลอยู่ในปริมาณมาก

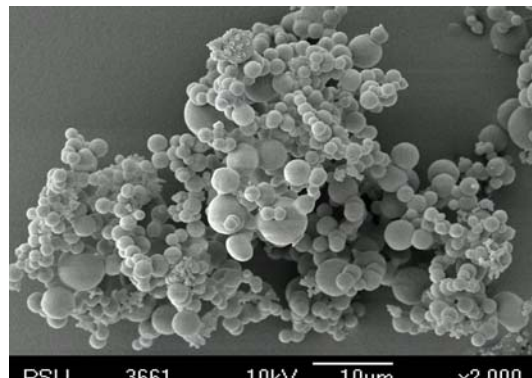
ส่วนภาพประกอบที่ 3.10-3.13 แสดงภาพที่ได้จากเทคนิค SEM ของชิลิก้าที่สังเคราะห์โดยใช้ 0.5 M HCl และใช้อัตราส่วนโดยโมลของ P123/F127 ต่างๆ กัน พบว่าเมื่อใช้อัตราส่วนโดยโมลของ P123/F127 = 1/9, 3/7 และ 5/5 (ภาพประกอบที่ 3.10-3.12) ชิลิก้าที่ได้มีรูปร่างเป็นทรงกลมและเมื่อใช้อัตราส่วนโดยโมลของ P123/F127 = 7/3 (ภาพประกอบที่ 3.13) พบว่าชิลิก้าที่ได้มีลักษณะเป็นทรงกลมที่เชื่อมต่อกันแข็งเดียวกับชิลิก้าที่สังเคราะห์โดยใช้ 0.3 M HCl แต่เมื่อเปรียบเทียบตัวอย่างที่ใช้อัตราส่วนโดยโมลของ P123/F127 เท่ากันพบว่าที่ 0.3 M HCl มีชิลิก้าที่มีรูปร่างไม่เป็นทรงกลมมากกว่าที่ 0.5 M HCl เนื่องจากเมื่อใช้ 0.3 M HCl ชิลิก้าเกิดการไฮโดรไลซิสชากว่าเมื่อใช้ 0.5 M HCl จึงทำให้เหลือชิลิก้าที่ยังไม่ได้จับกับสารลดแรงตึงผิวอยู่มากกว่า



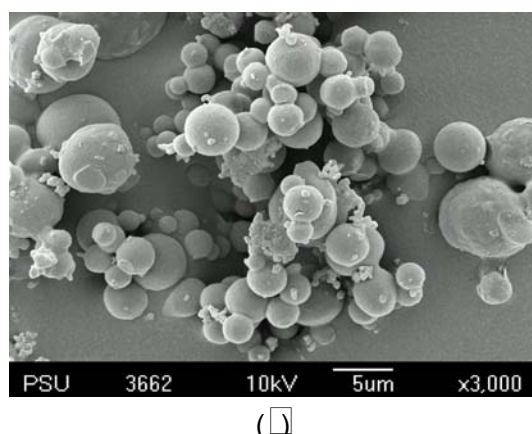
ภาพประกอบที่ 3.5 ภาพจากเทคนิค SEM ของชิลิก้าที่สังเคราะห์โดยใช้แม่แบบเพียงชนิดเดียว (A) ชิลิก้าที่สังเคราะห์โดยใช้ P123 (B) ชิลิก้าที่สังเคราะห์โดยใช้ F127 (Chandrasekar et al., 2007)



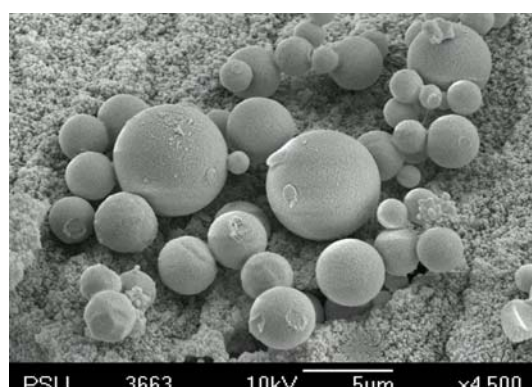
ภาพประกอบที่ 3.6 ภาพจากเทคนิค SEM ของชิลิกาที่สังเคราะห์โดยใช้อัตราส่วนโดยโมลของ P123/F127 = 1/9 และใช้ 0.3 M HCl (a) ใช้กำลังขยาย 2000 (b) ใช้กำลังขยาย 3000 (c) ใช้กำลังขยาย 4500



(a)

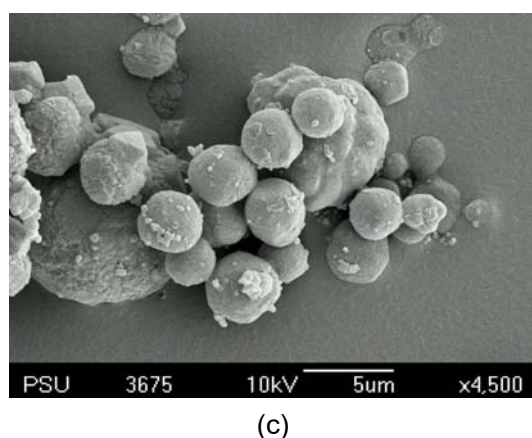
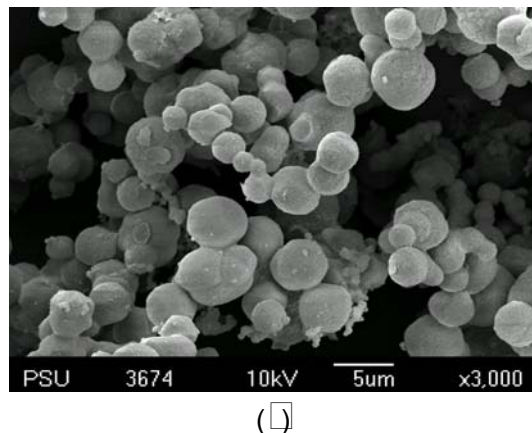
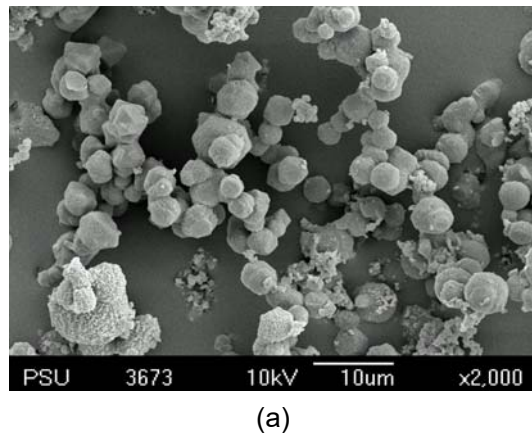


(b)

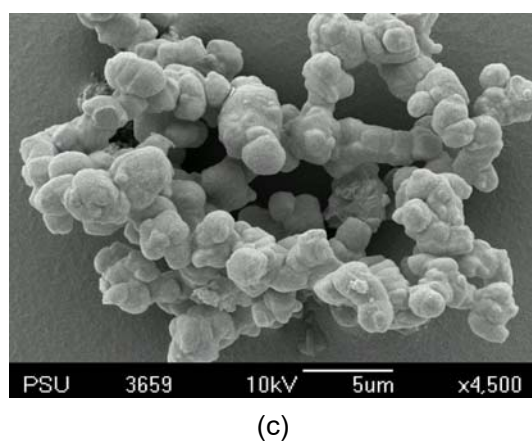
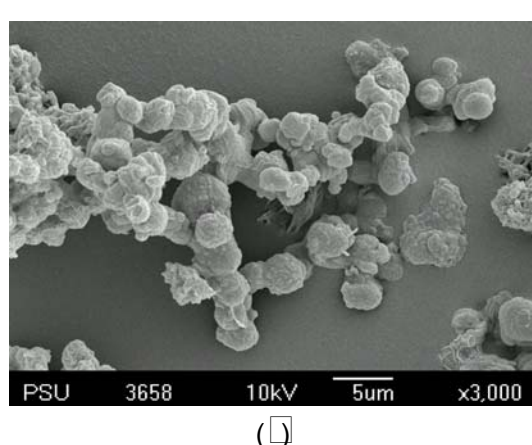
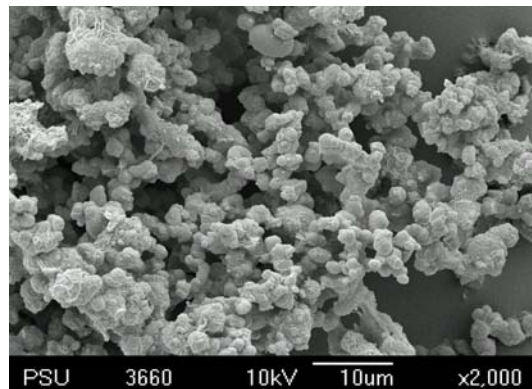


(c)

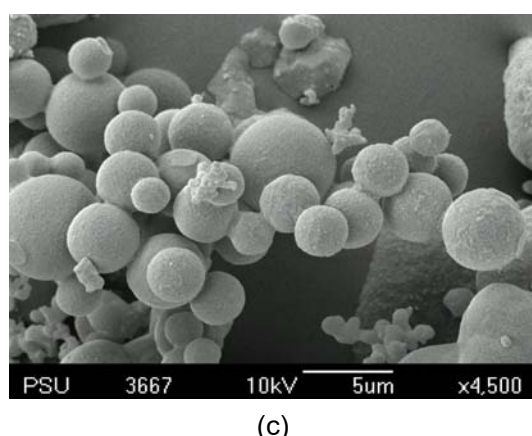
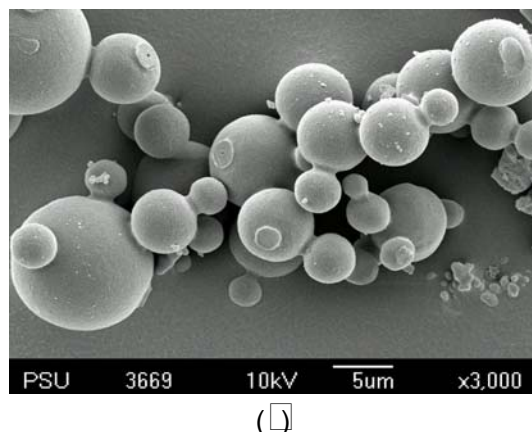
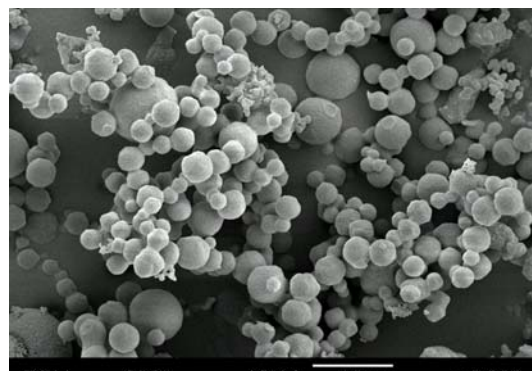
ภาพประกอบที่ 3.7 ภาพจากเทคนิค SEM ของชิลิกาที่สังเคราะห์โดยใช้อัตราส่วนโดยโมลของ P123/F127 = 3/7 และใช้ 0.3M HCl (a) ใช้กำลังขยาย 2000 (b) ใช้กำลังขยาย 3000 (c) ใช้กำลังขยาย 4500



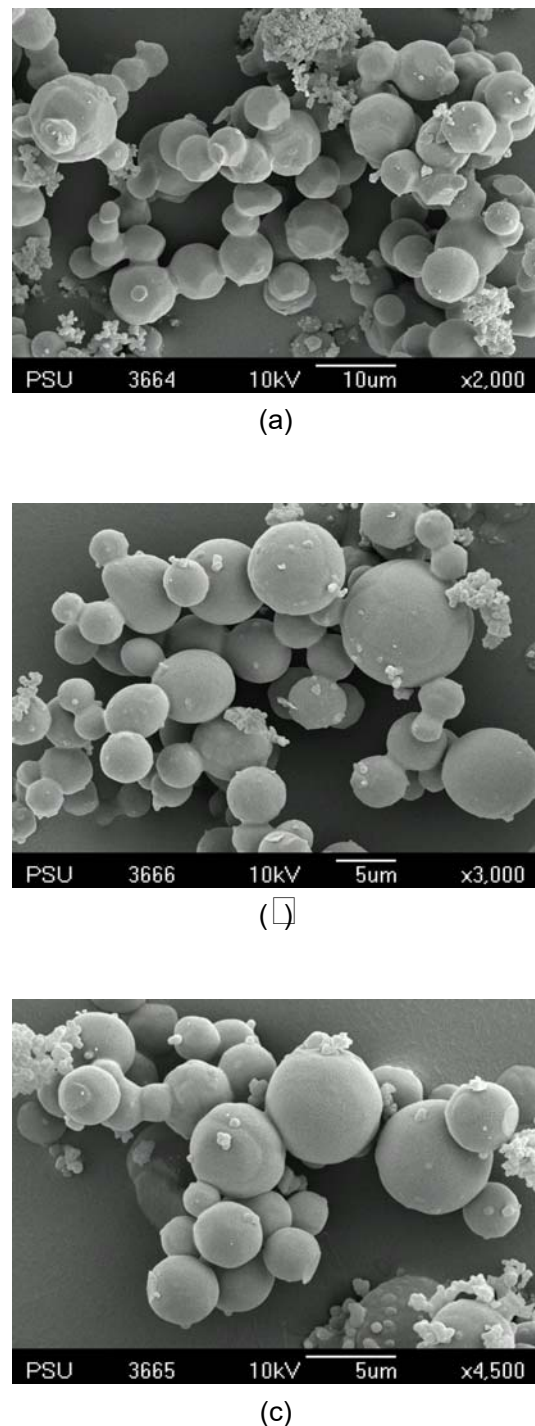
ภาพประกอบที่ 3. ภาพจากเทคนิค SEM ของชิลิกาที่สังเคราะห์โดยใช้อัตราส่วนโดยโมลของ P123/F127 = 5/5 และใช้ 0.3M HCl (a) ใช้กำลังขยาย 2000 (b) ใช้กำลังขยาย 3000 (c) ใช้กำลังขยาย 4500



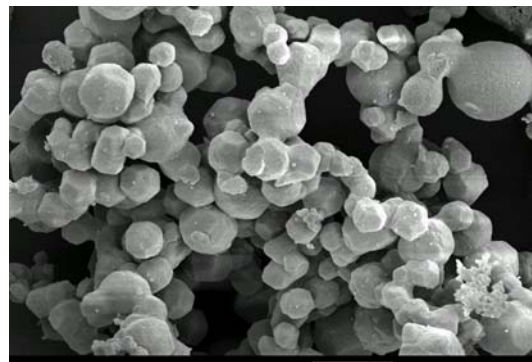
ภาพประกอบที่ 3. ภาพจากเทคนิค SEM ของชิลิกาที่สังเคราะห์โดยใช้อัตราส่วนโดยมูลของ P123/F127 = 7/3 และใช้ 0.3M HCl (a) ใช้กำลังขยาย 2000 (b) ใช้กำลังขยาย 3000 (c) ใช้กำลังขยาย 4500



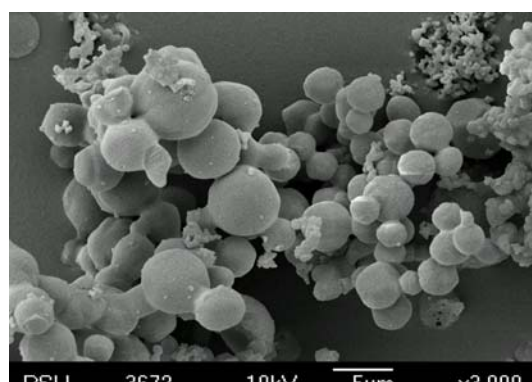
ภาพประกอบที่ 3.10 ภาพจากเทคนิค SEM ของชิลิกาที่สังเคราะห์โดยใช้อัตราส่วนโดยโมลของ P123/F127 = 1/9 และใช้ 0.5M HCl (a) ใช้กำลังขยาย 2000 (b)
ใช้กำลังขยาย 3000 (c) ใช้กำลังขยาย 4500



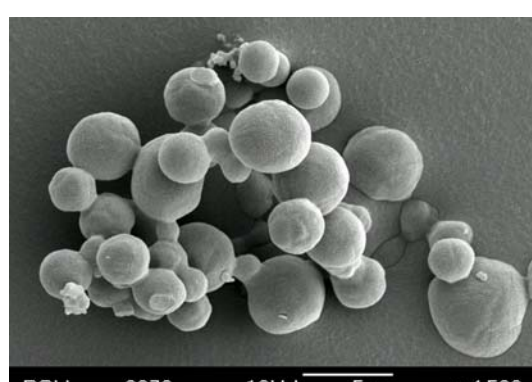
ภาพประภกอบที่ 3.11 ภาพจากเทคนิค SEM ของชิลิกาที่สังเคราะห์โดยใช้อัตราส่วนโดยโมล
ของ P123/F127 = 3/7 และใช้ 0.5M HCl (a) ใช้กำลังขยาย 2000 (b)
ใช้กำลังขยาย 3000 (c) ใช้กำลังขยาย 4500



(a)

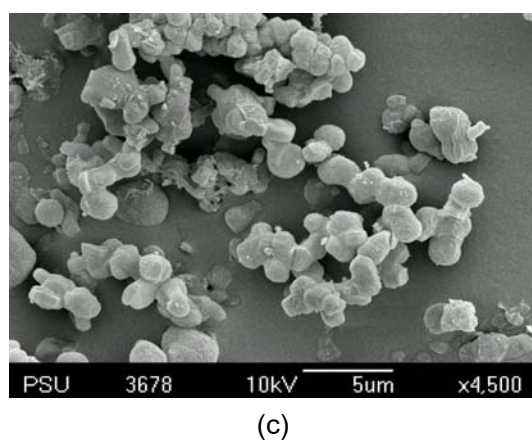
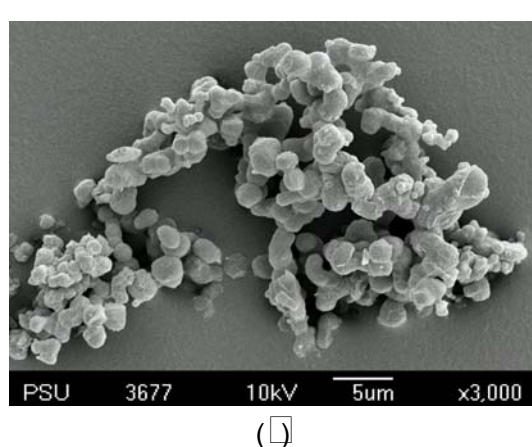
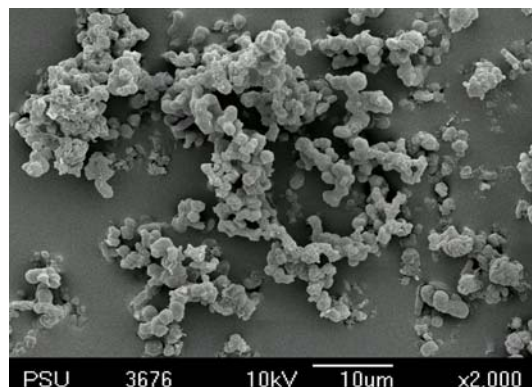


(b)



(c)

ภาพประกอบที่ 3.12 ภาพจากเทคนิค SEM ของชิลิกาที่สังเคราะห์โดยใช้อัตราส่วนโดยโมล
ของ P123/F127 = 5/5 และใช้ 0.5M HCl (a) ใช้กำลังขยาย 2000 (b)
ใช้กำลังขยาย 3000 (c) ใช้กำลังขยาย 4500



ภาพประกอบที่ 3.13 ภาพจากเทคนิค SEM ของชิลิกาที่สังเคราะห์โดยใช้อัตราส่วนโดยโมล ของ P123/F127 = 7/3 และใช้ 0.5M HCl (a) ใช้กำลังขยาย 2000 (b) ใช้กำลังขยาย 3000 (c) ใช้กำลังขยาย 4500

จากผลการทดลองในตอนที่ 3.1 พบว่าซิลิกาที่สังเคราะห์โดยใช้อัตราส่วนโดยโมลของ P123/F127 = 3/7 มีขนาดของรูพรุนที่ใหญ่กว่าอัตราส่วนอื่นๆ และซิลิกาที่สังเคราะห์โดยใช้ความเข้มข้นกรด 0.3M HCl จะมีขนาดของรูพรุนที่ใหญ่กว่าซิลิกาที่สังเคราะห์โดยใช้ความเข้มข้นกรด 0.5M HCl แต่ซิลิกาที่สังเคราะห์โดยใช้ความเข้มข้นกรด 0.3M HCl จะมีรูปร่างไม่เป็นทรงกลมมากกว่าที่ 0.5M HCl ดังนั้นการสังเคราะห์ซิลิกาในตอนที่ 3.2-3.5 จึงเลือกใช้อัตราส่วนโดยโมลของ P123/F127 = 3/7 และใช้ความเข้มข้นกรด 0.5M HCl ในการสังเคราะห์

3.2 ศึกษาอิทธิพลของความเข้มข้นและชนิดของเกลืออนินทรีย์

ผลการทดลองตอนที่ 3.2 เป็นผลการทดลองของตัวอย่างที่ 9-13 ซึ่งทำการสังเคราะห์ซิลิกาโดยใช้ P123 และ F127 เป็นแม่แบบ ที่อัตราส่วนโดยโมลของ P123/F127 = 3/7 ใช้ 0.5M HCl ใช้ 0.1M Na₂SO₄ (ตัวอย่างที่ 10) 0.5M Na₂SO₄ (ตัวอย่างที่ 11) 0.1M KCl (ตัวอย่างที่ 12) 0.5M KCl (ตัวอย่างที่ 13) ส่วนตัวอย่างที่ 9 ไม่เติมเกลืออนินทรีย์ และใช้อัตราส่วนโดยน้ำหนักของ TEOS/(P123+F127) = 4/1 ได้ผลการวิเคราะห์สารตัวอย่างด้วยเครื่องวิเคราะห์พื้นที่ผิวดังแสดงในตารางที่ 3.4

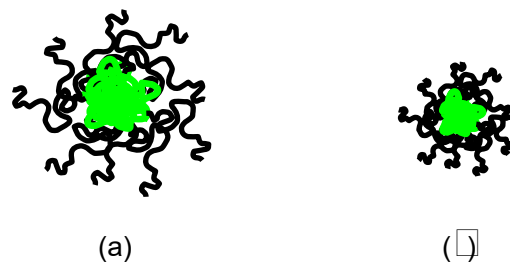
ตารางที่ 3.4 พื้นที่ผิว รัศมีรูพรุนและปริมาตรรูพรุนต่างๆ ของซิลิกาที่สังเคราะห์เพื่อศึกษาอิทธิพลของความเข้มข้นและชนิดของเกลืออนินทรีย์ อัตราส่วนโดยโมลของ P123/F127 = 3/7 ใช้ 0.5M HCl ใช้ชนิดและความเข้มข้นของเกลืออนินทรีย์ที่แตกต่างกัน

Sample No.	Kind and concentration of inorganic salts	A ^a (m ² /g)	V _{micro} ^b (cm ³ /g)	V _{meso} ^c (cm ³ /g)	V _{pore} ^d (cm ³ /g)	(P/P ₀) _{step} ^e	r _p ^f (nm)
9	-	566	0.10	0.38	0.48	0.77	4.81
10	0.1M Na ₂ SO ₄	802	0.16	0.52	0.68	0.72	3.92
11	0.5M Na ₂ SO ₄	975	0.13	0.63	0.76	0.71	3.81
12	0.1M KCl	1082	0.16	0.69	0.85	0.72	3.97
13	0.5M KCl	935	0.13	0.61	0.74	0.71	3.86

^aค่าพื้นที่ผิว ^bปริมาตรรูพรุนขนาดไมโคร ^cปริมาตรรูพรุนขนาดเมโซ ^dปริมาตรรูพรุนรวม

^eจุดหักเหที่เกิดการเปลี่ยนแปลงความชันในกราฟ ^fไอโซเทอร์ม ค่ารัศมีรูพรุนของซิลิกา

จากตารางที่ 3.4 พบว่าตัวอย่างที่ไม่เติมเกลืออนินทรีมีขนาดของรูพรุน (จากค่า r_p) ที่ใหญ่กว่าตัวอย่างที่เติมเกลืออนินทรีและที่ความเข้มข้นเดียวกันตัวอย่างที่เติมเกลือ KCl มีขนาดของรูพรุนที่ใหญ่กว่าตัวอย่างที่เติมเกลือ Na_2SO_4 นอกจากนี้ยังพบว่าตัวอย่างที่เติมเกลือชนิดเดียวกันเมื่อความเข้มข้นของเกลือเพิ่มขึ้นทำให้ขนาดของรูพรุนเล็กลง เนื่องจากการเติมเกลือทำให้การจัดเรียงตัวของ H_2O (ซึ่งเกิด Hydrogen Bonding กับส่วนของ EO ได้มาก) เป็นไป มีผลให้ความชอบนำของส่วน EO Lock ลดลง จึงเกิดการคงอหดตัวทำให้ไมเซลล์เกิดการหดตัวเล็กลงด้วย ดังแสดงในภาพประกอบที่ 3.14 เมื่อเติม Na_2SO_4 ไมเซลล์เกิดการหดตัวมากกว่าเติม KCl เนื่องจาก Na_2SO_4 แตกตัวได้ SO_4^{2-} ซึ่งมีความแรงของประจุลบมากกว่า KCl ซึ่งแตกตัวได้ Cl^- และเมื่อพิจารณาถึงค่าปริมาตรรูพรุนขนาดไมโคร (V_{micro}) พบว่าเมื่อความเข้มข้นของเกลืออนินทรีทั้ง 2 ชนิดเพิ่มขึ้นค่าปริมาตรรูพรุนขนาดไมโคร (V_{micro}) มีค่าลดลง



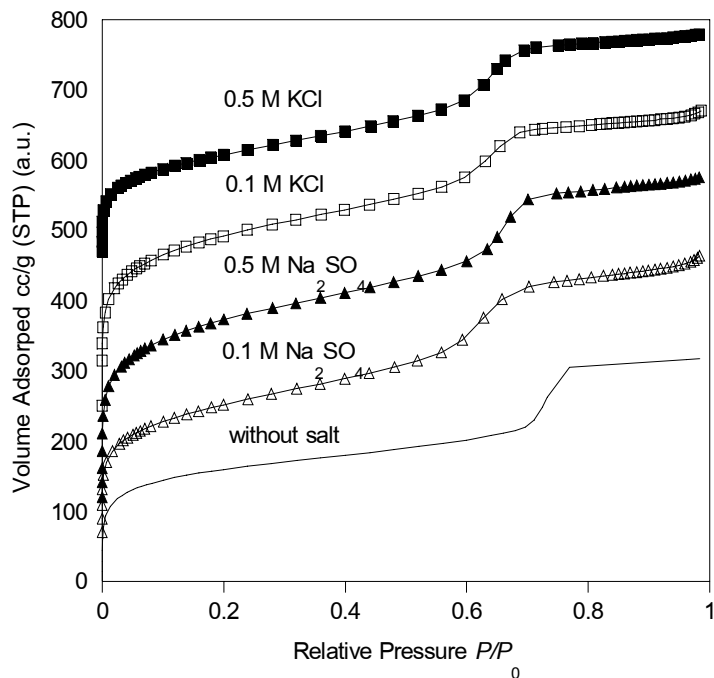
เมื่อ คือ ส่วนของ PO และ คือ ส่วนของ EO

ภาพประกอบที่ 3.14 (a) ไมเซลล์ที่เกิดขึ้นในสารละลายที่ไม่มีการเติมเกลืออนินทรี
(b) ไมเซลล์ที่เกิดขึ้นในสารละลายที่มีการเติมเกลืออนินทรี

กราฟ adsorption isotherms ของซิลิกาที่สังเคราะห์ได้ในตอนที่ 3.2 เป็นกราฟไอโซเทอร์มชนิดที่ 4 ซึ่งเป็นลักษณะของวัสดุที่มีรูพรุนขนาดมีໂโซ โดยในภาพประกอบที่ 3.15 เป็นการนำกราฟ adsorption isotherms ของตัวอย่างที่ 9-13 ซึ่งทำการสังเคราะห์สังเคราะห์เพื่อศึกษาอิทธิพลของความเข้มข้นและชนิดของเกลืออนินทรี มาเบริယบเทียบในกราฟเดียวกันโดยตัวอย่างที่ 10-13 ต้องมีการบอกค่า volume adsorped (แกน y) เพิ่มขึ้นดังแสดงในตารางที่ 3.5 เพื่อไม่ให้กราฟซ้อนทับกัน ส่วนค่า relative pressure P/P_0 (แกน x) ยังคงเหมือนเดิม

ตารางที่ 3.5 ค่า volume adsorped (แกน y) ที่มีการบวกเพิ่มขึ้นของซิลิกาที่สังเคราะห์เพื่อศึกษาอิทธิพลของความเข้มข้นและชนิดของเกลืออนินทรีย์

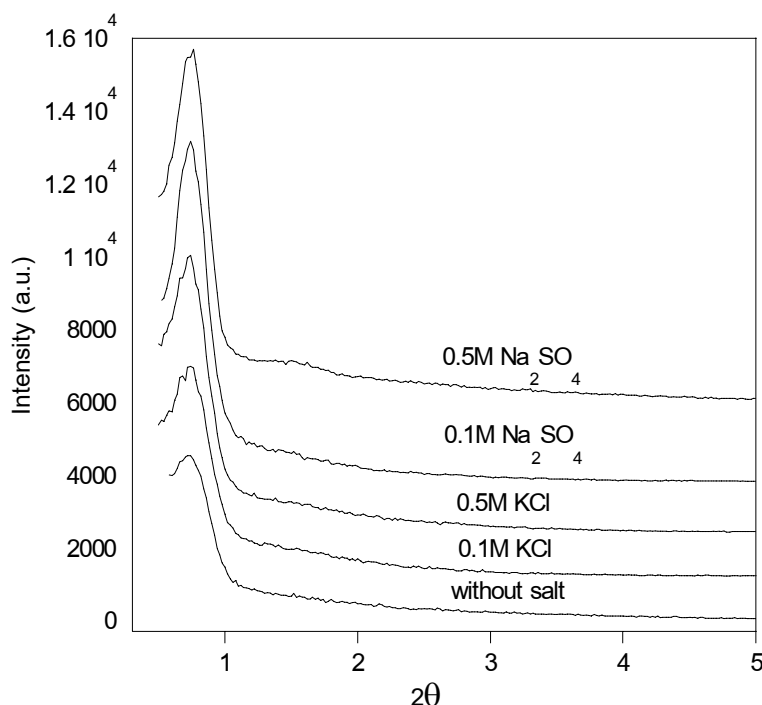
Sample No.	Kind and concentration of inorganic salts	+volume adsorped (cc/g)
9	-	0
10	0.1M Na ₂ SO ₄	50
11	0.5M Na ₂ SO ₄	100
12	0.1M KCl	150
13	0.5M KCl	220



ภาพประกอบที่ 3.15 Adsorption isotherms ของซิลิกาที่สังเคราะห์เพื่อศึกษาอิทธิพลของความเข้มข้นและชนิดของเกลืออนินทรีย์

จากการวิเคราะห์ด้วยเครื่อง XRD ได้พึกของสารที่สังเคราะห์ในตอนที่ 3.2 ดังแสดงในภาพประกอบที่ 3.16 พบร่วมกันของตัวอย่างที่มีการเติมเกลือ Na₂SO₄ และ KCl มีพึกที่แคบและสูงกว่าตัวอย่างที่ไม่มีการเติมเกลืออนินทรีย์ แสดงให้เห็นว่าโครงสร้างของซิลิกาที่สังเคราะห์โดยมีการเติมเกลืออนินทรีย์นั้นมีความเป็นระเบียบสูงคือมีการจัดเรียงตัวของรูพรุนที่สม่ำเสมอกว่าตัวอย่างที่ไม่มีการเติมเกลืออนินทรีย์ เนื่องจากการเติมเกลือทำให้การจัดเรียงตัวของ H₂O เปลี่ยนไป การละลายของ EO และ PO ลดลง ค่า cmc ก็ลดลงด้วย (Zhang et al.,

2006) ทำให้โพลิเมอร์เกิดการรวมตัวเป็นไนเซลล์ได้ดีขึ้นและทำให้รูพรุนที่เกิดขึ้นการจัดเรียงตัวที่เป็นระเบียบมากขึ้น เมื่อเปรียบเทียบตัวอย่างที่มีการเติมเกลือ Na_2SO_4 กับตัวอย่างที่มีการเติมเกลือ KCl พบว่าตัวอย่างที่เติม Na_2SO_4 มีพิกที่แคบและสูงกว่าตัวอย่างที่เติมเกลือ KCl เนื่องจากเกลือ Na_2SO_4 มี ionic strength สูงกว่าเกลือ KCl ดังนั้น Na_2SO_4 มีผลต่อการจัดเรียงตัวของ H_2O มากกว่า KCl จึงทำให้ตัวอย่างที่มีการเติมเกลือ Na_2SO_4 มีรูพรุนที่มีการจัดเรียงตัวที่สม่ำเสมอกว่าตัวอย่างที่มีการเติม KCl เมื่อพิจารณาตัวอย่างที่มีการเติมเกลือชนิดเดียวกันพบว่าตัวอย่างที่มีการเติม 0.1M และ 0.5M Na_2SO_4 มีพิกที่มีความสูงและแคบใกล้เคียงกันส่วนตัวอย่างที่มีการเติมเกลือ KCl พบว่าตัวอย่างที่เติม 0.5M KCl มีพิกที่แคบและสูงกว่าตัวอย่างที่เติม 0.1M KCl



ภาพประกอบที่ 3.16 ผล XRD ของชิลิกาที่สังเคราะห์เพื่อศึกษาอิทธิพลของความเข้มข้นและชนิดของเกลืออนินทรีย์

ภาพประกอบที่ 3.16 เป็นการนำพิกจากการวิเคราะห์ด้วยเทคนิค XRD ของตัวอย่างที่ 9-13 ซึ่งทำการสังเคราะห์เพื่อศึกษาอิทธิพลของความเข้มข้นและชนิดของเกลืออนินทรีย์มาเปรียบเทียบในกราฟเดียวกัน โดยตัวอย่างที่ 10-13 ต้องมีการบวกค่า intensity (แกน y) เพิ่มขึ้นดังแสดงในตารางที่ 3.6 เพื่อไม่ให้กราฟซ้อนทับกัน

ตารางที่ 3.6 ค่า intensity (แกน y) ที่มีการบวกเพิ่มขึ้นของซิลิกาที่สั่งเคราะห์เพื่อศึกษาอิทธิพลของความเข้มข้นและชนิดของเกลืออนินทรีย์

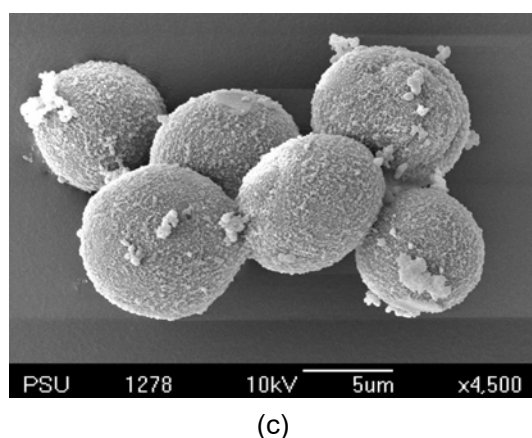
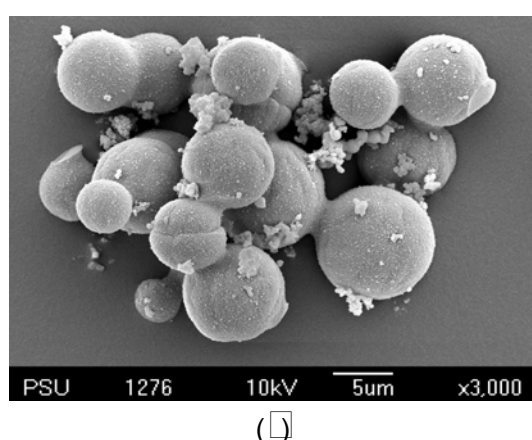
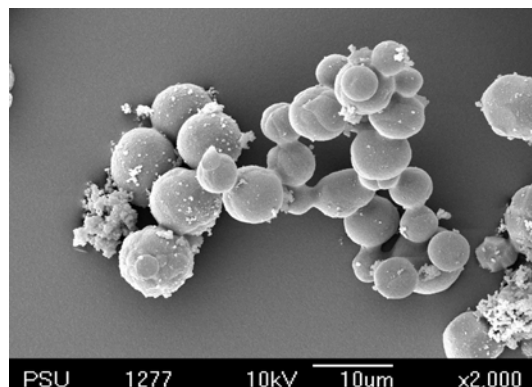
Sample No.	Kind and concentration of inorganic salts	+intensity
9	-	0
10	0.1M Na ₂ SO ₄	4700
11	0.5M Na ₂ SO ₄	5700
12	0.1M KCl	1500
13	0.5M KCl	3000

ตารางที่ 3.7 แสดงค่า d-spacing ซึ่งเป็นระยะห่างระหว่างระนาบ 100 ที่คำนวณได้จากการ $\lambda = 2ds\sin\theta$ พบร่วมกันที่ไม่เติมเกลืออนินทรีย์มีค่า d_{100} มากกว่าตัวอย่างที่เติมเกลืออนินทรีย์และตัวอย่างที่เติม KCl มีค่า d_{100} มากกว่าตัวอย่างที่เติม Na₂SO₄ ตัวอย่างที่เติมเกลืออนินทรีย์มีความเข้มข้นของเกลือเพิ่มขึ้นค่า d_{100} ลดลง เมื่อเปรียบเทียบกับค่ารัศมีของรูปรุนพบว่าตัวอย่างที่มีค่ารัศมีของรูปรุนมาก ค่า d_{100} ก็มากไปด้วย

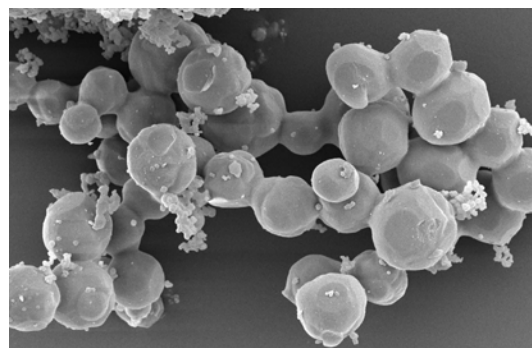
ตารางที่ 3.7 ความสัมพันธ์ระหว่างค่า d_{100} และค่า r_p ของซิลิกาที่สั่งเคราะห์เพื่อศึกษาอิทธิพลของความเข้มข้นและชนิดของเกลืออนินทรีย์

Sample No.	Kind and concentration of inorganic salts	r_p (nm)	d_{100} (nm)
9	-	4.81	12.42
10	0.1M Na ₂ SO ₄	3.92	11.76
11	0.5M Na ₂ SO ₄	3.81	11.61
12	0.1M KCl	3.97	12.08
13	0.5M KCl	3.86	11.92

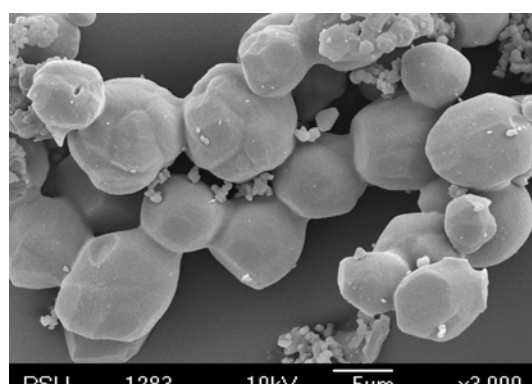
จากภาพประกอบที่ 3.17-3.21 แสดงภาพที่ได้จากการ SEM ของซิลิกาที่สั่งเคราะห์ในตอนที่ 3.2 พบร่วมกันที่ไม่เติม Na₂SO₄ พบว่าโครงสร้างเป็นทรงกลม เนื่องมาจากการที่ใช้ในการสั่งเคราะห์มีความเข้มข้นต่ำและอิทธิพลของ F127 ทำให้รูปร่างของซิลิกามีลักษณะเป็นผลึก (เช่นในภาพประกอบที่ 3.21 □) ซึ่งตัวอย่างทั้ง 5 ตัวอย่างนี้ใช้อัตราส่วนโดยโมลของ F127 มากกว่า P123 จึงได้รับอิทธิพลของ F127 มากกว่า



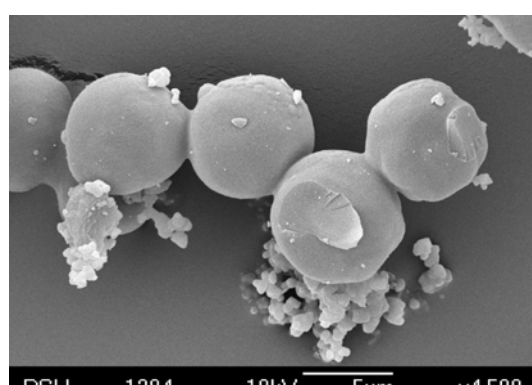
ภาพประกอบที่ 3.17 ภาพจากเทคนิค SEM ของชิลิกาที่สังเคราะห์โดยใช้อัตราส่วนโดยโมล ของ P123/F127 = 3/7 ใช้ 0.5M HCl และไม่เติมเกลืออนินทรีย์ (a) ใช้กำลังขยาย 2000 (b) ใช้กำลังขยาย 3000 (c) ใช้กำลังขยาย 4500



(a)

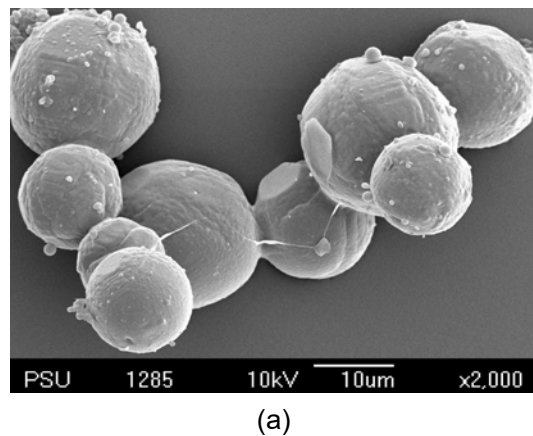


(b)

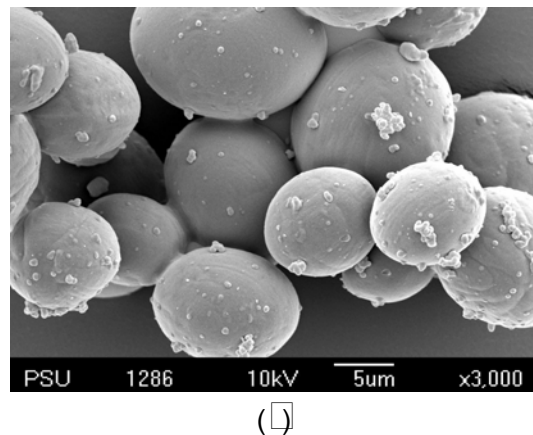


(c)

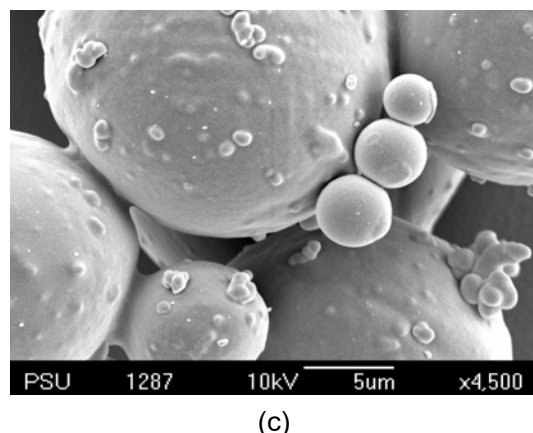
ภาพประกอบที่ 3.1 □ภาพจากเทคนิค SEM ของชิลิกาที่สังเคราะห์โดยใช้อัตราส่วนโดยโมล
ของ P123/F127 = 3/7 ใช้ 0.5M HCl และเติม 0.1M Na₂SO₄ (a) ใช้
กำลังขยาย 2000 (b) ใช้กำลังขยาย 3000 (c) ใช้กำลังขยาย 4500



(a)

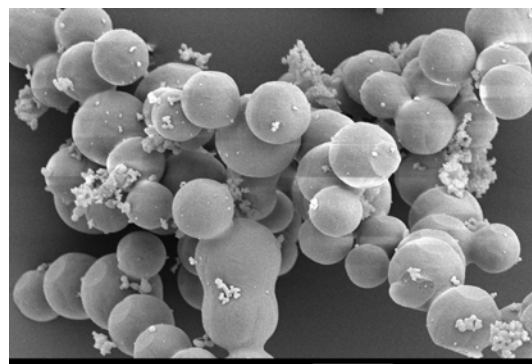


(b)

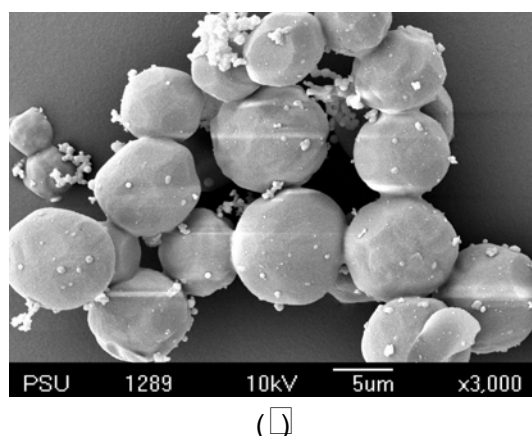


(c)

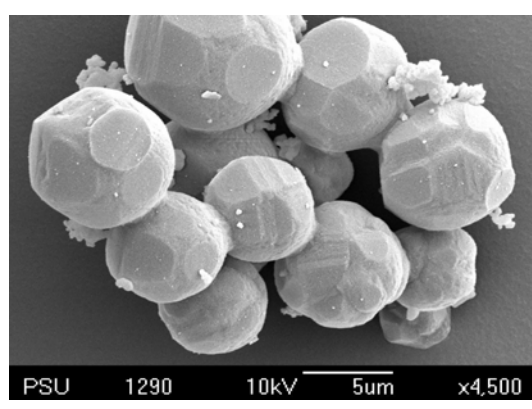
ภาพประกอบที่ 3.1 ภาพจากเทคนิค SEM ของชิลิกาที่สังเคราะห์โดยใช้อัตราส่วนโดยโมล
ของ P123/F127 = 3/7 ใช้ 0.5M HCl และเติม 0.5M Na₂SO₄ (a) ใช้
กำลังขยาย 2000 (b) ใช้กำลังขยาย 3000 (c) ใช้กำลังขยาย 4500



(a)

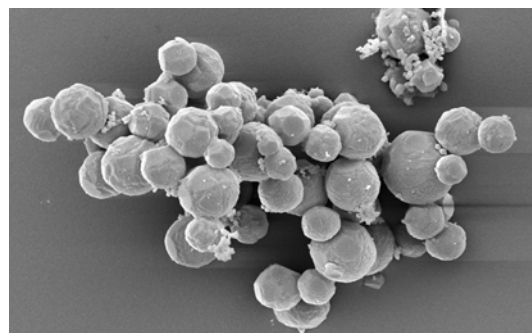


(b)

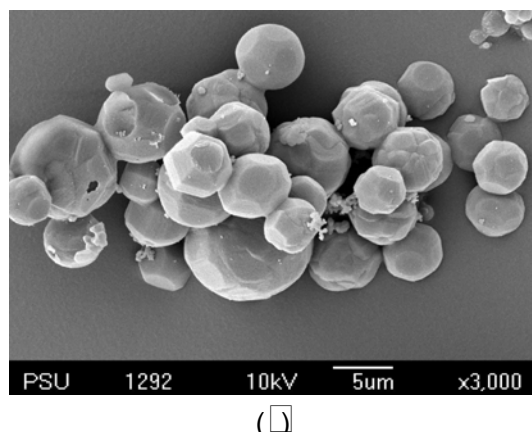


(c)

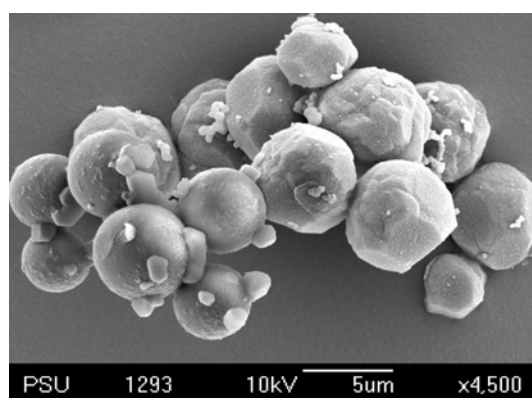
ภาพประกอบที่ 3.20 ภาพจากเทคนิค SEM ของชิลิกาที่สังเคราะห์โดยใช้อัตราส่วนโดยโมล ของ P123/F127 = 3/7 ใช้ 0.5M HCl และเติม 0.1M KCl (a) ใช้กำลังขยาย 2000 (b) ใช้กำลังขยาย 3000 (c) ใช้กำลังขยาย 4500



(a)



(b)



(c)

ภาพประกอบที่ 3.21 ภาพจากเทคนิค SEM ของชิลิกาที่สังเคราะห์โดยใช้อัตราส่วนโดยโมล
ของ P123/F127 = 3/7 ใช้ 0.5M HCl และเติม 0.5M KCl (a) ใช้กำลัง^{ขยาย} 2000 (b)
ใช้กำลังขยาย 3000 (c) ใช้กำลังขยาย 4500

จากผลการทดลองตอนที่ 3.2 พบร่วมกันที่สังเคราะห์โดยการเติมเกลือ Na_2SO_4 มีพิก XRD ที่สูงและแคบที่สุดซึ่งแสดงว่ารูพรุนมีการจัดเรียงตัวที่สม่ำเสมอและเมื่อเปรียบเทียบพิก XRD ของซิลิกาที่สังเคราะห์โดยมีการเติม 0.1M Na_2SO_4 กับ 0.5M Na_2SO_4 พบร่วมกันที่สูงและแคบที่สุดซึ่งแสดงว่ารูพรุนมีการจัดเรียงตัวที่สม่ำเสมอและเมื่อเปรียบเทียบพิก XRD ของซิลิกาที่สังเคราะห์โดยมีการเติม 0.1M Na_2SO_4 กับ 0.5M Na_2SO_4 พบว่ามีความแตกต่างกันไม่มาก ดังนั้นในการทดลองตอนที่ 3.3-3.5 จึงทำการสังเคราะห์ซิลิกาโดยมีการเติม 0.1M Na_2SO_4

3.3 ศึกษาอิทธิพลของสารลดแรงตึงผิวร่วม (cosurfactant)

ผลการทดลองตอนที่ 3.3 เป็นผลการทดลองของตัวอย่างที่ 14-23 ซึ่งทำการสังเคราะห์ซิลิกาโดยใช้ P123 และ F127 เป็นแม่แบบ ที่อัตราส่วนโดยโมลของ P123/F127 = 3/7 ใช้ 0.5M HCl ใช้ 0.1M Na_2SO_4 ใช้อัตราส่วนโดยน้ำหนักของ TEOS/(P123+F127) = 4/1 และมีการเติมสารลดแรงตึงผิวร่วมที่อัตราส่วนโดยโมลของ (P123+F127)/SDS = 1/1.7, 1/2.0, 1/2.3, 1/2.6 และ 1/2.9 ในตัวอย่างที่ 14-18 ตามลำดับ (P123+F127)/CTAB = 1/1.7, 1/2.0, 1/2.3, 1/2.6 และ 1/2.9 ในตัวอย่างที่ 19-23 ตามลำดับ ได้ผลการวิเคราะห์สารตัวอย่างด้วยเครื่องวิเคราะห์พื้นที่ผิวดังแสดงในตารางที่ 3.8-3.9

ตารางที่ 3.□ พื้นที่ผิว รัศมีรูพรุนและปริมาตรรูพรุนต่างๆ ของซิลิกาที่สังเคราะห์เพื่อศึกษาอิทธิพลของการเติม SDS เป็นสารลดแรงตึงผิวร่วมที่อัตราส่วนโดยโมลของ (P123+F127)/SDS ต่างๆ กัน ซึ่งใช้อัตราส่วนโดยโมลของ P123/F127 = 3/7 ใช้ 0.5M HCl และ 0.1M Na_2SO_4

Sample No.	Molar ratio (P123+F127) /SDS	A^a (m^2/g)	V_{micro}^b (cm^{-3}/g)	V_{meso}^c (cm^{-3}/g)	V_{pore}^d (cm^{-3}/g)	$(P/P_0)_{step}^e$	r_p^f (nm)
10	1/0	975	0.13	0.63	0.76	0.71	3.81
14	1/1.7	944	0.13	0.63	0.77	0.71	3.79
15	1/2.0	902	0.12	0.57	0.69	0.70	3.66
16	1/2.3	865	0.12	0.51	0.63	0.69	3.55
17	1/2.6	500	0.01	0.45	0.47	0.68	3.47
18	1/2.9	654	0.05	0.53	0.58	0.67	3.33

^aค่าพื้นที่ผิว ^bปริมาตรรูพรุนขนาดไมโคร ^cปริมาตรรูพรุนขนาดเมโซ ^dปริมาตรรูพรุนรวม

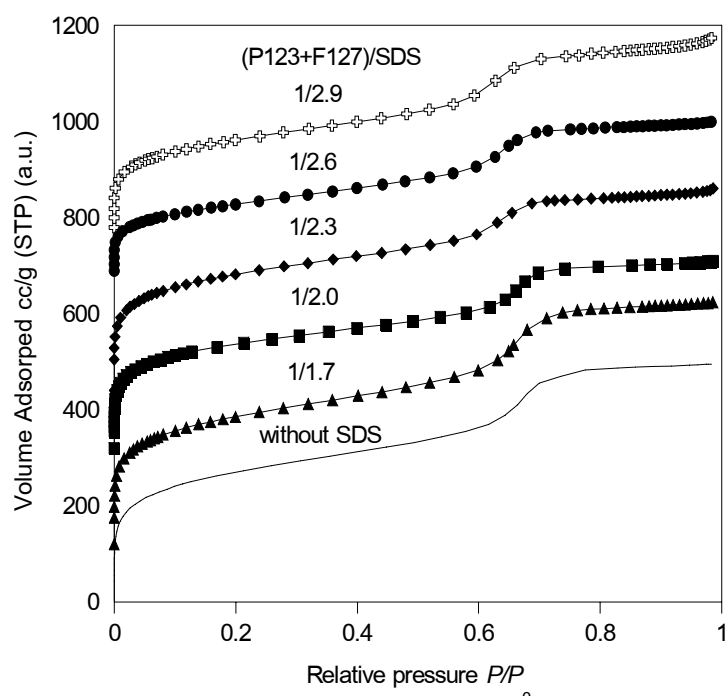
^eจุดทั้งหมดที่เกิดการเปลี่ยนแปลงความชันในกราฟไฮเซอร์ม ^fค่ารัศมีรูพรุนของซิลิกา

ตารางที่ 3.□ พื้นที่ผิว รัศมีรูพรุนและปริมาตรรูพรุนต่างๆของซิลิกาที่สังเคราะห์เพื่อศึกษาอิทธิพลของการเติม CTAB เป็นสารลดแรงตึงผิวรวมที่อัตราส่วนโดยโมลของ (P123+F127)/CTAB ต่างๆกัน ซึ่งใช้อัตราส่วนโดยโมลของ P123/F127 = 3/7 ใช้ 0.5M HCl และใช้ 0.1M Na₂SO₄

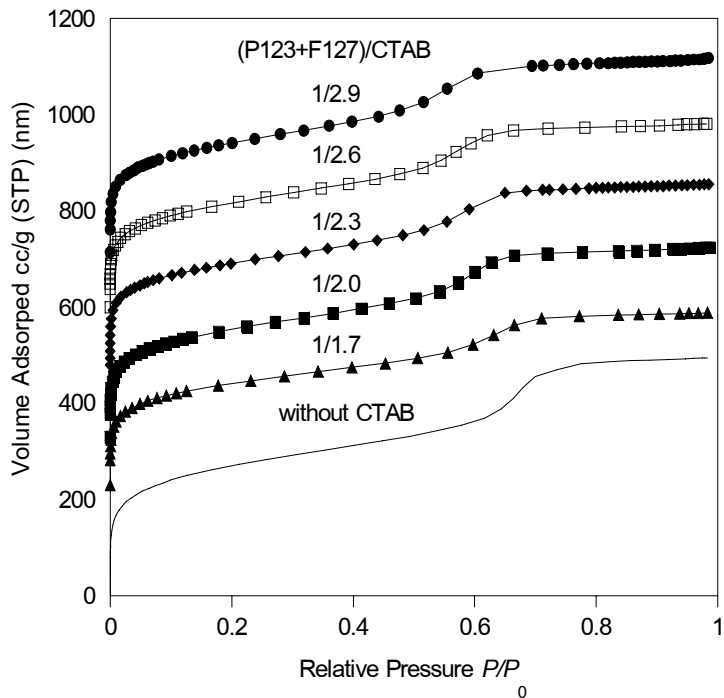
Sample No.	Molar ratio (P123+F127) /CTAB	A^a (m^2/g)	V_{micro}^b (cm^3/g)	V_{meso}^c (cm^3/g)	V_{pore}^d (cm^3/g)	$(P/P_0)_{\text{step}}^e$	r_p^f (nm)
10	1/0	975	0.13	0.63	0.76	0.71	3.81
19	1/1.7	757	0.11	0.43	0.55	0.69	3.66
20	1/2.0	804	0.10	0.50	0.60	0.65	3.19
21	1/2.3	755	0.08	0.48	0.57	0.64	3.11
22	1/2.6	782	0.08	0.50	0.58	0.63	2.97
23	1/2.9	809	0.08	0.52	0.61	0.62	2.89

^a พื้นที่ผิว ^b ปริมาตรรูพรุนขนาดไมโคร ^c ปริมาตรรูพรุนขนาดเมจิโค ^d ปริมาตรรูพรุนรวม

^e จุดหักเหที่เกิดการเปลี่ยนแปลงความชันในกราฟไอโซเทอร์ม ^f รัศมีรูพรุนของซิลิกา



ภาพประกอบที่ 3.22 Adsorption isotherms ของซิลิกาที่สังเคราะห์โดยมีการเติม SDS ที่ อัตราส่วนโดยโมลของ (P123+F127)/SDS ต่างๆกัน



ภาพประกอบที่ 3.23 Adsorption isotherms ของซิลิกาที่สังเคราะห์โดยมีการเติม CTAB ที่อัตราส่วนโดยโมลของ (P123/F127)/CTAB ต่างๆ กัน

จากตารางที่ 3.8-3.9 พบร่วมกันว่าการเติมสารลดแรงตึงผิวร่วมทั้ง 2 ตัวไม่ว่าจะเป็น SDS หรือ CTAB ทำให้รูปรุนเมื่นขนาดเล็กกว่าตัวอย่างที่ไม่มีการเติมสารลดแรงตึงผิวร่วม และเมื่อความเข้มข้นของ SDS หรือ CTAB เพิ่มขึ้นทำให้รูปรุนเมื่นขนาดเล็กลง เนื่องจาก SDS และ CTAB มีความเป็นข้าว เมื่อเข้าไปรวมตัวเกิดเป็นไมเซลล์รวมอยู่กับ P123 และ F127 ทำให้เกิดแรงผลัก (repulsion) เนื่องจากส่วนหัวของสารลดแรงตึงผิวมีประจุเหมือนกันทำให้ไมเซลล์แตกออกและเมื่นขนาดเล็กลง เมื่อซิลิกามาจับกับไมเซลล์ที่เมื่นขนาดเล็กแล้วเพาเวียสารลดแรงตึงผิวที่เป็นไมเซลล์ขนาดเล็กนั้นออกเป็นผลให้ขนาดรูปรุนของซิลิกาลดลงด้วย นอกจากนี้ยังพบว่าปริมาตรรูปรุนรวม (V_{pore}) และค่าปริมาตรรูปรุนขนาดมีโซ (V_{meso}) มีแนวโน้มลดลง แต่ค่าปริมาตรรูปรุนขนาดไมโคร (V_{micro}) มีแนวโน้มเพิ่มขึ้น ซึ่งผลการทดลองที่ได้สอดคล้องกับงานวิจัยของ Zhang และคณะ (Zhang et al., 2006) ซึ่งทำการศึกษาปัจจัยที่มีอิทธิพลต่อขนาดของรูปรุนของ SBA-15 โดยใช้ P123 เป็นแม่แบบในสภาวะที่เป็นกรดโดยมีการเติมสารลดแรงตึงผิวร่วมคือ CTAB ในอัตราส่วนโดยโมลของ P123/CTAB เป็น 1/0, 1/1, 1/2, 1/3 และ 1/4 พบร่วมกันว่าเมื่ออัตราส่วนของ CTAB เพิ่มขึ้น ขนาดรูปรุนของ SBA-15 ลดลงจาก 8.49 nm ไปเป็น 4.78 nm นอกจากนี้ยังมีงานวิจัยของ Li และคณะ (Li et al., 2000) ศึกษาขนาดของไมเซลล์ในสารละลายของ F127 โดยมีการเติม SDS ที่อัตราส่วนโดยโมลต่างๆ กัน จากการวิเคราะห์ด้วยเทคนิค Light Scattering พบร่วมกันว่าในช่วงแรกที่อัตราส่วนโดยโมลของ SDS/F127 ยังอยู่ในช่วง

0/1-0.125/1 ขนาดของไมเซลล์ลดลงอย่างช้าๆ จนกระทั่งเมื่ออัตราส่วนโดยโมลของ SDS/F127 เพิ่มขึ้นในช่วง 0.125/1-2.5/1 ขนาดของไมเซลล์จะลดลงอย่างรวดเร็ว

กราฟ adsorption isotherms ของซิลิกาที่สังเคราะห์ได้ในตอนที่ 3.3 เป็นกราฟไอโซเทอร์มชนิดที่ 4 ซึ่งเป็นลักษณะของวัสดุที่มีรูพรุนขนาดมีโฉนด โดยในภาพประกอบที่ 3.22 เป็นการนำกราฟ adsorption isotherms ของตัวอย่างที่ 10,14-18 ซึ่งทำการสังเคราะห์โดยมีการเติม SDS เป็นสารลดแรงตึงผิวร่วม มาเบรี่ยบเทียบในกราฟเดียวกัน โดยตัวอย่างที่ 14-18 ต้องมีการบวกค่า volume adsorped (แกน y) เพิ่มขึ้นดังแสดงในตารางที่ 3.10 เพื่อไม่ให้กราฟข้อนักกัน ส่วนค่า relative pressure P/P₀ (แกน x) ยังคงเหมือนเดิม

ตารางที่ 3.10 ค่า volume adsorped (แกน y) ที่มีการบวกเพิ่มขึ้นของซิลิกาที่สังเคราะห์โดยมีการเติม SDS เป็นสารลดแรงตึงผิวร่วมที่ท่ออัตราส่วนโดยโมลของ (P123+F127)/SDS ต่างๆกัน

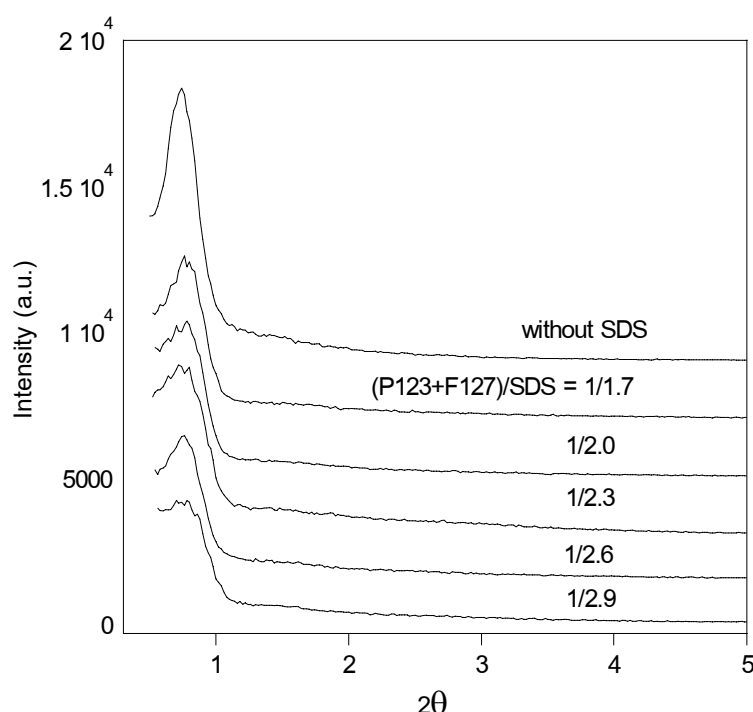
Sample No.	Molar ratio of (P123+F127) /SDS	+volume adsorped (cc/g)
10	1/0	0
14	1/1.7	100
15	1/2.0	300
16	1/2.3	400
17	1/2.6	500
18	1/2.9	600

ตารางที่ 3.11 ค่า volume adsorped (แกน y) ที่มีการบวกเพิ่มขึ้นของซิลิกาที่สังเคราะห์โดยมีการเติม CTAB เป็นสารลดแรงตึงผิวร่วมท่ออัตราส่วนโดยโมลของ (P123+F127)/CTAB ต่างๆกัน

Sample No.	Molar ratio of (P123+F127) /CTAB	+volume adsorped (cc/g)
10	1/0	0
19	1/1.7	150
20	1/2.0	250
21	1/2.3	350
22	1/2.6	450
23	1/2.9	550

ภาพประกอบที่ 3.23 เป็นการนำร่าง adsorption isotherms ของตัวอย่างที่ 10, 19-23 ซึ่งทำการสังเคราะห์โดยมีการเติม CTAB เป็นสารลดแรงตึงผิวร่วม มาเปรียบเทียบในกราฟเดียวกัน โดยตัวอย่างที่ 19-23 ต้องมีการบวกค่า volume adsorped (แกน y) เพิ่มขึ้นดังแสดงในตารางที่ 3.11 เพื่อไม่ให้กราฟซ้อนทับกัน ส่วนค่า relative pressure P/P_0 (แกน x) ยังคงเหมือนเดิม

จากการวิเคราะห์ด้วยเครื่อง XRD ได้พึกของสารที่สังเคราะห์ในตอนที่ 3.3 ดังแสดงในภาพประกอบที่ 3.24 - 3.25 พบว่าเมื่อความเข้มข้นของ SDS และ CTAB เพิ่มขึ้นพิกัดลักษณะกว้างและต่ำลง ซึ่งแสดงว่าความสม่ำเสมอของการจัดเรียงตัวของรูพรุนของชิลิกาลดลง เนื่องมาจากอาจมีไมเซลล์ที่เกิดจากสารลดแรงตึงผิวที่เป็นแม่แบบแตกต่างกัน เช่น (1) ไมเซลล์ที่เกิดจากการรวมตัวกันของ (P123+F127) ในปริมาณมากกับ SDS (หรือ CTAB) ในปริมาณน้อย (2) ไมเซลล์ที่เกิดจากการรวมตัวกันของ (P123+F127) ในปริมาณน้อยกับ SDS (หรือ CTAB) ในปริมาณมาก (3) ไมเซลล์ที่เกิดจากการรวมตัวกันของ (P123+F127) เพียงอย่างเดียว (4) ไมเซลล์ที่เกิดจากการรวมตัวกันของ SDS (หรือ CTAB) เพียงอย่างเดียว (5) ไมเซลล์ที่เกิดจากการรวมตัวกันของ P123 หรือ F127 กับ SDS (หรือ CTAB) ดังนั้นจึงได้ไมเซลล์ผสมกันหลายขนาดทำให้ความสม่ำเสมอของโครงสร้างรูพรุนของชิลิกาที่ได้ลดลง

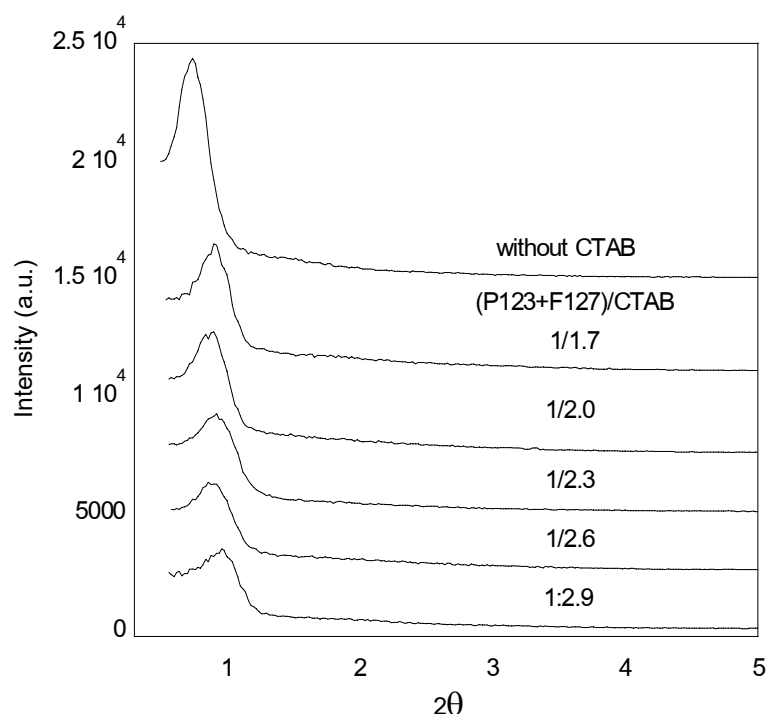


ภาพประกอบที่ 3.24 ผล XRD ของชิลิกาที่สังเคราะห์โดยมีการเติม SDS

ภาพประกอบที่ 3.24 เป็นการนำพื้นจากการวิเคราะห์ด้วยเทคนิค XRD ของตัวอย่างที่ 10, 14-18 ซึ่งทำการสังเคราะห์โดยมีการเติม SDS เป็นสารลดแรงตึงผิวรวม มาเปรียบเทียบในกราฟเดียวกัน โดยตัวอย่างที่ 10,14-17 ต้องมีการบวกค่า intensity (แกน y) เพิ่มขึ้นดังแสดงในตารางที่ 3.12 เพื่อไม่ให้กราฟซ้อนทับกัน

ตารางที่ 3.12 ค่า intensity (แกน y) ที่มีการบวกเพิ่มขึ้นของชิลิกาที่สังเคราะห์โดยมีการเติม SDS เป็นสารลดแรงตึงผิวรวมที่อัตราส่วนโดยโมลของ (P123+F127)/SDS ต่างๆ กัน

Sample No.	Molar ratio of (P123+F127) /SDS	+intensity
10	1/0	8000
14	1/1.7	5000
15	1/2.0	4000
16	1/2.3	3000
17	1/2.6	1000
18	1/2.9	0



ภาพประกอบที่ 3.25 ผล XRD ของชิลิกาที่สังเคราะห์โดยมีการเติม CTAB

ภาพประกอบที่ 3.25 เป็นการนำพีกจากการวิเคราะห์ด้วยเทคนิค XRD ของตัวอย่างที่ 10,19-23 ซึ่งทำการสังเคราะห์โดยมีการเติม CTAB เป็นสารลดแรงตึงผิวรวม มาเปรียบเทียบในกราฟเดียวกัน โดยตัวอย่างที่ 10,19-22 ต้องมีการบวกค่า intensity (แกน y) เพิ่มขึ้นดังแสดงในตารางที่ 3.13 เพื่อไม่ให้กราฟซ้อนทับกัน

ตารางที่ 3.13 ค่า intensity (แกน y) ที่มีการบวกเพิ่มขึ้นของซิลิกาที่สังเคราะห์โดยมีการเติม CTAB เป็นสารลดแรงตึงผิวรวมที่อัตราส่วนโดยโมลของ (P123+F127)/CTAB ต่างๆ กัน

Sample No.	Molar ratio of (P123+F127) /CTAB	+intensity
10	1/0	7000
19	1/1.7	4000
20	1/2.0	3000
21	1/2.3	2000
22	1/2.6	1000
23	1/2.9	0

ตารางที่ 3.14-3.15 แสดงค่า d_{100} พบว่าเมื่อความเข้มข้นของ SDS และ CTAB เพิ่มขึ้นค่า d_{100} จะลดลงเนื่องจากการเติม SDS และ CTAB จะมีผลทำให้ไมเซลล์มีขนาดเล็กลง ทำให้ระยะห่างระหว่างไมเซลล์น้อยลงค่า d_{100} จึงมีค่าน้อยลงด้วยซึ่งจะสอดคล้องกับค่า r_p ที่ลดลง

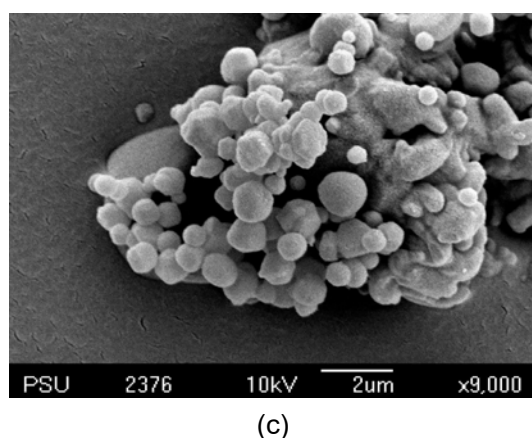
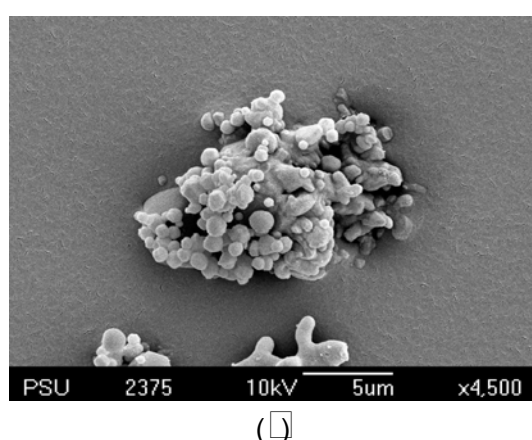
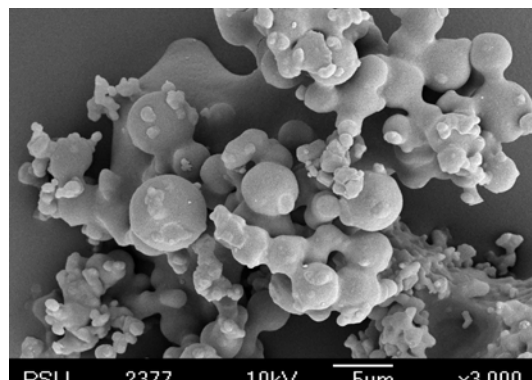
ตารางที่ 3.14 ความสัมพันธ์ระหว่างค่า d_{100} และค่า r_p ของซิลิกาที่สังเคราะห์โดยใช้อัตราส่วนโดยโมล ของ P123/F127 = 3/7 ใช้ 0.5M HCl ใช้ 0.1M Na₂SO₄ และเติม SDS โดยใช้อัตราส่วนโดยโมลของ (P123+F127)/SDS ต่างๆ กัน

Sample No.	Molar ratio (P123+F127)/SDS	r_p (nm)	d_{100} (nm)
10	1/0.0	3.81	11.76
14	1/1.7	3.79	11.76
15	1/2.0	3.66	11.61
16	1/2.3	3.55	11.45
17	1/2.6	3.47	11.31
18	1/2.9	3.33	11.16

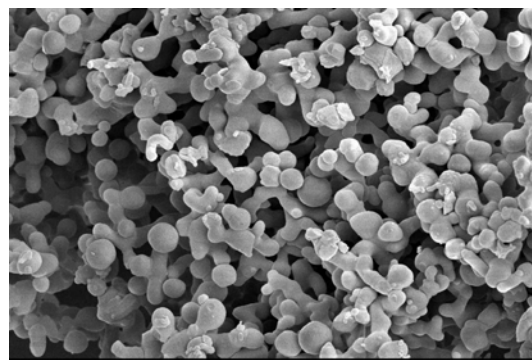
ตารางที่ 3.15 ความสัมพันธ์ระหว่างค่า d_{100} และค่า r_p ของชิลิกาที่สังเคราะห์โดยใช้อัตราส่วนโดยโมลของ P123/F127 = 3/7 ใช้ 0.5M HCl ใช้ 0.1M Na₂SO₄ และเติม CTAB โดยใช้อัตราส่วนโดยโมลของ (P123+F127)/CTAB ต่างๆ กัน

Sample No.	Molar ratio (P123+F127)/CTAB	r_p (nm)	d_{100} (nm)
10	1/0.0	3.81	11.76
19	1/1.7	3.66	9.80
20	1/2.0	3.19	9.80
21	1/2.3	3.11	9.69
22	1/2.6	2.97	9.59
23	1/2.9	2.89	9.19

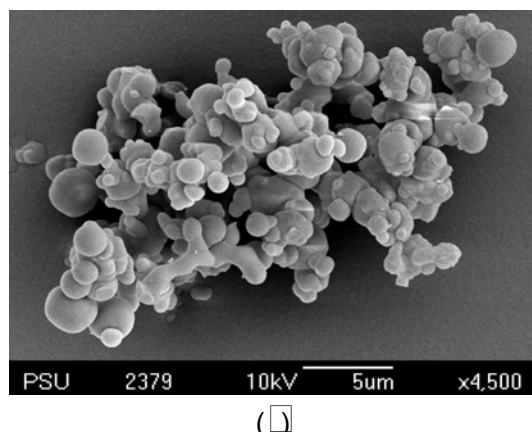
จากการประกอบที่ 3.26-3.35 แสดงภาพที่ได้จากเทคนิค SEM ของชิลิกาที่สังเคราะห์เพื่อศึกษาอิทธิพลของสารลดแรงตึงผิวรวม พบว่าชิลิกาที่มีการเติม SDS (ภาพประกอบที่ 3.26-3.30) มีรูปร่างเป็นทรงกลมที่มีลักษณะที่เชื่อมต่อกันเป็นเส้นและมีขนาดอนุภาคทรงกลมที่เล็กกว่าชิลิกาที่มีการเติม CTAB (ภาพประกอบที่ 3.31-3.35) และตัวอย่างที่ไม่มีการเติมสารลดแรงตึงผิวรวม (ภาพประกอบที่ 3.1c) โดยเฉพาะตัวอย่างที่มีการเติม SDS ที่อัตราส่วนโดยโมล (P123+F127)/SDS=1/1.7 และ 1/2.0 อนุภาคทรงกลมจะมีขนาดเล็กมาก ต้องมีการเพิ่มกำลังขยายจึงเห็นอนุภาคที่เป็นทรงกลม ส่วนที่อัตราส่วนโดยโมล (P123+F127)/SDS = 1/2.3 พบว่าอนุภาคทรงกลมของชิลิกามีขนาดใหญ่ขึ้นแต่มีชิลิกาที่มีลักษณะไม่เป็นรูปร่างผสมอยู่มาก ที่อัตราส่วนโดยโมล (P123+F127)/SDS = 1/2.6 และ 1/2.9 ชิลิกามีลักษณะเป็นทรงกลมที่โตขึ้นเล็กน้อยและมีชิลิกาที่มีลักษณะไม่เป็นรูปร่างผสมอยู่ไม่มาก ชิลิกาที่มีการเติม CTAB มีลักษณะที่เป็นทรงกลมผิวเรียบไม่มีการเชื่อมต่อกันเป็นเส้น ขนาดอนุภาคทรงกลมของชิลิกามีลักษณะที่ใหญ่กว่าตัวอย่างที่เติม SDS แต่เล็กกว่าตัวอย่างที่ไม่มีการเติมสารลดแรงตึงผิวรวม



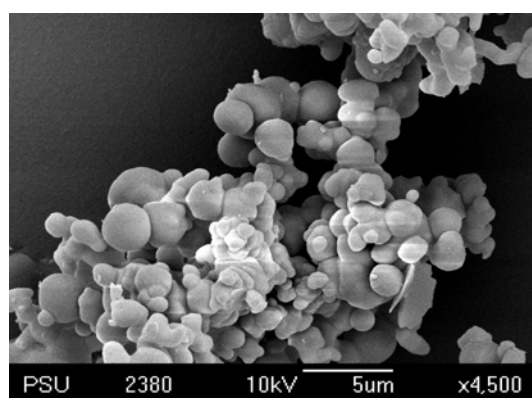
ภาพประกอบที่ 3.26 ภาพจากเทคนิค SEM ของชิลิกาที่สังเคราะห์โดยใช้อัตราส่วนโดยโมลของ P123/F127=3/7 ใช้ 0.5M HCl เติม 0.1M Na₂SO₄ และเติม SDS ที่อัตราส่วนโดยโมลของ (P123+F127)/SDS = 1/1.7 (a) ใช้กำลังขยาย 3000 (b) ใช้กำลังขยาย 4500 (c) ใช้กำลังขยาย 9000



(a)

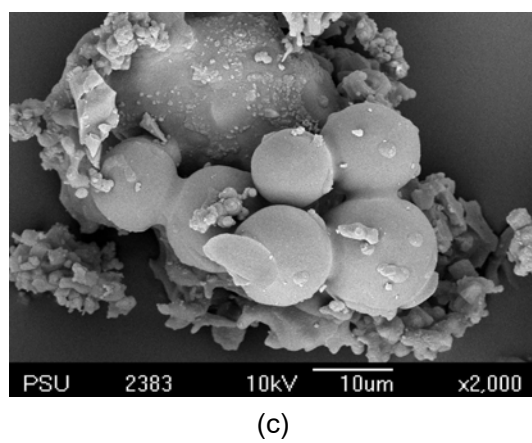
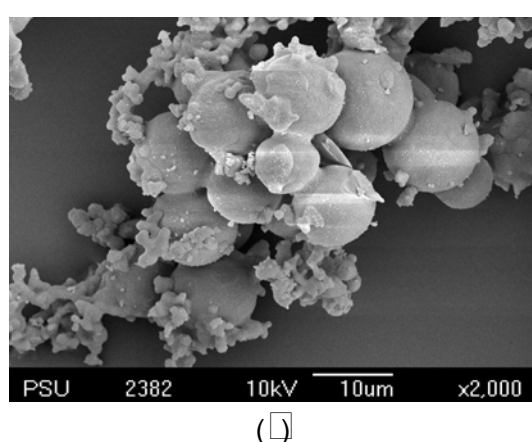
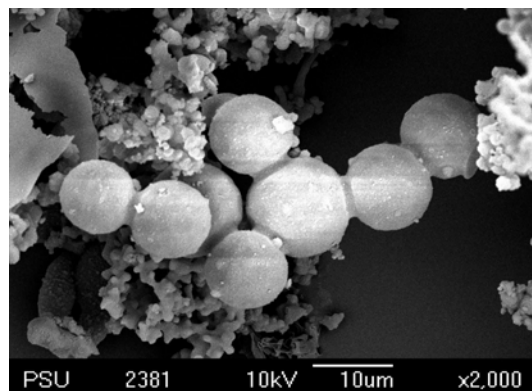


(b)

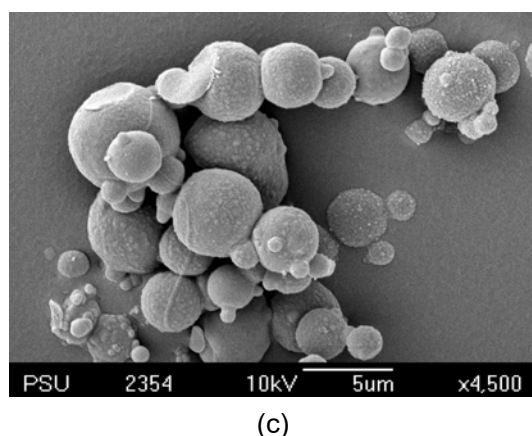
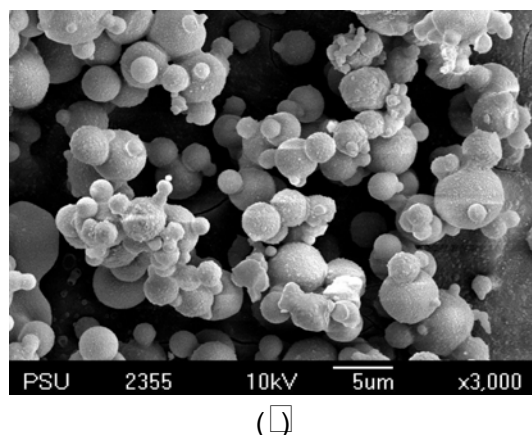
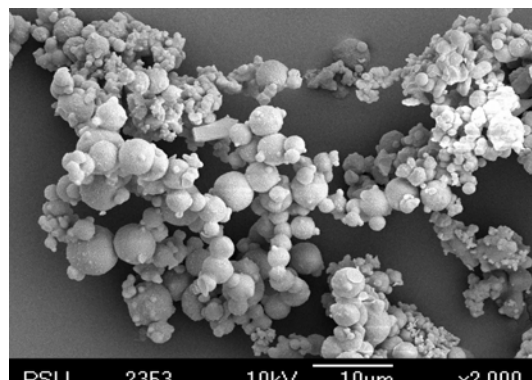


(c)

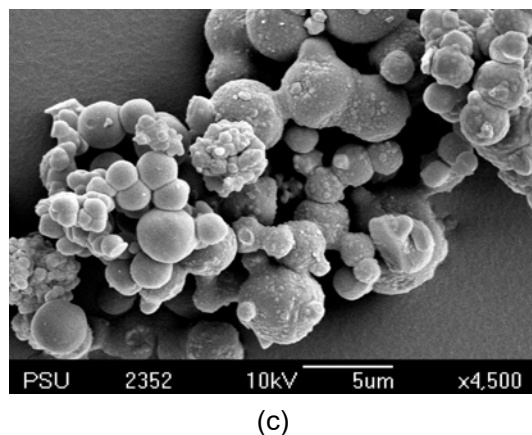
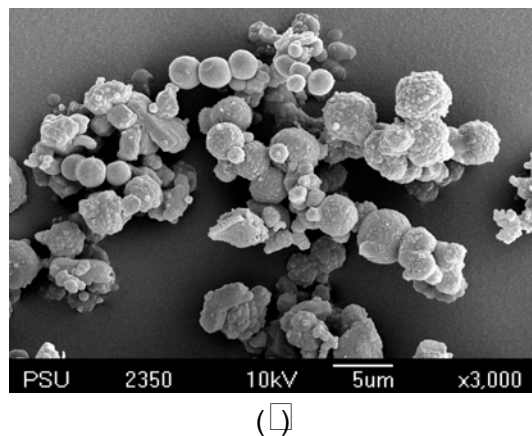
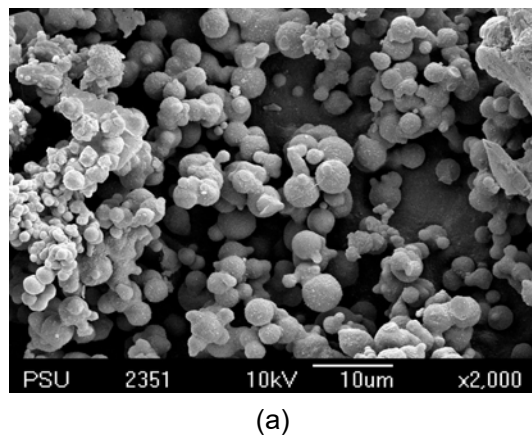
ภาพประกอบที่ 3.27 ภาพจากเทคนิค SEM ของชิลิกาที่สังเคราะห์โดยใช้อัตราส่วนโดยโมลของ P123/F127=3/7 ใช้ 0.5M HCl เติม 0.1M Na₂SO₄ และเติม SDS ที่อัตราส่วนโดยโมลของ (P123+F127)/SDS = 1/2.0 (a) ใช้กำลังขยาย 3000 (b) ใช้กำลังขยาย 4500 ครั้งที่ 1 (c) ใช้กำลังขยาย 4500 ครั้งที่ 2



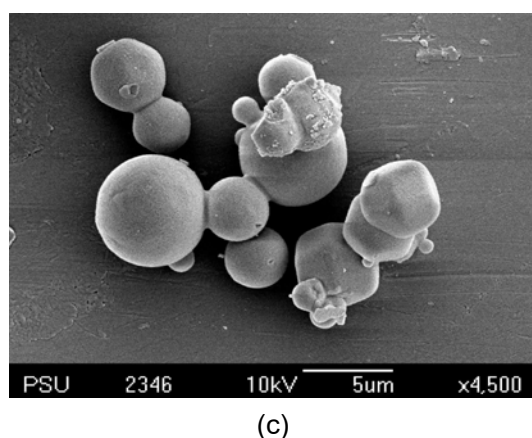
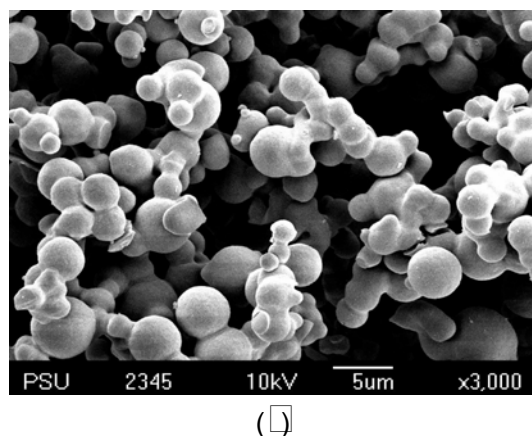
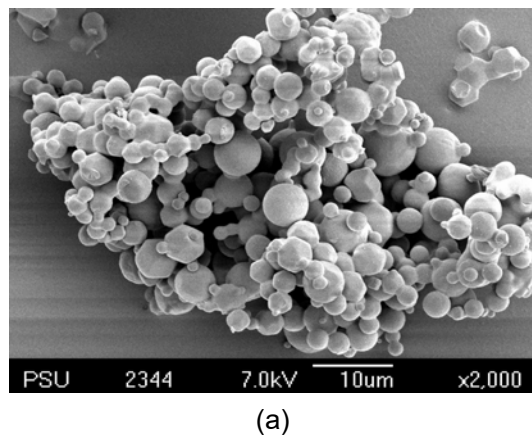
ภาพประกอบที่ 3.2 □ ภาพจากเทคนิค SEM ของซิลิกาที่สังเคราะห์โดยใช้อัตราส่วนโดยโมล ของ P123/F127=3/7 ใช้ 0.5M HCl เติม 0.1M Na₂SO₄ และเติม SDS ที่อัตราส่วนโดยโมลของ (P123+F127)/SDS = 1/2.3 (a) ใช้กำลังขยาย 2000 ครั้งที่ 1 (b) ใช้กำลังขยาย 2000 ครั้งที่ 2 (c) ใช้กำลังขยาย 2000 ครั้งที่ 3



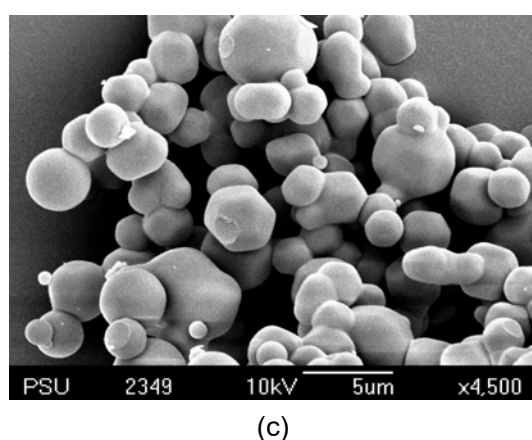
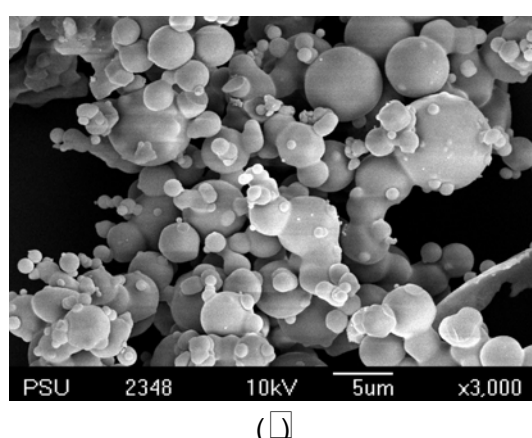
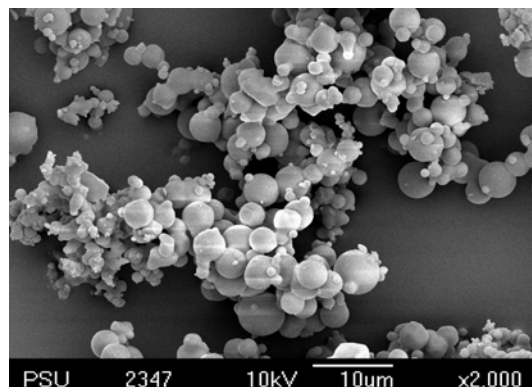
ภาพประกอบที่ 3.2 ภาพจากเทคนิค SEM ของชิลิกาที่สังเคราะห์โดยใช้อัตราส่วนโดยโมลของ P123/F127=3/7 ใช้ 0.5M HCl เติม 0.1M Na₂SO₄ และเติม SDS ที่อัตราส่วนโดยโมลของ (P123+F127)/SDS = 1/2.6 (a) ใช้กำลังขยาย 2000 (b) ใช้กำลังขยาย 3000 (c) ใช้กำลังขยาย 4500



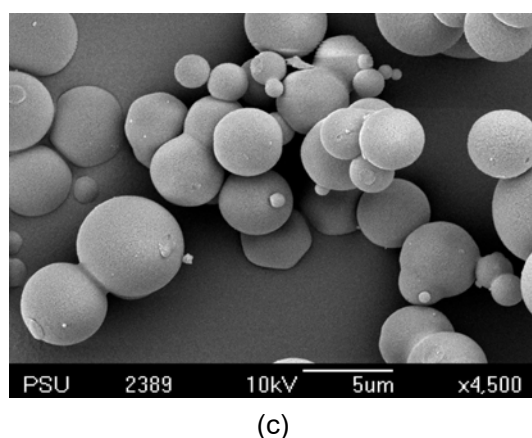
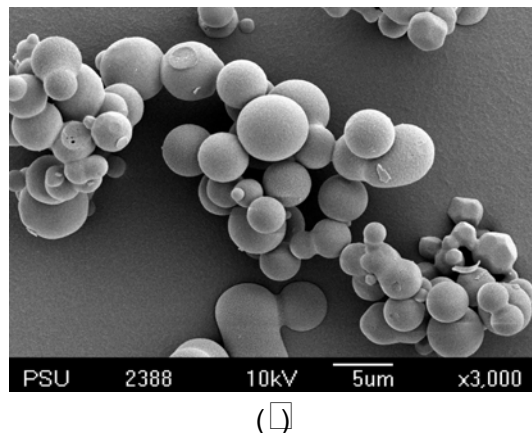
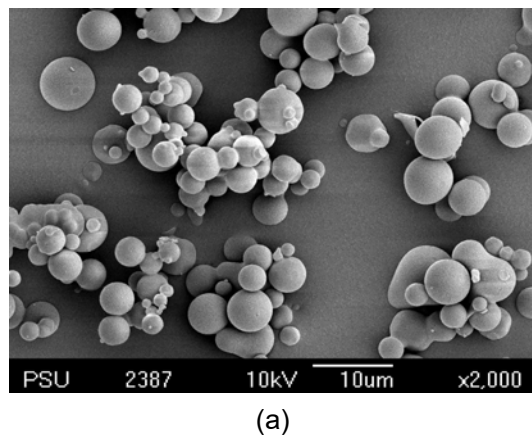
ภาพประกอบที่ 3.30 ภาพจากเทคนิค SEM ของชิลิกาที่สังเคราะห์โดยใช้อัตราส่วนโดยโมลของ P123/F127=3/7 ใช้ 0.5M HCl เติม 0.1M Na₂SO₄ และเติม SDS ที่อัตราส่วนโดยโมลของ (P123+F127)/SDS = 1/2.9 (a) ใช้กำลังขยาย 2000 (b) ใช้กำลังขยาย 3000 (c) ใช้กำลังขยาย 4500



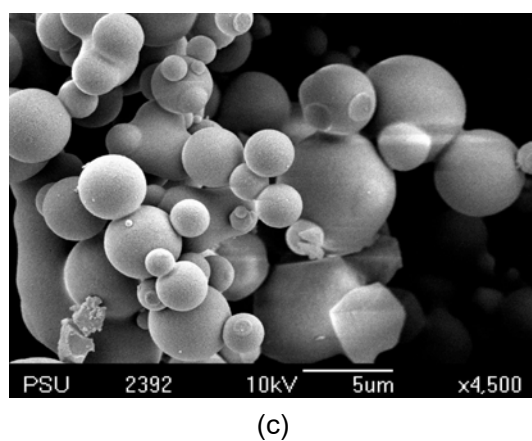
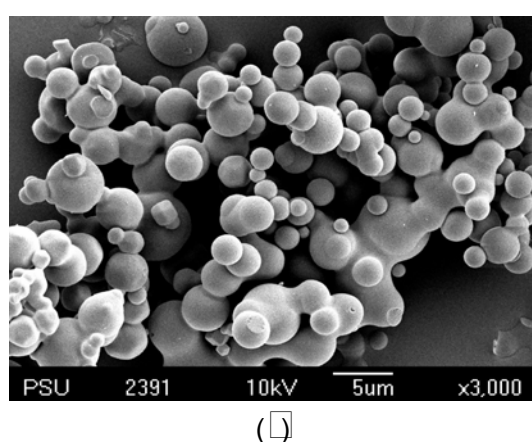
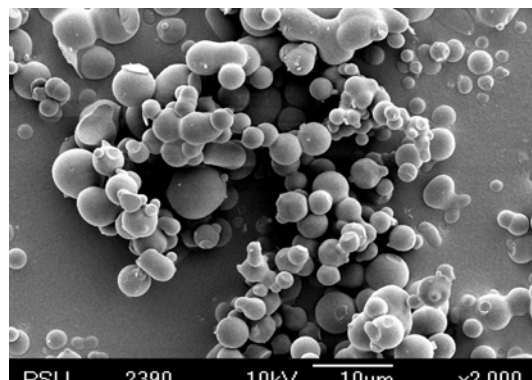
ภาพประกอบที่ 3.31 ภาพจากเทคนิค SEM ของวิลิกาที่สังเคราะห์โดยใช้อัตราส่วนโดยโมลของ P123/F127=3/7 ใช้ 0.5M HCl เติม 0.1M Na₂SO₄ และเติม CTAB ที่อัตราส่วนโดยโมลของ (P123+F127)/CTAB = 1/1.7 (a) ใช้กำลังขยาย 2000 (b) ใช้กำลังขยาย 3000 (c) ใช้กำลังขยาย 4500



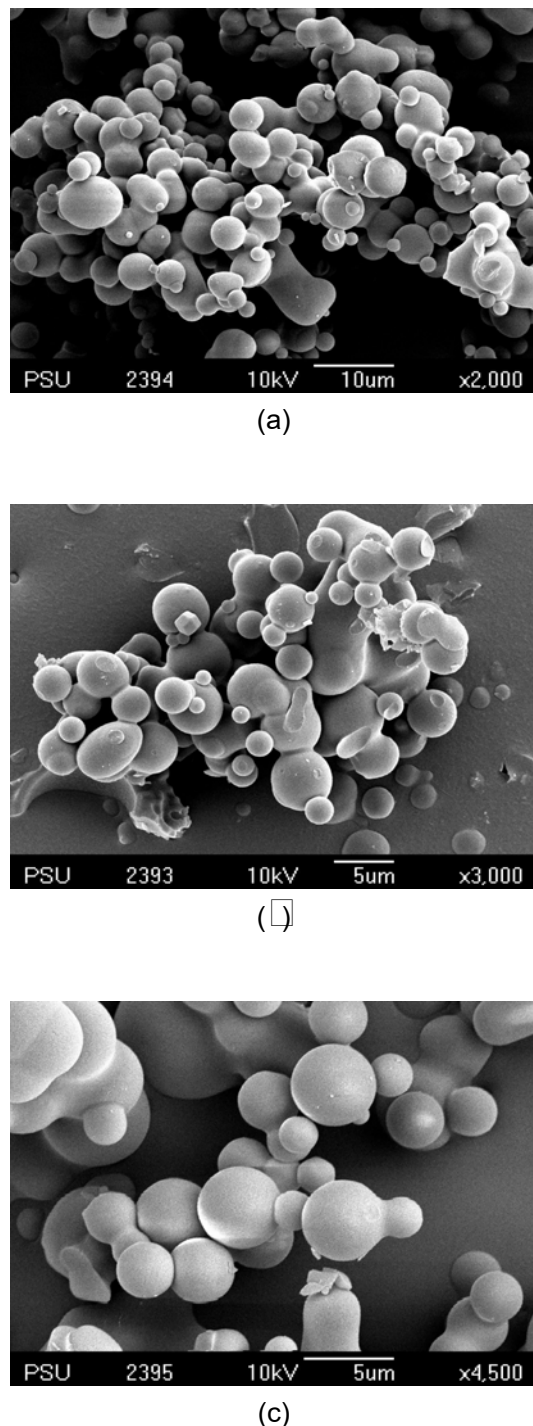
ภาพประกอบที่ 3.32 ภาพจากเทคนิค SEM ของชิลิกาที่สังเคราะห์โดยใช้อัตราส่วนโดยโมลของ P123/F127=3/7 ใช้ 0.5M HCl เติม 0.1M Na₂SO₄ และเติม CTAB ที่อัตราส่วนโดยโมลของ (P123+F127)/CTAB = 1/2.0 (a) ใช้กำลังขยาย 2000 (b) ใช้กำลังขยาย 3000 (c) ใช้กำลังขยาย 4500



ภาพประกอบที่ 3.33 ภาพจากเทคนิค SEM ของชิลิกาที่สังเคราะห์โดยใช้อัตราส่วนโดยโมลของ P123/F127=3/7 ใช้ 0.5M HCl เติม 0.1M Na₂SO₄ และเติม CTAB ที่อัตราส่วนโดยโมลของ (P123+F127)/CTAB = 1/2.3 (a) ใช้กำลังขยาย 2000 (b) ใช้กำลังขยาย 3000 (c) ใช้กำลังขยาย 4500



ภาพประกอบที่ 3.34 ภาพจากเทคนิค SEM ของชิลิกาที่สังเคราะห์โดยใช้อัตราส่วนโดยโมลของ P123/F127=3/7 ใช้ 0.5M HCl เติม 0.1M Na₂SO₄ และเติม CTAB ที่อัตราส่วนโดยโมลของ (P123+F127)/CTAB = 1/2.6 (a) ใช้กำลังขยาย 2000 (b) ใช้กำลังขยาย 3000 (c) ใช้กำลังขยาย 4500



ภาพประกอบที่ 3.35 ภาพจากเทคนิค SEM ของชิลิกาที่สังเคราะห์โดยใช้อัตราส่วนโดยโมลของ P123/F127=3/7 ใช้ 0.5M HCl เติม 0.1M Na₂SO₄ และเติม CTAB ที่อัตราส่วนโดยโมลของ (P123+F127)/CTAB = 1/2.9 (a) ใช้กำลังขยาย 2000 (b) ใช้กำลังขยาย 3000 (c) ใช้กำลังขยาย 4500

3.4 ศึกษาอิทธิพลของตัวทำละลายร่วม (cosolvent)

ผลการทดลองตอนที่ 3.4 เป็นผลการทดลองของตัวอย่างที่ 24-27 ซึ่งทำการสังเคราะห์ซิลิกาโดยใช้ P123 และ F127 เป็นแม่แบบ ที่อัตราส่วนโดยโมลของ P123/F127 = 3/7 ใช้ 0.5M HCl ใช้ 0.1M Na₂SO₄ ใช้อัตราส่วนโดยน้ำหนักของ TEOS/(P123+F127) = 4/1 และมีการเติม EtOH เป็นตัวทำละลายร่วมที่อัตราส่วนโดยโมลของ H₂O/EtOH = 1/1.9, 1/2.2, 1/5.5 และ 1/7.3 ในตัวอย่างที่ 24-27 ตามลำดับ ได้ผลการวิเคราะห์สารตัวอย่างด้วยเครื่องวิเคราะห์พื้นที่ผิวดังแสดงในตารางที่ 3.16 พบร่วมกันที่อัตราส่วนของ EtOH เพิ่มขึ้นค่ารัศมีรูพรุนของซิลิกาจะลดลง เนื่องจากทั้ง EO และ PO ต่างก็สามารถละลายได้ดีใน EtOH ดังนั้นในส่วน core ของไมเซลล์จึงมี EtOH แทรกอยู่ ทำให้หลอกโคโพลิเมอร์เกิดการรวมตัวเป็นไมเซลล์ได้ยากขึ้น ขนาดของไมเซลล์จึงลดลง (Katiyar et al., 2006) ดังนั้นค่ารัศมีรูพรุนจึงลดลงตามปริมาณของ EtOH ที่ใส่เข้าไป

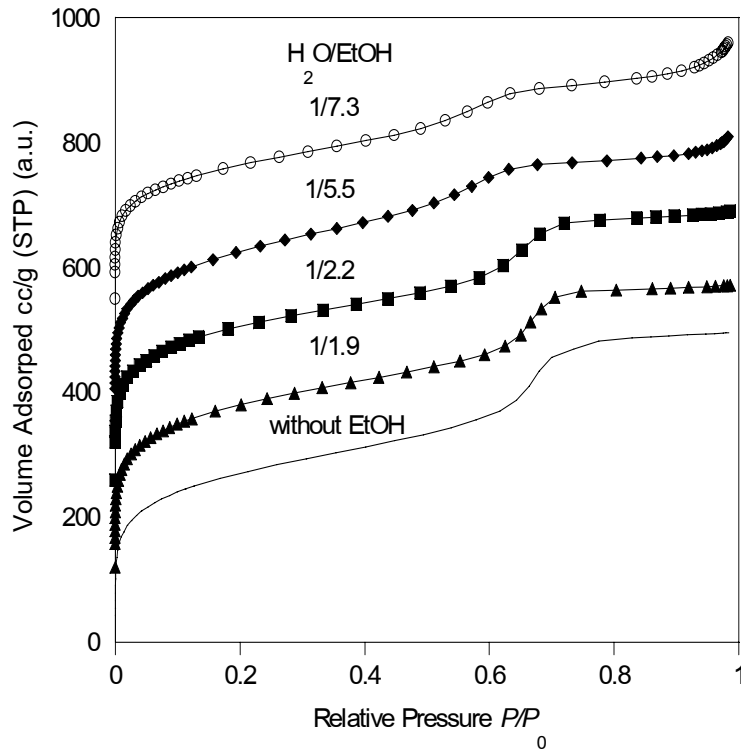
ตารางที่ 3.16 พื้นที่ผิว รัศมีรูพรุนและปริมาตรรูพรุนต่างๆของซิลิกาที่สังเคราะห์โดยมีการเติม EtOH เป็นตัวทำละลายร่วม ที่อัตราส่วนโดยโมลของ H₂O/EtOH ต่างๆกัน ใช้อัตราส่วนโดยโมลของ P123/F127 = 3/7 ใช้ 0.5M HCl และใช้ 0.1M Na₂SO₄

Sample No.	Molar ratio H ₂ O/EtOH	A ^a (m ² /g)	V _{micro} ^b (cm ³ /g)	V _{meso} ^c (cm ³ /g)	V _{pore} ^d (cm ³ /g)	(P/P ₀) _{step} ^e	r _p ^f (nm)
10	1/0.0	975	0.13	0.63	0.76	0.71	3.81
24	1/1.9	931	0.12	0.57	0.70	0.70	3.70
25	1/2.2	887	0.11	0.54	0.65	0.69	3.59
26	1/5.5	973	0.09	0.57	0.67	0.64	3.08
27	1/7.3	770	0.08	0.50	0.58	0.63	2.97

^aค่าพื้นที่ผิว ปริมาตรรูพรุนขนาดไมโคร ^bปริมาตรรูพรุนขนาดมีโซ ^cปริมาตรรูพรุนรวม

^dค่ารัศมีรูพรุนของซิลิกา ^eจุดหักเหที่เกิดการเปลี่ยนแปลงความชันในกราฟไฮโซเทอร์ม ^fค่ารัศมีรูพรุนของซิลิกา

กราฟ adsorption isotherms ของซิลิกาที่สังเคราะห์ได้ในตอนที่ 3.4 นั้นเป็นกราฟไฮโซเทอร์ชนิดที่ 4 ซึ่งเป็นลักษณะของวัสดุที่มีรูพรุนขนาดมีโซ โดยในภาพประกอบที่ 3.36 เป็นการนำกราฟ adsorption isotherms ของตัวอย่างที่ 10, 24-27 ซึ่งทำการสังเคราะห์โดยมีการเติม EtOH เป็นตัวทำละลายร่วม มาเบริยบเทียบในกราฟเดียวกัน โดยตัวอย่างที่ 24-27 ต้องมีการบวกค่า volume adsorped (แกน y) เพิ่มขึ้นดังแสดงในตารางที่ 3.17 เพื่อไม่ให้กราฟซ้อนทับกัน ส่วนค่า relative pressure P/P₀ (แกน x) ยังคงเหมือนเดิม



ภาพประกอบที่ 3.36 Adsorption isotherms ของซิลิกาที่สังเคราะห์ในตอนที่ 3.4 โดยมีการเติม EtOH ที่อัตราส่วนโดยโมลของ $\text{H}_2\text{O}/\text{EtOH}$ ต่างๆ กัน

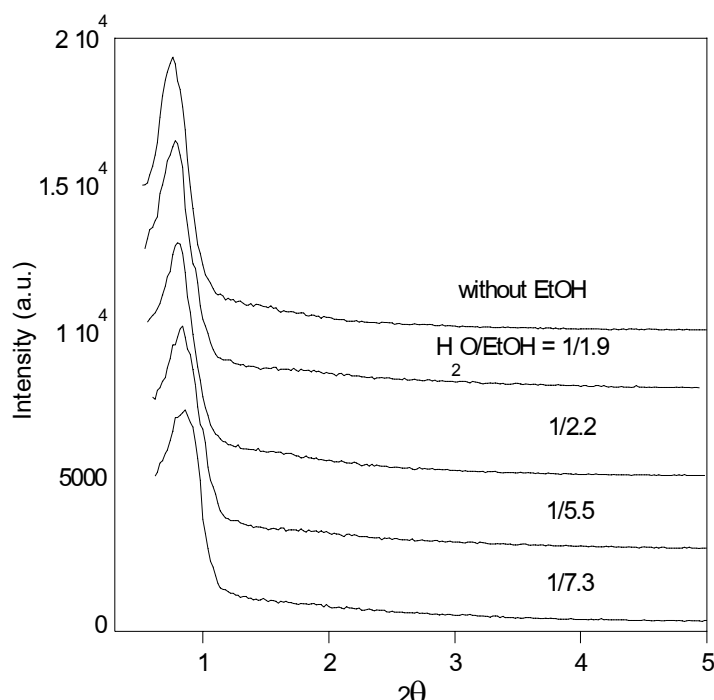
ตารางที่ 3.17 ค่า volume adsorped (แกน y) ที่มีการบวกเพิ่มขึ้นของซิลิกาที่สังเคราะห์โดยมีการเติม EtOH เป็นตัวทำละลายร่วมที่อัตราส่วนโดยโมลของ $\text{H}_2\text{O}/\text{EtOH}$ ต่างๆ

Sample No.	Molar ratio of $\text{H}_2\text{O}/\text{EtOH}$	+volume adsorped (cc/g)
10	1/0	0
24	1/1.9	100
25	1/2.2	200
26	1/5.5	300
27	1/7.3	400

จากการวิเคราะห์ด้วยเครื่อง XRD พบว่าเมื่ออัตราส่วนของ EtOH เพิ่มขึ้น พิกัดลักษณะกว้างและต่ำลงดังแสดงในภาพประกอบที่ 3.37 ซึ่งแสดงว่าการจัดเรียงตัวของรูพรุนของซิลิกามีความสม่ำเสมอลดลง เนื่องจาก EtOH เป็นตัวทำละลายที่ดีของ EO และ PO ดังนั้นเมื่อบล็อกโคโพลิเมอร์รวมตัวกันเป็นไมเซลล์แล้ว EtOH สามารถแทรกเข้าไปอยู่ในส่วน core ของไมเซลล์ได้ ทำให้บล็อกโคโพลิเมอร์ของ EO และ PO เกิดการละลายใน EtOH ทำให้

ไมเมเซลล์นั้นเกิดการแตกออกและเกิดการสูญเสียโครงสร้างในการจัดเรียงตัวของไมเมเซลล์ ดังนั้น จึงทำให้ความสม่ำเสมอในการจัดเรียงตัวของรูปรุนของชิลิกาที่ได้ลดลง

ภาพประกอบที่ 3.37 เป็นการนำพืกจากการวิเคราะห์ด้วยเทคนิค XRD ของ ตัวอย่างที่ 10, 24-27 ซึ่งทำการสังเคราะห์โดยมีการเติม EtOH เป็นตัวทำละลายร่วม มา เปรียบเทียบในกราฟเดียวกันโดยตัวอย่างที่ 10, 24-26 ต้องมีการบวกค่า intensity (แกน y) เพิ่มขึ้นดังแสดงในตารางที่ 3.18 เพื่อไมให้กราฟซ้อนทับกัน



ภาพประกอบที่ 3.37 ผล XRD ของชิลิกาที่สังเคราะห์ในตอนที่ 3.4 โดยมีการเติม EtOH ที่ อัตราส่วนโดยโมลของ $\text{H}_2\text{O}/\text{EtOH}$ ต่างๆ กัน

ตารางที่ 3.1 ค่า intensity (แกน y) ที่มีการบวกเพิ่มขึ้นของชิลิกาที่สังเคราะห์โดยมีการเติม EtOH เป็นตัวทำละลายร่วมที่อัตราส่วนโดยโมลของ $\text{H}_2\text{O}/\text{EtOH}$ ต่างๆ กัน

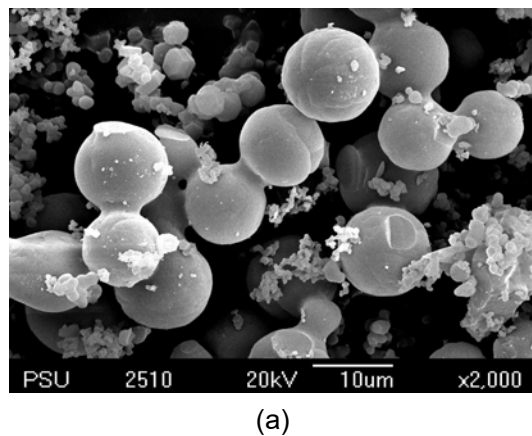
Sample No.	Molar ratio of $\text{H}_2\text{O}/\text{EtOH}$	+intensity
10	1/0	8000
24	1/1.9	6000
25	1/2.2	4000
26	1/5.5	1500
27	1/7.3	0

ตารางที่ 3.19 แสดงค่า d_{100} ของชิลิกาที่สังเคราะห์ที่สังเคราะห์โดยมีการเติม EtOH พบว่า เมื่ออัตราส่วนของ EtOH เพิ่มขึ้นค่า d_{100} มีค่าลดลง เนื่องจากเมื่ออัตราส่วนของ EtOH เพิ่มขึ้นขนาดของไมเซลล์ลดลงดังนั้นระบะห่างระหว่างไมเซลล์มีค่าลดลงดังนั้นค่า d_{100} จึงลดลงด้วย

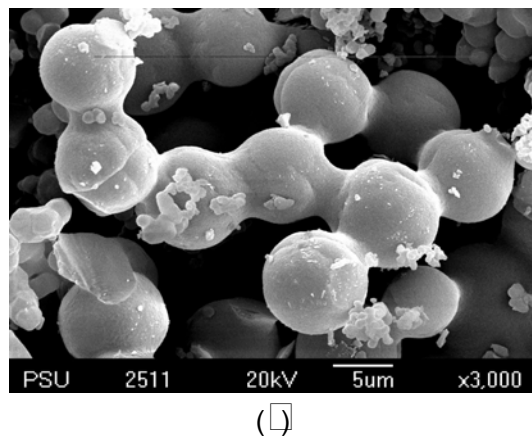
ตารางที่ 3.1 □ ความสัมพันธ์ระหว่างค่า d_{100} และค่า r_p ของชิลิกาที่สังเคราะห์โดยใช้อัตราส่วนโดยโมลของ P123/F127 = 3/7 ใช้ 0.5 M HCl ใช้ 0.1M Na₂SO₄ และเติม EtOH โดยใช้อัตราส่วนโดยโมลของ H₂O/EtOH ต่างๆกัน

Sample No.	Molar ratio H ₂ O/EtOH	r_p (nm)	d_{100} (nm)
10	1/0.0	3.81	11.76
24	1/1.9	3.70	11.45
25	1/2.2	3.59	11.31
26	1/5.5	3.08	10.50
27	1/7.3	2.97	10.26

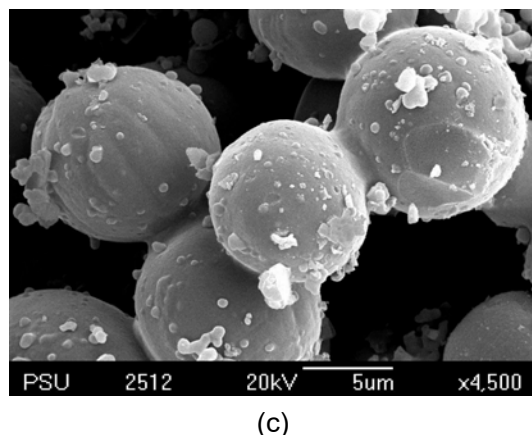
จากการประกอบที่ 3.38-3.41 แสดงภาพที่ได้จากเทคนิค SEM ของชิลิกาที่สังเคราะห์เพื่อศึกษาอิทธิพลของการเติม EtOH เป็นตัวทำละลายร่วม พบว่าโดยรวมแล้วรูปร่างของชิลิกาที่ได้เป็นทรงกลมเนื่องจากกรดที่ใช้ในการสังเคราะห์มีความเข้มข้นต่ำและอิทธิพลของ F127 แต่พบว่าในภาพประกอบที่ 3.40 ซึ่งเป็นชิลิกาที่มีการเติม EtOH ที่อัตราส่วนโดยโมลของ H₂O/EtOH มากที่สุดคือ 1/7.3 ได้ชิลิกาที่มีรูปร่างเป็นทรงกลมมากกว่าตัวอื่นๆและยังมีชิลิกาที่มีลักษณะเป็นผงเล็กๆมาเกะอยู่ที่ผิวของชิลิกาที่เป็นทรงกลมมากกว่าตัวอื่นๆอีกด้วย เนื่องจาก EtOH เป็นผลิตภัณฑ์ตัวหนึ่งที่เกิดขึ้นในระหว่างการสังเคราะห์ชิลิกา ดังนั้นเมื่อมีการเติม EtOH ลงไปจึงทำให้ปฏิกิริยาเกิดข้างลงซึ่งเป็นการลดพลังงานความโถงของพื้นผิวชิลิกา จึงทำให้ชิลิกาที่สังเคราะห์ได้มีรูปร่างเป็นทรงกลมมากขึ้น (Katiyar et al., 2006)



(a)

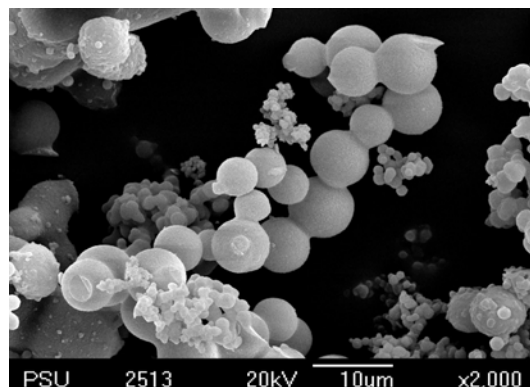


(b)

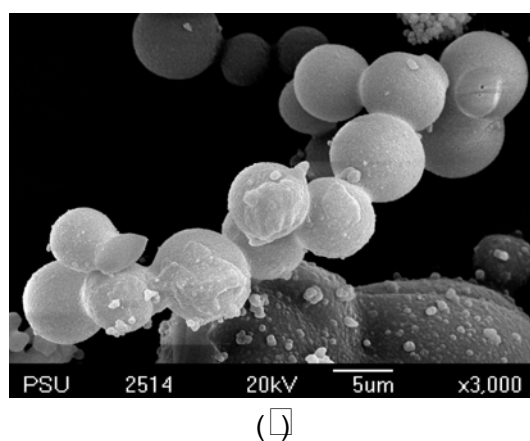


(c)

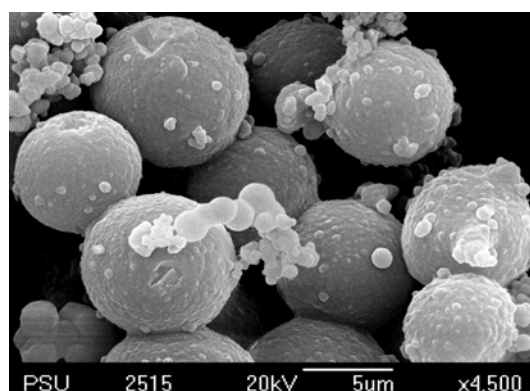
ภาพประกอบที่ 3.3 □ ภาพจากเทคนิค SEM ของชิลิกาที่สังเคราะห์โดยใช้อัตราส่วนโดยโมล
ของ P123/F127 = 3/7 ใช้ 0.5M HCl เติม 0.1M Na₂SO₄ และเติม EtOH
ที่อัตราส่วนโดยโมลของ H₂O/EtOH = 1/1.9 (a) ใช้กำลังขยาย 2000 (b)
ใช้กำลังขยาย 3000 (c) ใช้กำลังขยาย 4500



(a)

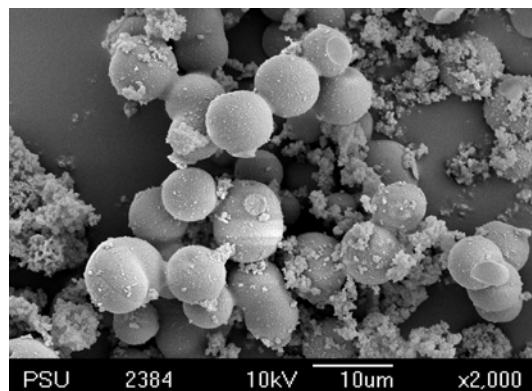


(b)

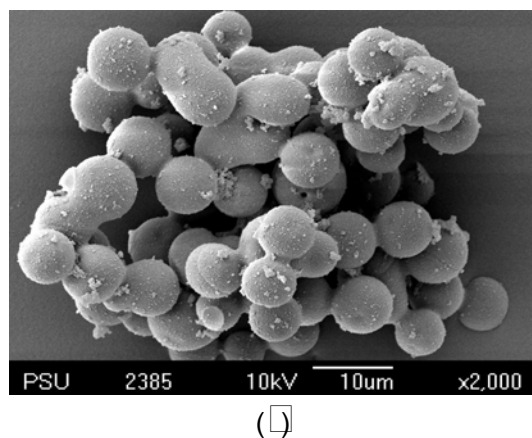


(c)

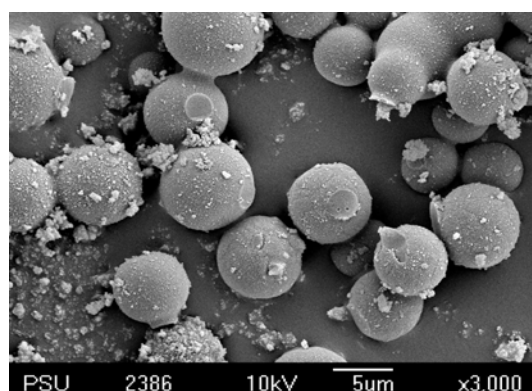
ภาพประกอบที่ 3.3 □ ภาพจากเทคนิค SEM ของชิลิกาที่สังเคราะห์โดยใช้อัตราส่วนโดยโมล
ของ P123/F127 = 3/7 ใช้ 0.5M HCl เติม 0.1M Na₂SO₄ และเติม EtOH
ที่อัตราส่วนโดยโมลของ H₂O/EtOH = 1/2.2 (a) ใช้กำลังขยาย 2000 (□)
ใช้กำลังขยาย 3000 (b) ใช้กำลังขยาย 4500 (c)



(a)

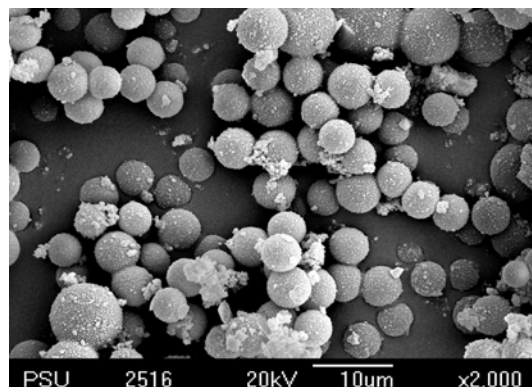


(b)

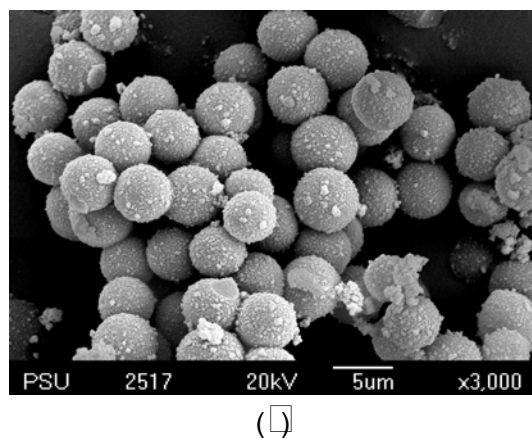


(c)

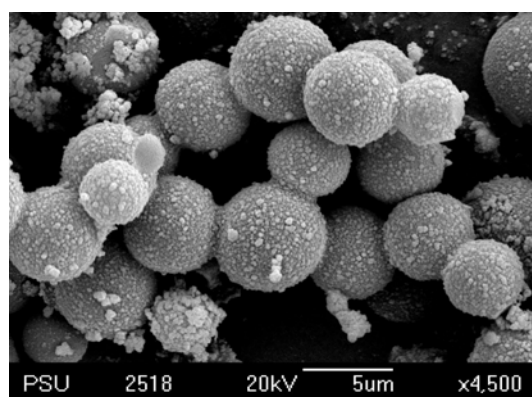
ภาพประกอบที่ 3.40 ภาพจากเทคนิค SEM ของชิลิกาที่สังเคราะห์โดยใช้อัตราส่วนโดยโมลของ P123/F127 = 3/7 ใช้ 0.5M HCl เติม 0.1M Na₂SO₄ และเติม EtOH ที่อัตราส่วนโดยโมลของ H₂O/EtOH = 1/5.5 (a) ใช้กำลังขยาย 2000 (b) ใช้กำลังขยาย 3000 (c) ใช้กำลังขยาย 4500



(a)



(b)



(c)

ภาพประกอบที่ 3.41 ภาพจากเทคนิค SEM ของชิลิกาที่สังเคราะห์โดยใช้อัตราส่วนโดยโมลของ P123/F127 = 3/7 ใช้ 0.5M HCl เติม 0.1M Na₂SO₄ และเติม EtOH ที่อัตราส่วนโดยโมลของ H₂O/EtOH = 1/7.3 (a) ใช้กำลังขยาย 2000 (b) ใช้กำลังขยาย 3000 (c) ใช้กำลังขยาย 4500

3.5 ศึกษาอิทธิพลของเวลาในการอบสารตัวอย่างที่อุณหภูมิ 100°C

ผลการทดลองตอนที่ 3.5 เป็นผลการทดลองของตัวอย่างที่ 28-30 ซึ่งทำการสังเคราะห์ซิลิกาโดยใช้ P123 และ F127 เป็นแม่แบบ ท่อตราช่วงโดยโมลของ P123/F127 = 3/7 ใช้ 0.5M HCl ใช้ 0.1M Na₂SO₄ ใช้อัตราส่วนโดยน้ำหนักของ TEOS/(P123+F127) = 4/1 และทำการอบสารตัวอย่างที่อุณหภูมิ 100°C เป็นเวลา 3, 5 และ 7 วันในตัวอย่างที่ 28-30 ตามลำดับ ได้ผลการวิเคราะห์สารตัวอย่างด้วยเครื่องวิเคราะห์พื้นที่ผิวดังแสดงในตารางที่ 3.20 พบว่าเมื่อเวลาในการอบเพิ่มขึ้นค่ารัศมีรูพรุนของซิลิกามีค่าเพิ่มขึ้นด้วย เนื่องจากซิลิกาเกิดการควบแน่นเพิ่มขึ้นทำให้ผนังของรูพรุนเกิดการหดตัว ดังนั้นขนาดของรูพรุนจึงเพิ่มขึ้น (Yamada et al., 2002) นอกจากนี้ยังพบว่าเมื่อเวลาในการอบเพิ่มขึ้นปริมาตรรูพรุนขนาดไมโครมีค่าลดลง

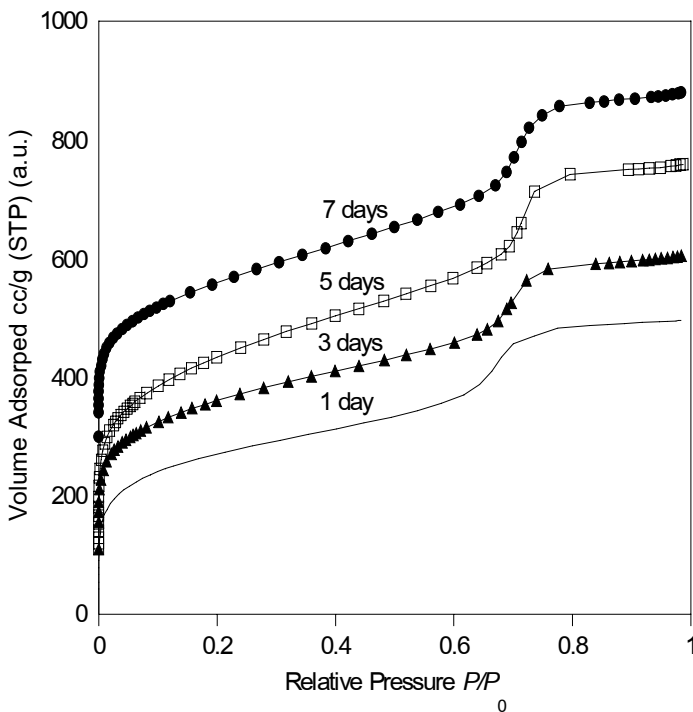
ตารางที่ 3.20 พื้นที่ผิว รัศมีรูพรุนและปริมาตรรูพรุนต่างๆ ของซิลิกาที่สังเคราะห์โดยใช้อัตราส่วนโดยโมล ของ P123/F127 = 3/7 ใช้ 0.5M HCl ใช้ 0.1M Na₂SO₄ และใช้เวลาในการอบสารตัวอย่างที่อุณหภูมิ 100°C ต่างๆ กัน

Sample No.	Time for heat (day)	A^a (m^2/g)	V_{micro}^b (cm^3/g)	V_{meso}^c (cm^3/g)	V_{pore}^d (cm^3/g)	$(P/P_0)_{step}^e$	r_p^f (nm)
10	1	975	0.13	0.63	0.76	0.71	3.81
28	3	909	0.05	0.70	0.75	0.73	4.11
29	5	1176	0.04	0.95	0.99	0.74	4.21
30	7	945	0.01	0.87	0.88	0.75	4.38

^aค่าพื้นที่ผิว ^bปริมาตรรูพรุนขนาดไมโคร ^cปริมาตรรูพรุนขนาดมีโซ ^dปริมาตรรูพรุนรวม

^eจุดหักเหที่เกิดการเปลี่ยนแปลงความชันในกราฟไอโซเทอร์ม ^fค่ารัศมีรูพรุนของซิลิกา

กราฟ adsorption isotherms ของซิลิกาที่สังเคราะห์ได้ในตอนที่ 3.5 นั้น เป็นกราฟไอโซเทอร์ชนิดที่ 4 ซึ่งเป็นลักษณะของวัสดุที่มีรูพรุนขนาดมีโซ โดยในภาพประกอบที่ 3.42 เป็นการนำกราฟ adsorption isotherms ของตัวอย่างที่ 10, 28-30 ซึ่งทำการสังเคราะห์โดยมีการอบสารตัวอย่างที่อุณหภูมิต่างๆ กัน มาเปรียบเทียบในกราฟเดียวกัน โดยตัวอย่างที่ 28-30 ต้องมีการบวกค่า volume adsorped (แกน y) เพิ่มขึ้นดังแสดงในตารางที่ 3.21 เพื่อไม่ให้กราฟซ้อนทับกัน ส่วนค่า relative pressure P/P₀ (แกน x) ยังคงเหมือนเดิม



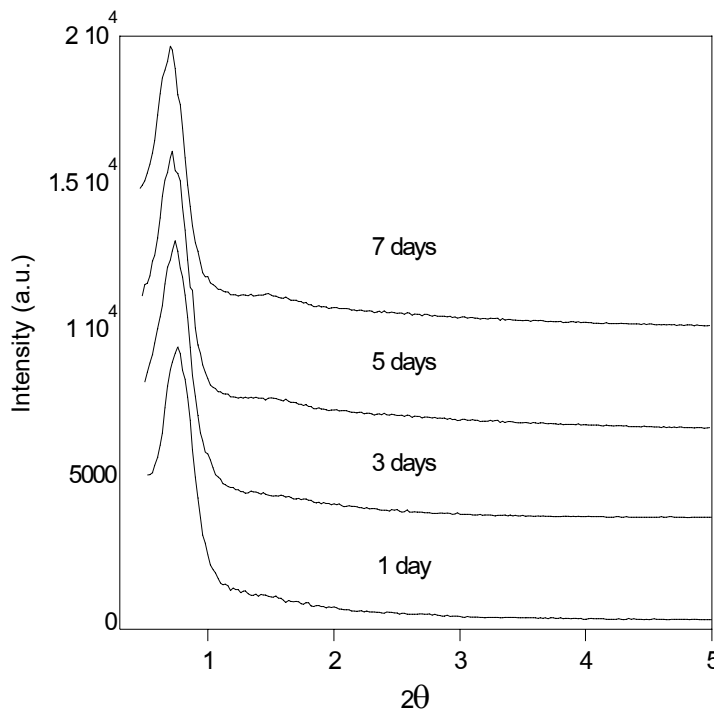
ภาพประกอบที่ 3.42 Adsorption isotherms ของซิลิกาที่สั้งเคราะห์โดยใช้เวลาในการอบสารตัวอย่างที่อุณหภูมิ 100°C ต่างๆ กัน

ตารางที่ 3.21 ค่า volume adsorped (แกน y) ที่มีการบวกเพิ่มขึ้นของซิลิกาที่สั้งเคราะห์โดยมีการอบสารตัวอย่างที่อุณหภูมิ 100°C เป็นเวลาต่างๆ กัน

Sample No.	Time for heat (day)	+volume adsorped (cc/g)
10	1	0
28	3	100
29	5	150
30	7	250

จากการวิเคราะห์ด้วยเครื่อง XRD พบว่าเมื่อเวลาในการอบสารตัวอย่างเพิ่มขึ้น ลักษณะของพื้นผิวคงเดิมและสูงดังแสดงในภาพประกอบที่ 3.43 แสดงให้เห็นว่าถึงแม้ขนาดของรูพรุนเพิ่มขึ้นแต่ซิลิกายังคงมีการจัดเรียงตัวของรูพรุนที่สม่ำเสมอ (Yamada *et al.*, 2002)

ภาพประกอบที่ 3.43 เป็นการนำพื้นจาก การวิเคราะห์ด้วยเทคนิค XRD ของตัวอย่างที่ 10, 28-30 ซึ่งทำการสั้งเคราะห์โดยมีการอบสารตัวอย่างที่อุณหภูมิต่างๆ กัน มาเปรียบเทียบในกราฟเดียวกัน โดยตัวอย่างที่ 28-30 ต้องมีการบวกค่า intensity (แกน y) เพิ่มขึ้นดังแสดงในตารางที่ 3.22 เพื่อไม่ให้กราฟซ้อนกัน



ภาพประกอบที่ 3.43 ผล XRD ของซิลิกาที่สังเคราะห์โดยใช้เวลาในการอบสารตัวอย่างที่อุณหภูมิ 100°C ต่างๆ กัน

ตารางที่ 3.22 ค่า intensity (แกน y) ที่มีการบวกเพิ่มขึ้นของซิลิกาที่สังเคราะห์โดยมีการอบสารตัวอย่างที่อุณหภูมิ 100°C เป็นเวลาต่างๆ กัน

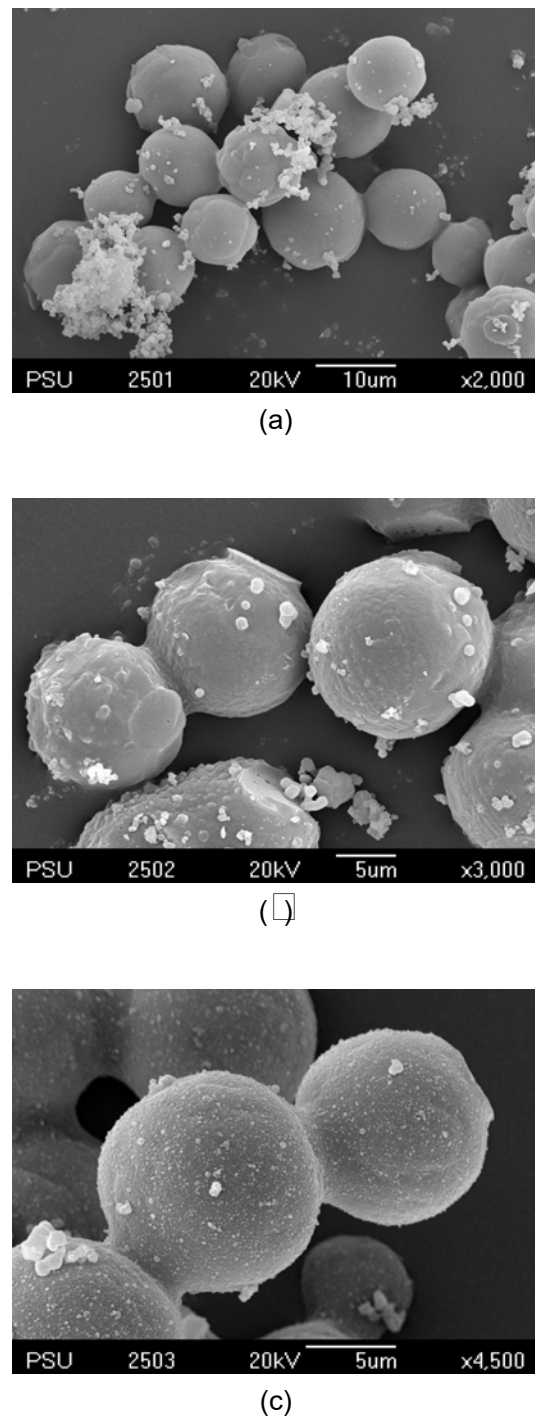
Sample No.	Time for heat (day)	+intensity
10	1	0
28	3	2000
29	5	4000
30	7	6000

ตารางที่ 3.23 แสดงค่า d_{100} ของซิลิกาที่สังเคราะห์ที่สังเคราะห์โดยใช้เวลาในการอบสารตัวอย่างที่อุณหภูมิ 100°C ต่างกัน พบร่วมกับเวลาที่ใช้ในการอบสารตัวอย่างที่อุณหภูมิ 100°C เพิ่มขึ้น ค่า d_{100} มีค่าเพิ่มขึ้น ซึ่งสอดคล้องกับค่ารัศมีของรูพรุนที่เพิ่มขึ้น

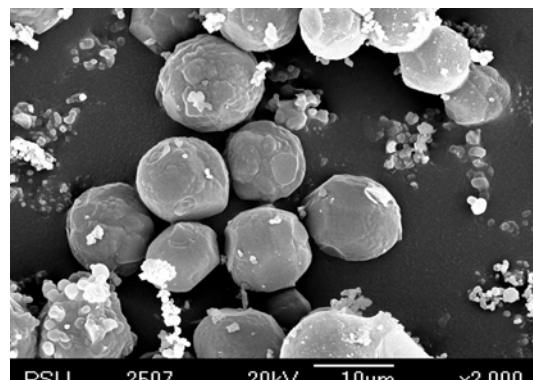
ตารางที่ 3.23 ความสัมพันธ์ระหว่างค่า d_{100} และค่า r_p ของชิลิกาที่สังเคราะห์โดยใช้อัตราส่วนโดยโมลของ P123/F127 = 3/7 ใช้ 0.5 M HCl ใช้ 0.1M Na₂SO₄ โดยใช้เวลาในการอบสาร ตัวอย่างที่อุณหภูมิ 100°C ต่างๆ กัน

Sample No.	Time for heat (day)	r_p (nm)	d_{100} (nm)
10	1	3.81	11.76
28	3	4.11	11.92
29	5	4.21	12.42
30	7	4.38	12.60

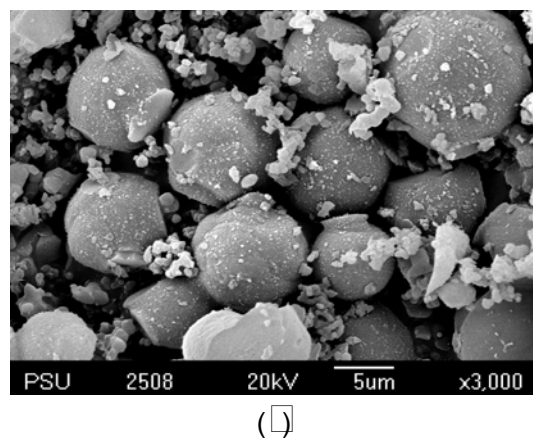
จากการประกอบที่ 3.44–3.46 แสดงภาพ SEM ของชิลิกาที่สังเคราะห์โดยใช้เวลาในการอบสารตัวอย่างที่อุณหภูมิ 100°C ต่างกัน พบว่า ถึงแม้ใช้เวลาในการอบสารที่อุณหภูมิ 100°C ต่างกันแต่รูปร่างของชิลิกาที่ได้ก็ไม่แตกต่างกันมากนักคือยังคงเป็นทรงกลมเนื้องจากกรดที่ใช้ในการสังเคราะห์มีความเข้มข้นต่ำและอิทธิพลของ F127 และขนาดของชิลิกาไม่แตกต่างกันมากนัก



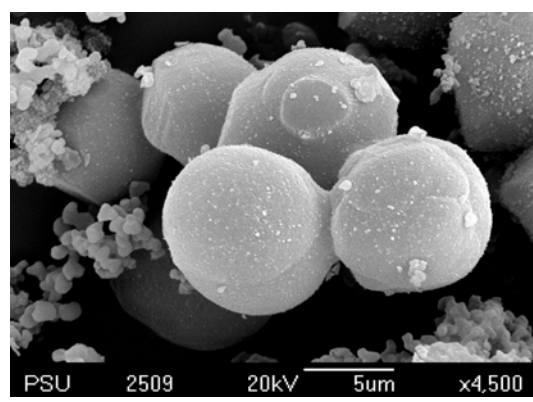
ภาพประกอบที่ 3.44 ภาพจากเทคนิค SEM ของชิลิกาที่สังเคราะห์โดยใช้อัตราส่วนโดยโมล
ของ P123/F127 = 3/7 ใช้ 0.5M HCl เดิม 0.1M Na₂SO₄ และใช้เวลา 3
วันในการอบสารตัวอย่างที่อุณหภูมิ 100°C (a) ใช้กำลังขยาย 2000 (b)
ใช้กำลังขยาย 3000 (c) ใช้กำลังขยาย 4500



(a)

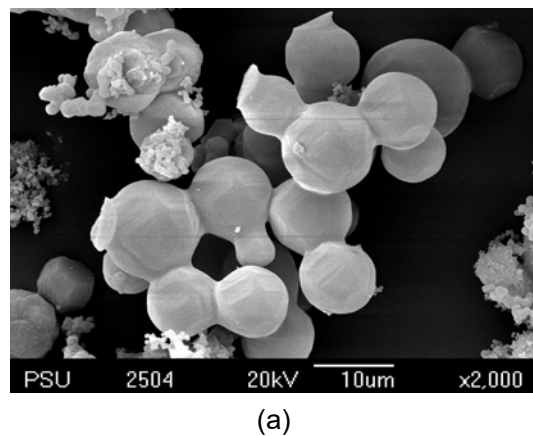


(b)

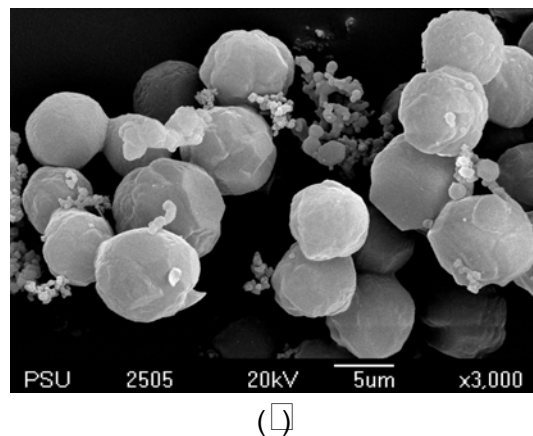


(c)

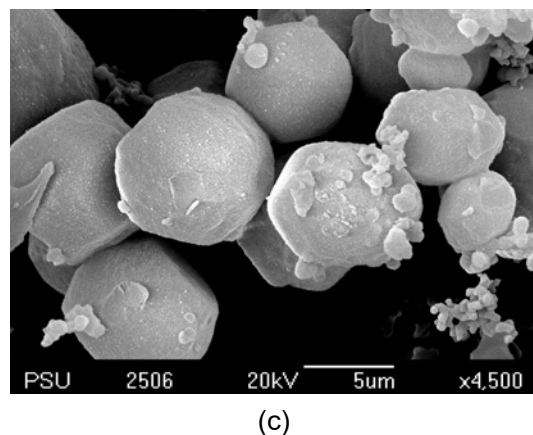
ภาพประกอบที่ 3.45 ภาพจากเทคนิค SEM ของชิลิกาที่สังเคราะห์โดยใช้อัตราส่วนโดยโมลของ P123/F127 = 3/7 ใช้ 0.5M HCl เดjm 0.1M Na₂SO₄ และใช้เวลา 5 วันในการอบสารตัวอย่างที่อุณหภูมิ 100°C (a) ใช้กำลังขยาย 2000 (b) ใช้กำลังขยาย 3000 (c) ใช้กำลังขยาย 4500



(a)



(b)



(c)

ภาพประกอบที่ 3.46 ภาพจากเทคนิค SEM ของชิลิกาที่สังเคราะห์โดยใช้อัตราส่วนโดยโมล
ของ P123/F127 = 3/7 ใช้ 0.5M HCl เดิม 0.1M Na₂SO₄ และใช้เวลา 7
วันในการอบสารตัวอย่างที่อุณหภูมิ 100°C (a) ใช้กำลังขยาย 2000 (b)
ใช้กำลังขยาย 3000 (c) ใช้กำลังขยาย 4500

บทที่ 4

สรุปผลการทดลอง

4.1 ศึกษาอิทธิพลของอัตราส่วนโดยโมลของ P123/F127 และความเข้มข้นของกรด HCl

สรุปผลการทดลองตอนที่ 4.1 เป็นการสรุปผลการทดลองของตัวอย่างที่ 1-8 ซึ่งทำการสังเคราะห์ซิลิกาโดยใช้ P123 และ F127 เป็นแม่แบบ ที่อัตราส่วนโดยโมลของ P123/F127 = 1/9, 3/7, 5/5 และ 7/3 ใช้ 0.3M HCl (ตัวอย่างที่ 1-4) และ 0.5M HCl (ตัวอย่างที่ 5-8) ใช้ 0.3M Na₂SO₄ และอัตราส่วนโดยน้ำหนักของ TEOS/(P123+F127) = 4/1 สามารถสรุปผลการทดลองได้ดังนี้

4.1.1 จากการวิเคราะห์ด้วยเครื่องวิเคราะห์พื้นที่ผิวพบว่าเมื่ออัตราส่วนโดยโมลของ P123/F127 เพิ่มขึ้นจาก 1/9 เป็น 3/7 มีผลให้ค่ารัศมีรูพรุนของซิลิกาเพิ่มขึ้น แต่เมื่ออัตราส่วนโดยโมลของ P123/F127 เพิ่มขึ้นจาก 3/7 เป็น 5/5 และ 7/3 พบว่าค่ารัศมีรูพรุนของซิลิกามีค่าลดลง

4.1.2 ซิลิกาที่สังเคราะห์โดยใช้ 0.3M HCl มีขนาดของรูพรุนที่ใหญ่กว่าซิลิกาที่สังเคราะห์โดยใช้ 0.5M HCl

4.1.3 กราฟ adsorption isotherms ของซิลิกาที่สังเคราะห์เพื่อศึกษาอิทธิพลของอัตราส่วนโดยโมลของ P123/F127 และความเข้มข้นของกรด HCl เป็นกราฟไฮโซเทอร์มชนิดที่ 4 ซึ่งเป็นลักษณะของวัสดุที่มีรูพรุนขนาดมีโซ

4.1.4 จากเทคนิค SEM พบว่าเมื่อใช้อัตราส่วนโดยโมลของ P123/F127 = 1/9, 3/7 และ 5/5 ซิลิกาที่ได้มีรูปร่างเป็นทรงกลม แต่เมื่อใช้อัตราส่วนโดยโมลของ P123/F127 = 7/3 ซิลิกาที่ได้มีลักษณะเป็นทรงกลมที่เชื่อมต่อกันมากกว่าอัตราส่วนอื่นๆ

4.1.5 ซิลิกาที่สังเคราะห์โดยใช้ 0.3M HCl มีรูปร่างที่ไม่เป็นทรงกลมมากกว่าที่ 0.5M HCl

4.2 ศึกษาอิทธิพลของความเข้มข้นและชนิดของเกลืออนินทรีย์

สรุปผลการทดลองตอนที่ 4.2 เป็นการสรุปผลการทดลองของตัวอย่างที่ 9-13 ซึ่งทำการสังเคราะห์ซิลิกาโดยใช้ P123 และ F127 เป็นแม่แบบ ที่อัตราส่วนโดยโมลของ P123/F127 = 3/7 ใช้ 0.5M HCl ใช้ 0.1M Na₂SO₄ (ตัวอย่างที่ 10), 0.5M Na₂SO₄ (ตัวอย่างที่ 11),

0.1M KCl(ตัวอย่างที่ 12), 0.5M KCl(ตัวอย่างที่ 13) ตัวอย่างที่ 9 ไม่มีการเติมเกลืออนินทรีย์ และใช้อัตราส่วนโดยน้ำหนักของ TEOS/(P123+F127) = 4/1 สามารถสรุปผลการทดลองได้ดังนี้

4.2.1 จากการวิเคราะห์ด้วยเครื่องวิเคราะห์พื้นที่ผิวพบว่าซิลิกาที่ไม่เติมเกลืออนินทรีย์มีขนาดของรูพรุนที่ใหญ่กว่าซิลิกาที่เติมเกลืออนินทรีย์

4.2.2 ที่ความเข้มข้นเดียวกันซิลิกาที่เติมเกลือ KCl มีขนาดของรูพรุนที่ใหญ่กว่าซิลิกาที่เติมเกลือ Na_2SO_4

4.2.3 ซิลิกาที่เติมเกลือชนิดเดียวกัน เมื่อความเข้มข้นของเกลือเพิ่มขึ้นทำให้ขนาดของรูพรุนเล็กลง

4.2.4 กราฟ adsorption isotherms ของซิลิกาที่สังเคราะห์เพื่อศึกษาอิทธิพลของความเข้มข้นและชนิดของเกลืออนินทรีย์ เป็นกราฟไฮโซเทอร์มชนิดที่ 4 ซึ่งเป็นลักษณะของวัสดุที่มีรูพรุนขนาดมีโต

4.2.5 จากการวิเคราะห์ด้วยเครื่อง XRD พบว่า ซิลิกาที่สังเคราะห์โดยการเติมเกลืออนินทรีย์มีการจัดเรียงตัวของรูพรุนที่สม่ำเสมอกว่าซิลิกาที่ไม่เติมเกลืออนินทรีย์

4.2.6 ซิลิกาที่สังเคราะห์โดยมีการเติมเกลือ Na_2SO_4 มีรูพรุนที่มีการจัดเรียงตัวที่สม่ำเสมอกว่าซิลิกาที่สังเคราะห์โดยมีการเติม KCl

4.2.7 ซิลิกาที่สังเคราะห์โดยไม่เติมเกลืออนินทรีย์มีค่า d_{100} มากกว่าซิลิกาที่สังเคราะห์โดยมีการเติมเกลืออนินทรีย์และซิลิกาที่สังเคราะห์โดยมีการเติม KCl จะมีค่า d_{100} มากกว่าซิลิกาที่สังเคราะห์โดยมีการเติม Na_2SO_4 นอกจากนี้ยังพบว่าซิลิกาที่เติมเกลือชนิดเดียวกัน เมื่อความเข้มข้นของเกลือเพิ่มขึ้นค่า d_{100} ลดลงและค่า d_{100} มีแนวโน้มเปลี่ยนแปลงไปในทิศทางเดียวกันกับค่า r_p

4.2.8 จากเทคนิค SEM พบว่ารูปร่างของซิลิกาที่สังเคราะห์เพื่อศึกษาอิทธิพลของความเข้มข้นและชนิดของเกลืออนินทรีย์เป็นทรงกลม

4.3 ศึกษาอิทธิพลของสารลดแรงตึงผิวร่วม

สรุปผลการทดลองตอนที่ 4.3 เป็นการสรุปผลการทดลองของตัวอย่างที่ 14-23 ซึ่งทำการสังเคราะห์ซิลิกาโดยใช้ P123 และ F127 เป็นแม่แบบ ที่อัตราส่วนโดยโมลของ P123/F127 = 3/7 ใช้ 0.5M HCl ใช้ 0.1M Na_2SO_4 ใช้อัตราส่วนโดยน้ำหนักของ TEOS/(P123 + F127) = 4/1 และมีการเติมสารลดแรงตึงผิวร่วมที่อัตราส่วนโดยโมลของ (P123+F127)/SDS = 1/1.7, 1/2.0, 1/2.3, 1/2.6 และ 1/2.9 ในตัวอย่างที่ 14-18 ตามลำดับ (P123+F127)/CTAB = 1/1.7, 1/2.0, 1/2.3, 1/2.6 และ 1/2.9 ในตัวอย่างที่ 19-23 ตามลำดับ สามารถสรุปผลการทดลองได้ดังนี้

4.3.1 จากการวิเคราะห์ด้วยเครื่องวิเคราะห์พื้นที่ผิวพบว่าการเติมสารลดแรงตึงผิวรวมทั้ง 2 ตัวไม่ว่าจะเป็น SDS หรือ CTAB ทำให้รูพรุนมีขนาดเล็กกว่าตัวอย่างที่ไม่มีการเติมสารลดแรงตึงผิวรวมและเมื่อความเข้มข้นของ SDS หรือ CTAB เพิ่มขึ้นทำให้รูพรุนมีขนาดเล็กลง นอกจากนี้ยังพบว่าเมื่อรูพรุนมีขนาดเล็กลงปริมาตรรูพรุนรวม (V_{pore}) ค่าปริมาตรรูพรุนขนาดมีโซ (V_{meso}) และค่าปริมาตรรูพรุนขนาดไมโคร (V_{micro}) มีแนวโน้มลดลง

4.3.2 กราฟ adsorption isotherms ของซิลิกาที่สังเคราะห์เพื่อศึกษาอิทธิพลของสารลดแรงตึงผิวรวมเป็นกราฟไอโซเทอร์มชนิดที่ 4 ซึ่งเป็นลักษณะของวัสดุที่มีรูพรุนขนาดมีโซ

4.3.3 จากการวิเคราะห์ด้วยเครื่อง XRD พบว่าเมื่อความเข้มข้นของ SDS และ CTAB เพิ่มขึ้น ได้พิกที่มีลักษณะกว้างและต่ำลงซึ่งแสดงว่าการจัดเรียงตัวที่สำคัญของรูพรุนของซิลิกาลดลง

4.3.4 เมื่อความเข้มข้นของ SDS และ CTAB เพิ่มขึ้นค่า d_{100} ลดลง สอดคล้องกับค่า r_p ที่ลดลง

4.3.5 จากเทคนิค SEM พบว่าซิลิกาที่มีการเติม SDS มีรูปร่างเป็นทรงกลมที่มีลักษณะที่เชื่อมต่อกันและมีขนาดอนุภาคทรงกลมที่เล็กกว่าซิลิกาที่มีการเติม CTAB และตัวอย่างที่ไม่มีการเติมสารลดแรงตึงผิวรวม

4.3.6 ซิลิกาที่มีการเติม CTAB มีลักษณะที่เป็นทรงกลมผิวเรียบไม่มีการเชื่อมต่อกันเป็นเส้น ขนาดอนุภาคทรงกลมของซิลิกาใหญ่กว่าตัวอย่างที่เติม SDS แต่มีขนาดเล็กกว่าตัวอย่างที่ไม่มีการเติมสารลดแรงตึงผิวรวม

4.4 ศึกษาอิทธิพลของตัวทำละลายร่วม

สรุปผลการทดลองตอนที่ 4.4 เป็นสรุปผลการทดลองของตัวอย่างที่ 24-27 ซึ่งทำการสังเคราะห์ซิลิกาโดยใช้ P123 และ F127 เป็นแม่แบบ ที่อัตราส่วนโดยโมลของ P123/F127 = 3/7 ใช้ 0.5M HCl ใช้ 0.1M Na₂SO₄ ใช้อัตราส่วนโดยน้ำหนักของ TEOS/(P123 + F127) = 4/1 และมีการเติม EtOH เป็นตัวทำละลายร่วมที่อัตราส่วนโดยโมลของ H₂O/EtOH = 1/1.9, 1/2.2, 1/5.5 และ 1/7.3 ในตัวอย่างที่ 24-27 ตามลำดับ สามารถสรุปผลการทดลองได้ดังนี้

4.4.1 จากการวิเคราะห์ด้วยเครื่องวิเคราะห์พื้นที่ผิวพบว่าเมื่ออัตราส่วนของ EtOH เพิ่มขึ้นค่ารัศมีรูพรุนของซิลิกาลดลง

4.4.2 กราฟ adsorption isotherms ของซิลิกาที่สังเคราะห์เพื่อศึกษาอิทธิพลของตัวทำละลายร่วมเป็นกราฟไอโซเทอร์มชนิดที่ 4 ซึ่งเป็นลักษณะของวัสดุที่มีรูพรุนขนาดมีโซ

4.4.3 จากการวิเคราะห์ด้วยเครื่อง XRD พบร่วมกับความเข้มข้นของ EtOH เพิ่มขึ้นพิกัดมีลักษณะกว้างและต่ำลง ซึ่งแสดงว่าการจัดเรียงตัวที่สม่ำเสมอของรูปรุนของชิลิกาลดลง

4.4.4 เมื่อความเข้มข้นของ EtOH เพิ่มขึ้นค่า d_{100} ลดลง ซึ่งสอดคล้องกับค่า r_p ที่ลดลง

4.4.5 จากเทคนิค SEM พบรูปร่างของชิลิกาที่สังเคราะห์เพื่อศึกษาอิทธิพลของตัวทำละลายร่วมเป็นทรงกลม

4. ศึกษาอิทธิพลของเวลาในการอบสารตัวอย่างที่อุณหภูมิ 100°C

สรุปผลการทดลองตอนที่ 4.5 เป็นสรุปผลการทดลองของตัวอย่างที่ 28-30 ซึ่งทำการสังเคราะห์ชิลิกาโดยใช้ P123 และ F127 เป็นแม่แบบ ท่อตราช่วงโดยไมลของ P123/F127 = 3/7 ใช้ 0.5M HCl ใช้ 0.1M Na_2SO_4 ใช้อัตราส่วนโดยน้ำหนักของ TEOS/(P123+F127) = 4/1 และทำการอบสารตัวอย่างที่อุณหภูมิ 100°C เป็นเวลา 3, 5 และ 7 วัน ในตัวอย่างที่ 28-30 ตามลำดับ สามารถสรุปผลการทดลองได้ดังนี้

4.5.1 จากการวิเคราะห์ด้วยเครื่องวิเคราะห์พื้นที่ผิวพบว่าเมื่อเวลาในการอบเพิ่มขึ้นค่ารัศมีรูปรุนของชิลิกาเพิ่มขึ้น

4.5.2 กราฟ adsorption isotherms ของชิลิกาที่สังเคราะห์เพื่อศึกษาอิทธิพลของเวลาในการอบสารตัวอย่างที่อุณหภูมิ 100°C เป็นกราฟไอโซเทอร์มชนิดที่ 4 ซึ่งเป็นลักษณะของวัสดุที่มีรูปรุนขนาดมีໂไซ

4.5.3 จากการวิเคราะห์ด้วยเครื่อง XRD พบร่วมกับเวลาในการอบสารตัวอย่างเพิ่มขึ้นพิกัดมีลักษณะแคบและสูงเช่นเดิม แสดงให้เห็นว่าเวลาในการอบสารตัวอย่างที่เพิ่มขึ้นไม่มีผลต่อการจัดเรียงตัวที่มีความสม่ำเสมอของรูปรุนของชิลิกา

4.5.4 เมื่อเวลาในการอบสารที่อุณหภูมิ 100°C เพิ่มขึ้น ค่า d_{100} เพิ่มขึ้น ซึ่งสอดคล้องกับค่า r_p ที่เพิ่มขึ้น

4.5.5 จากเทคนิค SEM พบรูปร่างของชิลิกาที่สังเคราะห์เพื่อศึกษาอิทธิพลเวลาในการอบสารที่อุณหภูมิ 100°C เป็นทรงกลม

บรรณานุกรม

กฤษณี สุวรรณสังข์. 2546. การเตรียมถุงมือไร้แป้งโดยการเคลือบด้วยสารโคโพลิเมอร์แบบบล็อก. วิทยาศาสตร์มหาบัณฑิต. สาขาวิชาเทคโนโลยีพอลิเมอร์ มหาวิทยาลัยสงขลานครินทร์.

แก้วตา แก้วตาทิพย์. 2548. การสังเคราะห์ซิลิกาที่มีรูพรุขนาดมีโซโดยใช้บล็อกโคโพลิเมอร์ของออกซิเอทธิลีนและออกซิบิวทิลีน เป็นแม่แบบ. วิทยานิพนธ์มหาบัณฑิต. มหาวิทยาลัยสงขลานครินทร์.

จินดารัตน์ สมุทร์jarinthr. 2544. ความสัมพันธ์ระหว่างเสถียรภาพของฟองและประสิทธิภาพระบบฟองloy. วิทยานิพนธ์มหาบัณฑิต. จุฬาลงกรณ์มหาวิทยาลัย.

แบบจำลองกฎของแบรග. 2550. สืบค้นจาก: <http://www.kmit.ac.th/sisc/XRD>.

Adamson, A.W. and Gast, A.J. (1997). *Physical Chemistry of Surface*. John Wiley and Sons, Canada.

Alexandridis, P. and Hatton, T.A. (1995). Poly(ethylene oxide)-poly(propylene oxide)-poly(ethylene oxide) block copolymer surfactants in aqueous solutions and at interfaces: thermodynamics, structure, dynamics and modeling. *Colloids and Surfaces A: Physicochemical and Engineering Aspects* 96, 1-46.

Bearzotti, A., Bertolo, J.M., Innocenzi, P., Falcaro, P. and Traversa, E. (2004). Humidity sensors based on mesoporous silica thin films synthesized by block copolymers. *Journal of the European Ceramic Society* 24, 1969-1972.

Bond, G.C. (1987). *Heterogeneous Catalysis/ Principles and Applications*. Oxford University Press, New York.

Brunauer, S. (1945). *The Adsorption of Gases and Vapors*. Vol. I. Princeton University Press, Princeton, New Jersey.

Brunauer, S., Emmett, P.H. and Teller, E. (1938). Adsorption of gases in multimolecular layers. *Journal of the European Chemical Society* 60, 309-319.

Chaibundit, C., Ricardo, N.M.P.S., Costa, F.de M.L.L., Yeates, S.G. and Booth, C. (2007). Micellization and gelation of mixed copolymers P123 and F127 in aqueous solution. *Langmuir* 23, 9229-9236.

Chandrasekar, G., You, K.S., Ahn, J.W. and Ahn, W.S. (2007). Synthesis of hexagonal and cubic mesoporous silica using power plant bottom ash. *Journal of Microporous and Mesoporous Materials* 10, 1008-1016.

Ganguly, R., Aswal, V.K., Hassan, P.A., Gopalakrishnan, I.K. and Kulshreshtha, S.K. (2006). Effect of SDS on the self-assembly behavior of the PEO-PPO-PEO triblock copolymer $(EO)_{20}(PO)_{70}(EO)_{20}$. *Journal of Physical Chemistry B* 110, 9843-9849.

Guth, J.L., Mesa, M. and Sierra, L. (2007). Contribution to the study of the formation mechanism of mesoporous SBA-15 and SBA-16 type silica particles in aqueous acid solutions. *Journal of Microporous and Mesoporous Materials* 16, 1056-1069.

Hamley, I.W., Fairclough, A., Mai, S.M., Patrick, J. and Ryam, A.J. (2000). Structure of amphiphilic block copolymers in their liquid and solid states. *Amphiphilic Block Copolymers* 11, 151-167.

James, H.C. (2003). *Nanotechnology Mesostructured Materials*. pp. 552-553.

Katiyar, A., Yadav, S., Smirniotis, P.G. and Pinto, N.G. (2006). Synthesis of ordered large pore SBA-15 spherical particles for adsorption of biomolecules. *Journal of Chromatography A* 1122, 13-20.

- Kim, T.W., Ryoo, R., Kruk, M., Gierszal, K.P., Jaronice, M., Kamiya, S. and Terasaki, O. (2004). Tailoring the pore structure of SBA-16 silica molecular sieve through the use of copolymer blend and control of synthesis temperature and time. *Journal of Physical Chemistry B* 108, 11480-11489.
- Kresge, C.T., Vartuli, J.C., Roth, W.J. and Leonowicz, M.E. (1992). The discovery of ExxonMobil's M41S family of mesoporous molecular sieves. *Studies in Surface Science and Catalysis* 148, 53-72.
- Li, Y., Xu, R., Bloor, D.M., Holzwarth, J.F. and Wyn-Jones, E. (2000). The binding of sodium dodecyl sulfate to the ABA block copolymer Pluronic F127 (EO₉₇PO₆₉EO₉₇): an electromotive force, microcalorimetry and light scattering investigation. *Langmuir* 16, 10515-10520.
- Ma, Y., Qi, L., Ma, J., Wu, Y., Liu, O. and Cheng, H. (2003). Large-pore mesoporous silica spheres/synthesis and application in HPLC. *Colloids and Surfaces A: Physicochemical and Engineering Aspects* 229, 1-8.
- Shin, H.J., Ryoo, R., Kruk, M. and Jaroniec, M. (2001). Modification of SBA-15 pore connectivity by high-temperature calcinations investigated by carbon inverse replication. *Inorganic Chemistry Communications* 25, 349-350.
- Soler-Illia, G.J.de A.A., Crepaldi, E.L., Grosso, D. and Sanchez, C. (2003). Block copolymer-templated mesoporous oxides. *Current Opinion in Colloid and Interface Science* 8, 109-126.
- Soni, S.S., Brotons, G., Bellour, M., Narayanan, T. and Gibaud, A. (2006). Quantitative SAXS analysis of the P123/water/ethanol ternary phase diagram. *Journal of Physical Chemistry B* 110, 15157-15165.

- Tattershall, C.E., Aslam, S.J. and Budd, P.M. (2002). Dimethylamino-and trimethyl ammonium-tipped oxyethylene-oxybutylene diblock copolymers and their use as structure-directing agents in the preparation of mesoporous silica. *Journal of Material Chemistry* 12, 1-6.
- Voort, P.V.D., Benjelloum, M. and Vansant, E.F. (2002). Rationalization of the synthesis of SBA-16/controlling the micro-and mesoporosirt. *Journal of Physical Chemistry B* 106, 9023-9027.
- Xue, J.M. and Shi, M. (2004). PLGA/mesoporous silica hybrid structure of controlled drug release. *Journal of Controlled Release* 98, 209-217.
- Yamada, T., Zhou, H., Asai, K. and Honma, I. (2002). Pore size controlled mesoporous silicate powder prepared by triblock copolymer templates. *Journal of Material Science Letter* 56, 93-96.
- Yu, S., W, T.K.S., Hu, X. and Pita, K. (2004). Sol-gel derived mesoporous silica films used as low dielectric constant materials. *Thin Solid Films* 63, 311-315.
- Zhang, W.H., Zhang, L., Xiu, J., Shen, Z., Li, Y. and Ying, P. (2006). Pore size design of ordered mesoporous silicas by controlling micellar properties of triblock copolymer EO₂₀PO₇₀EO₂₀. *Journal of Microporous and Mesoporous Materials* 89, 179-185
- Zhao, D., Sun, J., Li, Q. and Stucky, G.D. (2002). Morphological control of highly ordered mesoporous silica SBA-15. *Journal of Chemical Material* 12, 275-279.

ភាគធម្មរក

ภาคผนวก ก

รายงานผลของเครื่องวิเคราะห์พื้นที่ผิว Coulter™ SA3100 Software Version 2.13 ของชิลิกาที่สังเคราะห์โดยใช้อัตราส่วนโดยโมลของ P123/F127 = 3/7 ใช้ 0.5M HCl และไฟเต้มเกลืออนินทรีย์

Coulter SA 3100 Surface Area and Pore Size Analyzer Analysis Report

Serial No.	AH43014	Software Version	2.13
Sample ID	no salt	Start Date	02/28/07
Customer	BECKMAN	Start Time	04/50/04
Operator	PCL	Elapsed Time	59 min
Sample Wt	0.0334 g	Outgas Time	60 min
Profile	BET	Outgas Temperature	150 C

Summary

Surface Area Report

BET Surface area	566.38 sq.m/g
Correlation Coefficient	0.99972

Adsorption BJH Pore Size Distribution

Pore Dia. Range(nm)	Pore Volume(ml/g)	%
Under 6	0.03519	12.26
6 - 8	0.14457	50.35
8 - 10	0.08364	29.13
10 - 12	0.00499	1.74
12 - 16	0.00481	1.68
16 - 20	0.00404	1.41
20 - 80	0.00849	2.96
Over 80	0.00141	0.49
BJH Total	0.28716	100.00

t-Plot Surface Area Report

t-Plot Surface Area	323.016 sq.m/g
Micropore Surface Area	243.361 sq.m/g
Micropore Volume	0.10504 ml/g
Correlation Coefficient	0.99382

Total Pore Volume Report

Total Pore Volume	0.4906 ml/g
(Ps/Po □ 0.9814, Adsorption)	

Coulter SA 3100 Surface Area and Pore Size Analyzer
Analysis Report

Serial No.	AH43014	Software Version	2.13
Sample ID	no salt	Start Date	02/28/07
Customer	BECKMAN	Start Time	04/50/04
Operator	PCL	Elapsed Time	59 min
Sample Wt	0.0334 g	Outgas Time	60 min
Profile	BET	Outgas Temperature	150 C

Surface Area Report

BET Surface area	566.38 sq.m/g
Slope	0.007674
Intercept	0.000011
C value	696.901
Monolayer Volume	130.1299 cc/g (STP)
Correlation Coefficient	0.99972
One Point BET Surface Area (Ps/Po□0.3)	564.49 sq.m/g

Analysis Data

Ps/Po	BET Function	Vads cc/g(STP)
0.0512	0.000413	130.628
0.0577	0.000461	132.965
0.0650	0.000514	135.325
0.0728	0.000571	137.613
0.0814	0.000633	139.891
0.1008	0.000777	144.413
0.1188	0.000911	147.976
0.1388	0.001064	151.406
0.1590	0.001224	154.502
0.1797	0.001393	157.287
0.1990	0.001556	159.695

Interpolated Data

Ps/Po	BET Function	Vads cc/g(STP)
0.0500	0.000395	133.343
0.0800	0.000625	139.149
0.1200	0.000932	146.335
0.1600	0.001239	153.758
0.2000	0.001546	161.734

Coulter SA 3100 Surface Area and Pore Size Analyzer**Analysis Report**

Serial No.	AH43014	Software Version	2.13
Sample ID	no salt	Start Date	02/28/07
Customer	BECKMAN	Start Time	04/50/04
Operator	PCL	Elapsed Time	59 min
Sample Wt	0.0334 g	Outgas Time	60 min
Profile	BET	Outgas Temperature	150 C

Adsorption BJH Pore Volume Distribution

Diameter Range	Average Diameter (nm)	d(Vp)/d(Dp) (nm)	Incremental Volume (ml/g*nm)	Cumulative Volume (ml/g)	% Volume
159.33-136.94	148.13	0.00001	0.00021	0.00021	0.07
136.94-120.13	128.53	0.00001	0.00022	0.00043	0.08
120.13-107.05	113.59	0.00002	0.00022	0.00065	0.08
107.05- 96.57	101.81	0.00002	0.00022	0.00086	0.08
96.57- 77.70	87.14	0.00003	0.00055	0.00141	0.19
77.70- 65.10	71.40	0.00004	0.00056	0.00197	0.19
65.10- 44.01	54.55	0.00007	0.00146	0.00343	0.51
44.01- 33.38	38.69	0.00015	0.00155	0.00498	0.54
33.38- 26.96	30.17	0.00025	0.00160	0.00658	0.56
26.96- 22.65	24.80	0.00038	0.00164	0.00823	0.57
22.65- 19.54	21.09	0.00054	0.00168	0.00991	0.59
19.54- 17.19	18.36	0.00073	0.00172	0.01162	0.60
17.19- 14.82	16.01	0.00098	0.00233	0.01395	0.81
14.82- 13.03	13.93	0.00133	0.00238	0.01633	0.83
13.03- 11.62	12.33	0.00173	0.00243	0.01876	0.85
11.62- 10.48	11.05	0.00218	0.00248	0.02124	0.86
10.48- 9.54	10.01	0.00268	0.00252	0.02376	0.88
9.54- 8.75	9.15	0.03093	0.02443	0.04819	8.51
8.75- 8.08	8.42	0.08778	0.05921	0.10739	20.62
8.08- 7.50	7.79	0.12875	0.07510	0.18250	26.15
7.50- 6.99	7.24	0.09764	0.04981	0.23230	17.34
6.99- 6.54	6.76	0.03179	0.01432	0.24662	4.99
6.54- 6.14	6.34	0.01332	0.00534	0.25196	1.86
6.14- 5.45	5.79	0.01231	0.00843	0.26039	2.94
5.45- 4.89	5.17	0.01247	0.00704	0.26744	2.45
4.89- 4.41	4.65	0.01314	0.00625	0.27369	2.18
4.41- 4.20	4.30	0.01356	0.00287	0.27656	1.00
4.20- 3.82	4.01	0.01434	0.00545	0.28201	1.90
3.82- 3.48	3.65	0.01543	0.00515	0.28716	1.79

Coulter SA 3100 Surface Area and Pore Size Analyzer
Analysis Report

Serial No.	AH43014	Software Version	2.13
Sample ID	no salt	Start Date	02/28/07
Customer	BECKMAN	Start Time	04/50/04
Operator	PCL	Elapsed Time	59 min
Sample Wt	0.0334 g	Outgas Time	60 min
Profile	BET	Outgas Temperature	150 C

Adsorption BJH Pore Area Distribution

Diameter Range (nm)	Average Diameter (nm)	d(Sp)/d(Dp) (sq.m/g*nm)	Incremental Area (sq.m/g)	Cumulative Area (sq.m/g)	% Volume
159.33-136.94	148.13	0.0003	0.0058	0.0058	0.00
136.94-120.13	128.53	0.0004	0.0067	0.0125	0.00
120.13-107.05	113.59	0.0006	0.0076	0.0201	0.01
107.05 - 96.57	101.81	0.0008	0.0086	0.0287	0.01
96.57- 77.70	87.14	0.0013	0.0253	0.0540	0.02
77.70- 65.10	71.40	0.0025	0.0313	0.0852	0.02
65.10- 44.01	54.55	0.0051	0.1067	0.1920	0.07
44.01- 33.38	38.69	0.0151	0.1606	0.3526	0.11
33.38- 26.96	30.17	0.0330	0.2122	0.5648	0.14
26.96- 22.65	24.80	0.0614	0.2649	0.8297	0.17
22.65- 19.54	21.09	0.1026	0.3187	1.1484	0.21
19.54- 17.19	18.36	0.1591	0.3736	1.5220	0.24
17.19- 14.82	16.01	0.2458	0.5821	2.1041	0.38
14.82- 13.03	13.93	0.3815	0.6842	2.7883	0.45
13.03- 11.62	12.33	0.5601	0.7888	3.5772	0.52
11.62- 10.48	11.05	0.7876	0.8959	4.4731	0.59

10.48 - 9.54	10.01	1.0704	1.0055	5.4785	0.66
9.54 - 8.75	9.15	13.5203	10.6801	16.1586	7.00
8.75 - 8.08	8.42	41.7158	28.1362	44.2948	18.44
8.08 - 7.50	7.79	66.1236	38.5727	82.8675	25.27
7.50 - 6.99	7.24	53.9328	27.5123	110.3798	18.03
6.99 - 6.54	6.76	18.8087	8.4712	118.8511	5.55
6.54 - 6.14	6.34	8.4107	3.3728	122.2239	2.21
6.14 - 5.45	5.79	8.5024	5.8206	128.0444	3.81
5.45 - 4.89	5.17	9.6550	5.4525	133.4970	3.57
4.89 - 4.41	4.65	11.3100	5.3814	138.8784	3.53
4.41 - 4.20	4.30	12.6057	2.6657	141.5441	1.75
4.20 - 3.82	4.01	14.3088	5.4409	146.9849	3.56
3.82 - 3.48	3.65	16.8985	5.6384	152.6234	3.69

Coulter SA 3100 Surface Area and Pore Size Analyzer

Analysis Report

Serial No.	AH43014	Software Version	2.13
Sample ID	no salt	Start Date	02/28/07
Customer	BECKMAN	Start Time	04/50/04
Operator	PCL	Elapsed Time	59 min
Sample Wt	0.0334 g	Outgas Time	60 min
Profile	BET	Outgas Temperature	150 C

t-Plot Surface Area Report

t-Plot Surface Area	323.016 sq.m/g
Total Surface Area	566.377 sq.m/g
Micropore Surface Area	243.361 sq.m/g
Micropore Volume	0.10504 ml/g
Film Thickness Range	0.35 to 0.50
Slope	208.8018

Intercept	67.89733
Correlation Coefficient	0.99382

Film Thickness (nm)	Vads (cc/g STP)
0.3529	139.891
0.3685	144.413
0.3819	147.976
0.3961	151.406
0.4099	154.502
0.4237	157.287
0.4362	159.695
0.4618	164.094
0.4870	168.121

Coulter SA 3100 Surface Area and Pore Size Analyzer
Analysis Report

Serial No.	AH43014	Software Version	2.13
Sample ID	no salt	Start Date	02/28/07
Customer	BECKMAN	Start Time	04/50/04
Operator	PCL	Elapsed Time	59 min
Sample Wt	0.0334 g	Outgas Time	60 min
Profile	BET	Outgas Temperature	150 C

Total Pore Volume Report

Total Pore Volume 0.4906 ml/g
 (Ps/Po 0.9814, Adsorption)

Coulter SA 3100 Surface Area and Pore Size Analyzer
Analysis Report

Serial No.	AH43014	Software Version	2.13
Sample ID	no salt	Start Date	02/28/07
Customer	BECKMAN	Start Time	04/50/04
Operator	PCL	Elapsed Time	59 min
Sample Wt	0.0334 g	Outgas Time	60 min
Profile	BET	Outgas Temperature	150 C

Isotherm Data

Freespace Calculation

Slope	0.0154
Intercept	0.0001
Correlation Coefficient	1.00000

Isotherm Data Table

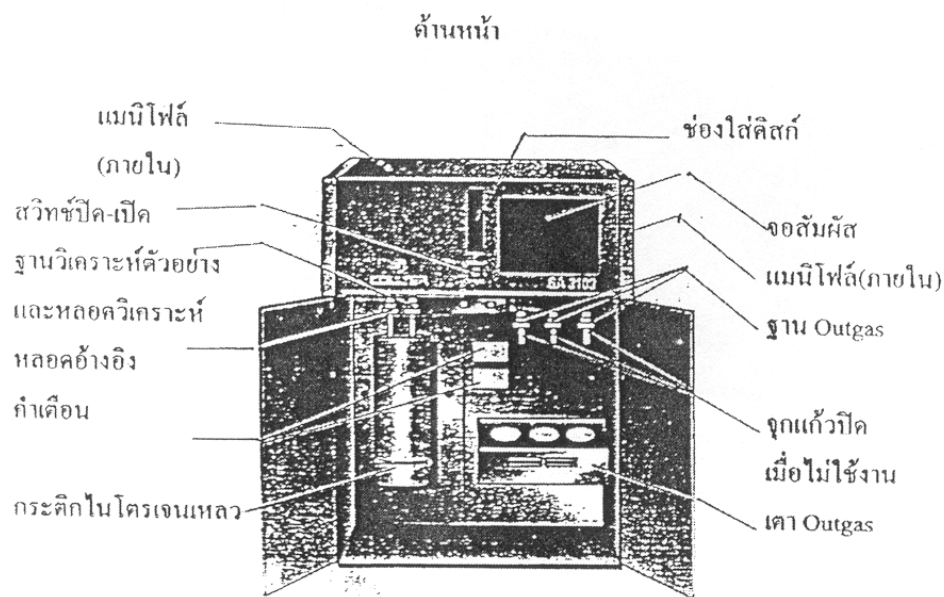
Ps/Po	Vads cc/g(STP)	Ps mmHg	Po mmHg
0.0000	0.000	0.001	749.49
0.0000	13.900	0.012	749.53
0.0000	27.792	0.032	749.55
0.0001	43.788	0.108	749.44
0.0006	61.296	0.428	749.41
0.0018	77.713	1.357	749.38
0.0055	93.456	4.093	748.62
0.0130	106.728	9.714	748.31
0.0252	117.713	18.858	748.05
0.0327	122.326	24.478	747.63

0.0413	126.540	30.831	747.24
0.0512	130.628	38.271	746.97
0.0577	132.965	43.102	746.74
0.0650	135.325	48.516	746.48
0.0728	137.613	54.333	746.15
0.0814	139.891	60.698	746.10
0.1008	144.413	75.224	745.96
0.1188	147.976	88.569	745.74
0.1388	151.406	103.490	745.63
0.1590	154.502	118.549	745.67
0.1797	157.287	133.970	745.49
0.1990	159.695	148.337	745.40
0.2388	164.094	177.962	745.30
0.2780	168.121	207.213	745.26
0.3202	172.141	238.559	745.12
0.3591	175.836	267.577	745.15
0.4005	179.748	298.381	745.08
0.4405	183.655	328.181	744.98
0.4808	187.737	358.143	744.91
0.5209	192.075	387.953	744.82
0.5603	196.646	417.300	744.77
0.6003	201.753	447.079	744.71
0.6396	207.495	476.292	744.69
0.6597	210.799	491.265	744.65
0.6798	214.800	506.198	744.63
0.6966	220.071	518.717	744.68
0.7111	229.807	529.495	744.62
0.7241	248.508	539.377	744.86
0.7324	262.660	545.418	744.74
0.7693	304.786	573.209	745.07
0.9614	315.795	716.564	745.31
0.9839	317.268	733.716	745.76

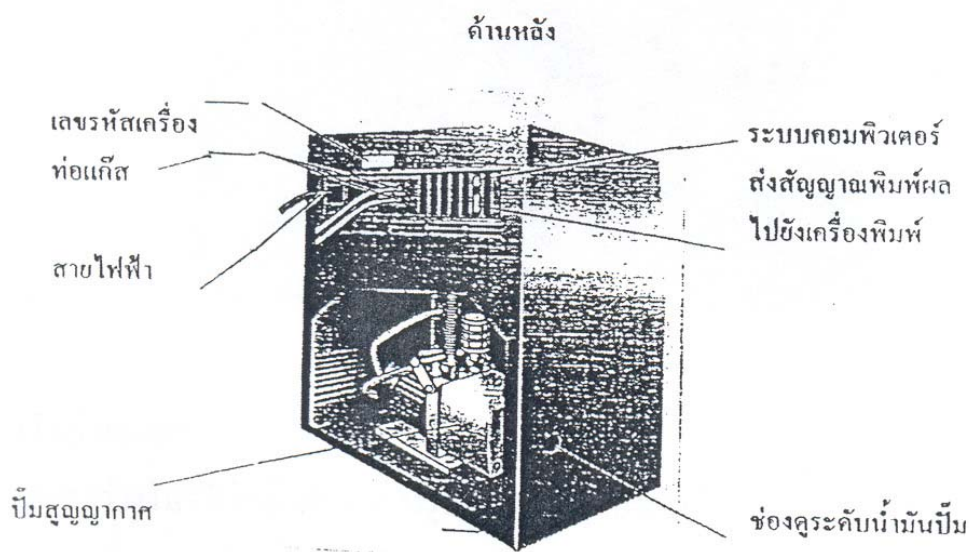
ภาคผนวก ข

การใช้เครื่อง Surface area analyzer

1. ส่วนต่างๆของเครื่อง



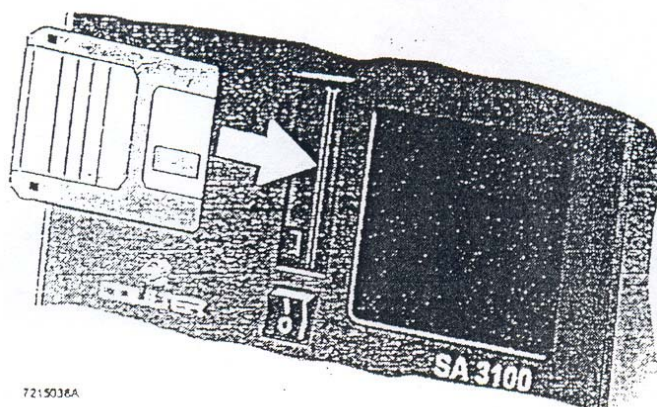
ภาพประกอบภาคผนวกที่ 1 ภาพด้านหน้าของเครื่อง surface area analyzer



ภาพประกอบภาคผนวกที่ 2 ภาพด้านหลังของเครื่อง surface area analyzer

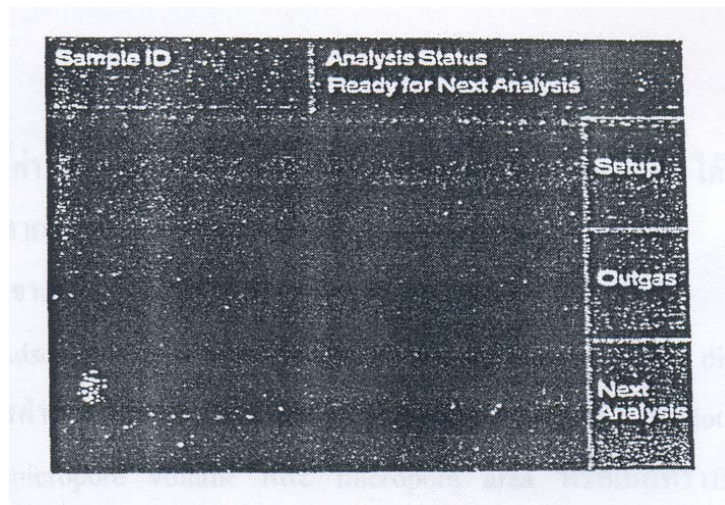
2. การเตรียมพร้อมเครื่องมือ

- 2.1 ก่อนการใช้งานต้องตรวจสอบปริมาณแก๊สในโตรเจนและอีเลี่ยม ส่วนความดันแก๊สในถังไม่ควรน้อยกว่า 100 psi ถ้าน้อยกว่าต้องเปลี่ยนถังใหม่
- 2.2 ตรวจสอบดับน้ำมันเครื่องทุกครั้งก่อนใช้งาน
- 2.3 เปิด瓦ล์วังแก๊ส ปรับความดันของแก๊สที่จะเข้าเครื่องมือที่ประมาณ 2 psi
- 2.4 ก่อนเปิดสวิทซ์ ON/OFF ให้ส่องไฟส่องสว่างส่องสว่างดิสก์ในช่องส่องสว่างดิสก์ก่อน



ภาพประกอบภาคพหุวที่ 3 การใส่แผ่นดิสก์ในเครื่อง

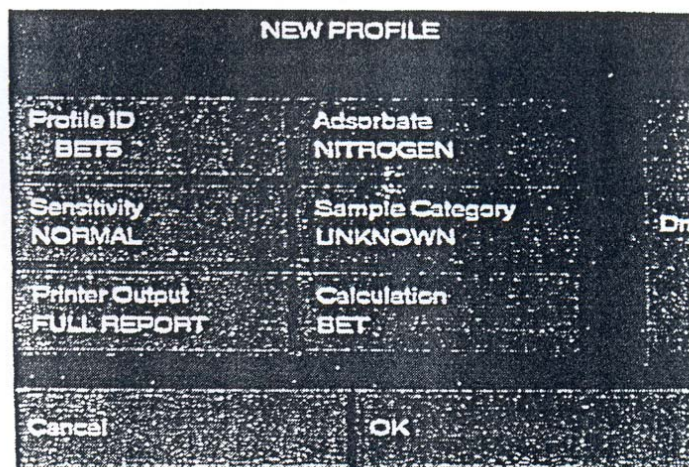
- 2.5 เครื่องจะเริ่มทำงานไปที่จอเมนู



ภาพประกอบภาคพหุวที่ 4 ภาพหน้าจอเมนูเมื่อเครื่องเริ่มทำงาน

3. การสร้างโปรไฟล์ (Profile)

การสร้างโปรไฟล์เป็นการสร้างรูปแบบคำสั่งของการวิเคราะห์และคำนวนพารามิเตอร์ต่างๆ จากหน้าจอเมนูที่แสดงในภาพประกอบภาคผนวกที่ 4 ใช้นิ้วแตะที่ Setup แล้วเลือก Edit Profile ถ้าต้องการสร้างโปรไฟล์ใหม่ให้เลือก New จะมีจอ New Profile ดังแสดงในภาพประกอบภาคผนวกที่ 5



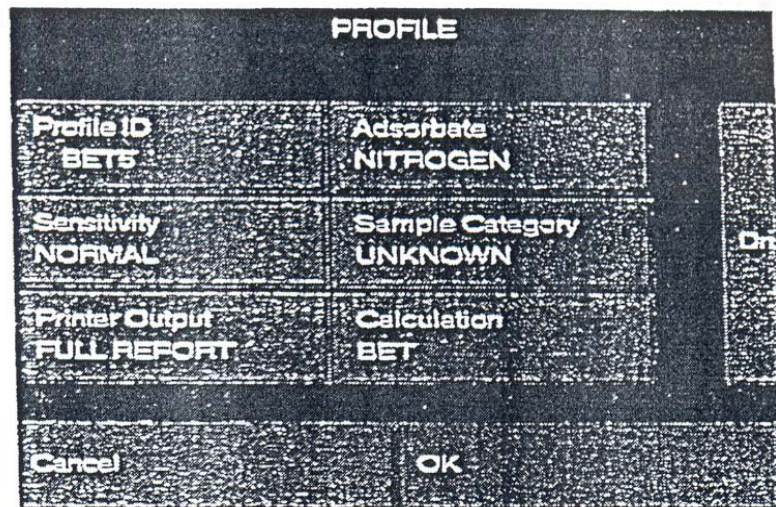
ภาพประกอบภาคผนวกที่ 5 ภาพหน้าจอ New Profile เมื่อต้องการสร้างโปรไฟล์ใหม่

ตั้งชื่อโปรไฟล์ กรอกรายละเอียดของการวิเคราะห์ เช่น Adsorbate คือ แก๊สที่ใช้ในการดูดซับซึ่งในที่นี้ใช้แก๊สไนโตรเจน Sensitivity ปกติใช้ Normal Sample Category เป็นการนองกรุปแบบของไอโซเทอร์มเลือก Unknown Printer Output เป็น Full Report สำหรับ Calculation ผู้วิเคราะห์ต้องการข้อมูลและผลวิเคราะห์อะไรบ้าง กด Du ริมจอกาฟด้านขวาเพื่อเลื่อนดูรายการวิเคราะห์

BET เป็นการวิเคราะห์ค่า surface area สามารถเลือกการคำนวนจาก Isotherm ได้หลายจุด เช่น Bet_5 คือคำนวนจาก Isotherm 5 จุด Bet_{10} คือคำนวนจาก Isotherm 10 จุด

BJH Adsorb เป็นการวัดการกระจายขนาดของรูพรุน(Pore size distribution) โดยใช้ Isotherm T-Plot การคำนวนแบบ T-Plot เป็นการประมาณค่า T-Plot Surface Area (Mesopore, Macropore), micropore volume และ micropore area หรือเมื่อทราบค่า BET Surface area อาจคำนวน Mesopore, Macropore ได้โดย BET Surface area-Micropore Surface area

เมื่อตั้ง PROFILE แล้วกด OK PROFILE นี้สามารถใช้ในการวิเคราะห์ได้ตลอดไป หากต้องการแก้ไขให้กด Edit Profile จะมี PROFILE ให้เลือกแก้ไข ดังแสดงในภาพประกอบภาคผนวกที่ 6



ภาพประกอบภาคผนวกที่ 6 ภาพหน้าจอ Profile เมื่อต้องการแก้ไข PROFILE ใหม่

4. การ Outgas

เป็นการไล่ความชื้นออกจากตัวอย่าง ซึ่งอุณหภูมิที่ใช้โดยทั่วไปคือ 120°C แต่อาจใช้ตามความเหมาะสมของตัวอย่าง ขึ้นกับจุดหลอมเหลวของตัวอย่างนั้นๆ และอุณหภูมิที่ใช้ต้องไม่ทำให้โครงสร้างของสารนั้นเปลี่ยนแปลงไป

4.1 ทำความสะอาดหลอดใส่ตัวอย่าง (Sample tube) และแท่งแก้ว (Insert tube) ด้วยกระดาษทิชชูอย่างดี อย่าให้มีรอยนิ้วมือหรือสิ่งสกปรกติดอยู่ หลอดใส่ตัวอย่างมีหลายแบบดังนี้

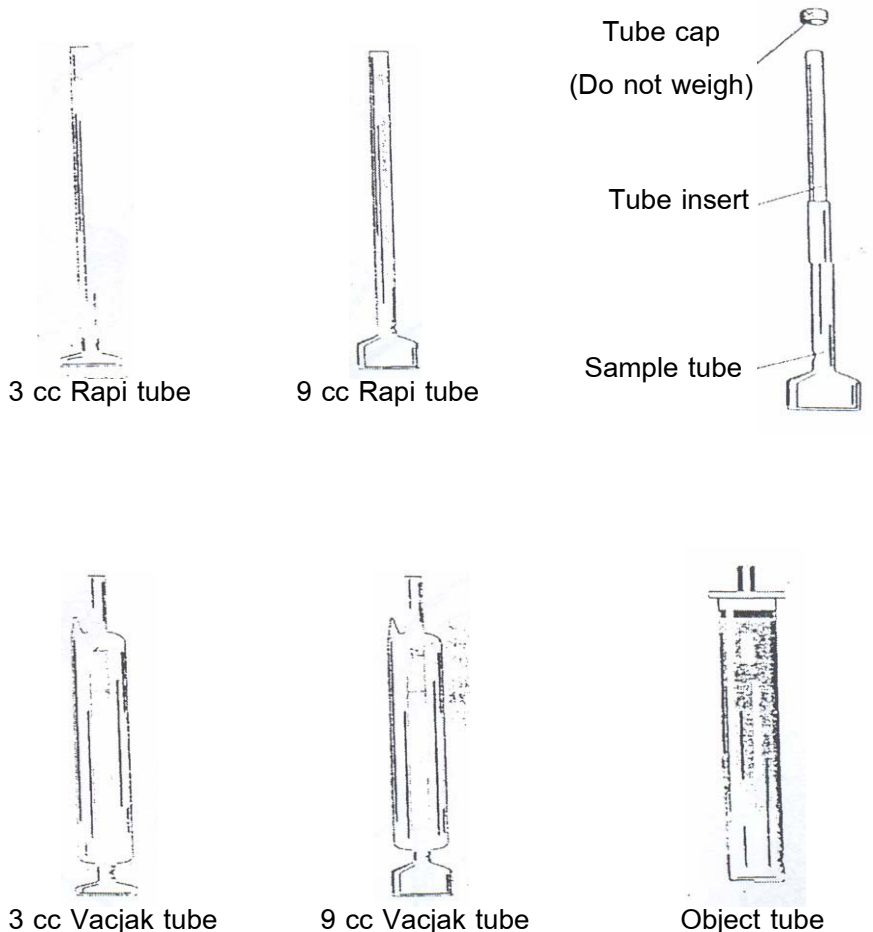
Object tube ใช้กับตัวอย่างที่เป็นของแข็งชิ้นใหญ่

9 cc Rapi tube ใช้งานทั่วไปซึ่งจะสิ้นเปลืองแก๊สมากกว่าขนาด 3 cc

3 cc Rapi tube ใช้งานทั่วไปและประหยัดแก๊ส

Vacjak tube ใช้ในการณ์ที่ตัวอย่างมีรูพรุนมากและใช้เวลาในการวิเคราะห์นานกว่า 8 h

ซึ่งในภาพประกอบภาคผนวกที่ 7 แสดงภาพของหลอดใส่ตัวอย่างชนิดต่างๆ รวมทั้งส่วนประกอบของหลอด



ภาพประกอบภาคผนวกที่ 7 หลอดใส่สารตัวอย่างชนิดต่างๆ และส่วนประกอบของหลอด

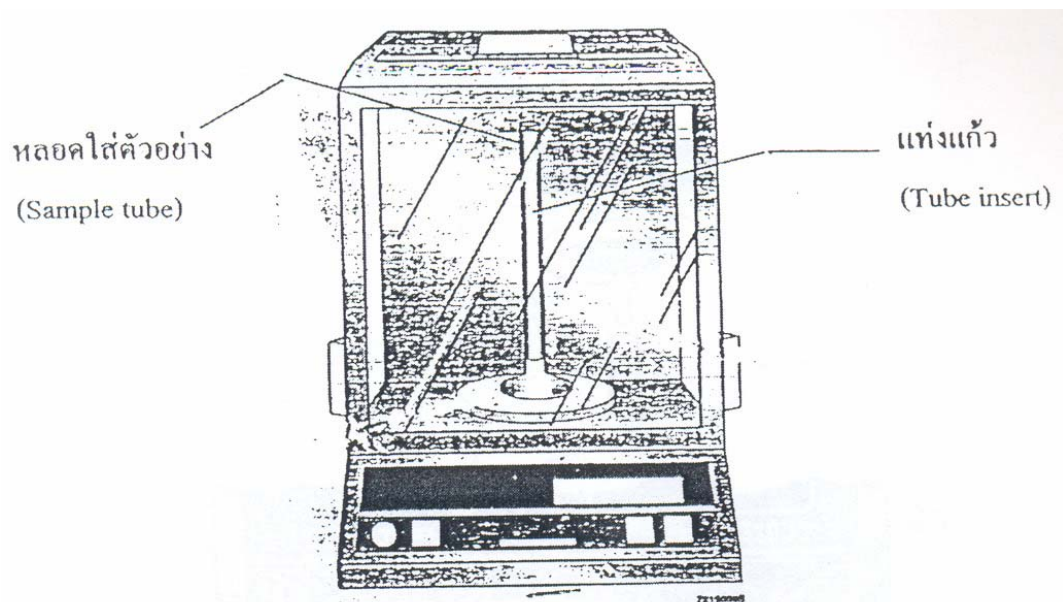
4.2 ชั้งนำหนักหลอดใส่สารตัวอย่างพร้อมหัวแท่งแก้ว (A) ดังแสดงในภาพประกอบภาคผนวกที่ 8

4.3 ชั้งนำหนักสารที่ต้องการทดสอบประมาณ 0.1-0.2 g

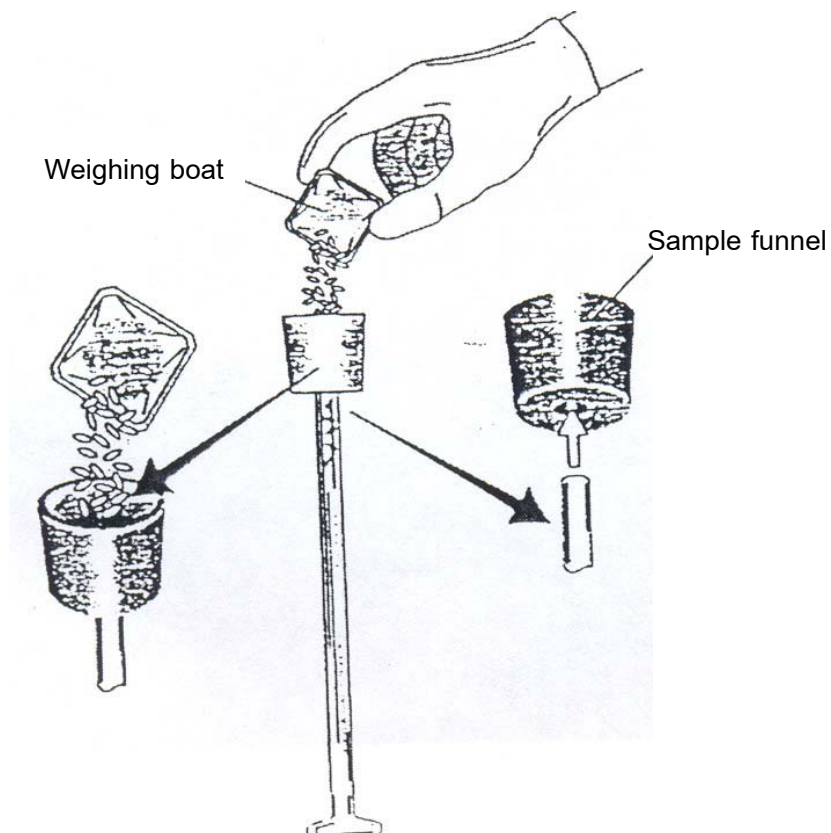
4.4 ดึงแท่งแก้วออกจากหลอดตัวอย่าง แล้วค่อยๆนำสารตัวอย่างชั้งนำหนักโดยประมาณ เทใส่ในหลอดใส่สารตัวอย่างโดยใช้หลอดพลาสติก ค่อยๆเคาะให้ตัวอย่างลงไปในกระ- เปาะแก้วดังแสดงในภาพประกอบภาคผนวกที่ 9 จากนั้นนำแท่งแก้วใส่ลงไปตามเดิม

4.5 นำหลอดตัวอย่างต่อเข้ากับชุดอุปกรณ์สำหรับ outgas ให้ใช้ความร้อนดระวังในการเสียบหลอดตัวอย่างไม่ให้ร้าซึมและเมื่อขันเกลียวจนแน่นเกินไป ดังแสดงในภาพประกอบภาคผนวกที่ 10

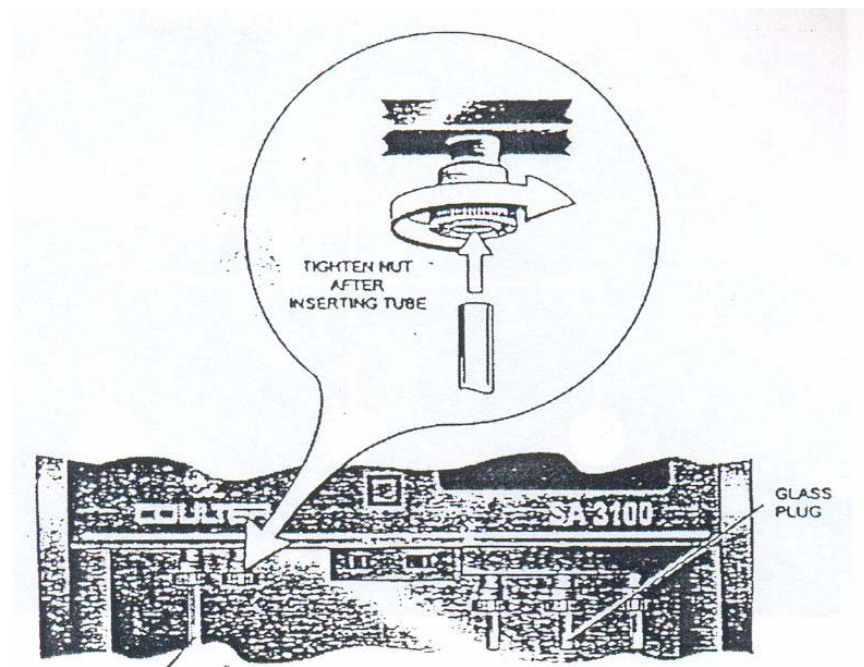
4.6 ตั้งโปรแกรม outgas จากจอมenu โดยใช้นิวแตะสัมผัสที่หน้าจอเลือก outgas จะปรากฏจอ outgas ดังแสดงในภาพประกอบภาคผนวกที่ 11



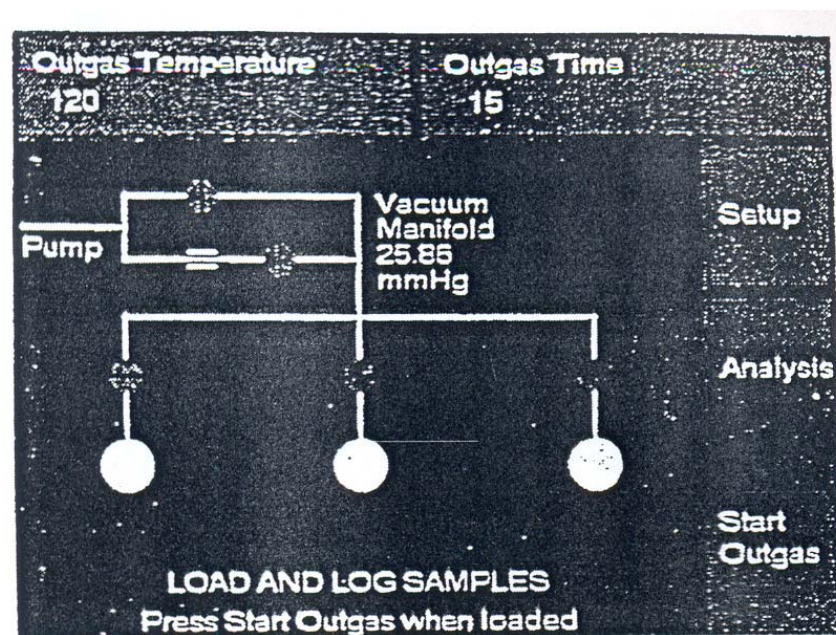
ภาพประกอบภาคพนวกที่ 8 การชั้งน้ำหนักหลอดใส่สารตัวอย่างพร้อมแท่งแก้ว



ภาพประกอบภาคพนวกที่ 9 การเทสารตัวอย่างใส่ในหลอดใส่สารตัวอย่าง

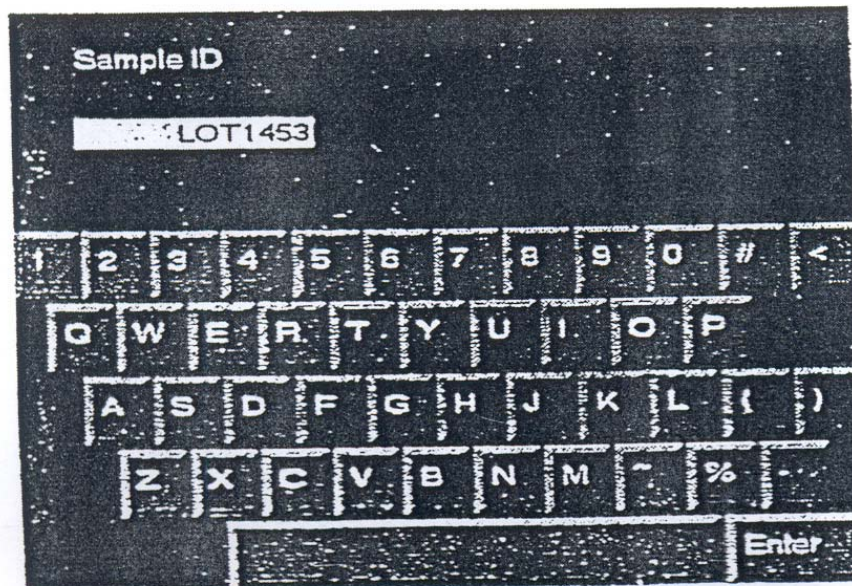


ภาพประกอบภาคผนวกที่ 10 การนำหลอดใส่สารตัวอย่างต่อ กับชุดอุปกรณ์สำหรับ outgas



ภาพประกอบภาคผนวกที่ 11 ภาพหน้าจอ outgas

4.7 เครื่องวิเคราะห์น้ำสามารถ outgas ได้ครั้งละ 3 ตัวอย่าง ซึ่งสามารถตั้งชื่อตัวอย่าง (Sample ID) ได้โดยใช้นิวสัมผัสที่รูปะเบนของภาพ และกรอกข้อมูลของตัวอย่าง เช่น Sample ID ชื่อของตัวอย่างที่ตั้งขึ้น ซึ่งแสดงดังภาพประกอบภาคผนวกที่ 12



ภาพประกอบภาคผนวกที่ 12 ภาพหน้าจอการตั้งชื่อตัวอย่าง

ส่วนข้อมูลอื่นๆ ของสารตัวอย่าง ก็ทำการกรอกเช่นเดียวกัน ซึ่งข้อมูลต่างๆ เหล่านั้น ได้แก่

Customer เจ้าของตัวอย่าง

Operator ผู้วิเคราะห์

Sample wt ยังไม่ต้องกรอกเนื่องจากยังไม่สามารถทราบน้ำหนักที่แท้จริง

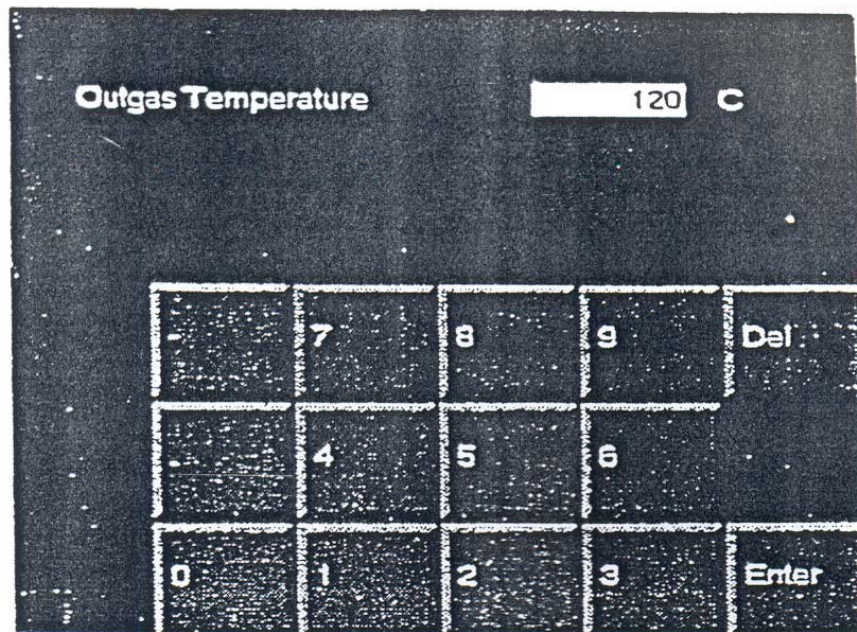
Profile เลือกโปรแกรมที่ต้องการวิเคราะห์ Bet, t-plot ฯลฯ

Max tem ตั้งไว้ไม่เกิน 350°C

จากนั้นกด OK เพื่อกลับไปที่เมนู outgas ทำการตั้งเวลาและอุณหภูมิที่จะ outgas ดังแสดงในภาพประกอบภาคผนวกที่ 13

4.8 เครื่องจะทำการ outgas ตัวอย่าง เมื่ออุณหภูมิของ manifold ถึง 45°C เครื่องจะส่งสัญญาณให้กดปุ่ม outgas

4.9 เมื่อกระบวนการ outgas เสร็จ เครื่องจะบอกสถานะทำงานว่า Outgased ให้กด OK เมื่อต้องการนำหลอดใส่สารตัวอย่างออกจากเครื่องซึ่งใส่ขันตอนนี้หลอดใส่สารตัวอย่างจะร้อน



ภาพประกอบภาคผนวกที่ 13 ภาพหน้าจอการตั้งอุณหภูมิในการ Outgas

4.10 รอให้หลอดใส่สารตัวอย่างเย็นลงเท่าอุณหภูมิห้อง แล้วตึงหลอดใส่สารตัวอย่างออกจากเครื่อง ใช้ฝาจุกสีดำปิดปากหลอดใส่สารตัวอย่างเพื่อป้องกันความชื้นเข้าไปในหลอด

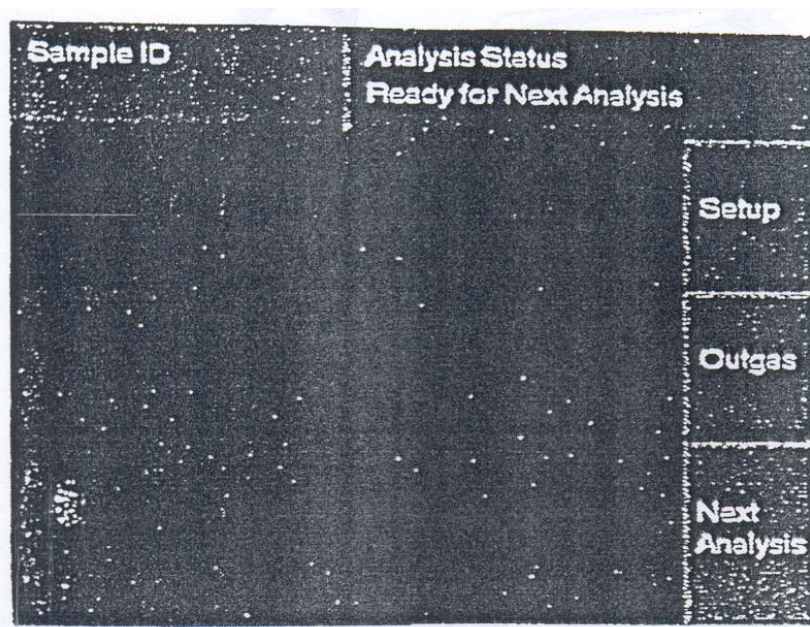
4.11 ชั่งหลอดใส่สารตัวอย่างโดยดึงฝาจุกสีดำออกก่อนชั่ง ทำการจดบันทึกน้ำหนักไว้ (B) ปิดจุกไว้ดังเดิม

4.12 ทำการคำนวนหาค่าน้ำหนักของสารที่จะวิเคราะห์จากสมการด้านล่าง

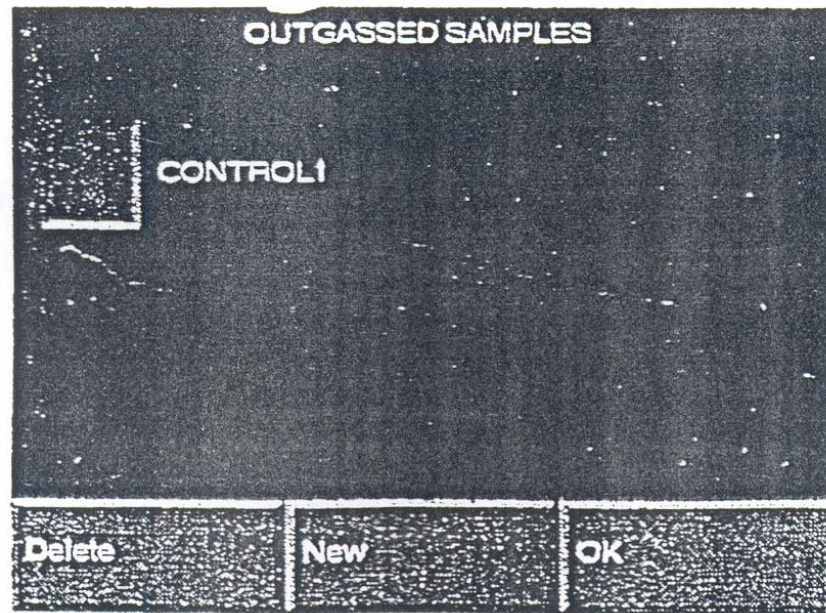
น้ำหนักสารที่วิเคราะห์ น้ำหนักหลอดหลัง outgas (B) – น้ำหนักหลอดก่อนชั่งสาร (A)

5. การวิเคราะห์ตัวอย่าง

5.1 นำตัวอย่างที่ outgas เสร็จแล้ว ใส่ในเครื่องโดยต่อเข้ากับด้านที่ใช้วิเคราะห์สารโดยในการวิเคราะห์แต่ละครั้งจะทำได้ครั้งละ 1 ตัวอย่าง ซึ่งก่อนใส่หลอดสารตัวอย่างเข้าไปในเครื่องต้องใส่สแตนเลสสปริงหุ้มหลอดใส่สารตัวอย่างไว้ก่อนทุกครั้ง เมื่อ Analysis status พร้อมทำการวิเคราะห์แล้วให้กด Next analysis ที่หน้าจอเมนู ดังแสดงในภาพประกอบภาคผนวกที่ 14 จากนั้นจะมีเมนูของตัวอย่างที่ผ่านการ outgas แล้ว (ข้อมูลของตัวอย่างที่ทำการ outgas และจะถูกเก็บไว้โดยอัตโนมัติ) คลิกเลือกตัวอย่างที่จะทำการวิเคราะห์จากเมนูนั้น ดังแสดงในภาพประกอบภาคผนวกที่ 15

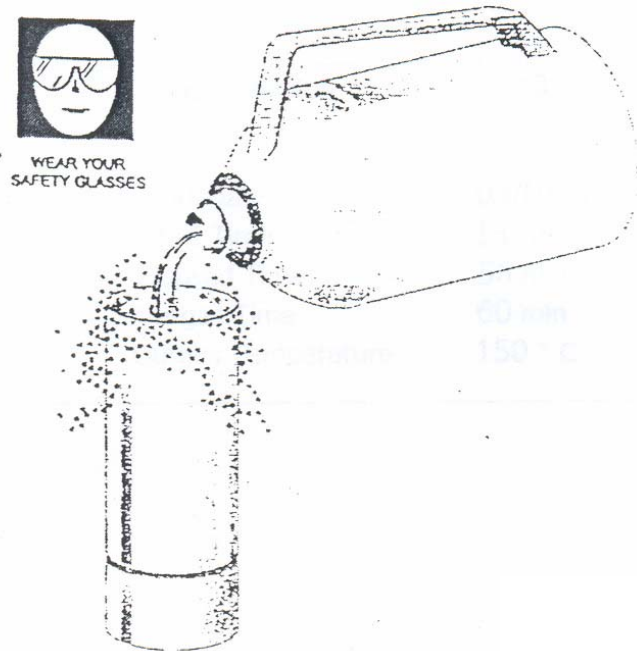


ภาพประกอบภาคผนวกที่ 14 ภาพหน้าจอเมนูก่อนการวิเคราะห์



ภาพประกอบภาคผนวกที่ 15 ภาพหน้าจอข้อมูลของตัวอย่างที่ทำการ Outgas แล้ว

5.2 ข้อมูลที่กรอกไว้ตอน outgas จะปรากฏในแต่ละ sample ID ที่ outgas แล้ว จากนั้นป้อนข้อมูลนำหน้าห้องตัวอย่างที่จะทำการวิเคราะห์ซึ่งได้จากการคำนวนในข้างต้น เมื่อใส่ข้อมูลนำหน้าห้องแล้วกด start analysis เครื่องจะมีคำสั่งให้ใส่ตัวอย่างที่จะวิเคราะห์และเติม ในโตรเจนเหลวลงในกระติก (Dewar) สำหรับใส่ในโตรเจนเหลว ประมาณเกือบเต็มกระติก จากนั้นวางกระติกบนฐานสำหรับวางแล้วปิดฝาครอบให้เรียบร้อย ขณะเทในโตรเจนเหลวต้อง สวมแว่นนิรภัยทุกครั้ง ภาพประกอบภาคผนวกที่ 16 แสดงการเทในโตรเจนเหลวลงในกระติก และการสวมแว่นนิรภัย



ภาพประกอบภาคผนวกที่ 16 การเทในโตรเจนเหลวลงในกระติก

5.3 กด OK เพื่อเริ่มการวิเคราะห์ เครื่องจะทำงานตามโปรแกรมที่ตั้งไว้ เมื่อ วิเคราะห์เสร็จนำเสนอสารตัวอย่างออกจากเครื่อง

5.4 เครื่องจะถามย้ำนำหน้าห้องสารตัวอย่าง หารถูกต้องแล้วกด Yes หากยัง ไม่ถูกต้องกด No และกรอกนำหน้าห้องที่ถูกต้องลงไป เครื่องจะทำการคำนวนผลมาให้

5.5 รอจนการทำงานของเครื่องจบ สามารถปิดสวิทช์ off ได้ทันที แล้วปิดวาล์ว หัวถังแก๊สทุกใบ

ภาคผนวก ค

**การนำเสนอผลงานที่การประชุมเสนอผลงานวิจัยบัณฑิตศึกษาแห่งชาติ ครั้งที่ 8
วันที่ 7-8 กันยายน 2550 ณ มหาวิทยาลัยมหิดล (ศาลายา) จ.นครปฐม**

**การสังเคราะห์ซิลิกาที่มีรูพรุนขนาดมีโซโดยใช้บล็อกโคลอพอลิเมอร์ชนิดไม่มีประจุ P123 และ F127
เป็นแม่แบบ**

ศศินันท์ ทองมาก สาขาวิชาศาสตร์พอลิเมอร์ คณะวิชาศาสตร์ มหาวิทยาลัยสงขลานครินทร์ อ.หาดใหญ่
จ.สงขลา 90112, โทร. 084-0659561, โทรสาร. 074-446925 และ sasinan_10@hotmail.com

จิราภรณ์ ไชยบัญดิษฐ์ สาขาวิชาศาสตร์พอลิเมอร์ คณะวิชาศาสตร์ มหาวิทยาลัยสงขลานครินทร์ อ.หาดใหญ่
จ.สงขลา 90112, โทร.074-288364, โทรสาร. 074-446925 และ chiraphon.c@psu.ac.th

บทนำ

ซิลิกาที่มีรูพรุนขนาดมีโซ คือ ซิลิกาที่มีขนาดเด่นผ่านศูนย์กลางของรูพรุน 2-50 nm (ระบบ IUPAC) ได้มีการสังเคราะห์ขึ้นครั้งแรกในปี 1992 ซึ่งได้ใช้สารลดแรงตึงผิวนิคที่มีประจุบวก (cationic surfactant) คือ cetyltrimethylammonium bromide ($\text{C}_{16}\text{H}_{33}\text{N}^+(\text{CH}_3)_3\text{Br}^-$, CTAB) เป็นแม่แบบ การกันพับดังกล่าวทำให้ซิลิกาที่มีรูพรุนขนาดมีโซได้รับความสนใจและมีการสังเคราะห์กันอย่างแพร่หลาย เนื่องจากสามารถนำมาใช้ประโยชน์ในด้านต่างๆ เช่น ด้านการแยก (separation) ใช้เป็นเฟสอยู่กับที่ (stationary phase) ในเครื่องแยกของเหลวสมรรถนะสูง (high performance liquid chromatography, HPLC) ด้านตัวเร่งปฏิกิริยา (catalysts) ใช้เป็นสารสำหรับให้ตัวเร่งปฏิกิริยาขึ้น ให้กับปฏิกิริยาเกิดได้ขึ้น ใช้เป็นสารแม่แบบในการสังเคราะห์คาร์บอนนาโนทิวบ์ เป็นต้น ในการสังเคราะห์ซิลิกาที่มีรูพรุนนิยมใช้สารลดแรงตึงผิวเป็นแม่แบบเนื่องจาก เมื่อสารลดแรงตึงผิวละลายน้ำและมีความเข้มข้นของสารละลายเท่ากันหรือมากกว่าค่าความเข้มข้นิกฤตของไนเซลล์ (critical micelle concentration, cmc) โมเลกุลของสารลดแรงตึงผิวจะรวมตัวเกิดเป็นไนเซลล์ โดยจะเกิดขึ้นอย่างไม่เป็นระเบียบ จนกระทั่งความเข้มข้นของสารละลายสูงขึ้นมากกว่าค่า cmc ไนเซลล์จะรวมกลุ่มกันอย่างเป็นระเบียบเกิดเป็นโครงสร้างแบบต่างๆ ขึ้นอยู่กับชนิดของสารลดแรงตึงผิวที่นำมาเป็นแม่แบบ สารลดแรงตึงผิวที่นำมาเป็นแม่แบบนั้นสามารถจำแนกได้เป็นประเภทต่างๆ เช่น สารลดแรงตึงผิวนิคที่ส่วนหัวมีประจุลบ (anionic surfactant) สารลดแรงตึงผิวประเภทเอมินที่เป็นกลวง สารลดแรงตึงผิวพอลิเอทธิลีนออกไซด์ที่ไม่มีข้าวและบล็อกโคลอพอลิเมอร์ นอกจากสารลดแรงตึงผิวที่ใช้เป็นแม่แบบแล้วปัจจัยอื่นๆ ในการสังเคราะห์ก็ยังมีผลต่อโครงสร้างและขนาดรูพรุนของซิลิกาด้วย เช่น Yamada และคณะ(1) พบร่วมกับอุณหภูมิในการสังเคราะห์เพิ่มขึ้นขนาดรูพรุนของซิลิกาที่เพิ่มขึ้นด้วย Ma และคณะ(2) พบร่วมกับ ethanol (EtOH) มีผลทำให้ซิลิกามีรูปร่างที่เป็นทรงกลม นอกจากนี้ยังมีปัจจัยอื่นๆ ที่มีผลต่อคุณลักษณะของซิลิกา ดังนั้นในงานวิจัยนี้จึงได้ทำการศึกษาถึงปัจจัยต่างๆ ที่มี

ผลต่อโครงสร้างและขนาดรูปรุนของชิลิกาเพิ่มเติมจากการวิจัยต่างๆที่ผ่านมาโดยใช้ pluronics P123($E_{20}P_{70}E_{20}$) และ pluronics F127($E_{106}P_{70}E_{106}$) เป็นแม่แบบร่วมกัน สารทั้ง 2 ตัวนี้เป็นไตรบลีกโภคอลิเมอร์ ชนิด $E_mP_nE_m$ เป็นการรวมตัวกันของส่วนที่ละลายน้ำได้ (hydrophilic part) คือ oxyethylene(OCH_2CH_2) เอียนแทนด้วย E กับส่วนที่ไม่ละลายน้ำ (hydrophobic part) คือ oxypropylene ($OCH_2CH(CH_3)$) เอียนแทนด้วย P เมื่อ m และ n คือหน่วยที่ซ้ำกัน โดยพอลิเมอร์นี้มีสมบัติเป็นสารลดแรงตึงผิวนินที่ไม่มีประจุและในการทดลองได้ใช้ tetraethyl orthosilicate (TEOS) เป็นแหล่งให้ชิลิกา มีการแปรอัตราส่วนโดยไม่คงของ P123:F127 ศึกษาถึงผลของการเข้มข้นกรดไฮโดรคลอริก ชนิดและความเข้มข้นของเกลืออนินทรีที่เติมลงไปในระบบการสังเคราะห์ ความเข้มข้นของสารลดแรงตึงผิว.r ความเข้มข้นของ EtOH และเวลาที่ใช้ในการสังเคราะห์

วัตถุประสงค์

ทำการสังเคราะห์ชิลิกาที่มีรูปรุนขนาดมิใช่โดยใช้บลีกโภคอลิเมอร์ของเอทิลีนออกไซด์ และโพรพลีนออกไซด์ P123 และ F127 เป็นแม่แบบ และศึกษาอิทธิพลของปัจจัยต่างๆในการสังเคราะห์ที่มีผลต่อคุณลักษณะของชิลิกา เช่น ความเข้มข้นของกรดไฮโดรคลอริก ชนิดและความเข้มข้นของเกลืออนินทรี ความเข้มข้นของสารลดแรงตึงผิว.r ความเข้มข้นของเอทเทานอลและเวลาที่ใช้ในการสังเคราะห์

วิธีการวิจัย

1. สารเคมี

สารลดแรงตึงผิวที่ใช้เป็นแม่แบบ pluronics P123($E_{20}P_{70}E_{20}$) และ pluronics F127($E_{20}P_{70}E_{20}$) สารลดแรงตึงผิวที่ใช้เป็นแม่แบบ cetyltrimethylammonium bromide(CTAB) แหล่งให้ชิลิกา tetraethyl orthosilicate (TEOS) เกลือโพแทสเซียมคลอไรด์(Potassium chloride; KCl, A.R.) และเกลือไฮเดรียมซัลไฟต์ (Sodium sulphate; Na_2SO_4 , A.R.) กรดไฮโดรคลอริก(Hydrochloric acid; HCl) เอทเทานอล(Ethanol; EtOH) และน้ำกลั่น

2. วิธีการสังเคราะห์

ทั้ง P123 และ F127 ที่อัตราส่วนโดยไม่คงของ P123:F127 = 1:9 (ตัวอย่างที่ 1 และ 5) P123:F127 = 3:7 (ตัวอย่างที่ 2, 6 และ 9-29) P123:F127 = 5:5 (ตัวอย่างที่ 3 และ 7) P123:F127 = 7:3 (ตัวอย่างที่ 4 และ 8) เติม Na_2SO_4 0.3M (ตัวอย่างที่ 1-8) เติม Na_2SO_4 0.1M (ตัวอย่างที่ 10 และ 14-24) เติม Na_2SO_4 0.5M (ตัวอย่างที่ 11) เติม KCl 0.1M (ตัวอย่างที่ 12) เติม KCl 0.5M (ตัวอย่างที่ 13) เติม CTAB เพื่อเป็นสารลดแรงตึงผิว.r รวมที่อัตราส่วนโดยไม่คงของ CTAB:(P123+F127) = 1.7, 2.0, 2.3, 2.6 และ 2.9 (ตัวอย่างที่ 14, 15, 16, 17 และ 18 ตามลำดับ) เติมกรด HCl 0.3M ปริมาณ 30 mL (ตัวอย่างที่ 1-4) และเติมกรด HCl 0.5M ปริมาตร 30 mL (ตัวอย่างที่ 5-24) เติมเอทเทานอล (EtOH) เพื่อเป็นตัวทำละลายร่วมที่อัตราส่วนโดยไม่คงของ $H_2O:EtOH = 1:1.9$ (ตัวอย่างที่ 19) $H_2O:EtOH = 1:2.2$ (ตัวอย่างที่ 20) $H_2O:EtOH = 1:5.5$ (ตัวอย่างที่ 21) และ $H_2O:EtOH = 1:7.3$ (ตัวอย่างที่ 22) เติมน้ำกลั่นปริมาณ 13 mL สำหรับทุกตัวอย่าง จากนั้นทำการกวนสารละลายจนเป็นเนื้อเดียวกันแล้วเติม TEOS โดยใช้

อัตราส่วนโดยน้ำหนักของ TEOS:(P123+F127) = 4:1 สำหรับทุกตัวอย่าง กวนสารละลายเป็นเวลา 15 นาที นำสารละลายไปอบที่อุณหภูมิ 35°C เป็นเวลา 24 ชั่วโมง ยกเว้นตัวอย่างที่ 22 อบไว้เป็นเวลา 48 ชั่วโมง เนื่องจากเกิดปฏิกิริยาซ้า จากนั้นนำสารใส่ในขวดเทฟลอนแล้วนำไปอบที่อุณหภูมิ 100°C เป็นเวลา 24 ชั่วโมง ยกเว้นตัวอย่างที่ 23 อบไว้เป็นเวลา 3 วันและตัวอย่างที่ 24 อบไว้เป็นเวลา 5 วัน จากนั้นนำขวดเทฟลอนมาวางไว้ให้เย็นลงที่อุณหภูมิห้องแล้วกรองตะกอนที่ได้และเก็บตะกอนไว้ที่อุณหภูมิห้องเป็นเวลา 24 ชั่วโมง นำตะกอนไปอบแห้งที่อุณหภูมิ 40°C เป็นเวลา 24 ชั่วโมง เพาตะกอนเอาพอลิเมอร์ที่เป็นแม่แบบออกเพื่อให้ชิลิกาเกิดเป็นรูพรุนที่อุณหภูมิ 550°C เป็นเวลา 6 ชั่วโมง โดยใช้อัตราการเพิ่มของอุณหภูมิเป็น 2°C ต่อนาทีและให้อาศาพ่านตลอดเวลา จากนั้นนำชิลิกาที่ได้ไปตรวจสอบคุณลักษณะด้วยเครื่องวิเคราะห์ต่างๆ ต่อไป

3. การตรวจสอบคุณลักษณะของชิลิกา

กล้องจุลทรรศน์อิเล็กตรอนแบบส่องกล้อง(scanning electron microscope; SEM) รุ่น JSM-5800LV, JEOL ใช้วิเคราะห์โครงสร้างภายนอกของชิลิกาที่มีรูพรุน เครื่องเลือบเวบันรังสีเอกซ์(X-ray diffraction; XRD) รุ่น D8discover Bruker AXS ใช้วิเคราะห์โครงสร้างของชิลิกาที่มีรูพรุน โดยใช้ CuK α เป็นแหล่งกำเนิดรังสีเอกซ์ ซึ่งมีค่า $\lambda = 0.154 \text{ nm}$ และใช้ค่า 2θ อยู่ในช่วง 0.3° ถึง 5° องศา เครื่องวิเคราะห์พื้นที่ผิว รุ่น Coulter SA3100 โดยตัวอย่างจะถูกไอล์แก๊ส (de Gas) ที่ 150°C เป็นเวลา 1 ชั่วโมง

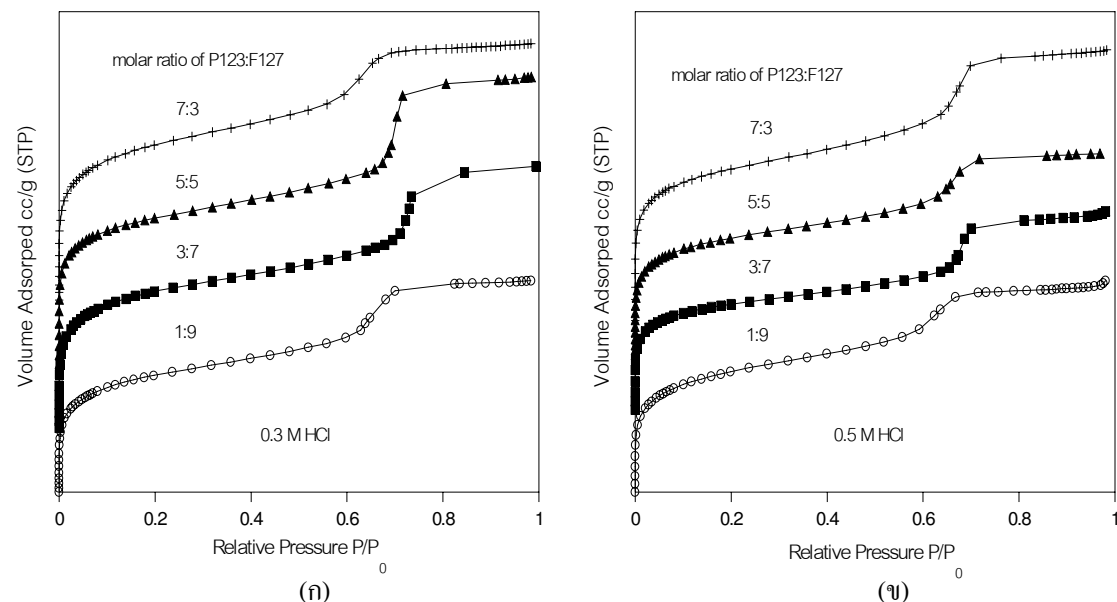
ผลการวิจัย

การวิเคราะห์ตัวอย่างที่ 1-8, 9-13, 14-18, 19-22 และ 23-24 ด้วยเครื่องวิเคราะห์พื้นที่ผิวได้ค่าพื้นที่ผิว(A) ปริมาตรรูพรุนขนาดมีโซ(V_{meso}) ปริมาตรรูพรุนรวม(V_{pore}) และรัศมีรูพรุนของชิลิกา(r_p) ดังแสดงในตารางที่ 1, 2, 3, 4 และ 5 ตามลำดับ และได้กราฟ adsorption isotherms ของตัวอย่างที่ 1-24 เป็นกราฟไอโซเทอร์มชนิดที่ 4 ซึ่งเป็นลักษณะของวัสดุที่มีรูพรุนขนาดมีโซ โดยในภาพประกอบที่ 1(ก) และ 1(ข) แสดงตัวอย่างลักษณะกราฟไอโซเทอร์มนิดที่ 4 ซึ่งเป็นของตัวอย่างที่ 1-8 จากการวิเคราะห์ตัวอย่างที่ 9-13, 14-18, 19-22 และ 23-24 ด้วยเครื่อง XRD ได้ลักษณะของพื้กดังแสดงในภาพประกอบที่ 3(ก), 3(ข), 3(ค) และ 3(ง) ได้ค่า d-spacing ดังแสดงในตารางที่ 2, 3, 4 และ 5 ตามลำดับ ส่วนในภาพประกอบที่ 2 แสดงตัวอย่างภาพ SEM ของชิลิกาที่สังเคราะห์เพื่อศึกษาอิทธิพลของความเข้มข้นกรดไฮโคลอเรตและภาพประกอบที่ 4 แสดงตัวอย่างภาพ SEM ของชิลิกาที่สังเคราะห์เพื่อศึกษาอิทธิพลของความเข้มข้นและชนิดของเกลืออนินทรี

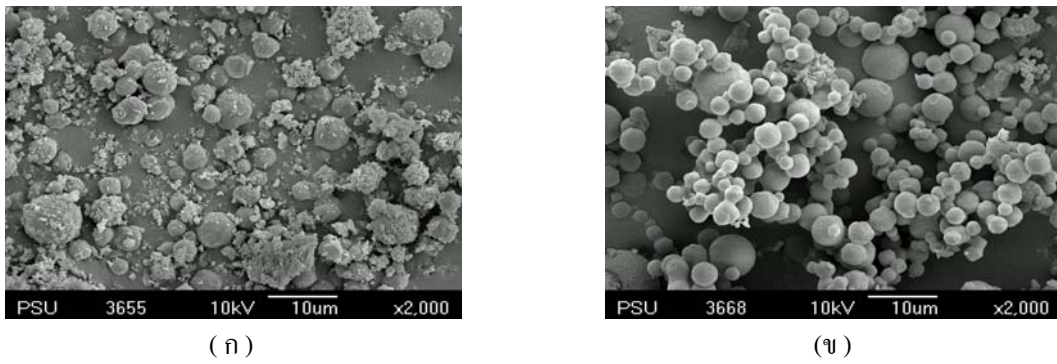
ตารางที่ 1 สมบัติพื้นที่ผิวและรัศมีรูพรุนของชิลิกาที่สังเคราะห์เพื่อศึกษาอิทธิพลของความเข้มข้นกรด HCl และอัตราส่วนโดยโมลของ P123:F127 โดยใช้อัตราส่วนโดยโมลของ P123:F127 ที่แตกต่างกันเป็นแม่แบบ ใช้ 0.3M HCl (ตัวอย่างที่ 1-4) และ 0.5M HCl (ตัวอย่างที่ 5-8)

Sample No.	Molar ratio P123:F127	A^a (m^2/g)	V_{meso}^b (cm^3/g)	V_{pore}^c (cm^3/g)	r_p^d (nm)
1	1:9	539	0.31	0.43	3.70
2	3:7	758	0.49	0.63	4.38
3	5:5	958	0.62	0.75	3.97
4	7:3	604	0.33	0.45	3.75
5	1:9	626	0.36	0.46	3.40
6	3:7	861	0.46	0.61	3.86
7	5:5	651	0.40	0.50	3.79
8	7:3	778	0.44	0.61	3.70

^aค่าพื้นที่ผิว ^bปริมาตรรูพรุนขนาดมีໂizo ^cปริมาตรรูพรุนรวม ^dรัศมีรูพรุนของชิลิกา



ภาพประกอบที่ 1 Adsorption isotherms ของชิลิกาที่สังเคราะห์เพื่อศึกษาอิทธิพลของความเข้มข้นกรด HCl และอัตราส่วนโดยโมลของ P123:F127 (ก)ใช้ 0.3M HCl (ข)ใช้ 0.5M HCl

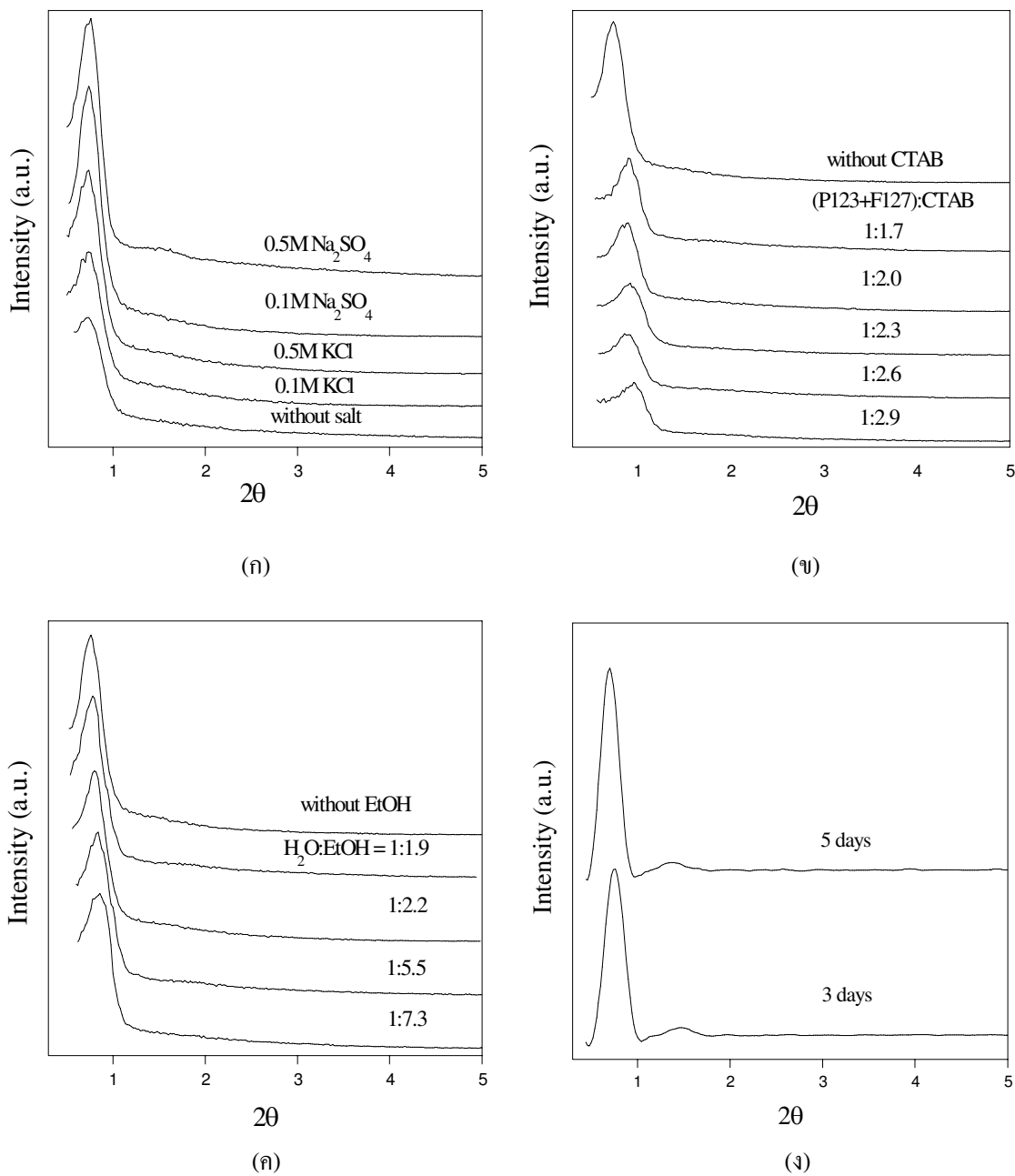


ภาพประกอบที่ 2 ภาพ SEM ของชิลิกาที่สังเคราะห์โดยใช้อัตราส่วนโดยไม่ลงของ P123:F127 = 10:90
(ก)ใช้ 0.3M HCl (ข)ใช้ 0.5M HCl

ตารางที่ 2 สมบัติพื้นที่ผิว รัศมีรูพรุนและค่า d-spacinc ของซิลิกาที่สังเคราะห์เพื่อศึกษาอิทธิพลของความเข้มข้น และชนิดของเกลืออนินทรีย์ ซึ่งใช้อัตราส่วนโดยไมลของ P123 :F127 = 3:7 ใช้ 0.5 M HCl ใช้ชนิดและความเข้มข้นของเกลืออนินทรีย์ที่แตกต่างกัน

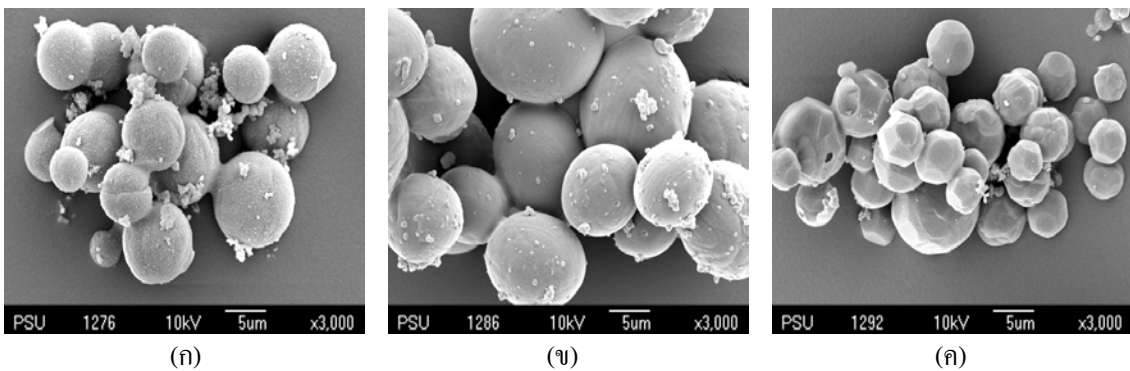
Sample No.	Kind and concentration of inorganic salts	A ^a (m ² /g)	V _{meso} ^b (cm ³ /g)	V _{pore} ^c (cm ³ /g)	r _p ^d (nm)	d ₁₀₀ (nm)
9	-	566	0.38	0.48	4.81	12.42
10	0.1M Na ₂ SO ₄	802	0.52	0.68	3.92	11.76
11	0.5M Na ₂ SO ₄	975	0.63	0.76	3.81	11.61
12	0.1M KCl	1082	0.69	0.85	3.97	12.08
13	0.5M KCl	935	0.61	0.74	3.86	11.92

^aค่าพื้นที่ผิว ^bปริมาตรรูปทรงสามมิติ ^cปริมาตรรูปทรงรวม ^dค่ารัศมีรูปทรงของชิลิกา



ภาพประกอบที่ 3 ผล XRD ของ

- (ก) ชิลิการที่สังเคราะห์เพื่อศึกษาอิทธิพลของความเข้มข้นและชนิดของเกลืออนินทรีย์
- (ข) ชิลิการที่สังเคราะห์เพื่อศึกษาอิทธิพลความเข้มข้นของ CTAB
- (ค) ชิลิการที่สังเคราะห์เพื่อศึกษาอิทธิพลความเข้มข้นของ ethanol
- (ง) ชิลิการที่สังเคราะห์เพื่อศึกษาอิทธิพลของเวลาในการอบสารตัวอย่างที่อุณหภูมิ 100°C



ภาพประกอบที่ 4 ภาพ SEM ของเซลลิกาที่สังเคราะห์เพื่อศึกษาอิทธิพลของความเข้มข้นและชนิดของเกลืออนินทรีย์ (ก) ตัวอย่างที่ 9 ซึ่งไม่มีการเติมเกลืออนินทรีย์ (ข) ตัวอย่างที่ 11 เติม 0.5M Na_2SO_4 (ค) ตัวอย่างที่ 13 เติม 0.5M KCl

ตารางที่ 3 สมบัติพื้นที่ผิว รัศมีรูพรุนและค่า d-spacings ของชิลิกาที่สังเคราะห์เพื่อศึกษาอิทธิพลของการเข้มข้นของสารลดแรงตึงผิวรวม โดยใช้อัตราส่วนโดยไมลของ P123 : F127 = 3:7 ใช้ 0.5 M HCl ใช้ 0.1M Na₂SO₄ และเติม CTAB ที่อัตราส่วนโดยไมลของ(P123+F127):CTAB ต่างกัน

Sample No.	Molar ratio of CTAB	A ^a (m ² /g)	V _{meso} ^b (cm ³ /g)	V _{pore} ^c (cm ³ /g)	r _p ^d (nm)	d ₁₀₀ (nm)
14	1.7	757	0.43	0.55	3.66	9.80
15	2.0	804	0.50	0.60	3.19	9.80
16	2.3	755	0.48	0.57	3.11	9.69
17	2.6	782	0.50	0.58	2.97	9.59
18	2.9	809	0.52	0.61	2.89	9.19

^aค่าพื้นที่ผิว ^bปริมาตรรพนขนาดมีโฉ ^cปริมาตรรพนรวม ^dค่าร์คิมรพนของชิลิกา

ตารางที่ 4 สมบัติพื้นที่ผิว รัศมีรูพรุนและค่า d-spacinc ของชิลิกาที่สังเคราะห์เพื่อศึกษาอิทธิพลความเข้มข้นของ ethanol ซึ่งใช้อัตราส่วนโดยโมลของ P123:F127 = 3:7 ใช้ 0.5 M HCl ใช้ 0.1M Na_2SO_4 และเติม EtOH ที่อัตราส่วนโดยโมลของ $\text{H}_2\text{O}:\text{EtOH}$ ต่างๆกัน

Sample No.	Molar ratio H ₂ O:EtOH	A ^a (m ² /g)	V _{meso} ^b (cm ³ /g)	V _{pore} ^c (cm ³ /g)	r _p ^d (nm)	d ₁₀₀ (nm)
19	1:1.9	931	0.57	0.70	3.70	11.45
20	1:2.2	887	0.54	0.65	3.59	11.31
21	1:5.5	973	0.57	0.67	3.08	10.50
22	1:7.3	770	0.50	0.58	2.97	10.26

^a ค่าพื้นที่ผิว ^b ปริมาตรของน้ำดื่ม ^c ปริมาตรของรูป ^d ค่ารัศมีของรูปที่คลิก

ตารางที่ 5 สมบัติพื้นที่ผิว รัศมีรูพรุนและค่า ρ -spacings ของชิลิกาที่สังเคราะห์โดยใช้อัตราส่วนโดยโมลของ P123:F127 = 30:70 ใช้ 0.5 M HCl ใช้ 0.1M Na₂SO₄ และใช้เวลาในการอบสารตัวอย่างที่อุณหภูมิ 100°C ต่างๆ กัน

Sample No.	Time for heat (day)	A ^a (m ² /g)	V _{meso} ^d (cm ³ /g)	V _{pore} ^e (cm ³ /g)	r _p ^g (nm)	d ₁₀₀ (nm)
23	3	909	0.70	0.75	4.11	11.92
24	5	1176	0.95	0.99	4.21	12.42

^aค่าพื้นที่ผิว ^bปริมาตรรูพรุนขนาดมีโซ่ ^cปริมาตรรูพรุนรวม ^dค่ารัศมีรูพรุนของชิลิกา

บทวิจารณ์

จากการวิเคราะห์ตัวอย่างที่ 1-8 ด้วยเครื่องวิเคราะห์พื้นที่ผิวและขนาดของรูพรุน พบว่าที่ความเข้มข้น 0.3M HCl เมื่ออัตราส่วนโดยโมลของ P123:F127 เพิ่มขึ้นจาก 1:9 เป็น 3:7 ขนาดของรูพรุนเพิ่มขึ้นแต่เมื่ออัตราส่วนเพิ่มขึ้นอีกจาก 3:7 เป็น 7:3 ขนาดของรูพรุนจะลดลงดังแสดงในตารางที่ 1 ซึ่งในช่วงแรกอาจเนื่องมาจากการของ P123 มีส่วนที่ขอบน้ำ (E block) น้อยกว่า F127 ซึ่งเมื่อส่วนที่ขอบน้ำลดลงจะทำให้จำนวนบล็อกไฮโพลิเมอร์ในไมเซลล์เพิ่มขึ้น ทำให้ไมเซลล์มีขนาดเพิ่มขึ้น รูพรุนของชิลิกาจึงมีขนาดเพิ่มขึ้นด้วย ส่วนในช่วงที่สองนั้นอาจเป็นผลมาจากการเมื่ออัตราส่วนของ P123 เพิ่มขึ้นทำให้ส่วนของ corona ในไมเซลล์ซึ่งเป็นส่วนที่ขอบน้ำมีความยาวลดลง ไมเซลล์มีขนาดเล็กลง รูพรุนของชิลิกาจึงมีขนาดเล็กลงด้วย นอกจากนี้ยังพบว่าเมื่อความเข้มข้นของ HCl ลดลงจาก 0.5M เป็น 0.3M ขนาดรูพรุนของชิลิกาจะเพิ่มขึ้น เนื่องจากการทำหน้าที่เร่งการเกิดปฏิกิริยาไฮโดรไอลิซิสของชิลิกา เมื่อความเข้มข้นของกรดลดลงปฏิกิริยาไฮโดรไอลิซิสของชิลิกาจะเกิดช้าลง ชิลิกาที่จะไปจับกับสารลดแรงตึงผิวที่จะเกิดขึ้นช้าลงทำให้สารลดแรงตึงผิวมีเวลาในการรวมตัวเกิดเป็นไมเซลล์มากขึ้น ทำให้ได้ไมเซลล์ที่มีขนาดเพิ่มขึ้น รูพรุนของชิลิกาจึงมีขนาดเพิ่มขึ้นด้วย

จากการภาพถ่าย SEM ของตัวอย่างที่ 1-8 พบว่าโดยรวมแล้วรูปร่างของชิลิกาที่ได้เป็นทรงกลม เนื่องมาจากกรดที่ใช้ในการสังเคราะห์นั้นมีความเข้มข้นต่ำซึ่งกรดจะทำหน้าที่เป็นตัวเร่งปฏิกิริยาไฮโดรไอลิซิสของชิลิกา เมื่อความเข้มข้นของกรดต่ำชิลิกาจะเกิดการไฮโดรไอลิซช้าทำให้พอลิเมอร์ที่ใช้เป็นแม่แบบมีเวลาในการรวมตัวเกิดเป็นไมเซลล์มากขึ้นเป็นการเพิ่มความโถ้งให้กับพื้นผิวทำให้เกิดเป็นรูปร่างแบบทรงกลมมากขึ้น เมื่อเปรียบเทียบตัวอย่างที่ใช้อัตราส่วนโดยโมลของ P123:F127 เท่ากันพบว่าที่ 0.3M HCl จะมีชิลิกาที่เป็นที่รู้ปร่างไม่เป็นทรงกลมมากกว่าที่ 0.5M HCl ดังแสดงในภาพประกอบที่ 2 เนื่องจากเมื่อใช้ 0.3M HCl ชิลิกาจะเกิดการไฮโดรไอลิซช้ามากจึงทำให้เหลือชิลิกาที่แข็งไม่ได้จับกับสารลดแรงตึงผิวอยู่มาก

จากการวิเคราะห์ด้วยเครื่อง XRD พบว่าพื้นของตัวอย่างที่เติมเกลือ Na₂SO₄ จะแคบและสูงกว่าพื้นของตัวอย่างที่เติมเกลือ KCl และพื้นของตัวอย่างที่เติม KCl ก็จะแคบและสูงกว่าพื้นของตัวอย่างที่ไม่มีการเติมเกลืออนินทรีย์ ดังแสดงในภาพประกอบที่ 3(ก) ซึ่งสอดคล้องกับงานวิจัยของ Zhan¹⁴ และคณะ⁽⁴⁾ ที่พบว่า KCl จะเพิ่มความเป็นระเบียบให้กับโครงสร้างของชิลิกา

จะเห็นว่าโครงสร้างของซิลิกาที่สังเคราะห์โดยมีการเติมเกลือ Na_2SO_4 นั้นจะมีความเป็นระเบียบมากที่สุดคือมีการจัดเรียงตัวของรูพรุนที่สม่ำเสมอ แล้วตามมาด้วยตัวอย่างที่เติมเกลือ KCl และตัวอย่างที่ไม่เติมเกลือจะมีความเป็นระเบียบต่ำที่สุด ส่วนตัวอย่างที่มีการเติมเกลือชนิดเดียวกันพบว่าตัวอย่างที่เติมเกลือ 0.1M Na_2SO_4 จะมีพิกที่มีความสูงและแคบใกล้เคียงกับตัวอย่างที่เติม 0.5M Na_2SO_4 แต่ตัวอย่างที่เติมเกลือ 0.1M KCl จะมีพิกที่กว้างและต่ำกว่าที่เติม 0.5M HCl แต่ความแตกต่างนั้นไม่มากนัก ส่วนค่า d-spacinc ที่คำนวณจากสมการ $\lambda = 2ds\sin\theta$ พบว่าตัวอย่างที่ไม่เติมเกลืออนินทรีย์จะมีค่า d-spacinc มากที่สุด ตามด้วยตัวอย่างที่เติม 0.1M Na_2SO_4 ตัวอย่างที่เติม 0.5M Na_2SO_4 ตัวอย่างที่เติม 0.1M KCl และตัวอย่างที่เติม 0.5M KCl จะมีค่า d-spacinc น้อยที่สุดดังแสดงในตารางที่ 2 จากภาพถ่าย SEM ของตัวอย่างที่ 9-13 พบว่าตัวอย่างที่มีการเติม KCl จะได้รูปร่างของซิลิกาที่มีลักษณะที่เป็นเหลี่ยม ส่วนตัวอย่างที่มีการเติม Na_2SO_4 และตัวอย่างที่ไม่มีการเติมเกลืออนินทรีย์จะได้รูปร่างของซิลิกาที่มีลักษณะที่เป็นทรงกลมดังแสดงในภาพประกอบที่ 4

การศึกษาอิทธิพลของสารลดแรงตึงผิวรวม(cosurfactant)ชั่งทำการวิเคราะห์ตัวอย่างที่ 14-18 ด้วยเครื่องวิเคราะห์พื้นที่ผิวและขนาดของรูพรุนพบว่าเมื่ออัตราส่วนของ CTAB เพิ่มขึ้น ขนาดของรูพรุนจะลดลง ค่า d-spacinc ก็จะลดลงด้วยดังแสดงในตารางที่ 3 เนื่องจาก CTAB มีความเป็นขั้วน้ำมากเมื่อเข้าไปรวมด้วยเกลือเป็นไมเซลล์รวมอยู่กับ P123 และ F127 จะทำให้ไมเซลล์นั้นมีความชอบน้ำมากขึ้นเพื่อเปรียบเทียบกับไมเซลล์ที่ไม่มี CTAB รวมอยู่ด้วย เมื่อความชอบน้ำเพิ่มมากขึ้นจนกระทั่งทำให้ไมเซลล์แตกออกอ ก็จะทำให้ไมเซลล์มีขนาดเล็กลง ด้วยเหตุนี้เมื่อซิลิกามาจับกับไมเซลล์ที่มีขนาดเล็กแล้วพาสารลดแรงตึงผิวที่เป็นไมเซลล์ขนาดเล็กนั้นออก ก็จะเป็นผลให้ขนาดรูพรุนของซิลิกาลดลงด้วย จากการวิเคราะห์ด้วยเครื่อง XRD พบว่าเมื่ออัตราส่วนของ CTAB เพิ่มขึ้น พิคจะกว้างและต่ำลงดังแสดงในภาพประกอบที่ 3(ข) แสดงว่าความเป็นระเบียบของโครงสร้างลดลง เนื่องจากเมื่อปริมาณของส่วนที่ชอบน้ำเพิ่มขึ้นมากทำให้ไมเซลล์แตกออก จะเป็นการทำลายความสม่ำเสมอ ของโครงสร้างซิลิกา ซึ่งจะสอดคล้องกับงานวิจัยของ Zhan และคณะ(4) ที่ใช้ P123 เป็นแม่แบบร่วมกับ CTAB ในการสังเคราะห์ซิลิกาและพบว่าเมื่ออัตราส่วนโดยไมลของ CTAB เพิ่มขึ้นขนาดของรูพรุนและความเป็นระเบียบของโครงสร้างซิลิกาจะลดลง

การศึกษาอิทธิพลของตัวทำละลายร่วม(cosolvent)ชั่งเมื่อทำการวิเคราะห์ตัวอย่างที่ 19-22 ด้วยเครื่องวิเคราะห์พื้นที่ผิวและขนาดของรูพรุนพบว่าเมื่ออัตราส่วนของ EtOH เพิ่มขึ้นค่ารัศมีรูพรุนของซิลิกาจะลดลงและค่า d-spacinc ก็จะลดลงด้วยดังแสดงในตารางที่ 4 เนื่องจาก EtOH มีผลต่อการลดอัตราการเกิดปฏิกิริยา ไฮโดรไลซิสของแหล่งให้ซิลิกาทำให้ซิลิกาไปจับกับสารลดแรงตึงผิวได้ช้าลง พอลิเมอร์ที่ใช้เป็นแม่แบบจึงมีเวลาในการรวมตัวเกิดเป็นไมเซลล์เพิ่มขึ้นแต่เมื่อความเข้มข้นของ EtOH เพิ่มขึ้นไมเซลล์จะมีขนาดใหญ่ขึ้น จนกระทั่งแตกออกและเกิดเป็นไมเซลล์ที่มีขนาดเล็กลงดังนั้นจึงทำให้รูพรุนมีขนาดเล็กลง ซึ่งจะสอดคล้องกับงานวิจัยของ Katiyar และคณะ(3) ที่พบว่าเมื่อเพิ่มปริมาณของ EtOH จาก 20 ml เป็น 30 ml และ 40 ml จะทำให้รูพรุนของซิลิกามีขนาดเล็กลง จากการวิเคราะห์ด้วยเครื่อง XRD พบว่าเมื่ออัตราส่วนของ EtOH เพิ่มขึ้น พิคจะกว้างและต่ำลงดังแสดงในภาพประกอบที่ 3(ค) ซึ่งแสดงว่าโครงสร้างมีความสม่ำเสมอลดลง เนื่องจากเมื่อความเข้มข้นของ EtOH เพิ่มขึ้นและไมเซลล์แตกออกจะทำให้เกิดการเสียโครงสร้างในการจัดเรียงตัวของไมเซลล์ทำให้ความสม่ำเสมอของโครงสร้างซิลิกาที่ได้ลดลงด้วย

การศึกษาอิทธิพลของเวลาในการอบสารตัวอย่างที่อุณหภูมิ 100°C เมื่อทำการวิเคราะห์ตัวอย่างที่ 23-24 ด้วยเครื่องวิเคราะห์พื้นที่ผิวและขนาดของรูพรุนพบว่าเมื่อเวลาในการอบเพิ่มขึ้นค่ารัศมีรูพรุนของชิลิกาจะเพิ่มขึ้นและค่า $d\text{-spac}\square$ ก็จะเพิ่มขึ้นด้วยดังแสดงในตารางที่ 5 เนื่องจากโครงสร้างของผนังรูพรุนจะเกิดการรวมตัวกันแน่นมากขึ้นทำให้ผนังรูพรุนหนาด้วยขนาดของรูพรุนจึงเพิ่มขึ้น จากการวิเคราะห์ด้วยเครื่อง XRD พบว่าเมื่อเวลาในการอบสารตัวอย่างเพิ่มขึ้นพิเศษคงแคนและสูงดังแสดงในภาพประกอบที่ 3(ง) ให้ทราบว่าถึงแม้ขนาดของรูพรุนจะเพิ่มขึ้นแต่ชิลิกาก็ยังมีโครงสร้างที่มีความเป็นระเบียบ ซึ่งสอดคล้องกับงานวิจัยของ Chen และคณะ(5) ที่พบว่าเมื่อเวลาในการอบสารตัวอย่างเพิ่มขึ้นค่ารัศมีรูพรุนของชิลิกาจะเพิ่มขึ้นและโครงสร้างของชิลิกาจะไม่สูญเสียความเป็นระเบียบ

บทสรุป

จากการสังเคราะห์ชิลิกาที่มีรูพรุนขนาดมีโซโนไดโอลใช้สารลดแรงตึงผิวนิคไม่มีประจุ P123 และ F127 เป็นแม่แบบและใช้ TEOS เป็นแหล่งให้ชิลิกา เพื่อศึกษาอิทธิพลของปัจจัยต่างๆในการสังเคราะห์ที่มีผลต่อขนาดรูพรุน รูปร่างและโครงสร้างของชิลิกา พบว่า

1. เมื่ออัตราส่วนโดยโมลของ P123:F127 เพิ่มขึ้นจาก 1:9 เป็น 3:7 มีผลให้ค่ารัศมีรูพรุนของชิลิกาเพิ่มขึ้น แต่เมื่ออัตราส่วนโดยโมลของ P123:F127 เพิ่มขึ้นจาก 3:7 เป็น 5:5 และ 7:3 พบว่าค่ารัศมีรูพรุนของชิลิกาจะมีค่าลดลง ส่วนรูปร่างของชิลิกาที่ได้จะเป็นทรงกลม
2. เมื่อความเข้มข้นของกรดไฮโดรคลอริกเพิ่มขึ้นจาก 0.3M เป็น 0.5M มีผลให้ขนาดรูพรุนของชิลิกาลดลงและชิลิกามีลักษณะเป็นทรงกลมมากขึ้น
3. เมื่อเติม Na_2SO_4 มีผลให้โครงสร้างมีความเป็นระเบียบมากกว่าเมื่อเติม KCl และไม่เติมเกลืออนินทรีย์
4. KCl มีผลให้รูปร่างของชิลิกามีลักษณะเป็นเหลี่ยม ส่วน Na_2SO_4 พบว่าชิลิกาที่ได้มีลักษณะเป็นทรงกลม เช่นเดียวกับการไม่เติมเกลืออนินทรีย์
5. เมื่ออัตราส่วนของ CTAB เพิ่มขึ้น มีผลให้ขนาดรูพรุนของชิลิกาและความเป็นระเบียบของโครงสร้างลดลง
6. เมื่ออัตราส่วนของ ethanol เพิ่มขึ้น มีผลให้ขนาดรูพรุนของชิลิกาและความเป็นระเบียบของโครงสร้างลดลง
7. เมื่อเวลาในการอบสารตัวอย่างที่อุณหภูมิ 100°C เพิ่มขึ้น มีผลให้ขนาดรูพรุนของชิลิกาและความเป็นระเบียบของโครงสร้างเพิ่มขึ้น

กิตติกรรมประกาศ

ขอขอบคุณบัณฑิตวิทยาลัย มหาวิทยาลัยสงขลานครินทร์ที่ให้ทุนอุดหนุนในการทำวิจัย ภาควิชาวัสดุศาสตร์ คณะวิทยาศาสตร์และภาควิชาชีวกรรมเคมี คณะวิศวกรรมศาสตร์ มหาวิทยาลัยสงขลานครินทร์ที่ให้ความอนุเคราะห์ให้ดำเนินการอยู่ในห้องวัดพื้นที่ผิว Counter 3100

ເອກສາຣອ້າງອີງ

1. Yamada T, Zhou H, Asai K, Honma I. Pore size controlled mesoporous silicate powder prepared by triblock copolymer templates. *J Mater Sci Lett* 2002;56:93-96.
2. Ma Y, Qi L, Ma J, Wu Y, Liu O, Chen H. Large pore mesoporous silica spheres: synthesis and application in HPLC. *Colloids Surf A Physicochem Environ Asp* 2003;229:1-8.
3. Katiyar A, Yadav S, Smirniotis PG, Pinto NG. Synthesis of ordered large pore SBA-15 spherical particles for adsorption of biomolecules. *J Chromatogr A* 2006;1122:13-20.
4. Zhang WH, Zhang L, Xiu J, Shen Z, Li Y, Yin P et al. Pore size design of ordered mesoporous silicas by controlling micellar properties of triblock copolymer EO₂₀PO₇₀EO₂₀. *Microporous Mesoporous Mater* 2006;89:179-185.
5. Chen D, Li Z, Yu C, Shi Y, Zhang Z, Tu B et al. Nonionic block copolymer and anionic mixed surfactants directed synthesis of highly ordered mesoporous silica with bicontinuous cubic structure. *Chem Mater* 2005;17:3228-3234.

ประวัติผู้เขียน

ชื่อ สกุล	นางสาวศศินันท์ ทองมาก	
รหัสประจำตัวนักศึกษา	4822073	
วุฒิการศึกษา		
วุฒิ	ชื่อสถาบัน	ปีที่สำเร็จการศึกษา
วิทยาศาสตรบัณฑิต (เคมี)	มหาวิทยาลัยสงขลานครินทร์	2548

การตีพิมพ์เผยแพร่ผลงาน

ศศินันท์ ทองมาก และอาจารย์ ไชยบัญดิษฐ์. 2550. การสังเคราะห์ซิลิกาที่มีรูพรุขนาดมีໂซ โดยใช้บล็อกโคลอลิเมอร์ชนิดไม่มีประจุ P123 และ F127 เป็นแม่แบบ. การประชุมเสนอผลงานวิจัยระดับบัณฑิตศึกษาแห่งชาติ ครั้งที่ 8. มหาวิทยาลัยมหิดล (ศาลายา).